

ORSAY
Numéro d'ordre :

LPT-ORSAY 01/27

UNIVERSITÉ PARIS-SUD
LABORATOIRE DE PHYSIQUE THÉORIQUE D'ORSAY

THÈSE DE DOCTORAT DE L'UNIVERSITÉ PARIS XI

présentée par

Julien SERREAU

Sujet :

**PHÉNOMÈNES HORS D'ÉQUILIBRE
DANS LES COLLISIONS NUCLÉAIRES
À HAUTE ÉNERGIE**

- Formation de condensats chiraux désorientés
- Équilibration thermique des gluons produits

soutenue le 1^{er} mars 2001 devant la commission d'examen

MM. **P. Aurenche**
R. Baier (Rapporteur)
J.-P. Blaizot (Rapporteur)
U. Ellwanger (Président)
A. Krzywicki (Directeur de thèse)
A. H. Mueller

A mes parents,

Remerciements

Je tiens à remercier tous les membres du Laboratoire de Physique Théorique d'Orsay de m'avoir accueilli durant la préparation ainsi que la rédaction de cette thèse. D'une manière ou d'une autre, volontairement ou non, tous ont contribué à rendre ces quelques années agréables et enrichissantes. Un grand merci également à toute l'équipe administrative et technique du laboratoire, en particulier à Mireille Calvet, Nicole Cherbonnier, Mireille Geurts, Odile Heckenhauer, Jocelyne Puech, et bien sûr à Mme Rocher (Arlette de son prénom). Je suis de plus très reconnaissant envers Philippe Boucaud, Yves D'Aignaux et Jean-Pierre Leroy pour leur aide en ce qui concerne l'informatique et leur patience en ce qui concerne mes compétences dans ce domaine.

C'est ici l'occasion pour moi de saluer Luc Bourhis, Jérôme Charles, Cyril Hugonie et Stéphane Lavignac, avec qui j'ai partagé le statut de thésard du LPT durant la première année, ainsi que Jean Noël Aqua, Olivier Deloubrière, Gregorio Herdoiza, Sofiane Tafat et Nicolas Wschebor, avec qui j'ai partagé le même sort depuis. Je tiens également à saluer Elias Khan, Santiago Pita, Jérôme Margueron, Nicolas Sator, les (ex-)thésards de l'Institut de Physique Nucléaire d'Orsay ainsi que Samir Ferrag à l'école polytechnique.

Je tiens à dire un grand merci à André Krzywicki qui a guidé mes premiers pas dans le métier de chercheur avec beaucoup d'intelligence, j'espère être à la hauteur de sa confiance. Un grand merci également à Dominique Schiff qui a pris le relai avec beaucoup de patience malgré sa lourde tâche de direction du laboratoire. Je tiens à remercier Dominique Vautherin avec qui j'ai eu de très enrichissantes discussions et qui a contribué dans une large mesure à ma formation.

Je remercie Rolf Baier et Jean-Paul Blaizot d'avoir accepté les rôles de rapporteurs (ainsi que pour leur efficacité dans ce rôle). Je remercie également Patrick Aurenche, Ulrich Ellwanger et Al Mueller d'avoir accepté de faire partie du jury.

Enfin, je tiens à remercier les organisateurs du workshop *Nuclear Matter in Different Phases and Transitions* aux Houches en Avril 1998 (il s'agit de J.-P. Blaizot, X. Campi et M. Ploszajczak) où j'ai rencontré Cristina Volpe, que je remercie infiniment.....pour m'avoir appris l'italien.

Résumé

Le cadre général dans lequel se place cette thèse est l'étude des propriétés de la matière produite lors de collisions nucléaires à haute énergie, où l'on s'attend à créer artificiellement les conditions requises pour la formation d'un plasma de quarks et de gluons. En particulier, nous étudions certains aspects liés à l'évolution intrinsèquement hors d'équilibre de ce type de système.

La première partie est consacrée à l'étude de la formation possible de condensats chiraux désorientés (DCC) lors du passage rapide de la transition de phase chirale. Nous calculons d'abord la toute première estimation de la probabilité de formation d'un champ de pion classique potentiellement observable, lors de l'expansion sphérique rapide d'une "bulle" de matière chirale chaude. Ce calcul nécessite la construction d'une méthode d'échantillonnage des conditions initiales pour le champ chiral. Ensuite, en pratiquant une analyse détaillée de la structure d'isospin du champ classique, nous montrons que le modèle le plus simple utilisé jusqu'à présent ne permet pas d'expliquer le caractère collectif de la configuration DCC, ce qui contredit une idée très largement admise.

Dans la seconde partie, nous étudions la thermalisation des gluons produits dans les tout premiers instants de la collision. Nous modélisons l'effet des collisions élastiques par une approximation de temps de relaxation auto-cohérente, et comparons différentes conditions initiales proposées dans la littérature. Nous arguons que les critères utilisés dans les travaux antécédents pour caractériser l'équilibration ne sont pas satisfaisant et proposons plutôt de mesurer le degré d'anisotropie de différentes observables. Nos conclusions contredisent celles obtenues précédemment, nous montrons en particulier que les collisions élastiques sont insuffisantes pour thermaliser le système aux énergies de RHIC.

Abstract

The general framework of the present thesis is the study of the properties of the matter produced in high energy heavy ion collisions, where one expects to reach the conditions under which nuclear matter turns into a quark-gluon plasma. In particular, we study some aspects related to the intrinsic non-equilibrium evolution of such systems.

The first part is dedicated to the study of disoriented chiral condensate (DCC) formation during the out of equilibrium chiral phase transition. We compute the first estimation of the probability of forming a classical pion field after the rapid expansion of a spherical droplet of chiral matter. This requires the construction of a method for sampling the initial configurations of the chiral field. Then, by performing a detailed analysis of the isospin structure of the classical field, we show that the simplest model, used up to now, cannot explain the collective nature of the DCC. This contradicts a widely admitted idea.

In the second part, we study the thermalization of initially produced gluons. We consider only elastic scatterings and use a self-consistent relaxation time approximation. We compare different initial conditions proposed in the literature. We argue that the criteria used in previous works to characterize equilibration are not reliable and propose instead to test the isotropy of various observables. Our conclusions are in contradiction with those previously obtained, we show in particular that at RHIC energies, elastic collisions are not effective enough for the system to thermalize.

Sommaire

Remerciements	i
Résumé	iii
Abstract	v
Sommaire	viii
Introduction générale	1
I LES CONDENSATS CHIRAUX DÉSORIENTÉS	3
1 DCC : introduction	5
1.1 La symétrie chirale	5
1.2 Un LASER à pions	5
1.3 Un scénario microscopique	8
1.4 Expansion et conditions initiales	10
1.5 Effets quantiques	13
2 La probabilité de formation d'un champ de pion classique	15
2.1 Le formalisme	17
2.1.1 Approximation de champ moyen	17
2.1.2 Expansion sphérique	19
2.1.3 Particules physiques, champ interpolant	26
2.2 Échantillonnage des conditions initiales	28
2.2.1 Les conditions initiales	29
2.2.2 Équilibre thermique local	30
2.3 Résultats et discussion	33
2.3.1 La stratégie : récapitulatif	33
2.3.2 Cohérence physique du modèle et choix des paramètres	35
2.3.3 Résultats	36
2.4 Conclusion et commentaire	41
3 Description microscopique de la formation d'un DCC	43
3.1 Le formalisme	45
3.1.1 Le modèle de Rajagopal et Wilczek	45
3.1.2 Observables	46
3.2 Les résultats	50

3.3	Discussion et conclusion	58
3.3.1	Résumé	58
3.3.2	Comparaison avec des travaux antécédents	59
3.3.3	Spéculations	60
3.3.4	Conclusion	61
A	Création de particules dans une géométrie en expansion	63
B	Equilibre thermique et équilibre thermique local	69
B.1	Equilibre thermodynamique	69
B.2	Equilibre thermique local	71
C	Calcul d'intégrales	75
D	Scénario du trempage : l'état initial	77
E	Modèle gaussien	83
II	VERS LA FORMATION D'UN PLASMA DE MATIÈRE DÉ-CONFINÉE	89
4	Equilibration thermique des gluons	91
4.1	Le modèle	97
4.1.1	Lois de conservation	99
4.1.2	Expansion <i>vs.</i> Collisions	100
4.2	L'approximation du temps de relaxation	101
4.2.1	La méthode des moments	102
4.2.2	Procédure de résolution	103
4.2.3	Le choix du moment	103
4.3	Conditions initiales et résultats	105
4.3.1	"Temps de vie"	105
4.3.2	Le scénario de saturation	106
4.3.3	Le scénario des minijets	111
4.3.4	Robustesse des résultats	112
4.3.5	Conclusions et perspectives	113
F	L'intégrale de collision de Landau	117
G	Le calcul des moments	123
H	Calcul de $\theta(t_0)$ dans le scénario des minijets	127
	Conclusion	129
	Références	136

Introduction générale

La matière nucléaire, telle que nous la connaissons à l'échelle sub-nucléaire, est remarquablement bien décrite par la chromodynamique quantique (QCD), la théorie moderne des interactions fortes. Le bien-fondé de la description du monde hadronique en termes de quarks et de gluons, les degrés de liberté fondamentaux du lagrangien de QCD, s'appuie sur des bases expérimentales et des fondements théoriques solides. Une des propriétés les plus importantes des interactions fortes est la liberté asymptotique : l'intensité effective de l'interaction entre les quarks et les gluons décroît avec l'échelle de distance à laquelle on la mesure. Ceci a entre autres pour conséquence le fait qu'à très haute température et/ou très haute densité, les quarks et les gluons forment un plasma de matière déconfinée faiblement couplée. L'étude des propriétés de la matière nucléaire dans ces conditions "extrêmes", est un sujet de recherche qui progresse très rapidement. Le diagramme de phase des interactions fortes commence à être bien connu théoriquement, en particulier dans la région de potentiel chimique baryonique nulle. L'existence de nouvelles phases de la matière est une prédiction tout à fait remarquable de QCD.

Il existe certains systèmes physiques où ces conditions extrêmes sont naturellement réalisées, comme par exemple dans le cœur des étoiles à neutrons, ou encore durant les premiers instant de l'univers primordial. De plus, on s'attend à pouvoir créer momentanément ces conditions "en laboratoire" lors de collisions entre noyaux lourds à très haute énergie. De nombreuses expériences ont eu lieu à l'Alternating Gradient Synchrotron (AGS, BNL) et au Super Proton Synchrotron (SPS, CERN) durant ces dix dernières années, d'autres se déroulent actuellement au Relativistic Heavy Ion Collider (RHIC, BNL), et un programme est prévu à partir de 2005 au Large Hadron Collider (LHC, CERN), avec des énergies de plus en plus élevées¹. De nombreuses signatures de la matière déconfinée ont été proposées et sont activement étudiées tant expérimentalement que théoriquement (voir par exemple [1]). La dynamique d'une collision d'ions lourds est cependant extrêmement compliquée et il est très difficile d'interpréter les données de manière non-ambigüe. En particulier les données obtenues au SPS, si elles fournissent de fortes indications en faveur de la formation de matière déconfinée, ne permettent pas d'affirmer quoi que ce soit de définitif.

C'est dans ce cadre général que se place le sujet de cette thèse. Nous étudions certains aspects de la physique des collisions d'ions lourds, reliés en particulier au fait que la matière produite n'est *a priori* pas à l'équilibre thermodynamique. Notre intérêt pour cette problématique est double. D'une part, certains phénomènes qui n'ont lieu que dans des situations hors d'équilibre pourraient donner lieu à des signatures uniques, fournissant ainsi une source d'informations supplémentaire (ou complémentaire). C'est le cas de la formation de condensats chiraux désorientés (DCC) lors du passage rapide de la transition de phase chirale. La détection de ce phénomène hypothétique pourrait par exemple être utile

¹Collisions Au-Au avec $\sqrt{s} = 200$ GeV par nucléon à RHIC et Pb-Pb avec $\sqrt{s} = 5.5$ TeV par nucléon à LHC!!

pour localiser cette transition dans le diagramme des phases. Dans la première partie de cette thèse, nous étudions la possibilité qu'un tel phénomène se produise. Un DCC est une région de l'espace où le paramètre d'ordre de la symétrie chirale oscille dans une direction différente de celle qu'il a dans le vide. C'est une configuration collective classique du champ de pion. Nous calculons la toute première estimation de la probabilité pour qu'un champ classique potentiellement observable soit créé lors de l'expansion sphérique rapide du système. Pour ce faire, nous proposons une méthode originale d'échantillonnage des conditions initiales, habituellement choisies de manière arbitraire dans la littérature. Nous obtenons une limite supérieure de cette probabilité relativement faible, typiquement de l'ordre de 10^{-3} (Chap. 2).

Nous nous intéressons ensuite à l'aspect collectif du DCC : tous les modes du champ (classique) oscillent dans la même direction de l'espace d'isospin. Cette propriété est à l'origine de la signature la plus remarquable du phénomène, qui est aussi la plus utilisée dans les stratégies expérimentales de détection : la distribution anormalement large de la fraction neutre du nombre total de pions émis. Nous montrons que le champ produit dans le modèle microscopique le plus simple, utilisé jusqu'à présent, n'exhibe pas ce comportement collectif : les différents modes sont comme autant de DCC dont les orientations dans l'espace d'isospin sont indépendantes les unes des autres. Ce résultat contredit une idée largement admise et remet en question la possibilité de former un DCC dans une collision d'ions lourds (Chap. 3).

La deuxième raison pour laquelle il est important d'étudier les aspects hors d'équilibre dans ces collisions est le fait que les calculs actuels concernant les signatures expérimentales reposent sur l'hypothèse selon laquelle le système est en équilibre thermique local. Il est important de savoir si cette hypothèse est justifiée dans une collision réelle. Si ce n'est pas le cas, il est alors nécessaire d'avoir une idée de la façon dont le système évolue pour pouvoir interpréter les données. Dans la deuxième partie de la thèse, nous nous intéressons à l'équilibration thermique du système de gluons initialement produits (Chap. 4). Nous décrivons la dynamique des gluons à l'aide d'une équation de Boltzmann que nous modélisons par une simple approximation de temps de relaxation. Nous comparons différents scénarios proposés dans la littérature pour décrire l'état initial : les scénarios des minijets et de saturation. En calculant le temps de relaxation de façon auto-cohérente nous reproduisons de manière semi-quantitative certains résultats exacts, récemment obtenus numériquement dans le scénario de saturation. Pour caractériser l'écart à l'équilibre nous mesurons le degré d'anisotropie du système. Nos conclusions contredisent celles de travaux précédents où des critères différents sont utilisés pour mesurer le degré d'équilibration. En particulier nous montrons que les collisions élastiques ne sont pas suffisantes pour thermaliser le système aux énergies de RHIC.

Au cours de notre présentation, nous essayons de mettre en avant les idées physiques sous-jacentes aux problèmes étudiés, releguant les détails techniques ou les dérivations non essentielles mais instructives dans les annexes. Les différents chapitres sont relativement indépendants. Pour des raisons pratiques et esthétiques, nous avons choisi des notations légèrement différentes d'un chapitre à l'autre, notamment en ce qui concerne les indices chiraux. Nous travaillons partout avec le système d'unités $\hbar = c = k_B = 1$ (où k_B est la constante de Boltzmann).

Première partie

**LES CONDENSATS CHIRAUX
DÉSORIENTÉS**

Chapitre 1

DCC : introduction

Dans ce chapitre nous passons en revue certaines idées pertinentes à la physique des condensats chiraux désorientés. Après un bref rappel historique des motivations initiales, nous présentons les principaux développements qu'a connu le sujet depuis sa naissance, au début des années 1990. Nous présentons divers concepts et images physiques qui constituent la toile de fond des travaux présentés dans la première partie de cette thèse.

1.1 La symétrie chirale

La théorie des interactions fortes, ou chromodynamique quantique (QCD) est approximativement invariante sous les opérations du groupe $SU_L(2) \times SU_R(2)$ qui consistent en des transformations unitaires indépendantes des composantes chirales droite et gauche du doublet de quarks légers $q = (u, d)$, c'est la symétrie chirale. Elle est réalisée de façon spontanément brisée, phénomène décrit par la valeur non nulle du condensat de quarks¹ $\langle 0|q_L \bar{q}_R|0 \rangle$ et se manifestant dans le spectre d'excitations des interactions fortes par la faible masse des pions (≈ 140 MeV) comparée à l'échelle de masse typique des hadrons (~ 1 GeV). Les propriétés de transformation du produit bilinéaire $q_L \bar{q}_R$ sont analogues à celles d'un vecteur $\phi \equiv (\sigma, \boldsymbol{\pi})$ sous les rotations quadri-dimensionnelles du groupe $O(4)$. Dans ce langage, les composantes, dites d'isospin, π_1, π_2, π_3 , représentent les modes collectifs ou bosons de Goldstone accompagnant le phénomène de brisure spontanée : les excitations élémentaires (quanta) du champ $\boldsymbol{\pi}$ sont les pions. La valeur moyenne dans le vide du champ chirale ϕ pointe dans la direction $\hat{\sigma}$: on a $\langle 0|\phi|0 \rangle = (f_\pi, \mathbf{0})$, où $f_\pi = 92.5$ MeV est la constante de désintégration du pion. La symétrie résiduelle $O(3)$ des rotations autour de cet axe est la symétrie d'isospin des interactions fortes. De façon générale, la valeur moyenne du champ ϕ , qui mesure l'intensité de la brisure spontanée, est appelée paramètre d'ordre de la symétrie chirale.

1.2 Un LASER à pions

Un condensat chirale désorienté (DCC) est un état dans lequel le paramètre d'ordre a une orientation différente de celle qu'il a dans le vide. Plus précisément, c'est une configuration classique où le champ de pion oscille de manière cohérente dans une direction donnée de l'espace d'isospin. Pour préciser la nature du phénomène et en comprendre l'intérêt, il est utile de faire une petite retrospective historique.

¹Il existe d'autres paramètres d'ordre associés à la brisure spontanée de la symétrie chirale. Nous ne les considérerons pas ici.

Dans le contexte des collisions hadroniques ou nucléaires à très haute énergie, la production multiple de pions dont les énergies transverses ne dépassent pas quelques centaines de MeV est chose courante. Certains auteurs ont proposé d'interpréter ce phénomène comme résultant de la désintégration d'un état cohérent [2, 3, 4, 5], l'idée (déjà présente dans d'anciens articles de W. Heisenberg [6]) étant de voir le processus de production multiple comme le rayonnement d'un champ classique. On parle aussi d'état multipions ou encore de LASER à pions. Cette idée est longtemps restée marginale jusqu'au début des années 1990 où, sur des bases théoriques plus solides, elle a été largement étudiée et développée.

En effet, le développement de théories effectives de basse énergie dans le milieu des années 80 a permis d'étudier la dynamique des excitations de grande longueur d'onde des interactions fortes dans le cadre de modèles basés sur des fondements théoriques solides². L'exemple le plus simple est le modèle σ non-linéaire, qui décrit bien les propriétés des pions de très basse énergie. En termes du champ ϕ introduit plus haut, l'action de ce modèle s'écrit

$$\mathcal{S} = \frac{1}{2} \int d^4x \partial_\mu \phi \cdot \partial^\mu \phi \quad (1.1)$$

avec la contrainte

$$\phi^2 = \sigma^2 + \boldsymbol{\pi}^2 = f_\pi^2 \quad (1.2)$$

La pertinence de ces modèles pour le problème de l'existence de champs de pions classiques est double : l'approximation classique est justifiée par le fait qu'on s'intéresse à des excitations de grande longueur d'onde, et l'étude des solutions classiques permet de savoir quelles configurations sont autorisées par la dynamique sous-jacente. C'est essentiellement ce deuxième point qui manquait aux études précédentes. C'est dans ce cadre conceptuel, que différents auteurs étudient les solutions classiques du modèle σ non-linéaire au début des années 1990 [7, 8, 9]. Ces études montrent en particulier qu'il est naturel de considérer des configurations classiques du champ de pion de grande longueur d'onde ayant des géométries non-triviales dans l'espace d'isospin. Illustrons ce point par un exemple. En utilisant des conditions aux limites idéalisées modélisant la région centrale d'une collision très énergétique [6, 10], J.P. Blaizot et A. Krzywicki se ramènent à un problème à une dimension : le système est invariant sous les boost longitudinaux et le champ ne dépend que du temps propre $\tau = \sqrt{t^2 - z^2}$, où z est l'axe de la collision. Les équations de conservation des courants vectoriel $\mathbf{V}_\mu = \boldsymbol{\pi} \times \partial_\mu \boldsymbol{\pi}$ et axial $\mathbf{A}_\mu = \boldsymbol{\pi} \partial_\mu \sigma - \sigma \partial_\mu \boldsymbol{\pi}$

$$\partial_\mu \mathbf{V}^\mu = \mathbf{0} \quad ; \quad \partial_\mu \mathbf{A}^\mu = \mathbf{0}$$

sont facilement intégrées :

$$\mathbf{V}_0 = \boldsymbol{\pi} \times \dot{\boldsymbol{\pi}} = \frac{\mathbf{a}}{\tau} \quad ; \quad \mathbf{A}_0 = \boldsymbol{\pi} \dot{\sigma} - \sigma \dot{\boldsymbol{\pi}} = \frac{\mathbf{b}}{\tau}$$

où les vecteurs \mathbf{a} et \mathbf{b} ($\mathbf{a} \cdot \mathbf{b} = 0$) sont des constantes d'intégration. Le champ de pion décrit

²Les propriétés de symétrie chirale étant à l'origine de l'existence des excitations de grande longueur d'onde (les modes de Goldstone), il est clair qu'elles jouent un rôle important quant à leur dynamique. En exploitant les propriétés de symétrie chirale du lagrangien fondamental de QCD, on peut écrire un lagrangien effectif de basse énergie qui se présente sous la forme d'un développement en gradients (qui correspond à un développement en puissances de l'échelle d'énergie typique à laquelle on s'intéresse) et qu'il est nécessaire de tronquer en pratique. Le modèle σ non-linéaire, dont il est question dans la suite, est obtenu en ne retenant que le premier terme, qui contient deux dérivées.

donc une trajectoire elliptique dans l'espace d'isospin ($\mathbf{c} = \mathbf{a} \times \mathbf{b}$, $\kappa^2 = a^2 + b^2$) :

$$\begin{aligned}\pi_a &= 0 \\ \pi_b &= -\sin\left(\kappa \ln \frac{\tau}{\tau_0}\right) \\ \pi_c &= \frac{a}{\kappa} \cos\left(\kappa \ln \frac{\tau}{\tau_0}\right)\end{aligned}$$

où τ_0 est une constante délimitant l'hypersurface sur laquelle sont localisées les sources du champ classique de pion [9]. Cette solution appartient à la classe plus générale des solutions de type onde planes proposée par A.A. Anselm (voir aussi [11]).

Parallèlement, J.D. Bjorken suggère la possibilité de former une configuration particulière du champ de pions qu'il dénomme *condensat chiral désorienté* [12, 13]. Il donne une image intuitive de la collision et de la formation du DCC qu'il est bon d'avoir en tête car elle est très parlante, c'est le scénario "Baked-Alaska" : les produits primaires de la collision s'éloignent de la zone d'impact avec une vitesse proche de celle de la lumière, formant une "boule de feu" en expansion rapide et dont l'intérieur est isolé du vide environnant. Si la densité d'énergie y est suffisamment faible, l'intérieur ressemble de très près au vide. Cependant, ce vide n'étant pas en contact avec le vide physique, l'orientation du paramètre d'ordre n'a pas de raisons d'y être la même, en particulier les composantes d'isospin de ce dernier peuvent être non nulles ; c'est un vide désorienté. Après un certain temps (de l'ordre de quelques fermi), la surface de la boule de feu se désagrège (hadronisation), l'intérieur et l'extérieur ne sont plus séparés et le vide désorienté relaxe vers le vrai vide en rayonnant ses modes collectifs, les pions. Ce scénario phénoménologique correspond à l'idéalisation adoptée par Blaizot et Krzywicki dans le cas d'une expansion longitudinale. Un cas particulier de leur solution correspond à un champ oscillant dans une direction quelconque de l'espace d'isospin (c'est le cas où l'intensité initiale du courant axial est grande comparée à celle du courant vectoriel : $b \gg a$. Le champ de pions oscille alors dans la direction \mathbf{b}). C'est le DCC. La prédiction la plus frappante de ce phénomène hypothétique est la distribution événement par événement de la proportion de pions neutres émis par rayonnement. En effet, le nombre total de pions avec une composante d'isospin donnée est proportionnel (dans le cas du DCC uniquement, voir le Chap. 3) à l'intégrale du carré du champ sur tout le volume de la bulle

$$N_i \propto \int_V d^3x \phi_i^2(\vec{x})$$

Les interactions fortes étant invariantes sous les rotations d'isospin, toutes les directions sont équiprobables et la proportion de pions neutres

$$f = \frac{N_{\pi_0}}{N_{\pi_+} + N_{\pi_0} + N_{\pi_-}}$$

est alors distribuée selon la loi³

$$\frac{dP(f)}{df} = \frac{1}{2\sqrt{f}}, \quad (1.3)$$

³Cette distribution est donnée explicitement dans [9] où les auteurs n'ont pourtant pas isolé la configuration DCC, ce qui n'est pas correct. Ceci est corrigé dans [14]. Notons que ce résultat est déjà présent dans [5] où l'auteur considère un état cohérent d'isospin total nul. Le DCC est un tel état, en effet le champ oscille dans une direction donnée et est, par conséquent parallèle à sa vitesse, ce qui signifie que l'isospin total de cette configuration est nul : $\mathbf{V} = \phi \times \dot{\phi} = \mathbf{0}$, et $\mathbf{I} = \int_V \mathbf{V}$.

à comparer avec la distribution binomiale très piquée autour de la valeur moyenne $\bar{f} = 1/3$ prévue dans le cas de la production incohérente de pions. Ce phénomène pourrait expliquer les événements Centauro et anti-Centauro enregistrés dans le domaine des rayons cosmiques de très haute énergie, dans lesquels des amas de pions tous chargés (Centauro) ou tous neutres (anti-Centauro) ont été observés [15].

Si on comprend mieux les configurations classiques possibles, compatibles avec la dynamique des interactions fortes, on ne sait cependant pas comment un tel champ peut être créé lors de la collision. En effet, dans les considérations précédentes, on a supposé l'existence d'un champ cohérent, classique créé par des sources localisées sur le cône de lumière (la surface de la boule de feu). La question de la formation du champ classique est cachée dans l'hypothèse de l'existence de ces sources.

1.3 Un scénario microscopique

L'idée du DCC reçoit une impulsion considérable quand, en 1993, K. Rajagopal et F. Wilczek proposent un scénario prévoyant l'émergence d'un champ fort de pions après une collision de noyaux lourds ultra-relativistes [16]. Dans ce type de collisions, la densité d'énergie par unité de volume déposée dans la région centrale peut atteindre des valeurs très élevées (plusieurs GeV/fm^3) et on s'attend à ce que la matière soit dans un état où la symétrie chirale est restaurée⁴ du fait des fortes fluctuations du champ chirale. L'expansion rapide du système engendre une chute brutale de la densité d'énergie et par conséquent une suppression soudaine de ces fluctuations. Le paramètre d'ordre "se fige" dans une direction aléatoire de l'espace d'isospin. Ce phénomène est analogue à la formation de domaines d'aimantation lors du trempage d'un matériau ferromagnétique. C'est l'idée sous-jacente au scénario de Rajagopal et Wilczek, aussi appelé scénario du trempage, et que nous allons maintenant décrire un peu plus en détail car il est à la base des travaux décrits dans les chapitres suivants. En fait, ce modèle sera étudié dans le chapitre 3 où nous aurons l'occasion d'en donner tous les détails. Pour le moment, il est suffisant d'en présenter les grandes lignes et les résultats importants.

Considérons la région centrale d'une collision d'ions lourds ultrarelativistes, c'est à dire la région autour de $z = 0$ où z est l'axe du faisceau dans le référentiel du centre de masse de la collision. A très haute énergie, les nucléons des noyaux incidents ne sont pratiquement pas ralentis et ont complètement évacué la région centrale après un temps très bref. Cette dernière est alors formée de matière non-baryonique [17] (la densité de baryons est égale à celle des anti-baryons). Nous nous intéressons à la dynamique des modes de grande longueur d'onde et nous considérerons le champ de pions dans cette région. Nous négligeons en particulier les effets possibles dus à la présence d'autres mésons ou baryons ainsi qu'à celle de matière déconfinée. Nous supposons de plus que le système a atteint un état d'équilibre thermique local après un certain temps. Si la densité d'énergie dans la région centrale est suffisante, la symétrie chirale est restaurée. Pour décrire l'évolution ultérieure du champ de pion, nous devons utiliser un modèle capable de prendre en compte la possibilité d'un état symétrique $O(4)$. Il est clair, du fait de la contrainte (1.2) que ce n'est pas le cas du modèle σ non-linéaire. L'extension la plus simple consiste à relâcher la contrainte : c'est le

⁴Supposons pour un instant que le système est décrit par un gaz de pions de masse nulle à l'équilibre thermodynamique. La température de ce gaz de pions (relativistes) est reliée à la densité d'énergie par la loi : $\epsilon = g(\pi^2/30) T^4$, où $g = 3$ est la dégénérescence du triplet de pions. A une densité d'énergie $\epsilon \approx 1 \text{ GeV}/\text{fm}^3$, correspond une température $T \approx 400 \text{ MeV}$. La température critique de la transition de phase chirale est $T_c \sim 150 \text{ MeV}$.

modèle σ -linéaire⁵

$$\mathcal{S} = \int d^4x \left\{ \frac{1}{2} \partial_\mu \phi \cdot \partial^\mu \phi - \frac{\lambda}{4} (\phi \cdot \phi - v^2)^2 + H\sigma \right\}. \quad (1.4)$$

Le terme $H\sigma$ brise explicitement la symétrie et rend compte de la masse non-nulle des pions. Au niveau classique, on a

$$\begin{aligned} H &= f_\pi m_\pi^2 \\ m_\pi^2 &= \lambda (f_\pi^2 - v^2) \\ m_\sigma^2 &= \lambda (3f_\pi^2 - v^2) \end{aligned}$$

On retrouve le modèle non-linéaire en prenant la limite chirale ($m_\pi \rightarrow 0$) et en intégrant le degré de liberté lourd σ .

Rajagopal et Wilczek ont étudié numériquement la dynamique du paramètre d'ordre dans le cadre du modèle σ linéaire classique en supposant un état initial symétrique : les composantes ϕ_j du champ sont des variables aléatoire gaussiennes de même variance et distribuées indépendamment sur les différents nœuds d'un réseau cubique. Bien qu'ayant en tête un système en expansion, Rajagopal et Wilczek travaillent dans une configuration statique. Le trempage des fluctuations initiales est modélisé par la faible valeur de la variance dans l'état initial. Durant l'évolution ultérieure du champ de pion, les modes de Fourier de grande longueur d'onde sont fortement amplifiés en comparaison des modes de plus petite longueur d'onde, et oscillent dans le temps de manière cohérente avec une fréquence $2\pi/\sqrt{m_\pi^2 + k^2} \approx 2\pi/m_\pi$. L'énergie est ensuite répartie de manière équivalente entre les modes (équipartition) par la dynamique non linéaire. Cependant dans une situation en expansion, la dilution du système entraîne le découplage des modes (freeze-out). S'il a lieu suffisamment tôt, celui-ci peut empêcher le système d'atteindre l'équipartition. Dans ce cas, la configuration finale du champ consiste en une superposition de modes de grande longueur d'onde et *de grande amplitude*. C'est le champ fort dont nous avons besoin. Le résultat de la Réf. [16] est reproduit sur la Fig. 1.1 où l'on voit l'évolution temporelle du module au carré des composantes de Fourier de ϕ_3 , moyenné sur des bins de largeur δk centrés en $||\vec{k}|| = k$ pour différentes valeurs de k .

Le phénomène décrit plus haut peut être compris qualitativement à l'aide d'une simple approximation [16, 19, 20]. Les équations du mouvement s'écrivent

$$(\partial^2 + \lambda(\phi^2 - v^2)) \phi = H \mathbf{n}_\sigma, \quad (1.5)$$

où l'on a utilisé la notation $\phi^2 = \phi \cdot \phi$, et où \mathbf{n}_σ est un vecteur unitaire dans la direction σ de l'espace chirale. En remplaçant le terme non linéaire ϕ^2 par sa valeur moyenne sur le volume (dans ce qui suit, nous dénotons la valeur moyenne spatiale par des crochets : $\langle \mathcal{O} \rangle = (1/V) \int_V d^3x \mathcal{O}(\vec{x})$) et en prenant la transformée de Fourier de l'équation obtenue, on obtient⁶

$$\left(\frac{d^2}{dt^2} + k^2 + m_{eff}^2(t) \right) \pi(\vec{k}, t) = \mathbf{0}, \quad (1.6)$$

⁵Le modèle σ -linéaire a été proposé par M. Gell-Mann et M. Lévy en 1960 [18] (en fait avant, par Schwinger, voir dans [18]) pour décrire les interactions fortes entre nucléons. Ces derniers étaient représentés par le doublet d'isospin (p, n) et l'interaction pion-nucléon par un couplage de Yukawa.

⁶Cette approximation est équivalente à la limite $N \rightarrow \infty$ où N est le nombre de composante du champ ($N = 4$), c'est une approximation de type champ moyen. Nous aurons l'occasion d'en parler d'avantage au chapitre 2.

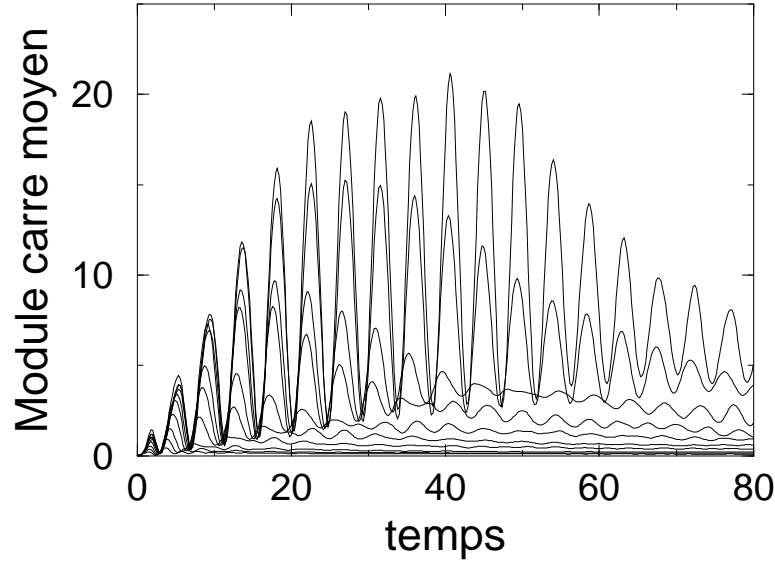


FIG. 1.1: Le module au carré moyen des composantes de Fourier de ϕ_3 en fonction du temps (en unités du pas du réseau a) dans le scénario du trempage de la Réf. [16]. On a calculé la moyenne du module au carré de tous les modes tels que $k = ||\vec{k}||$ est dans le bin de largeur $\delta k = 0.057a^{-1}$ centré autour de (de haut en bas sur la figure) $ka = 0.20, 0, 26, 0, 31, 0, 37, 0, 48, 0, 60, 0, 71, 0, 94, 1, 16$ et $1, 39$.

où

$$m_{eff}^2(t) = \lambda (\langle \phi^2 \rangle(t) - v^2) \quad (1.7)$$

est la masse effective (au carré) des excitations du champ à l'instant t . Elle représente la courbure instantanée du potentiel effectif vu par le champ.

L'évolution temporelle de $m_{eff}^2(t)$ dans le scénario de la Réf. [16] est représenté sur la Fig. 1.2. Quand $\langle \phi^2 \rangle(t) < v^2$ cette masse effective est imaginaire pure, ce qui se traduit par une croissance exponentielle des amplitudes des modes de Fourier tels que $k^2 < -m_{eff}^2$ (cf. Eq. (1.6)). Ce mécanisme est bien connu dans divers domaines de la physique, comme la physique des solides ou encore la fragmentation nucléaire, sous le nom d'instabilité spinodale. Mentionnons le fait que le mécanisme de l'instabilité spinodale n'explique pas toute l'amplification observée en résolvant numériquement les équations (1.5). En effet, on peut voir sur la Fig. 1.2 que le carré de la masse effective (1.7) n'est négatif que pour des temps $t \lesssim 10$ (en unité de pas du réseau) alors que l'amplification des modes de basse fréquence se poursuit jusqu'à $t \sim 50$. On peut toutefois comprendre qualitativement l'amplification ultérieure à l'aide du mécanisme de résonance paramétrique dû aux oscillations régulières de la valeur moyenne $\langle \sigma \rangle$ autour de sa valeur asymptotique f_π [21, 22, 23].

1.4 Expansion et conditions initiales

Le scénario du trempage fournit donc un scénario microscopique simple pour la formation possible d'un champ fort de pion lors d'une collision entre noyaux très énergétiques. De ce fait, il permet d'obtenir des informations au moins qualitatives sur les propriétés du champ classique ainsi produit. Le résultat de Rajagopal et Wilczek a par la suite été confirmé [24, 25] et le modèle du trempage a reçu un intérêt croissant. Diverses améliorations y ont été apportées, les plus importantes étant l'inclusion de certains effets quantiques

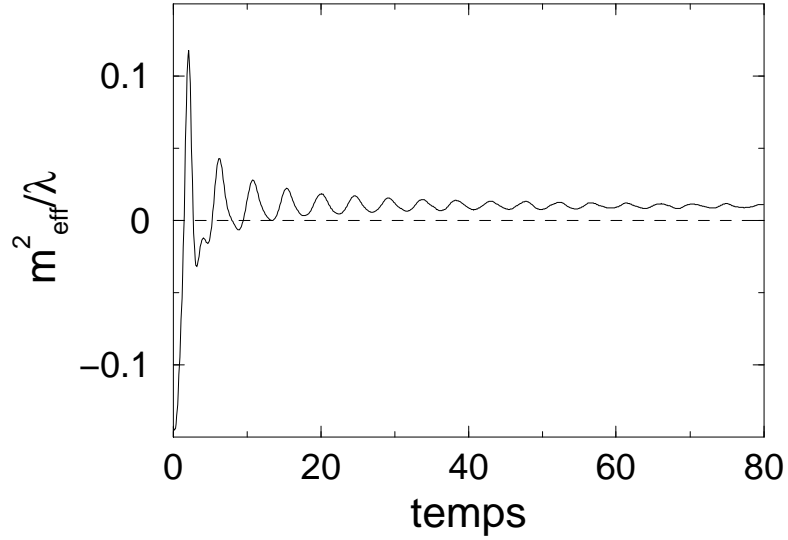


FIG. 1.2: La masse effective au carré $m_{eff}^2(t)$ en fonction du temps (en unité du pas du réseau a) dans le scénario du trempage de la Réf. [16].

et l’abandon de l’hypothèse concernant les conditions initiales (trempage “à la main” des fluctuations initiales) en faveur d’un scénario prenant explicitement en compte l’expansion.

La modélisation de l’expansion consiste simplement à se placer dans le référentiel en co-mouvement, qui se déplace avec un élément de volume du système. Par exemple dans le cas d’une expansion longitudinale à la vitesse de la lumière, le temps mesuré dans le repère en co-mouvement est le temps propre $\tau = \sqrt{t^2 - z^2}$: au temps t , le système a une extension spatiale $-t \leq z \leq t$. Autrement dit, on spécifie les conditions aux bords, nécessaires à la résolution des équations du mouvement, non pas sur un hyperplan $t = \text{cte}$, mais sur une hypersurface $\tau = \text{cte}$ (voir le modèle de Blaizot et Krzywicki décrit plus haut). En définissant la variable de rapidité $\eta = (1/2) \ln(t - z)/(t + z)$, on peut réécrire dans (1.5) $\partial_t^2 - \partial_z^2 = \partial_\tau^2 + (1/\tau) \partial_\tau - (1/\tau^2) \partial_\eta^2$. En plus du terme habituel d’accélération ∂_τ^2 , on voit apparaître un terme de friction $\propto \partial_\tau$ qui traduit le fait que la densité d’énergie dans un co-volume décroît du fait de l’expansion. Différents auteurs [26, 27, 24] ont étudié numériquement les solutions de (1.5) dans une géométrie en expansion longitudinale, avec un état initial stable (où la masse effective (1.7) est initialement positive). Il ressort de ces études que, pour des conditions initiales appropriées, l’expansion entraîne le système dans la région d’instabilité et le champ fort est créé. Cependant, le phénomène dépend fortement des conditions initiales.

Dans la Réf. [28], J. Randrup propose une méthode systématique d’échantillonnage des configurations initiales du champ chiral $\phi(\vec{x})$ à partir d’un ensemble thermique. La fonction de partition du système en équilibre thermique à la température T dans le volume V est calculée en traitant les fluctuations thermiques du champ autour de sa valeur moyenne spatiale $\langle \phi \rangle$ dans une approximation de champ moyen (l’approximation de Hartree). On peut alors calculer la distribution de probabilité des valeurs possibles de $\langle \phi \rangle$ ainsi que celle des fluctuations $\delta\phi(\vec{x}) = \phi(\vec{x}) - \langle \phi \rangle$. Dans un article ultérieur [29], Randrup étudie les trajectoires classiques générées par les équations (1.5) avec des conditions initiales aléatoires, échantillonnées selon cette méthode. La masse effective (Eq. (1.7)) s’écrit ($\langle \delta\phi \rangle = 0$)

$$m_{eff}^2 = \lambda (\langle \phi \rangle^2 + \langle \delta\phi^2 \rangle - v^2) , \quad (1.8)$$

où $\langle \phi \rangle^2 = \langle \phi \rangle \cdot \langle \phi \rangle$. La région d’instabilité $m_{eff}^2 < 0$ est représentée sur la Fig. 1.3 dans

le plan $(\langle\phi\rangle, \langle\delta\phi^2\rangle^{1/2})$. Randrup représente ses trajectoires dans ce même plan et étudie l'incursion du système dans la région d'instabilité en fonction de la température initiale d'une part et du taux d'expansion d'autre part. En effet, supposons une expansion D -dimensionnelle, le temps mesuré dans le repère en co-mouvement est alors : $\tau = \sqrt{t^2 - x^i x_i}$, où $i = 1 \dots D$, et le terme de friction dans les équations du mouvement devient $(D/\tau)\partial_\tau$: l'expansion est d'autant plus efficace que D est grand ($D \leq 3$).

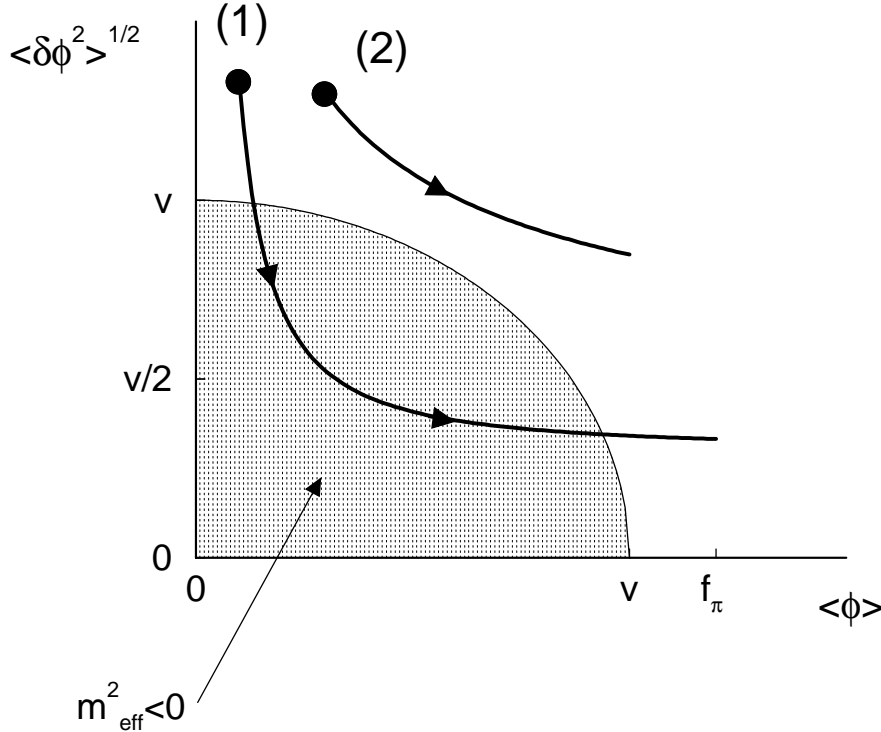


FIG. 1.3: Représentation schématique de deux trajectoires typiques dans le plan $(\langle\phi\rangle, \sqrt{\langle\delta\phi^2\rangle})$. L'évènement (1) traverse la région spinodale ($m_{eff}^2 < 0$) et subit une forte amplification. Dans la région d'instabilité, après le refroidissement brutal des fluctuations (trempage), la valeur des fluctuations du champ est $\sim v/2$, comme dans le modèle *ad hoc* de [16].

Randrup observe que lorsque le système est préparé à une température $T = 400$ MeV, il n'entre dans la région d'instabilité que pour $D > 1$. Pour $D = 3$, l'instabilité apparaît pour des températures allant de 200 MeV à 500 MeV (au moins). Au début de l'évolution, l'expansion rapide supprime fortement les fluctuations thermiques tandis que $\langle\phi\rangle$, initialement petit pour des températures supérieures à la température critique $T_c \sim 150$ MeV, ne change que très peu. Le système entre dans la région d'instabilité. Les modes de grande longueur d'onde, et en particulier $\langle\phi\rangle$, le mode zéro, sont alors fortement amplifiés et le système est "poussé" hors de la région d'instabilité. Si la température initiale est trop importante, les fluctuations n'ont pas le temps de décroître suffisamment avant que $\langle\phi\rangle$ n'augmente (vers sa valeur dans la phase brisée) et le système n'est jamais instable. A l'inverse, si la température est trop faible, on est trop proche de la température critique et $\langle\phi\rangle$ est si grand que l'on passe à côté de la région intéressante. Il est intéressant de remarquer que, dans le cas où le système entre dans la région d'instabilité, la valeur typique des fluctuations après la brève période de refroidissement (trempage) est $\langle\delta\phi^2\rangle^{1/2} \sim v/2$, ce qui correspond à la configuration initiale *ad hoc* de Rajagopal et Wilczek [30, 29].

Nous comprenons donc comment, à partir d'une configuration chaotique du champ, où les différents modes sont initialement indépendants, la dynamique hors d'équilibre du

système génère momentanément une configuration formée par la superposition de modes de grande longueur d’onde et de grande amplitude.

1.5 Effets quantiques

Le phénomène d’amplification des modes de grande longueur d’onde dans notre système en expansion est analogue⁷ à celui de la création massive de particules durant la phase d’inflation de l’univers primordial. Cette analogie a conduit différents auteurs à appliquer au premier problème des méthodes développées pour le second, notamment en ce qui concerne la prise en compte de certaines corrections quantiques à la dynamique. Dans la Réf. [31], les auteurs travaillent avec un système statique en modélisant le trempage “à la main” de la même façon que dans [16]. Les fluctuations thermiques et quantiques sont décrites par une matrice densité supposée gaussienne, ce qui conduit à des équations du mouvement dont la structure est similaire à celle des Eqs. (1.6) et (1.8), où $\langle \dots \rangle$ doit être maintenant compris comme la moyenne sur ces fluctuations. Les auteurs des Réfs. [32, 33, 34] prennent en compte les effets quantiques dans l’approximation de champ moyen (équivalente à l’ansatz gaussien de [31]) dans un modèle avec expansion. Les résultats de ces études sont similaires à ceux obtenus dans le cas classique⁸ : on observe une augmentation importante du nombre de quanta de basse énergie durant la période d’instabilité. Le champ est alors essentiellement une superposition de modes classiques de grande longueur d’onde. De même que dans le cas classique, l’ingrédient crucial est la dynamique fortement hors d’équilibre due à l’expansion et le phénomène d’amplification dépend fortement des valeurs initiales des moyennes du champ et de sa dérivée temporelle. Ce dernier point fera l’objet de l’étude présentée au Chap. 2, où nous construirons une méthode originale d’échantillonnage des conditions initiales, que nous utiliserons pour calculer la probabilité de former un champ classique potentiellement observable.

Dans le langage de la mécanique quantique, le champ classique ainsi formé n’est autre que la valeur moyenne du champ quantique dans l’état final du système, au moment du découplage. Autrement dit, l’état final est un état quasi-classique, c’est à dire un état cohérent [2]. De façon générale, indépendante de toute dynamique sous-jacente, on peut construire différents types d’états cohérents multi-pions prenant en compte les contraintes imposées par les lois de conservation, par exemple de la charge électrique ou encore de l’isospin [3, 4, 5]. La structure de l’état formé dans un scénario réaliste dépend de la dynamique microscopique sous-jacente. Par exemple, il est facile de voir que l’approximation de champ moyen correspond à une description du système en termes des états dits comprimés⁹ (“squeezed state”) qui sont une généralisation des états cohérents [36]. Le DCC est un état particulier où tous les modes du champ sont orientés dans la même direction de l’espace d’isospin (voir par exemple [35]) : c’est un état d’isospin total nul, ce qui est à l’origine de la loi (1.3) [5]. Pour décrire la formation d’un tel état collectif dans un scénario microscopique donné, il faut prendre en compte les non-linéarités de la dynamique. Au niveau quantique, cela requiert de considérer des corrections au delà de l’approximation de champ moyen. En fait, nous verrons au Chap. 3 que le problème se pose déjà au niveau classique. En effet, nous montrerons que dans le modèle de Rajagopal et Wilczek, où l’état initial est supposé incohérent, l’état final n’est pas un état collectif, les modes amplifiés sont

⁷Dans le cas du DCC il s’agit cependant d’un problème en couplage fort

⁸Dans le modèle avec expansion, l’inclusion des effets quantiques donne des résultats quantitativement similaires à ceux du cas classique [35]

⁹Ceci est directement relié aux transformations de Bogoliubov connectant les opérateurs de création et d’annihilation de quasi-particule à différents instants (voir Chap. 2).

indépendants les uns des autres. Contrairement à une idée largement admise, le caractère collectif supposé du DCC n'a pas encore trouvé d'explication microscopique.

Jusqu'ici nous avons considéré le modèle le plus simple possible en faisant des approximations parfois très grossière, ce qui nous a permis de dégager l'essentiel de la physique du phénomène. Nombre de corrections ont été considérées dans la littérature (très abondante) sur le sujet¹⁰. Mentionnons par exemple les effets dus aux interactions du champ de pion avec son environnement dans une collision d'ions lourds [37, 38, 39], la modélisation d'effets quantiques au delà du champ moyen par une source stochastique dans les équations du mouvement du paramètre d'ordre [40], ou encore l'étude de modèles alternatifs au modèle σ -linéaire, comme les modèles de Nambu-Jona-Lasinio [41] ou de Gross-Neveu [42]. Ces études n'altèrent pas l'image de la formation d'un champ classique que nous avons décrite ici, qui s'avère donc être relativement générique.

La détection éventuelle d'un DCC dans des expériences de collisions hadroniques ou nucléaires à haute énergie pourrait permettre d'obtenir des informations précieuses sur la structure du vide des interactions fortes, ainsi que sur les propriétés de la transition de phase chirale. Jusqu'à maintenant deux groupes ont tenté de détecter ce phénomène : T864 (minimax), une expérience de collisions proton-antiproton à Fermilab [43] et WA98 au SPS du CERN (collisions d'ions lourds) [44], toutes deux reportent des résultats négatifs. En fait à ce jour les seuls "signaux positifs" sont ceux reportés dans le domaine des rayons cosmiques au début des années 1980. Une partie du programme expérimental du détecteur STAR¹¹ à RHIC (BNL) est dédiée à la recherche de grandes fluctuations dans la distribution événement-par-événement de la fraction de pions neutres. Diverses autres signatures ont été proposées dans la littérature, mentionnons par exemple l'augmentation du nombre de photons de basse énergie [45, 46] par désintégration des pions neutres provenant du DCC, ou encore, plus récemment, l'anomalie dans les abondances de baryons multi-étrange Ω et $\bar{\Omega}$ [47].

Pour conclure ce chapitre d'introduction, reprenons les premières questions-réponses de la 'DCC trouble list' de J. D. Bjorken, qui résument bien l'idée sous-jacente aux études présentées dans les deux chapitres suivant,

Existence of DCC :

Must it exist ?	NO
Should it exist ?	MAYBE
Might it exist ?	YES
Does it exist ?	IT'S WORTH HAVE A LOOK

¹⁰Voir la '*DCC home page*' <http://wa98.web.cern.ch/WA98/DCC>

¹¹Voir la '*STAR home page*' <http://www.star.bnl.gov/STAR>

Chapitre 2

La probabilité de formation d'un champ de pion classique

Un scénario plausible pour la formation d'un champ de pion classique lors d'une collision nucléaire à haute énergie a été identifié [16] : l'expansion rapide du système entraîne la suppression brutale des fluctuations thermiques (trempage), générant une amplification importante des modes de grande longueur d'onde. Ce mécanisme microscopique permet de faire des prédictions qualitatives utiles pour l'élaboration de stratégies expérimentales, comme par exemple le fait que le signal soit à rechercher dans les pions de basse énergie. Un paramètre crucial pour la phénoménologie est la probabilité pour qu'un tel champ fort soit produit. En effet on choisira une méthode expérimentale plutôt qu'une autre selon que le nombre typique de collisions donnant lieu au phénomène cherché est de une sur dix ou de une sur un million.

Dans ce chapitre, nous nous proposons d'estimer l'ordre de grandeur de ce nombre. Il est clair que les modèles actuels ne permettent pas de dire quoi que ce soit de fiable au niveau quantitatif, néanmoins il est légitime de chercher à avoir une estimation, même grossière, de cette probabilité. En fait, nous en obtiendrons une limite supérieure. Le travail exposé dans ce chapitre a été réalisé en collaboration avec André Krzywicki et a fait l'objet d'une publication dans la revue *Physics Letters B* [48].

Cadre théorique et image physique

Le scénario du trempage est relativement robuste en ce qui concerne les détails de la dynamique. Ici, nous utiliserons le modèle σ -linéaire en tant qu'approximation de la dynamique des excitations de basse énergie de QCD que sont les pions. Le point essentiel est la forte dépendance du phénomène d'amplification vis-à-vis des conditions initiales. Notre but étant d'estimer l'ordre de grandeur de la probabilité d'avoir une amplification donnée, il nous faut donner un poids statistique à chacune des configurations initiales possibles.

Pour ce faire, nous aurons recours à des approximations, parfois très simplificatrices, mais qui "capturent" l'essentiel de la physique du phénomène. Ainsi nous traiterons les effets quantiques à l'ordre dominant dans un développement en $1/N$, où N est le nombre de composantes du champ chirale ϕ ($N = 4$). C'est une approximation de type champ moyen qui, nous l'avons vu dans le chapitre précédent (Eqs. (1.6) et (1.7)), décrit la physique de l'instabilité spinodale, responsable du phénomène d'amplification. De plus, nous considérerons le cas d'une expansion sphérique, la plus efficace pour le trempage des fluctuations

initiales. De manière générale, nous nous placerons toujours dans le cas le plus favorable pour la formation d'un champ fort de pion, de façon à avoir une limite supérieure à la probabilité cherchée. En effet on s'attend d'ores et déjà à ce que celle-ci soit faible [14] et, notre objectif étant d'avoir une estimation qualitative, une limite supérieure est un paramètre pertinent pour la phénoménologie.

Nous focalisons notre attention sur une petite bulle de matière chirale chaude, formée lors de la collision, qui subit une expansion très rapide et qui, selon son état initial, subit éventuellement une période d'instabilité durant laquelle les modes de grande longueur d'onde sont fortement amplifiés. Nous supposons que les fluctuations statistiques du champ de pion à l'intérieur de la bulle sont décrites par un ensemble thermique local. Exploitant cette hypothèse, nous proposons une méthode originale d'échantillonnage des configurations initiales du champ, habituellement choisies de façon arbitraire dans la littérature. En combinant cette méthode avec le formalisme de la Réf. [33] (voir aussi [34]), nous calculons la toute première estimation de la probabilité pour qu'un champ fort (classique), potentiellement observable, soit formé dans une collision d'ions lourds.

En toute rigueur, la probabilité obtenue doit être interprétée comme une probabilité conditionnelle, à multiplier par la probabilité pour que notre bulle initiale soit formée dans une collision réelle. Le calcul de cette dernière quantité requiert cependant un modèle pour l'ensemble de la collision, ce qui dépasse de loin le cadre de l'étude présentée ici. Néanmoins, l'hypothèse d'équilibre thermique local peut être vue, non pas comme une approximation de l'état réel du système, mais comme une paramétrisation de la distribution des configurations initiales possibles. Dans ce sens, le modèle décrit ci-dessus est suffisamment générique pour pouvoir, malgré sa simplicité, donner une estimation raisonnable de la probabilité cherchée.

Le chapitre est organisé comme suit : tout d'abord nous écrivons les équations dynamiques à l'ordre dominant en $1/N$ dans une géométrie en expansion (nous reprenons pour l'essentiel le formalisme des Refs. [33, 34]). Nous introduisons ensuite la notion de champ interpolant qui nous permettra de relier les nombres de particules dans les états initial et final. La méthode d'échantillonnage des conditions initiales est exposée en détails. Enfin nous présentons les résultats de notre calcul numérique, suivis d'une discussion et de la conclusion.

2.1 Le formalisme

La densité de Lagrangien du modèle σ -linéaire dans une géométrie quelconque, caractérisée par sa métrique $g_{\mu\nu}$, s'écrit (cf. (1.4))

$$\mathcal{L} = \sqrt{-g} \left(\frac{1}{2} g_{\mu\nu} \partial^\mu \phi \cdot \partial^\nu \phi - \frac{\lambda}{4} (\phi \cdot \phi - v^2)^2 + H\sigma \right)$$

où g est le déterminant de la métrique. L'action $\mathcal{S} = \int d^4x \mathcal{L}$ est, comme il se doit, un scalaire sous les transformations du système de coordonnées.

Nous cherchons à étudier l'évolution hors d'équilibre d'un système quantique avec un nombre infini de degré de liberté. Le formalisme adapté est la théorie quantique des champs hors d'équilibre. La théorie quantique des champs a été initialement développée pour décrire des problèmes de diffusion : on prépare le système à $t = -\infty$ et on fait une mesure à $t = +\infty$, où $\pm\infty$ signifient "très longtemps avant/après l'interaction". Il s'agit donc de calculer des amplitudes de transition entre états asymptotiques. La problématique qui nous occupe ici est très différente : ayant préparé le système dans un certain état initial, décrit par la matrice densité $\rho(t_0)$, on cherche à suivre son évolution au cours du temps. On veut calculer des objets du type $\langle \mathcal{O} \rangle(t) = \text{Tr}(\rho(t)\mathcal{O})$, l'évolution temporelle étant donnée par les équations du mouvement $\dot{\rho} = [H, \rho]$, où H est le hamiltonien du système. Il existe un formalisme très élégant qui permet d'utiliser les méthodes développées pour les problèmes de diffusion dans le cas des problèmes hors d'équilibre, c'est le formalisme dit de "chemin fermé" (Closed Time Path) [49, 50, 51]. En particulier, cette formulation assure la causalité des équations obtenues. Les particularités propres à ce formalisme, comme par exemple la forme matricielle des propagateurs, ne se manifestant pas dans l'approximation de champ moyen, nous n'en parlerons plus dans la suite.

2.1.1 Approximation de champ moyen

L'approximation dite "de champ moyen" consiste à remplacer les interactions entre quanta (les modes de Fourier du champ, en nombre infini) par une interaction moyenne effective. Les modes sont *effectivement* découplés les uns des autres en ce sens que chacun d'eux ne "voit" les autres que par l'intermédiaire du champ moyen qu'ils créent : chaque mode évolue dans un potentiel effectif créé par tous les autres modes. Nous avons déjà vu un exemple de ce genre d'approximation dans le chapitre précédent (Eqs. (1.6) et (1.7)). Rappelons-le, il nous sera utile dans la suite. Les équations du mouvement pour le champ quantique $\hat{\phi}$ s'écrivent (nous travaillerons dans le système de coordonnées de Minkowski tout au long de cette section : $g_{\mu\nu} = \text{diag}(1, -1, -1, -1)$)

$$\left(\partial^2 + \lambda(\hat{\phi}^2 - v^2) \right) \hat{\phi} = H\mathbf{n}_\sigma. \quad (2.1)$$

En remplaçant le terme ϕ^2 de la partie non-linéaire par sa valeur moyenne sur l'état considéré, et en décomposant le champ en la somme de sa valeur moyenne $\phi = \langle \hat{\phi} \rangle$ et des fluctuations autour de celle-ci : $\hat{\phi} = \phi + \delta\phi$, on obtient ($\langle \delta\phi \rangle = \mathbf{0}$)

$$(\partial^2 + \lambda(\phi^2 + \langle \delta\phi^2 \rangle - v^2)) (\phi + \delta\phi) = H\mathbf{n}_\sigma .$$

La valeur moyenne de cette équation nous donne une équation pour la valeur moyenne du champ. En soustrayant cette dernière à l'équation ci-dessus, on obtient l'équation pour les fluctuations :

$$(\partial^2 + \chi(x))\phi(x) = H\mathbf{n}_\sigma , \tag{2.2}$$

$$(\partial^2 + \chi(x))\delta\phi(x) = \mathbf{0} , \tag{2.3}$$

où

$$\chi(x) = \lambda (\phi^2(x) + \langle \delta\phi^2(x) \rangle - v^2) . \tag{2.4}$$

On voit bien ce qui se passe sur ces équations : le condensat (ou paramètre d'ordre) ϕ évolue dans un potentiel effectif qui n'est autre que le potentiel classique, corrigé par l'effet des fluctuations quantiques (le terme $\langle \delta\phi^2 \rangle$), la dynamique desquelles est gouvernée par une équation de type Klein-Gordon avec une masse qui dépend du temps. Les fluctuations du champ sont donc effectivement découplées et évoluent dans un potentiel effectif quadratique dont la courbure est déterminée d'une part par la valeur du condensat, et d'autre part par l'effet *moyen* des fluctuations elles-mêmes. La masse effective $\chi(t)$ représente la courbure locale du potentiel effectif à l'instant t .

Il existe différents types d'approximations de champ moyen. Dans ce chapitre, nous travaillerons avec l'approximation dite "grand N " qui consiste à ne retenir que l'ordre dominant dans un développement en $1/N$ où N est le nombre de composantes du champ ($N = 4$). Les équations ainsi obtenues sont précisément les Eqs. (2.2)-(2.4). Bien entendu la dérivation présentée ci-dessus ne constitue pas une preuve de cette affirmation et est seulement un moyen rapide d'écrire les équations. Il existe plusieurs manières d'obtenir l'ordre dominant en $1/N$ (voir par exemple [52, 53, 54, 55, 56, 31]). Ces différentes approches, bien qu'équivalentes, sont toutes aussi instructives les unes que les autres car elles éclairent le problème sous des angles différents et mettent ainsi en lumière divers aspects de l'approximation grand N en particulier, mais aussi, et plus généralement, de l'approximation de champ moyen. Dans la dérivation ci-dessus, nous avons sacrifié le problème de la lumière à celui du plus court chemin, et cela pour plus de clarté. Nous procéderons suivant cette ligne tout au long de ce chapitre, de façon à ne pas alourdir notre discours. Cependant, certains compléments utiles à la compréhension sont détaillés dans les Annexes, auxquelles le lecteur est renvoyé le cas échéant.

Ici, nous partons des Eqs. (2.2)-(2.4) et ne faisons que mentionner les aspects de l'approximation de champ moyen pertinents pour notre étude. Tout d'abord, et il est facile de le voir à partir des équations ci-dessus, il s'agit d'une approximation non-perturbative, dans ce sens qu'elle correspond à la resommation d'une classe infinie de termes de la série perturbative¹. C'est de plus une approximation semi-classique, ce dont on peut se convaincre si on réfléchit à ce qu'est le champ créé par l'ensemble des particules du milieu. De façon plus formelle, plaçons-nous un instant dans l'image de Schrödinger : c'est maintenant la matrice

¹Dans le cas présent, il s'agit des diagrammes dits "tadpoles" ou encore "daisy" et "super-daisy". Un autre exemple est donné par la resommation des boucles thermiques dures (HTL) dans les théories de jauge à haute température, où le champ moyen décrit les effets collectifs de grande longueur d'onde (voir par exemple [57]).

densité du système qui dépend du temps. L'approximation de champ moyen correspond à imposer que celle-ci soit une gaussienne à chaque instant (voir par exemple [31])². Par exemple, si le système est initialement dans un état cohérent (c'est à dire semi-classique), il reste dans un état cohérent à chaque instant : dans l'approximation de champ moyen, la dynamique est essentiellement classique. Ces deux aspects des Eqs. (2.2)-(2.4) sont tout à fait pertinents pour le problème qui nous intéresse : la formation d'un champ classique dans une théorie de couplage fort. Remarquons enfin que dans l'Eq. (2.3), les fluctuations dans les différentes directions d'isospin sont traitées sur un pied d'égalité. Cet artefact de l'approximation nous simplifie la tâche. En effet, dans ce chapitre, nous nous intéressons à l'intensité *totale* du champ de pion, c'est à dire sommée sur les directions d'isospin³. Le champ $\delta\phi$ doit être vu comme décrivant la fluctuation moyenne dans l'espace d'isospin.

2.1.2 Expansion sphérique

Pour tenir compte de l'expansion du système, nous nous plaçons dans un petit volume en co-mouvement, c'est à dire qui se déplace avec le "fluide" en expansion. Dans la suite, nous considérons le cas d'une expansion tri-dimensionnelle à symétrie sphérique à la vitesse de la lumière. Le temps mesuré par un observateur dans un co-volume est le temps propre $\tau = \sqrt{t^2 - r^2}$, où r est la distance à l'origine. La symétrie du problème est telle que la valeur du condensat ne dépend que de τ . Vue dans le référentiel où notre bulle en expansion est au repos, l'hypersurface $\tau = \text{cte}$ est une sphère dont le rayon croît très vite : à l'instant t , celui-ci vaut $r = \sqrt{t^2 - \tau^2}$. En passant d'une hypersurface de temps propre constant à une autre, on décrit les différentes couches sphériques à l'intérieur de notre bulle, elles-même en expansion. Imaginez un oignon dont les différentes couches s'étendent les unes derrière les autres, comme dans le schéma de la Fig. 2.1.

Commençons par introduire quelques notations et définitions.

Coordonnées

L'élément de longueur infinitésimal s'écrit

$$ds^2 = dt^2 - dr^2 + r^2(d\theta^2 - \sin^2\theta d\varphi^2).$$

Les coordonnées adaptées à la description de notre co-volume sont

$$\tau = \sqrt{t^2 - r^2}, \quad \eta = \frac{1}{2} \ln \left(\frac{t+r}{t-r} \right), \quad \theta, \quad \varphi,$$

en termes desquelles l'élément de longueur infinitésimal s'écrit⁴

$$ds^2 = g_{\mu\nu} dx^\mu dx^\nu = d\tau^2 - \tau^2 (h_{ij} dx^i dx^j), \quad (2.5)$$

où h_{ij} est la métrique tri-dimensionnelle décrivant l'hypersurface $\tau = 1$ (encore appelée pseudo-sphère de rayon unité)

$$h_{ij} = \text{diag}(1, \sinh^2 \eta, \sinh^2 \eta \sin^2 \theta),$$

et (g et h sont les déterminants de $g_{\mu\nu}$ et h_{ij} respectivement)

$$\sqrt{-g} = \tau^3 \sqrt{h}, \quad \sqrt{h} = \sinh^2 \eta \sin \theta. \quad (2.6)$$

²Ceci est intimement lié au fait que les opérateurs de création et d'annihilation des excitations (ou quasi-particules) du système à un instant t sont reliés aux opérateurs à l'instant initial par une transformation de Bogoliubov (voir plus loin, voir aussi l'Annexe A).

³L'étude de l'intensité dans les directions d'isospin individuelles fera l'objet du Chap. 3.

⁴Il s'agit d'une métrique de Robertson-Walker [58, 59].

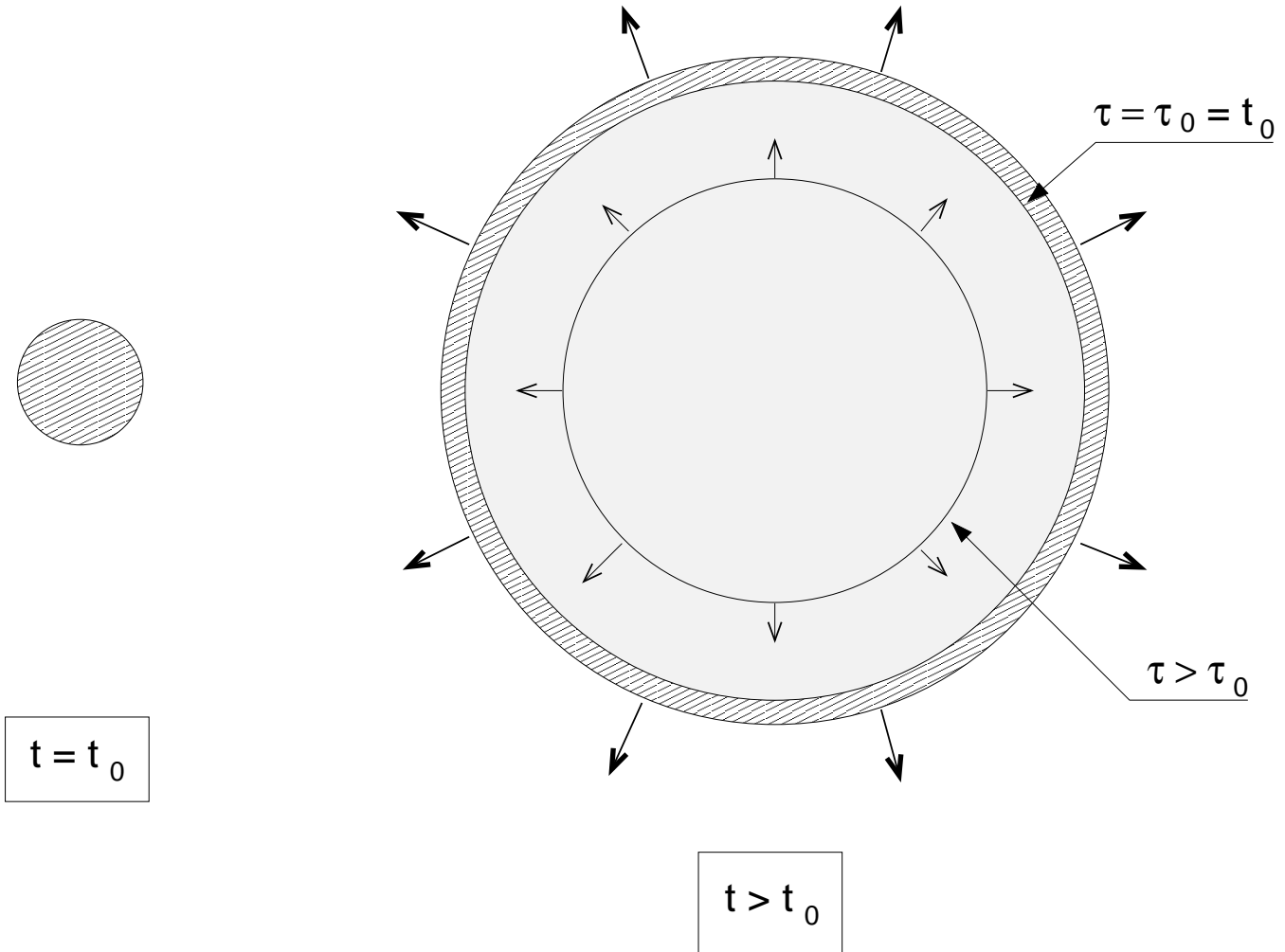


FIG. 2.1: Schéma de la bulle de matière chirale en expansion vue dans le référentiel où elle est globalement au repos. À l'instant initial $t = t_0$, on a une bulle de rayon R_0 à l'équilibre thermique local. Celle-ci "explose" : aux instants ultérieurs $t > t_0$, la surface externe de la bulle s'étend à la vitesse de la lumière, sa surface interne décrit l'hyperboloïde $\tau = \sqrt{t^2 - r^2} = \tau_0 = t_0$. Les hyperboloïdes successives $\tau > \tau_0$ décrivent l'intérieur de la bulle : ce sont des couches successives, en expansion les unes derrière les autres.

Laplaciens

Le Laplacien quadri-dimensionnel est défini par

$$\begin{aligned}\Delta^{(4)} \equiv \nabla_\mu \nabla^\mu &= \frac{1}{\sqrt{-g}} \partial_\mu \sqrt{-g} g^{\mu\nu} \partial_\nu \\ &= \frac{1}{\tau^3} \partial_\tau \tau^3 \partial_\tau - \frac{1}{\tau^2} \Delta^{(3)},\end{aligned}$$

où ∇_μ désigne la dérivée covariante et $\Delta^{(3)}$ est le Laplacien tri-dimensionnel sur la pseudo-sphère unité

$$\Delta^{(3)} = \frac{1}{\sqrt{h}} \partial_i \sqrt{h} h^{ij} \partial_j.$$

Afin d'exploiter la symétrie sphérique du problème, il est utile de décomposer le champ sur l'ensemble complet des fonctions propres de $\Delta^{(3)}$, définies par⁵ [60]

$$\Delta^{(3)} \mathcal{Y}_{\vec{s}}(\vec{x}) = -(s^2 + 1) \mathcal{Y}_{\vec{s}}(\vec{x}), \quad (2.7)$$

où $\vec{x} \equiv (\eta, \theta, \varphi)$, $\vec{s} \equiv (s, l, m)$; s est une variable continue, sans dimension $0 < s < +\infty$, l et m sont des nombres entiers $0 \leq l < +\infty$ et $-l \leq m \leq l$. Les “harmoniques hyperboliques” $\mathcal{Y}_{\vec{s}}$ sont bien connues [61], elles forment une base orthogonale de l'espace des fonctions sur la pseudo-sphère unité. Nous choisirons leur normalisation comme suit

$$\int d^3x \sqrt{h} \mathcal{Y}_{\vec{s}'}^*(\vec{x}) \mathcal{Y}_{\vec{s}}(\vec{x}) = \delta^{(3)}(\vec{s} - \vec{s}') \equiv \delta(s - s') \delta_{ll'} \delta_{mm'}. \quad (2.8)$$

Dans la suite nous utiliserons les propriétés suivantes [34, 61]

$$\int d^3s \mathcal{Y}_{\vec{s}'}^*(\vec{x}') \mathcal{Y}_{\vec{s}}(\vec{x}) = \frac{\delta^{(3)}(\vec{x} - \vec{x}')}{\sqrt{h}} \equiv \frac{\delta(\eta - \eta') \delta(\theta - \theta') \delta(\varphi - \varphi')}{\sqrt{h}}, \quad (2.9)$$

$$\mathcal{Y}_{\vec{s}}^* = (-1)^m \mathcal{Y}_{-\vec{s}}, \quad \sum_{lm} |\mathcal{Y}_{\vec{s}}(\vec{x})|^2 = \frac{s^2}{2\pi^2}, \quad (2.10)$$

avec les notations

$$\int d^3s \equiv \int_0^{+\infty} ds \sum_{lm}, \quad -\vec{s} = (s, l, -m).$$

Notre observateur en co-mouvement mesure des observables physiques, comme par exemple le nombre de particules, à des “instants de temps propre” τ . Pour décrire son système, il lui faut donc quantifier la théorie sur les hypersurfaces $\tau = \text{cte}$. Le formalisme adapté à ce problème est celui de la théorie quantique des champs en espace courbe [58]. Nous allons suivre ici les Refs. [33, 60] (voir aussi [34]).

Quantification

Les équations dynamiques à l'ordre dominant en $1/N$ dans la géométrie en expansion avec $\phi(x) = \phi(\tau)$ s'écrivent

$$\ddot{\phi}(\tau) + \frac{3}{\tau} \dot{\phi}(\tau) + \chi(\tau) \phi(\tau) = H \mathbf{n}_\sigma, \quad (2.11)$$

$$\left(\Delta^{(4)} + \chi(\tau) \right) \delta\phi(\tau, \vec{x}) = \mathbf{0}, \quad (2.12)$$

⁵On peut montrer que $\mathcal{Y}_{\vec{s}}(\vec{x}) = u_{sl}(\eta) Y_l^m(\theta, \varphi)$, où $Y_l^m(\theta, \varphi)$ sont les harmoniques sphériques usuelles, et $u_{sl}(\eta)$ forment un ensemble complet de fonctions réelles, régulières à l'origine.

où le point dénote la dérivée temporelle, et où

$$\chi(\tau) = \lambda (\phi^2(\tau) + \langle \delta\phi^2 \rangle(\tau) - v^2) . \quad (2.13)$$

Les différentes composantes chirales $\delta\phi_a$ de la fluctuation étant traitées sur un pied d'égalité dans cette approximation, nous concentrons notre attention sur une d'entre elles et omettons les indices chiraux pour simplifier les notations. Nous mentionnerons au fur et à mesure les modifications (évidentes) de nos formules quand ces indices sont réintroduits.

Tout d'abord, il est judicieux d'introduire les variables adimensionnées

$$\varphi(\tau, \vec{x}) = \tau \delta\phi(\tau, \vec{x}) , \quad \pi(\tau, \vec{x}) = \tau \dot{\phi}(\tau, \vec{x}) . \quad (2.14)$$

En effet, dans la suite nous parlerons des représentations de Schrödinger et de Heisenberg, et nous aurons besoin de définir l'opérateur unitaire qui connecte ces deux représentations. Or, on peut montrer (voir Annexe A) qu'en termes des variables (2.14) le problème s'exprime comme un ensemble (infini) d'oscillateurs harmoniques dont les fréquences dépendent du temps (voir Eq. (2.22) plus bas). En définissant la représentation de Schrödinger à l'instant de référence τ_0 , et en dénotant par $U(\tau, \tau_0)$ l'opérateur d'évolution, on a

$$\varphi(\tau) = U(\tau, \tau_0) \varphi(\tau_0) U^{-1}(\tau, \tau_0) , \quad (2.15)$$

$$\pi(\tau) = U(\tau, \tau_0) \pi(\tau_0) U^{-1}(\tau, \tau_0) , \quad (2.16)$$

où l'on a omis la dépendance spatiale. De là on tire les relations

$$\delta\phi(\tau) = \frac{\tau_0}{\tau} U(\tau, \tau_0) \delta\phi(\tau_0) U^{-1}(\tau, \tau_0) ,$$

$$\dot{\delta\phi}(\tau) = \frac{\tau_0^2}{\tau^2} U(\tau, \tau_0) \dot{\delta\phi}(\tau_0) U^{-1}(\tau, \tau_0) .$$

On peut construire explicitement⁶ l'opérateur d'évolution U pour un potentiel quadratique général [62]. Cependant, pour notre propos, nous n'avons pas besoin de cette construction, seules les lois de transformation ci-dessus nous seront utiles.

La décomposition du champ sur les modes \vec{s} s'écrit

$$\varphi(\tau, \vec{x}) = \int d^3s \left(a_{\vec{s}} \psi_s(\tau) \mathcal{Y}_{\vec{s}}(\vec{x}) + a_{\vec{s}}^\dagger \psi_s^*(\tau) \mathcal{Y}_{\vec{s}}^*(\vec{x}) \right) .$$

Définissons les projections $\varphi_{\vec{s}}$ et $\pi_{\vec{s}}$ du champ et de son moment conjugué⁷

$$\varphi_{\vec{s}}(\tau) = \int d^3x \sqrt{\hbar} \mathcal{Y}_{\vec{s}}^*(\vec{x}) \varphi(\tau, \vec{x}) = \psi_s(\tau) a_{\vec{s}} + \psi_s^*(\tau) (-1)^m a_{-\vec{s}}^\dagger , \quad (2.17)$$

$$\pi_{\vec{s}}(\tau) = \int d^3x \sqrt{\hbar} \mathcal{Y}_{\vec{s}}^*(\vec{x}) \dot{\varphi}(\tau, \vec{x}) = \psi_s'(\tau) a_{\vec{s}} + \psi_s^{*\prime}(\tau) (-1)^m a_{-\vec{s}}^\dagger , \quad (2.18)$$

⁶Il s'agit d'une construction formelle faisant intervenir les solutions de l'équation du mouvement (cf. Eq. (2.21). Il est toutefois intéressant de noter que l'on peut choisir arbitrairement les conditions initiales, pourvu que celles-ci satisfassent la contrainte de Wronskien (Eq. (2.23).

⁷Les fonctions modes, ainsi que les opérateurs de création et d'annihilation portent un indice chirale : ψ_s^a , et $a_{a, \vec{s}}$. Les relations de commutation sont :

$$\left[a_{a, \vec{s}} ; a_{b, \vec{s}'}^\dagger \right] = \delta_{ab} \delta^{(3)}(\vec{s} - \vec{s}') .$$

où le prime désigne la dérivation par rapport à $u = \ln(m_\pi \tau)$: $\psi' = \tau \dot{\psi}$. Les opérateurs de création et d'annihilation, $a_{\vec{s}}^\dagger$ et $a_{\vec{s}}$ satisfont aux relations de commutation

$$\left[a_{\vec{s}}; a_{\vec{s}'}^\dagger \right] = \delta^{(3)}(\vec{s} - \vec{s}'), \quad (2.19)$$

les autres commutateurs étant nuls. Les "fonctions mode" ψ_s satisfont aux équations différentielles

$$\ddot{\psi}_s(\tau) + \frac{1}{\tau} \dot{\psi}_s(\tau) + \omega_s^2(\tau) \psi_s(\tau) = 0, \quad (2.20)$$

que l'on peut réécrire

$$\psi_s''(\tau) + \tilde{\omega}_s^2(\tau) \psi_s(\tau) = 0, \quad (2.21)$$

où $\tilde{\omega}_s = \tau \omega_s$ et

$$\omega_s(\tau) = \sqrt{\frac{s^2}{\tau^2} + \chi(\tau)}. \quad (2.22)$$

On voit que le système se réduit à un ensemble d'oscillateurs Eq.(2.21), couplés entre eux d'une part, et avec le condensat d'autre part, à travers le terme de masse $\sqrt{\chi(\tau)}$. L'effet de ce couplage se traduit uniquement par la dépendance en temps de cette masse. Les fréquences physiques sont données par (2.22) (voir Annexe A). Le champ de fluctuation $\delta\phi$ et son moment conjugué $\Pi = \sqrt{-g} \delta\dot{\phi}$ (voir Annexe A) satisfont aux relations de commutation canoniques à temps propres égaux $[\delta\phi(\tau, \vec{x}); \Pi(\tau, \vec{x}')] = i \delta^{(3)}(\vec{x} - \vec{x}')$. Celles-ci sont équivalentes à (2.19) si les fonctions mode satisfont la condition de Wronskien

$$W_s = \psi_s(\tau) \psi_s'^*(\tau) - \psi_s'^*(\tau) \psi_s(\tau) = i. \quad (2.23)$$

Pour compléter la procédure de quantification, il faut spécifier les conditions initiales pour les fonctions modes, ainsi que pour leur dérivées. En effet, différents choix pour les ψ_s correspondent à différentes définitions des quasi-particules, ou, de façon équivalente, à différentes définitions du vide. Nous suivons ici les auteurs de la Réf. [33], en choisissant le vide adiabatique d'ordre zéro [60, 58] (voir Annexe A), c'est à dire

$$\psi_s(\tau_0) = g_s(\tau_0) \quad , \quad \psi_s'(\tau_0) = g_s'(\tau_0),$$

avec

$$g_s(\tau) = \frac{1}{\sqrt{2\tilde{\omega}_s(\tau)}} \exp\left(\int_{\tau_0}^{\tau} d\tau' \omega_s(\tau')\right), \quad (2.24)$$

Il est commode pour la suite d'introduire la notation

$$\psi_s^{(0)}(\tau) = \frac{1}{\sqrt{2\tilde{\omega}_s(\tau)}}, \quad (2.25)$$

$$\psi_s^{(1)}(\tau) = -\left[\frac{\tilde{\omega}_s'(\tau)}{2\tilde{\omega}_s(\tau)} + i\tilde{\omega}_s(\tau)\right] \psi_s^{(0)}(\tau). \quad (2.26)$$

La condition initiale pour les fonctions mode s'écrit alors

$$\psi_s(\tau_0) = \psi_s^{(0)}(\tau_0) \quad , \quad \psi_s'(\tau_0) = \psi_s^{(1)}(\tau_0). \quad (2.27)$$

L'approximation adiabatique peut être vue comme une définition du vide physique. Le problème de la définition d'un "bon" vide vient de la dépendance en temps de la métrique, Eq. (2.5). Cette dernière, couplée au champ quantique par l'intermédiaire du terme $\sqrt{-g}$ dans l'action, agit comme un champ classique qui rayonne des particules. Un état initialement vide, se remplit de quanta au fur et à mesure que le temps passe. Ce problème est brièvement discuté dans l'Annexe A. Pour résumer, l'approximation adiabatique consiste à minimiser le taux de production de particules dû à l'expansion. Le choix des conditions initiales (2.27) n'est cependant pas essentiel pour notre problème, ce que nous avons vérifié en essayant différents choix. Mentionnons toutefois que la condition adiabatique permet de renormaliser la théorie de manière non-ambigüe, indépendante du temps.

Renormalisation

L'équation de gap (2.13) fait intervenir la valeur moyenne du produit de deux opérateurs au même point $\langle \delta\phi^2(\tau, \vec{x}) \rangle$. Cette quantité diverge et il est nécessaire de régulariser la théorie, par exemple en introduisant une coupure ultraviolette Λ . Il est bien connu que ce type de modèle devient trivial (la constante de couplage tend vers zéro) quand $\Lambda \rightarrow \infty$, on doit donc garder Λ fini. Comme nous l'avons discuté plus haut, le modèle σ -linéaire est une approximation de la dynamique des excitations bosoniques de grande longueur d'onde de QCD. C'est un modèle effectif de basse énergie qui n'a de sens physique que s'il est défini avec une coupure finie $\Lambda \lesssim 1$ GeV, qui doit être vue comme un paramètre. Cependant, il est utile d'isoler les divergences et de les réabsorber dans la définition de quantités physiques de façon à minimiser la dépendance des résultats avec Λ . C'est dans ce sens qu'il faut comprendre la "renormalisation" décrite ci-dessous.

Afin d'isoler et de traiter les divergences de l'équation de gap, il est nécessaire de spécifier l'état du système sur lequel est prise la valeur moyenne. Anticipant sur la suite, nous écrivons

$$\langle a_{a,\vec{s}}^\dagger a_{b,\vec{s}'} \rangle = n_s \delta_{ab} \delta^{(3)}(\vec{s} - \vec{s}') \quad , \quad \langle a_{a,\vec{s}} a_{b,\vec{s}'} \rangle = 0 \quad ,$$

où l'on a réintroduit les indices chiraux. Nous supposons un état d'équilibre thermique local à l'instant initial, de sorte que n_s décroît exponentiellement vite pour les grandes valeurs de s . En utilisant les Eqs. (2.14) et (2.17), ainsi que les propriétés (2.10) et les relations de commutation (2.19), on obtient

$$\langle \delta\phi^2(\tau, \vec{x}) \rangle = \sum_{a=1}^N \langle \delta\phi_a^2(\tau, \vec{x}) \rangle = \frac{N}{\tau^2} \int_0^{+\infty} \frac{s^2 ds}{2\pi^2} (2n_s + 1) |\psi_s(\tau)|^2 \quad .$$

La partie divergente de cette intégrale vient de la contribution du vide $\sim \int s^2 ds |\psi_s|^2$. Pour $s^2 \gg 1$, on écrit, en ligne avec l'approximation adiabatique⁸,

$$\psi_s(\tau) = g_s(\tau) + \text{reste} \quad ,$$

⁸L'approximation adiabatique est exacte pour $s \rightarrow +\infty$, en effet, dans ce cas on a $\tilde{\omega}_s \simeq s$, et la solution de l'Eq. (2.21) ayant pour condition initiale (2.27) s'écrit

$$\psi_s \simeq \frac{1}{\sqrt{2s}} \exp[-i s \ln(\tau/\tau_0)] = g_s(\tau) \quad .$$

Remarquons que si le système, au cours de son évolution temporelle, traverse une période d'instabilité ($\chi < 0$), certaines fréquences ont des valeurs négatives pour cette période, et $\int_{\tau_0}^{\tau} \omega_s$ n'est pas un nombre réel. Pour ces modes, l'ansatz adiabatique ne peut être utilisé en tant qu'approximation de la fonction mode car alors, la relation (2.23) n'est pas satisfaite. Cette objection ne s'applique cependant pas pour les modes de haute énergie qui nous intéressent ici, et dont les fréquences sont toujours réelles.

où g_s est donnée par l'Eq. (2.24), et où le “reste” ne donne pas de contribution singulière. Ceci nous permet d'isoler la partie divergente⁹

$$\begin{aligned} \frac{1}{\tau^2} \int^{\Lambda\tau} s^2 ds |g_s(\tau)|^2 &= \frac{1}{\tau^2} \int^{\Lambda\tau} \frac{s^2 ds}{2\sqrt{s^2 + \tau^2\chi(\tau)}} \\ &= \int^{\Lambda} \frac{k^2 dk}{2\sqrt{k^2 + \chi(\tau)}}. \end{aligned}$$

Cette dernière intégrale est calculée dans l'Annexe C, on a

$$\langle \delta\phi^2 \rangle(\tau) = \frac{N}{8\pi^2} \left(\Lambda^2 - \chi \ln \frac{\Lambda}{\sqrt{|\chi|}} \right) + \dots,$$

où ... représente des termes dépendant faiblement de Λ . Ceci est valable quel que soit le signe de χ . La dépendance quadratique dans la coupure est indépendante du temps. Elle est facilement éliminée en soustrayant à la masse effective au carré χ sa valeur dans le vide, qui n'est autre que le carré de la masse physique du pion. En effet, dans le vide on a $\phi(\tau) \equiv (f_\pi, \mathbf{0})$ et l'équation de gap s'écrit

$$m_\pi^2 = \lambda (f_\pi^2 + \langle 0 | \delta\phi^2 | 0 \rangle - v^2),$$

avec

$$\begin{aligned} \langle 0 | \delta\phi^2 | 0 \rangle &= N \int_0^\Lambda \frac{k^2 dk}{2\pi^2} \frac{1}{2\sqrt{k^2 + m_\pi^2}} \\ &= \frac{N}{8\pi^2} \left(\Lambda^2 - m_\pi^2 \ln \frac{\Lambda}{m_\pi} \right) + \dots \end{aligned}$$

En exprimant χ en fonction de m_π^2 , ce qui revient à absorber la divergence dans le paramètre $v \equiv v(\Lambda)$, on s'affranchit du terme quadratique en Λ :

$$\frac{1}{\lambda} (\chi(\tau) - m_\pi^2) = \phi^2(\tau) - f_\pi^2 + \langle \delta\phi^2 \rangle(\tau) - \langle 0 | \delta\phi^2 | 0 \rangle.$$

La dépendance logarithmique restante est éliminée en définissant la constante de couplage renormalisée λ_R , telle que (voir Annexe C) [52, 34]

$$\begin{aligned} \frac{1}{\lambda_R} &= \frac{1}{\lambda} + \frac{N}{8\pi^2} \int_0^\Lambda \frac{k^2 dk}{(k^2 + m_\pi^2)^{3/2}} \\ &= \frac{1}{\lambda} + \frac{N}{8\pi^2} \ln \frac{\Lambda}{m_\pi} + \dots \end{aligned}$$

Comme promis, la procédure de renormalisation est indépendante du temps. L'équation de gap est entièrement exprimée en terme de quantités physiques mesurables, et donc indépendantes de la coupure Λ , qui doivent être tirées de l'expérience. Nous utiliserons les valeurs proposées dans les Réfs. [33, 34]¹⁰ de façon à pouvoir vérifier nos calculs en les comparant aux leurs

$$\begin{aligned} m_\pi &= 139.5 \text{ MeV}, \\ f_\pi &= 92.5 \text{ MeV}, \\ \lambda_R &= 7.3. \end{aligned}$$

⁹La coupure Λ s'interprète comme l'impulsion maximale permise. Ici l'impulsion est s/τ (cf. Eq. (2.22)), l'intégrale sur s est donc coupée à $s_{max} = \Lambda\tau$.

¹⁰Dans ces Réfs. (voir aussi [32]), la constante de couplage renormalisée λ_R est extraite de l'amplitude de diffusion $\pi\pi \rightarrow \pi\pi$ dans l'onde s (moment angulaire $l=0$), dans la voie isoscalaire (isospin total $I=0$).

Nous concluons cette partie par une remarque concernant les valeurs possibles de la coupure. La constante de couplage renormalisée dépend de l'échelle d'énergie μ à laquelle on la mesure, ici nous avons choisi $\mu = m_\pi$. Réécrivons la relation entre la constante de couplage nue $\lambda(\Lambda)$ et la constante de couplage renormalisée $\lambda_R(\mu)$ sous la forme

$$\lambda(\Lambda) = \frac{\lambda_R(\mu)}{1 - \lambda_R(\mu) \frac{N}{8\pi^2} I_3(\Lambda, \mu)},$$

où $I_3(\Lambda, \mu) \equiv I_3(\Lambda/\mu)$ est l'intégrale définie plus haut (voir aussi Annexe C). On voit que pour $\lambda_R > 0$ ¹¹, il existe une valeur critique finie Λ_c de la coupure pour laquelle la constante de couplage nue diverge. En supposant que $\Lambda_c/m_\pi \gg 1$, on obtient $I_3 \simeq \ln(2\Lambda_c/m_\pi) - 1$, c'est à dire ($N = 4$, $\lambda_R(m_\pi) = 7.3$)

$$\frac{\Lambda_c}{m_\pi} \simeq \frac{1}{2} e^{1+8\pi^2/N\lambda_R} \approx 20.$$

C'est le pôle de Landau de la théorie Φ^4 : pour $\Lambda > \Lambda_c$, la constante de couplage nue $\lambda(\Lambda)$ est négative, la théorie est instable. On doit donc prendre une valeur de la coupure inférieure au pôle de Landau. La valeur numérique de Λ_c est de l'ordre de 3 GeV, ce qui est bien au delà de l'échelle typique d'énergie que nous cherchons à décrire ici ($\lesssim 1$ GeV). Toujours en suivant les Réf. [33, 34], nous prendrons

$$\Lambda = 800 \text{ MeV}.$$

2.1.3 Particules physiques, champ interpolant

Notre but est de calculer le nombre de pions produits dans l'état final. Pour ce faire, il nous faut définir précisément ce qu'est cette quantité. C'est le sujet de cette partie.

Nous avons choisi, comme instant de référence, où les représentations de Schrödinger et de Heisenberg coïncident, l'instant initial $\tau = \tau_0$. Dans la représentation de Schrödinger, on a la décomposition suivante

$$\varphi_{\vec{s}} \equiv \varphi_{\vec{s}}(\tau_0) = \psi_s(\tau_0) a_{\vec{s}} + \psi_s^*(\tau_0) (-1)^m a_{-\vec{s}}^\dagger, \quad (2.28)$$

$$\pi_{\vec{s}} \equiv \pi_{\vec{s}}(\tau_0) = \psi'_s(\tau_0) a_{\vec{s}} + \psi'^*_s(\tau_0) (-1)^m a_{-\vec{s}}^\dagger. \quad (2.29)$$

Avec la condition adiabatique (2.27), $a_{\vec{s}}^\dagger (a_{\vec{s}})$ s'interprète comme la représentation de Schrödinger de l'opérateur qui crée (annihile) un quanta de fréquence $\omega_s(\tau_0)$. Ce sont les quantas appropriés à la description de l'état initial où le système est un plasma de pions interagissant fortement les uns avec les autres. Dans l'approximation de champ moyen ce système en interaction est remplacé par un ensemble d'excitations effectives libres de masse $\sqrt{\chi_0}$, en d'autres termes on "diagonalise" le problème en identifiant les excitations ou modes physiques du plasma. L'information concernant l'interaction entre les pions est entièrement contenue dans la masse effective de ces quasi-particules. Il est bien clair que, du fait de l'expansion la définition des quasi-particules change avec le temps : les excitations physiques du système à l'instant τ_0 ne sont plus les excitations *physiques* (c'est à dire qu'elles ne diagonalisent plus le hamiltonien) à l'instant $\tau_0 + \delta\tau$. En fait les opérateurs de création et d'annihilation correspondant aux quasi-particules à l'instant τ sont reliés à ceux correspondant aux quasi-particules à l'instant τ_0 par le biais d'une transformation unitaire dite de Bogoliubov (cf. Eq. (A.13) dans l'Annexe A).

¹¹Si $\lambda_R < 0$, $\lambda < 0$ et la théorie est instable

Il existe une infinité de manière de décomposer le champ sous la forme (2.28)-(2.29), chacune correspondant à un choix particulier d'opérateurs de création et d'annihilation ou, de façon équivalente, à un choix de la fonction mode et de sa dérivée (la seule contrainte sur ces fonctions est qu'elles doivent satisfaire la relation de Wronskien (2.23)). Les quasi-particules physiques du système à l'instant final τ_f sont des quanta de fréquence $\omega_s(\tau_f)$. En dénotant par $b_{\bar{s}}^\dagger$ et $b_{\bar{s}}$ les opérateurs de création et d'annihilation correspondant, dans la représentation de Schrödinger, on a

$$\begin{aligned}\varphi_{\bar{s}} &= \xi_s(\tau_0) b_{\bar{s}} + \xi_s^*(\tau_0) (-1)^m b_{-\bar{s}}^\dagger, \\ \pi_{\bar{s}} &= \xi'_s(\tau_0) b_{\bar{s}} + \xi_s'^*(\tau_0) (-1)^m b_{-\bar{s}}^\dagger.\end{aligned}$$

Les fonctions modes pour des quanta de fréquence $\omega_s(\tau_f)$ sont données par la condition adiabatique (2.25)-(2.26)

$$\begin{aligned}\xi_s(\tau_0) &= \psi_s^{(0)}(\tau_f), \\ \xi'_s(\tau_0) &= \psi_s^{(1)}(\tau_f).\end{aligned}$$

Dans la représentation de Heisenberg, les opérateurs de champ (2.17) et (2.18) peuvent se réécrire (cf. (2.15)-(2.16))

$$\varphi_{\bar{s}}(\tau) = \xi_s(\tau_0) b_{\bar{s}}(\tau) + \xi_s^*(\tau_0) (-1)^m b_{-\bar{s}}^\dagger(\tau), \quad (2.30)$$

$$\pi_{\bar{s}}(\tau) = \xi'_s(\tau_0) b_{\bar{s}}(\tau) + \xi_s'^*(\tau_0) (-1)^m b_{-\bar{s}}^\dagger(\tau), \quad (2.31)$$

où $b_{\bar{s}}(\tau) = U(\tau, \tau_0) b_{\bar{s}} U^{-1}(\tau, \tau_0)$ est la représentation de Heisenberg de $b_{\bar{s}}$. En utilisant les Eqs. (2.17)-(2.18), (2.30)-(2.31), et (2.23), on trouve aisément la transformation de Bogoliubov connectant les opérateurs $a_{\bar{s}}$, $a_{\bar{s}}^\dagger$ et $b_{\bar{s}}(\tau)$, $b_{\bar{s}}^\dagger(\tau)$:

$$b_{\bar{s}}(\tau) = \alpha_s(\tau) a_{\bar{s}} + \beta_s(\tau) (-1)^m a_{-\bar{s}}^\dagger,$$

avec

$$\begin{aligned}i \alpha_s^*(\tau) &= \xi_s(\tau_0) \psi_s'^*(\tau) - \xi_s'(\tau_0) \psi_s^*(\tau), \\ i \beta_s^*(\tau) &= \xi_s(\tau_0) \psi_s'(\tau) - \xi_s'(\tau_0) \psi_s(\tau).\end{aligned}$$

On vérifie, à l'aide de (2.23), que cette transformation est unitaire à chaque instant¹² :

$$|\alpha_s(\tau)|^2 - |\beta_s(\tau)|^2 = 1.$$

Bien sûr, bien que les formules ci-dessus soient valables pour tout τ , elles n'ont de signification physique que pour $\tau = \tau_f$. En effet, les quanta créés par l'opérateur $b_{\bar{s}}^\dagger$ ne correspondent aux excitations physiques du système qu'à cet instant (ce sont des excitations de fréquence

¹²La définition des quasi-particules que nous avons adoptée ici diffère de celle de la Réf. [33], où la base dite "adiabatique" est utilisée de manière abusive. En effet, cette base n'a de sens que si les fréquences de tous les modes sont toujours réelles [63], ce qui n'est pas le cas ici. Quand $\chi < 0$, la transformation reliant les opérateurs de la base adiabatique à différents instants n'est pas unitaire pour les modes $s^2 < \tau^2 \chi$, puisque le facteur exponentiel entrant dans la définition de la base adiabatique n'est pas une phase pure. Nous comprenons que, dans leur calcul, le facteur d'amplification a été obtenu à partir de la formule dérivée pour des fréquences réelles (le facteur de phase n'apparaît pas dans la formule du facteur d'amplification). Avec la dérivation présentée ici, nous obtenons la même formule pour le facteur d'amplification dans le cas général (cf. Eq. (2.37)).

$\omega_s(\tau_f)$). Avec les notations introduites ici, on peut écrire une formule valable pour toute valeur de τ_f :

$$b_{\vec{s}}(\tau_f) = \alpha_s(\tau_f) a_{\vec{s}} + \beta_s(\tau_f) (-1)^m a_{-\vec{s}}^\dagger, \quad (2.32)$$

avec

$$i \alpha_s^*(\tau_f) = \psi_s^{(0)}(\tau_f) \psi_s^{*\prime}(\tau_f) - \psi_s^{(1)}(\tau_f) \psi_s^*(\tau_f), \quad (2.33)$$

$$i \beta_s^*(\tau_f) = \psi_s^{(0)}(\tau_f) \psi_s'(\tau_f) - \psi_s^{(1)}(\tau_f) \psi_s(\tau_f). \quad (2.34)$$

Le nombre de quasi-particules physiques à l'instant τ_f est facilement obtenu. Nous verrons, dans la prochaine partie, que dans l'état initial

$$\langle a_{a,\vec{s}}^\dagger a_{b,\vec{s}'} \rangle = n_s^a \delta_{ab} \delta^{(3)}(\vec{s} - \vec{s}') , \quad \langle a_{a,\vec{s}} a_{b,\vec{s}'} \rangle = 0 ,$$

où l'on a rétabli les indices chiraux. On obtient alors

$$\langle b_{a,\vec{s}}^\dagger(\tau_f) b_{b,\vec{s}'}(\tau_f) \rangle = n_s^a(\tau_f) \delta_{ab} \delta^{(3)}(\vec{s} - \vec{s}') , \quad \langle b_{a,\vec{s}}(\tau_f) b_{b,\vec{s}'}(\tau_f) \rangle = 0 , \quad (2.35)$$

et le nombre moyen de quasi-particules de composante chirale a dans l'état final est donné par

$$n_s^a(\tau_f) + \frac{1}{2} = \mathcal{A}_s(\tau_f) \left(n_s^a + \frac{1}{2} \right) , \quad (2.36)$$

où l'on a défini le facteur d'amplification

$$\mathcal{A}_s(\tau_f) = 2 |\beta_s(\tau_f)|^2 + 1 \quad (2.37)$$

Nous verrons dans la suite que pour $\tau_f \gtrsim 10$ fm, le système a atteint un régime stationnaire où $\chi(\tau_f) \simeq m_\pi^2$: les excitations physiques sont des pions libres, dont nous calculerons la multiplicité à l'aide de la formule (2.36) ci-dessus.

2.2 Échantillonnage des conditions initiales

Cette partie constitue le cœur de notre travail. Nous considérons une petite bulle sphérique de matière chirale chaude, de rayon initial R_0 , que nous supposons avoir été formée à un instant t_0 dans la région centrale d'une collision nucléaire à haute énergie, et qui subit une expansion sphérique rapide. Nous supposons de plus que dans ce volume initial V_0 , le champ de pion fluctue dans l'ensemble thermique local. Les effets combinés des fluctuations initiales et de l'expansion rapide du système peuvent générer un "accident" : une période d'instabilité résultant dans l'amplification importante des modes de basse fréquence. Notre but est d'estimer la fréquence avec laquelle cet accident arrive, et plus précisément la probabilité d'avoir une amplification donnée. Le fait que cet accident ait lieu ou non dépend de la configuration initiale du champ de pion à l'intérieur de la bulle. Il nous faut donc échantillonner les configurations initiales possibles.

Le modèle présenté dans les parties précédentes décrit la dynamique du champ de pion à l'intérieur de la bulle, c'est à dire dans le quadri-volume $\tau \geq \tau_0 = t_0$. Notre modélisation de l'expansion sphérique suppose qu'à chaque instant t , le paramètre d'ordre est constant sur toute la surface de la sphère. Ceci est assuré par le fait que la valeur du paramètre d'ordre sur cette surface est la même que ce qu'elle était dans le petit volume initial, quand les différents points de la surface étaient en contact causal. Les conditions "initiales" sur

l'hypersurface $\tau = \tau_0$, dont nous avons besoin pour résoudre les équations du mouvement, sont donc données par la configuration du champ de pion dans le volume V_0 au temps t_0 .

Remarquons que l'idéalisation adoptée ici revient à supposer que la surface de la bulle est indéfiniment couplée à un bain thermique à la température T . Nous discuterons plus loin les implications du fait que cette source d'énergie extérieure ne dure qu'un temps fini dans une situation plus réaliste.

2.2.1 Les conditions initiales

Comment est caractérisée une configuration initiale du champ de pion ? Il est facile de se convaincre (cf. Eq. (2.12), voir aussi la Réf. [31]), que l'approximation de champ moyen correspond à une matrice densité $\rho(\tau_0) \equiv \rho_0$ gaussienne et qui plus est, diagonale dans l'espace des impulsions. L'état du système est donc complètement spécifié par la donnée des valeurs moyennes et "largeurs" de cette matrice densité :

$$\phi_a(\tau_0), \dot{\phi}_a(\tau_0),$$

et

$$\langle a_{a,\vec{s}}^\dagger a_{b,\vec{s}'} \rangle = N_s^a \delta_{ab} \delta^{(3)}(\vec{s} - \vec{s}') \quad , \quad (-1)^m \langle a_{a,-\vec{s}} a_{b,\vec{s}'} \rangle = P_s^a \delta_{ab} \delta^{(3)}(\vec{s} - \vec{s}') \quad ,$$

où $a, b = 1, \dots, N$ ($N = 4$). En principe les valeurs de N_s^a et P_s^a fluctuent d'un évènement à l'autre et doivent être tirées aléatoirement dans l'ensemble thermique local. Cependant, en ce qui concerne l'évolution temporelle du système, ces quantités ne jouent un rôle que dans la formule de la masse effective (2.13), où elles apparaissent sous une intégrale sur tous les modes. Les fluctuations statistiques sont alors moyennées à zéro et on peut remplacer ces quantités par leurs valeurs moyennes

$$\bar{N}_s^a = n_s \quad , \quad \bar{P}_s^a = 0 \quad ,$$

où n_s est la distribution de Bose-Einstein pour les quanta de fréquence $\omega_s(\tau_0)$ et est indépendant de la direction d'isospin dans l'approximation grand N :

$$n_s = \frac{1}{e^{\omega_s(\tau_0)/T} - 1} \quad .$$

Les quantités N_s^a et P_s^a interviennent aussi dans le calcul). Ici, nous sommes intéressés à la multiplicité moyenne et nous remplacerons partout N_s^a et P_s^a par leurs valeurs moyennes.

Les quanta de l'état initial sont définis par la donnée des fonctions modes $\psi_s(\tau_0)$ et de leur dérivées $\dot{\psi}_s(\tau_0)$, qui sont à leur tour complètement déterminées par les valeurs de la masse effective initiale $\chi(\tau_0) \equiv \chi_0$ et de sa dérivée $\dot{\chi}(\tau_0) \equiv \dot{\chi}_0$. On obtient ces deux quantités à partir de l'équation de gap, en utilisant l'Eq. (2.24) (ci-dessous, on fait le changement de variable $k = s/\tau$) : χ_0 est la solution de

$$\chi_0 = \lambda \left[\phi_0^2 - v^2 + N A_1(\chi_0) \right] \quad , \quad (2.38)$$

et $\dot{\chi}_0$ satisfait l'équation algébrique

$$\dot{\chi}_0 \left[\frac{1}{\lambda} + \frac{N}{4} A_3(\chi_0) \right] = 2 \phi_0 \cdot \dot{\phi}_0 - \frac{N}{2\tau_0} \left[2A_1(\chi_0) + \chi_0 A_3(\chi_0) - \frac{\Lambda^3}{2\pi^2} \frac{\coth[E_\Lambda(\chi_0)/2T]}{E_\Lambda(\chi_0)} \right] \quad , \quad (2.39)$$

avec $\phi_0 \equiv \phi(\tau_0)$ et $\dot{\phi}_0 \equiv \dot{\phi}(\tau_0)$, et où l'on a introduit les notations suivantes :

$$E_k(\mu^2) = \sqrt{k^2 + \mu^2} \quad (2.40)$$

$$A_p(\mu^2) = \int_0^\Lambda \frac{k^2 dk}{2\pi^2} \frac{1}{[E_k(\mu^2)]^p} \coth\left(\frac{E_k(\mu^2)}{2T}\right). \quad (2.41)$$

Il est facile de vérifier que l'Eq. (2.39), exprimée en termes de la constante de couplage renormalisée λ_R , ne contient aucune dépendance forte dans la coupure Λ , comme il se doit.

En conclusion, on voit que la configuration initiale du système est complètement spécifiée par la donnée des huit nombres réels $\{\phi_0, \dot{\phi}_0\}$. Un exemple en est donné dans la Fig. 2.2, qui représente la variation temporelle de la masse effective au carré $\chi(\tau)$ pour un des choix des valeurs initiales du paramètre d'ordre et de sa dérivée faits dans [34]. Dans cet exemple χ prend des valeurs négatives et on assiste à une forte amplification des modes de basse fréquence. La Fig. 2.3 montre le facteur d'amplification $\mathcal{A}_s(\tau_f)$ correspondant (cf. Eq. (2.37)) en fonction de s pour $\tau_f = 5, 10$ et 15 fm.

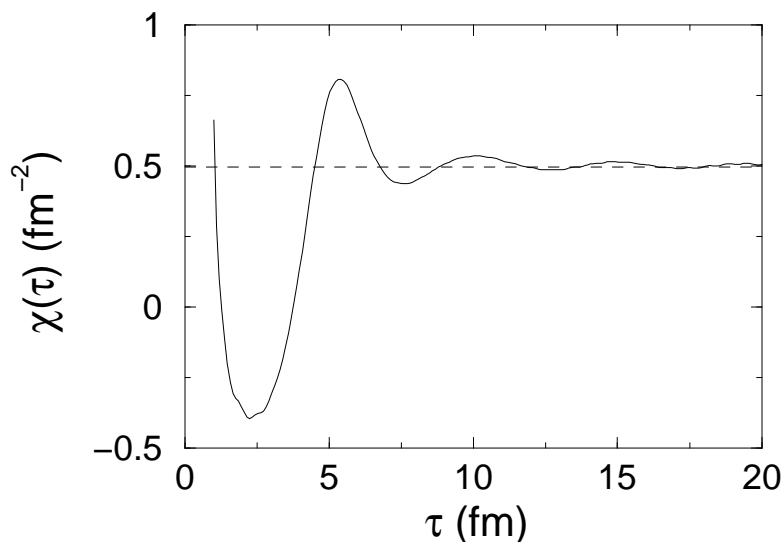


FIG. 2.2: Evolution temporelle de $\chi(\tau)$ (en fm^{-2}) pour la condition initiale (cf. [34, 33]) $\phi(\tau_0) = (0.3, \mathbf{0})$ (en fm^{-1}), $\dot{\phi}(\tau_0) = (-1, \mathbf{0})$ (en fm^{-2}), à $\tau_0 = 1$ fm. Les paramètres sont $\Lambda = 800$ MeV, $m_\pi = 139.5$ MeV, $f_\pi = 92.5$ MeV, $\lambda_R = 7.3$. La ligne en tirets montre la valeur de $m_\pi^2 = 0.5 \text{ fm}^{-2}$.

Dans la littérature, les valeurs des conditions initiales sont généralement choisies de manière arbitraire. Dans la partie suivante, nous allons montrer que l'hypothèse, largement utilisée, d'un état initial en équilibre thermique local est suffisante pour déterminer la probabilité pour que ces nombres prennent des valeurs données.

2.2.2 Équilibre thermique local

Comme nous l'avons vu plus haut, les conditions sur l'hypersurface $\tau = \tau_0$ sont données par la configuration du champ à l'intérieur de la bulle de rayon R_0 , en équilibre thermique local à l'instant t_0 . Dans cette partie, nous focalisons notre attention sur cette dernière. Nous utiliserons des notations conventionnelles, à ne pas confondre avec les notations utilisées dans le reste du chapitre : \vec{x} désigne la position dans le système de coordonnées cartésiennes, $\vec{x} = (x, y, z)$, $d^3x = dx dy dz$. Nous omettrons d'écrire la variable temporelle, partout égale à t_0 .

Pour exposer notre argument de façon claire, nous négligeons dans un premier temps les complications dues à la mécanique quantique et considérons l'exemple d'un champ scalaire classique, sans structure d'isospin, en équilibre thermique local à la température T dans

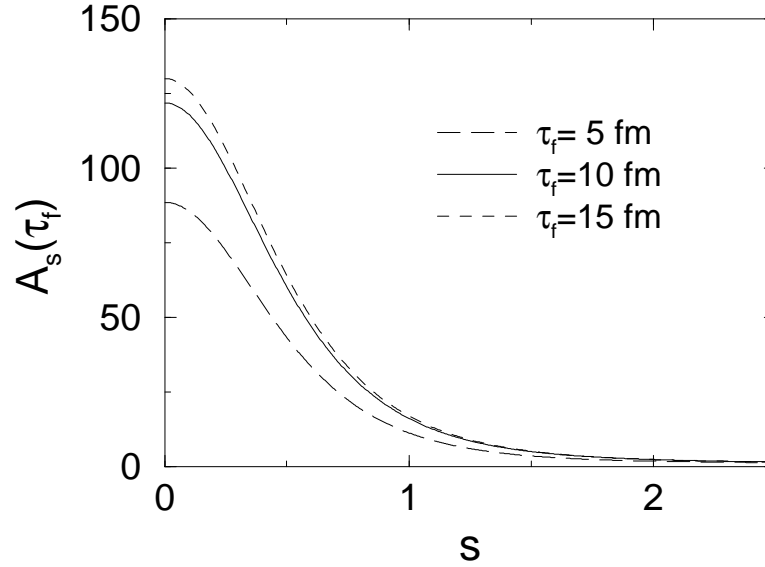


FIG. 2.3: Le facteur d'amplification $\mathcal{A}_s(\tau_f)$ correspondant à l'évènement de la Fig. 2.2, pour différentes valeurs de τ_f .

une petite boule de volume V_0 . Cela signifie que tout se passe comme si cette boule était une sous-partie d'un grand système de volume $V \gg V_0$ en équilibre thermodynamique à la même température T . Dans ce grand système fictif, en l'absence de corrélations à longue distance (ce qui est le cas pour des interactions à courte portée) la variance des fluctuations statistiques de la moyenne spatiale du champ sur le volume total V est très petite, d'ordre $1/V$ (elle est nulle dans la limite thermodynamique $V \rightarrow \infty$, cf. Eq. (2.51)). La variance correspondante pour la moyenne spatiale du champ *sur le volume* V_0 est plus grande d'un facteur V/V_0 (pourvu que le rayon de la boule soit au moins de l'ordre de la longueur de corrélation thermique¹³) $\lambda_T = 1/\sqrt{\chi_T}$. Le même raisonnement s'applique à la dérivée temporelle du champ moyennée sur le volume V_0 . Le point essentiel est que, dans le système en équilibre local, les valeurs du champ et de sa dérivée, moyennés sur le volume V_0 de la bulle, fluctuent dans l'ensemble canonique et donc de manière parfaitement prédictible, pourvu que le rayon initial R_0 ne soit pas trop petit.

Appliquons ces idées à notre problème. Dans la théorie quantique, on définit les opéra-

¹³Considérons le système de volume V , et divisons le en $k = V/V_0$ sous-parties identiques de volume V_0 . La moyenne spatiale du champ dans chacune de ces sous-parties est

$$\bar{\phi}_i = \frac{1}{V_0} \int_{V_i} d^3x \phi(\vec{x}), \quad i = 1, 2, \dots, k.$$

Choisissons le rayon R_0 des cellules au moins égal à la longueur de corrélation du champ à l'équilibre thermodynamique à la température T , $R_0 \gtrsim \lambda_T$. Ainsi, par construction, les $\bar{\phi}_i$ sont des variables aléatoires indépendantes, ayant toutes la même distribution de probabilité. La somme de ces variables aléatoires, $S = \sum_{i=1}^k \bar{\phi}_i$, est une variable aléatoire dont la moyenne statistique est égale à la somme des moyennes statistiques des $\bar{\phi}_i$, et dont la variance est égale à la somme des variances des $\bar{\phi}_i$: $E[S] = kE[\bar{\phi}]$, et $\text{Var}[S] = k\text{Var}[\bar{\phi}]$. La somme S n'étant autre que la moyenne spatiale du champ sur le volume total V , à un facteur k près : $\bar{\phi}_V = S/k$, on en déduit

$$E[\bar{\phi}] = E[\bar{\phi}_V] \quad , \quad \text{Var}[\bar{\phi}] = \frac{V}{V_0} \text{Var}[\bar{\phi}_V].$$

teurs (a désigne les composantes chirales)

$$\begin{aligned}\bar{\Phi}_a &= \frac{1}{V_0} \int_{V_0} d^3x \Phi_a(\vec{x}), \\ \bar{\dot{\Phi}}_a &= \frac{1}{V_0} \int_{V_0} d^3x \dot{\Phi}_a(\vec{x}).\end{aligned}$$

Ceux-ci ne reçoivent pas de contribution de la part des modes de petite longueur d'onde, moyennés à zéro. Un observateur vivant dans la boule de volume V_0 , et mesurant ces observables, identifiera donc le résultat de sa mesure avec les valeurs du paramètre d'ordre et de sa dérivée respectivement. La distribution des valeurs possibles $\bar{\phi}_a$ et $\bar{\dot{\phi}}_a$ des résultats de cette mesure est donnée par la distribution de Wigner¹⁴ (voir Annexe B), caractérisée par les moyennes

$$\text{E} [\bar{\phi}_a] = \langle \bar{\Phi}_a \rangle_T, \quad (2.42)$$

$$\text{E} [\bar{\dot{\phi}}_a] = \langle \bar{\dot{\Phi}}_a \rangle_T, \quad (2.43)$$

les variances¹⁵

$$\text{Var} [\bar{\phi}_a] = \langle \bar{\Phi}_a^2 \rangle_T - \langle \bar{\Phi}_a \rangle_T^2, \quad (2.44)$$

$$\text{Var} [\bar{\dot{\phi}}_a] = \langle \bar{\dot{\Phi}}_a^2 \rangle_T - \langle \bar{\dot{\Phi}}_a \rangle_T^2, \quad (2.45)$$

et par la covariance

$$\text{Cov} [\bar{\phi}_a, \bar{\dot{\phi}}_a] = \frac{1}{2} \langle \bar{\Phi}_a \bar{\dot{\Phi}}_a + \bar{\dot{\Phi}}_a \bar{\Phi}_a \rangle_T - \langle \bar{\Phi}_a \rangle_T \langle \bar{\dot{\Phi}}_a \rangle_T \quad (2.46)$$

où $\langle \mathcal{O} \rangle_T = \text{Tr}(\rho \mathcal{O})$ désigne la moyenne sur l'ensemble thermique ($\rho \propto \exp(-H/T)$, où H est le hamiltonien du système). Le calcul des quantités ci-dessus est détaillé dans l'Annexe B. L'état d'équilibre thermodynamique est homogène et invariant par translation dans le temps. En dénotant par ϕ_T la valeur du paramètre d'ordre dans cet état et χ_T celle de la masse effective au carré, on obtient, à l'aide de l'Eq. (2.11),

$$\phi_T = \frac{H}{\chi_T} \mathbf{n}_\sigma, \text{ et } \dot{\phi}_T = \mathbf{0}, \quad (2.47)$$

d'où on déduit

$$\text{E} [\bar{\phi}_a] = \frac{H}{\chi_T} \delta_{a0}, \quad (2.48)$$

$$\text{E} [\bar{\dot{\phi}}_a] = 0. \quad (2.49)$$

L'équation de gap thermique, dont χ_T est la solution, s'écrit (cf. Eq. (2.41))

$$\chi_T = \lambda [\phi_T^2 - v^2 + N A_1(\chi_T)], \quad (2.50)$$

où ϕ_T^2 est donné par l'Eq. (2.47). Dans l'approximation de champ moyen, le système en interaction est remplacé par un ensemble d'excitations libres de masse effective $\sqrt{\chi_T}$, c'est à

¹⁴La distribution de probabilité de la valeur mesurée d'une observable \mathcal{O} est déterminée par la fonction caractéristique $\langle e^{ik\mathcal{O}} \rangle$.

¹⁵Tous les termes non-diagonaux dans les indices chiraux sont nuls dans l'approximation grand N

dire que le hamiltonien effectif est quadratique et la matrice densité de l'ensemble thermique $\rho \propto \exp(-H/T)$ est gaussienne. La distribution de probabilité des valeurs possibles de $\bar{\phi}$ et $\dot{\bar{\phi}}$ est donc complètement déterminée par les paramètres (2.42)-(2.45), la covariance étant nulle.

Quand le rayon R_0 est grand devant la longueur de corrélation dans l'ensemble thermique à température T , $\lambda_T = 1/\sqrt{\chi_T}$, les fluctuations à l'intérieur de la bulle sont indépendante de ce qui se passe à l'extérieur, et on peut donner une expression analytique pour les variances :

$$\text{Var} [\bar{\phi}_a] \simeq \frac{1}{2V_0\sqrt{\chi_T}} \coth\left(\frac{\sqrt{\chi_T}}{2T}\right), \quad (2.51)$$

$$\text{Var} [\dot{\bar{\phi}}_a] \simeq \frac{\sqrt{\chi_T}}{2V_0} \coth\left(\frac{\sqrt{\chi_T}}{2T}\right). \quad (2.52)$$

La dispersion de la variable $\bar{\phi}_a$, calculée numériquement (voir Annexe B), est plus petite d'un facteur 2 (1.5) que ce que donne la formule ci-dessus pour $R_0 = \lambda_T$ ($R_0 = 2\lambda_T$), pour des températures allant de $T = 200$ à 400 MeV. Pour la variable $\dot{\bar{\phi}}_a$, l'écart entre le résultat analytique ci-dessus et le calcul exact est de 20% (8%). Cet écart augmente rapidement pour $R_0 < \lambda_T$. Les fluctuations sont approximativement indépendantes de ce qui se passe hors de la bulle, pourvu que $R_0 \gtrsim \lambda_T$.

En résumé, la configuration initiale du système est complètement déterminée par la donnée des quatres composantes chirales du paramètre d'ordre et de sa dérivée à l'instant τ_0 : $\phi(\tau_0)$ et $\dot{\phi}(\tau_0)$. Ces huit nombres sont des variables gaussiennes indépendantes dont les moyennes sont données par les Eqs. (2.48) et (2.49), et dont les variances sont approximativement données par les Eqs. (2.51) et (2.52).

2.3 Résultats et discussion

Dans cette partie nous appliquons la méthode d'échantillonnage des conditions initiales décrite ci-dessus au calcul de la probabilité d'avoir une amplification donnée dans l'état final. Nous résumons tout d'abord la stratégie du calcul et examinons la question du choix des paramètres. Ceux-ci sont contraints par la cohérence physique du modèle et des approximations utilisées. De plus, ils doivent être choisis en correspondance avec la question posée. Enfin, nous présentons et discutons les résultats du calcul, puis nous définissons les valeurs de l'amplification correspondant à un phénomène observable dont nous calculons la probabilité d'occurrence.

2.3.1 La stratégie : récapitulatif

Les paramètres de notre modèle, outre ceux déjà fixés : m_π , f_π , λ_R et Λ , sont l'instant $t_0 = \tau_0$, le rayon R_0 et la température T initiaux. Nous discuterons plus loin le choix des valeurs de ces paramètres. Commençons par énumérer les différentes étapes du calcul :

1. Nous calculons d'abord la longueur de corrélation λ_T du champ dans l'ensemble thermodynamique à la température T . Celle-ci est donnée par l'inverse de la masse effective des excitations (quasi-particules) du système, dont le carré est solution de l'équation d'auto-cohérence (Eqs. (2.47) et (2.50)) à l'équilibre thermique :

$$\frac{\chi_T}{\lambda} = \left(\frac{H}{\chi_T}\right)^2 - v^2 + N \int_0^\Lambda \frac{k^2 dk}{2\pi^2} \frac{2N_k(\chi_T) + 1}{2E_k(\chi_T)}.$$

Puis nous calculons les moyennes et dispersions (σ_1 et σ_2) des distributions de probabilité des valeurs possibles du paramètre d'ordre $\phi(\tau_0)$ et de sa dérivée $\dot{\phi}(\tau_0)$ à l'aide des formules (B.17), (B.18), (B.23) et (B.25) de l'Annexe B :

$$\begin{aligned} V_0^2 \sigma_1^2 &= 4 R_0^4 \int_0^\Lambda \frac{dk}{E_k} \coth\left(\frac{E_k}{2T}\right) \mathcal{F}(kR_0), \\ V_0^2 \sigma_2^2 &= 4 R_0^4 \int_0^\Lambda dk E_k \coth\left(\frac{E_k}{2T}\right) \mathcal{F}(kR_0), \end{aligned}$$

où $F(y) = (\sin y - y \cos y)^2 / y^4$ et $E_k = \sqrt{k^2 + \chi_T}$.

2. Nous tirons aléatoirement les valeurs initiales des composantes chirales du paramètre d'ordre et de sa dérivée : $\{\phi(\tau_0); \dot{\phi}(\tau_0)\}$, avec lesquelles nous initialisons complètement le système. Nous calculons tout d'abord la masse effective des excitations physiques du milieu à l'aide de l'équation d'auto-cohérence à l'instant initial (équilibre thermique local) (2.38) :

$$\chi_0 = \lambda [\phi_0^2 - v^2 + N A_1(\chi_0)],$$

et dont la dérivée temporelle à l'instant initial est donnée par l'Eq. (2.39). Avec ces deux nombres, nous initialisons l'ensemble des fonctions modes $\psi_s(\tau_0)$ (Eqs. (2.26)-(2.27))

$$\begin{aligned} \psi_s(\tau_0) &= \frac{1}{\sqrt{2\tilde{\omega}_s(\tau_0)}}, \\ \dot{\psi}_s(\tau_0) &= -\left[\frac{\tilde{\omega}'_s(\tau_0)}{2\tilde{\omega}_s(\tau_0)} + i\tilde{\omega}_s(\tau_0)\right] \psi_s(\tau_0), \end{aligned}$$

avec $\tilde{\omega}_s(\tau_0) = \tau_0 \omega_s(\tau_0) = \sqrt{s^2 + \tau_0^2 \chi_0}$ et $\tilde{\omega}'_s(\tau_0) = (2\tau_0 \dot{\chi}_0 + \tau_0^2 \ddot{\chi}_0) / 2\omega_s(\tau_0)$.

3. On peut alors résoudre les équations du mouvement (2.11), (2.20) et (2.13)

$$\begin{aligned} \ddot{\phi}(\tau) + \frac{3}{\tau} \dot{\phi}(\tau) + \chi(\tau) \phi(\tau) &= H \mathbf{n}_\sigma, \\ \ddot{\psi}_s(\tau) + \frac{1}{\tau} \dot{\psi}_s(\tau) + \omega_s^2(\tau) \psi_s(\tau) &= 0, \end{aligned}$$

et

$$\frac{\chi(\tau)}{\lambda} = \phi^2(\tau) - v^2 + \frac{N}{\tau^2} \int_0^{\Lambda\tau} \frac{s^2 ds}{2\pi^2} (2n_s + 1) |\psi_s(\tau)|^2.$$

4. On obtient ainsi les valeurs des fonctions modes et de leur dérivées à l'instant final : $\psi_s(\tau_f)$ et $\dot{\psi}_s(\tau_f)$, ainsi que celles de la masse des excitations physiques et sa dérivée : $\chi(\tau_f) \equiv \chi_f$ et $\dot{\chi}(\tau_f) \equiv \dot{\chi}_f$, à l'aide desquelles on calcule la multiplicité finale (2.36)

$$n_s^a(\tau_f) + \frac{1}{2} = \mathcal{A}_s(\tau_f) \left(n_s^a + \frac{1}{2} \right),$$

où le facteur d'amplification est donné par

$$\mathcal{A}_s(\tau_f) = 2 |\beta_s(\tau_f)|^2 + 1,$$

avec (2.34)

$$|\beta_s^*(\tau_f)|^2 = |\psi_s^{(0)}(\tau_f) \psi_s'(\tau_f) - \psi_s^{(1)}(\tau_f) \psi_s(\tau_f)|^2.$$

et (2.25)-(2.26)

$$\begin{aligned}\psi_s^{(0)}(\tau_f) &= \frac{1}{\sqrt{2\tilde{\omega}_s(\tau_f)}}, \\ \psi_s^{(1)}(\tau_0) &= -\left[\frac{\tilde{\omega}'_s(\tau_f)}{2\tilde{\omega}_s(\tau_f)} + i\tilde{\omega}_s(\tau_f)\right] \psi_s^{(0)}(\tau_0),\end{aligned}$$

où $\tilde{\omega}_s(\tau_f) = \sqrt{s^2 + \tau_f^2 \chi_f}$ et $\tilde{\omega}'_s(\tau_f) = (2\tau_f \chi_f + \tau_f^2 \dot{\chi}_f)/2\omega_s(\tau_f)$.

5. On répète les pas 2 à 4 autant de fois que possible, de façon à avoir une bonne statistique.
6. Enfin, on recommence avec d'autres valeurs des paramètres.

2.3.2 Cohérence physique du modèle et choix des paramètres

Il est clair que le modèle effectif de basse énergie que nous utilisons ici n'a de sens que pour des températures $T \ll \Lambda$. De façon plus fine, le modèle σ -linéaire n'a pas de sens pour des températures trop élevées devant la température critique de la transition de phase chirale $T_c \approx 160$ MeV. En effet, à ces températures, on doit tenir compte des degrés de libertés colorés que sont les quarks et les gluons, la température critique de la transition de déconfinement étant du même ordre de grandeur. Pour la physique qui nous intéresse, on doit cependant démarrer dans la phase symétrique ($T > T_c$), et on néglige le phénomène du déconfinement, sans toutefois aller trop haut en température.

Voyons d'abord quelles sont les limites imposées par la cohérence physique du modèle sur les paramètres R_0 et $\tau_0 = t_0$. En ce qui concerne la taille de la bulle initiale, nos hypothèses ne sont valables que pour $R_0 \gtrsim \lambda_T$. En effet, l'hypothèse d'équilibre local n'a de sens que si les degrés de liberté du système fluctuent plus ou moins indépendamment de l'environnement de la bulle. Dit d'une autre façon, nous avons vu que l'approximation de champ moyen consiste à voir le système comme un ensemble d'excitations indépendantes de masse effective $\sqrt{\chi_0} \sim \sqrt{\chi_T}$. Cette image n'a de sens que si le volume dans lequel vivent ces excitations est au moins supérieur à leur extension spatiale $\sim 1/\sqrt{\chi_T}$. Nous n'excluons bien évidemment pas la possibilité que l'instabilité que nous cherchons à décrire se développe dans une bulle plus petite, mais ce scénario est en dehors du domaine d'applicabilité de notre modèle. L'instant initial t_0 est le temps de formation de notre bulle lors de la collision. Celui-ci doit être supérieur au temps de formation d'une quasi-particule qui est au moins de l'ordre du temps caractéristique des interactions fortes ~ 1 fm. De même, il ne fait aucun sens de parler d'équilibre pour des temps inférieurs à cette échelle. Enfin, on a $t_0 \geq R_0 \gtrsim \lambda_T \sim 1$ fm pour les températures considérées.

Revenons maintenant à la question de départ : nous voulons estimer l'ordre de grandeur de la limite supérieure¹⁶ de la probabilité d'avoir une amplification notable. Nous nous plaçons donc dans les conditions les plus favorables pour qu'une instabilité se développe. Nous avons déjà vu que le trempage des fluctuations initiales est d'autant plus efficace que le terme de friction dans les équations du mouvement est grand. Celui-ci étant inversement proportionnel au temps, nous commencerons l'expansion le plus tôt possible, c'est à dire

¹⁶Notre description repose implicitement sur l'hypothèse que cette probabilité est rare. En effet, dans le cas contraire il faudrait s'inquiéter de la possibilité que plusieurs bulles développant des instabilités soient formées lors de la collision, et prendre en compte les interactions entre des bulles voisines. En particulier, l'hypothèse selon laquelle la valeur du paramètre d'ordre est constant sur la surface de la bulle n'aurait alors aucun sens.

que nous prendrons¹⁷ $t_0 = R_0 = \lambda_T$. Par souci de comparaison, nous étudierons aussi le scénario $t_0 = R_0 = 2\lambda_T$.

Il pourrait sembler qu'une température initiale élevée (qui correspond à une agitation thermique plus grande, et donc à une longueur de corrélation plus faible) soit préférable. Cependant de trop fortes fluctuations initiales sont plus difficiles à supprimer par trempage. On peut le voir sur l'équation de gap (2.13) : il est d'autant plus facile d'entraîner le carré de la masse effective dans la région des valeurs négatives que la contribution des fluctuations $\langle \delta\phi^2 \rangle$ est petite (voir aussi la Fig. 1.3 dans le Chap. 1). Dans la suite, nous considérerons deux valeurs de la température initiale : $T = 200$ MeV et $T = 400$ MeV.

Le dernier point concerne le temps τ_f auquel on mesure la multiplicité finale. Pour l'ensemble des événements considérés, le système atteint un régime stationnaire où $\chi(\tau) \approx m_\pi^2$ pour $\tau \gtrsim 10$ fm. On a alors un gaz de pions libres en expansion. Nous prendrons $\tau_f = 10$ fm.

2.3.3 Résultats

Nous résolvons numériquement les équations du mouvement en utilisant un algorithme de Runge-Kutta d'ordre quatre [64], les intégrales sur les modes étant calculées par la méthode de Simpson, corrigée par une méthode de trapèzes lorsque le nombre de points sous l'intégrale est pair (rappelons que la borne d'intégration dépend du temps). Les équations de gap à l'équilibre thermodynamique et à l'instant initial sont résolues par une simple méthode de bisection. Nous reproduisons les résultats des Réfs. [33, 34]¹⁸ (voir Fig. 2.2).

Quand le système entre dans la région d'instabilité spinodale $\chi < 0$, les modes dont la fréquence ω_s devient imaginaire pure sont très fortement amplifiés. Il est clair que l'amplification est d'autant plus importante que s est petit : le facteur d'amplification est une fonction monotone décroissante de s . Dans la suite nous focalisons notre attention sur le mode $s = 0^+$, le plus amplifié. Nous appelons $P(A)$ la probabilité pour que le facteur d'amplification correspondant, calculé à $\tau_f = 10$ fm, ait la valeur $\mathcal{A}_0 = A$. La Fig. 2.4 représente les histogrammes des probabilités $P(A)$ pour les quatre scénarios correspondant aux valeurs $T = 200$ et 400 MeV et $R_0/\lambda_T = 1$ et 2 .

Comme on s'y attend (voir la discussion plus haut), le cas $R_0 = 2\lambda_T$ est le plus défavorable en ce qui concerne la possibilité de fortes amplifications. Dans tous les cas, on voit clairement que seule une petite fraction des événements correspond à une amplification importante. Les histogrammes correspondant au cas $R_0 = \lambda_T$ sont assez bien représentés par

$$P(A) = \frac{0.805}{(1 + 0.27A)^{3.21}},$$

pour $T = 200$ MeV, et

$$P(A) = \frac{0.213}{(1 + 0.032A)^{6.959}},$$

pour $T = 400$ MeV. Il est impossible de reproduire la queue des distributions par une loi exponentielle du type $P(A) \propto \exp(-aA^b)$.

Il est intéressant de chercher à caractériser les états initiaux destinés à être fortement amplifiés. Il semble qu'une condition soit la petitesse relative de l'intensité du courant isovectoriel classique, c'est à dire calculé avec le paramètre d'ordre ϕ , à l'instant initial. Les

¹⁷Remarquons de plus que pour que l'hypothèse d'équilibre local à l'instant initial ait un sens, nous devons choisir R_0 aussi grand que possible, c'est à dire $R_0 = t_0$.

¹⁸Nous remercions M. A. Lampert, de nous avoir communiqué les résultats de ses calculs

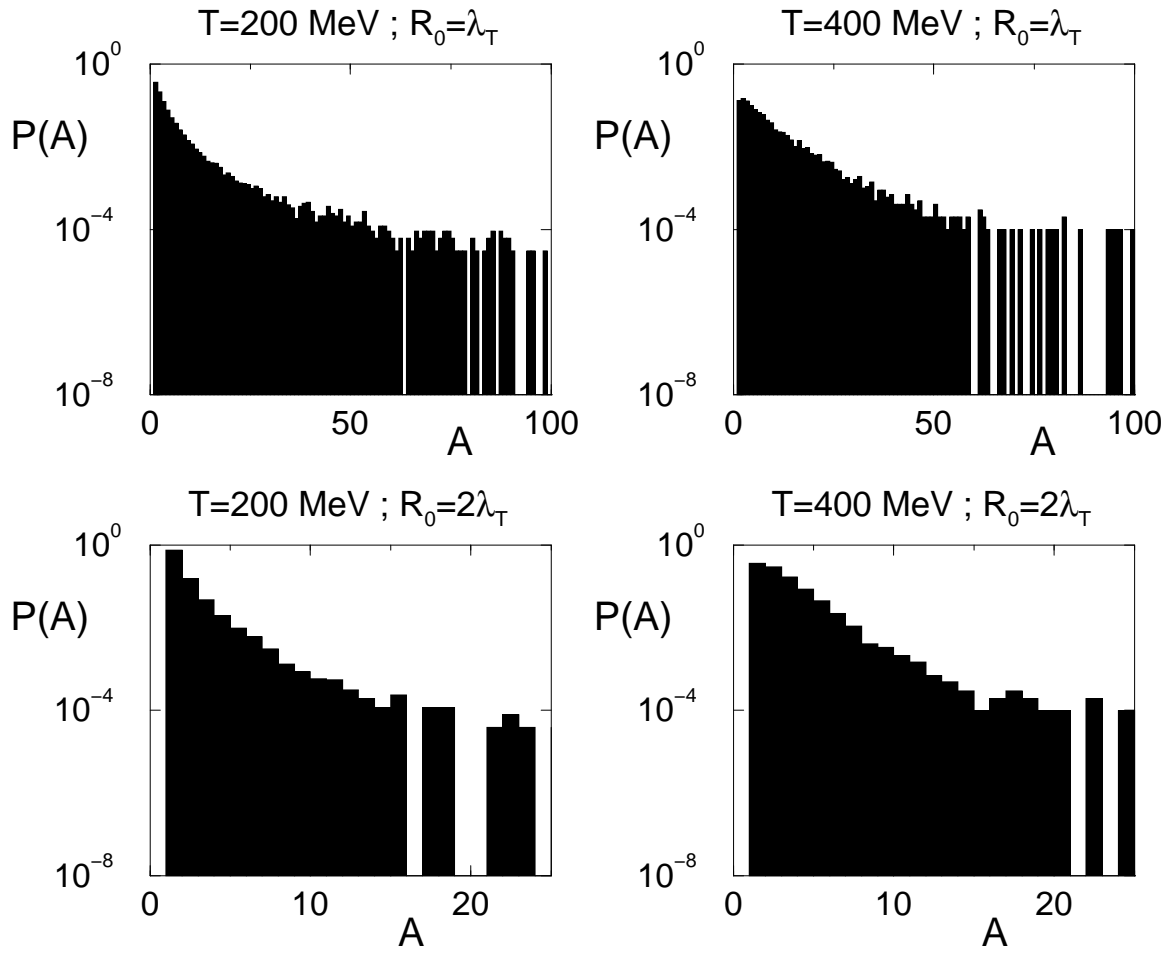


FIG. 2.4: Le facteur d'amplification du "mode zéro" dans les quatre scénarios suivant : $T = 200$ MeV et $R_0 = \lambda_T = 1.17$ fm (3.2×10^4 événements); $T = 400$ MeV et $R_0 = \lambda_T = 0.68$ fm (10^4 évts); $T = 200$ MeV et $R_0 = 2\lambda_T$ (2.5×10^4 évts); $T = 400$ MeV et $R_0 = 2\lambda_T$ (10^4 évts).

courants iso-vectoriel et iso-axial classiques sont définis par

$$\begin{aligned}\mathbf{V}_\mu &= \boldsymbol{\pi} \times \partial_\mu \boldsymbol{\pi}, \\ \mathbf{A}_\mu &= \boldsymbol{\pi} \partial_\mu \sigma - \sigma \partial_\mu \boldsymbol{\pi},\end{aligned}$$

où l'on a écrit $\boldsymbol{\phi} \equiv (\boldsymbol{\pi}, \sigma)$. Les intensités initiales $\mathbf{V}^\mu \cdot \mathbf{V}_\mu$ et $\mathbf{A}^\mu \cdot \mathbf{A}_\mu$ de ces courants sont représentées en fonction de l'amplification finale A sur la Fig. 2.5 (dans le cas $T = 200$ MeV, $R_0 = \lambda_T$). Il est intéressant de remarquer que dans le modèle classique en 1+1 dimensions (expansion longitudinale) des Réfs. [9, 14], la petitesse du rapport des valeurs initiales des intensités des courants vectoriel et axial est la condition pour qu'aux temps longs le paramètre d'ordre oscille dans une direction bien déterminée de l'espace d'isospin (voir aussi le Chap. 1). Autrement dit, c'est la condition pour avoir une configuration DCC. Dans le cas présent cependant, le champ classique formé dans l'état final est une superposition du paramètre d'ordre (le mode zéro) et des modes de grande longueur d'onde. Il n'est pas clair que tous oscillent collectivement dans la même direction de l'espace d'isospin. Cette question sera examinée dans le Chap. 3.

Nous voulons maintenant faire le lien avec la phénoménologie et déterminer quelles sont les valeurs de l'amplification qui donnent lieu à phénomène (potentiellement) observable. Estimons la densité Edn/d^3p de pions produits par unité invariante d'espace des phases. Ces pions sont produits par les différents éléments de volume en co-mouvement, c'est à dire qu'ils sont émis sur l'hypersurface $\tau = \tau_f$. Les pions émis par l'élément de volume $\tau_f^3 \sinh^2 \eta \sin \theta d\eta d\theta d\varphi = \tau_f^3 \sqrt{h} d^3x$, centré sur le point de coordonnées hyperbolique (η, θ, φ) ont, dans le référentiel où celui-ci est au repos, une énergie $\omega_s(\tau_f)$. Dans un référentiel quelconque, cet élément de volume est en mouvement avec la quadri-vitesse $u^\mu = dx^\mu/d\tau$, et la quadri-impulsion p^μ des pions émis est telle que $p^\mu u_\mu = \omega_s(\tau_f)$. Cette relation nous dit quelles sont les valeurs de l'impulsion $k = s/\tau_f$ qui contribuent à la quadri-impulsion $p^\mu = (E, \vec{p})$ ($p^2 = \chi_f$), compte tenu du mouvement de l'élément de fluide. Par exemple, dans le référentiel où la bulle est globalement au repos, on a $p^\mu u_\mu = E \cosh \eta - p \cos \theta \sinh \eta = \omega_s(\tau_f)$. La contribution de cet élément de volume à la densité invariante Edn/d^3p est proportionnelle à $n_s(\tau_f) p^\mu u_\mu d^4x \sqrt{-g} \delta(\tau - \tau_f)$, où l'on a écrit l'élément de volume sous une forme manifestement invariante. Au total, on a donc [65]

$$E \frac{dn}{d^3p}(p) = \int d^4x \sqrt{-g} \delta(\tau - \tau_f) f(x, p) p^\mu u_\mu, \quad (2.53)$$

où¹⁹

$$f(x, p) = \frac{N}{(2\pi)^3} n_s(\tau).$$

L'intégrand dans (2.53) ne dépendant que de la quadri-impulsion p^μ , Edn/d^3p est une fonction de l'invariant $p^2 = \chi = \text{cte}$ et est, par conséquent, constante : on a un spectre plat²⁰. Ceci est dû à l'idéalisation que nous avons adopté, qui consiste à considérer que le système est couplé à un bain thermique pendant une durée infinie ou, en d'autres termes, que l'expansion dure un temps infini. Par exemple, dans le référentiel où la bulle est globalement au repos, aussi grand que soit le module p de l'impulsion considérée, il existe toujours un ensemble d'éléments de volume qui se déplacent suffisamment vite (avec une grande rapidité

¹⁹La formule de Planck pour le rayonnement du corp noir est obtenue, à partir de l'Eq. (2.53), en remplaçant la contrainte $\tau = \tau_f$ par $t = \text{cte}$, de sorte que $p^\mu u_\mu = E$, et en prenant $f(x, p) = 2(2\pi)^{-3} [\exp(E/T) - 1]^{-1}$, le facteur 2 étant le nombre d'états de polarisation possibles du photon. Cet exemple permet de fixer les normalisations.

²⁰Le spectre décroissant obtenu dans les Réfs. [33, 34] est incorrect. Ceci a été confirmé en privé par F. Cooper.

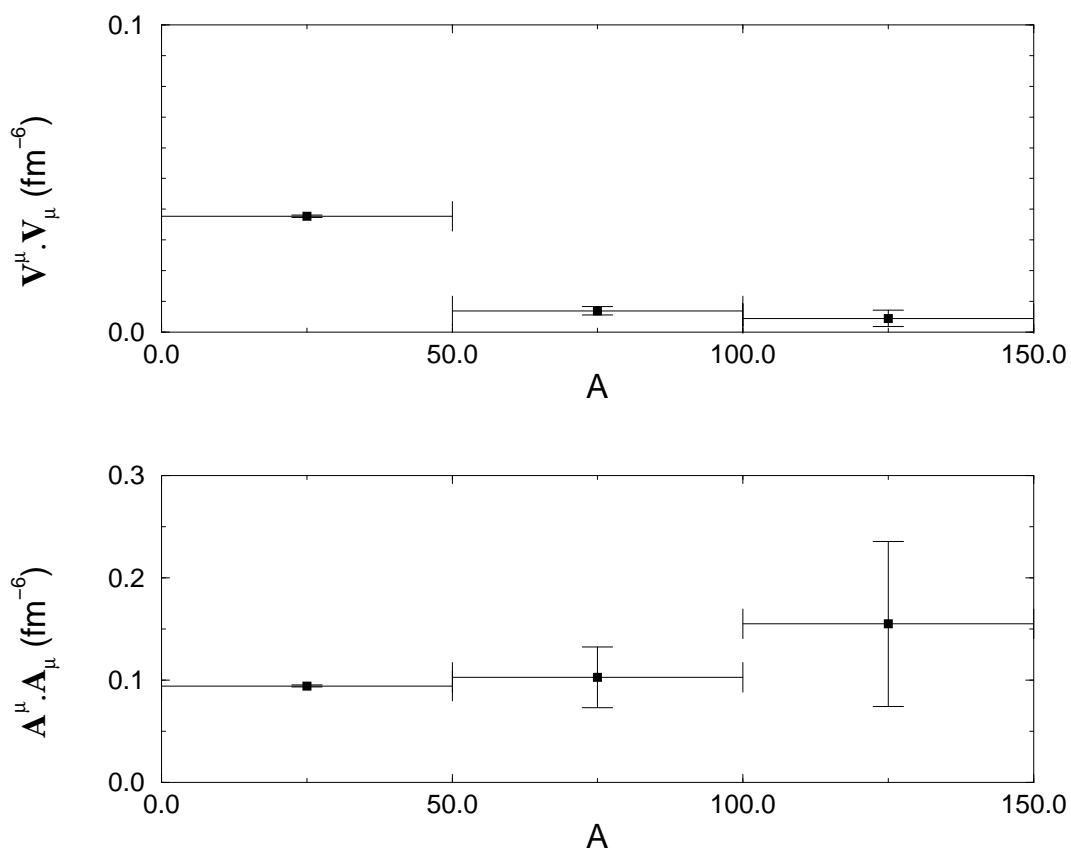


FIG. 2.5: Les valeurs initiales des intensités des courants iso-vectoriel et iso-axial classiques correspondant aux amplifications observées dans l'état final. On a calculé la valeur moyenne des intensités sur l'ensemble des événements dont l'amplification est comprise entre 0 et 50, 50 et 100, et 100 et 150. Les barres d'erreurs représentent les incertitudes statistiques. En moyenne, les événements ayant subi une forte amplification se distinguent des autres par la petitesse relative de l'intensité initiale du courant vectoriel.

radiale) et qui contribuent à la densité invariante. On peut modéliser grossièrement l'effet de la durée finie du régime d'expansion en limitant l'intégrale sur la variable de rapidité dans l'Eq. (2.53) aux valeurs $\eta < \eta_{sup}$, où η_{sup} reflète l'influence de l'environnement de la bulle. Dans ce cas, chaque élément de volume en co-mouvement émettant essentiellement des pions de basse énergie (dans son référentiel propre), le spectre (2.53) est coupé pour des valeur de l'impulsion $p_{sup} \sim \chi_f \sinh \eta_{sup}$. Une discussion de ces aspects nécessite la modélisation de la collision dans son ensemble, ce qui dépasse le cadre de notre étude. La multiplicité totale (irréaliment infinie dans notre cas) dépend fortement de cette coupure, et ne peut être estimée de façon fiable dans ce modèle. Cependant, la formule (2.53) (voir aussi (2.54) plus loin) est probablement une estimation raisonnable de la densité invariante de pions de basse énergie. On écrit

$$E \frac{dn}{d^3p}(\vec{p}) = E \frac{dn}{d^3p}(\vec{p} = \vec{0}) = \frac{N}{\chi_f} \int_0^{\Lambda\tau_f} \frac{s^2 ds}{2\pi^2} n_s(\tau_f).$$

Pour les évènements ayant subi une forte amplification, la multiplicité est approximativement proportionnelle au facteur d'amplification du mode le plus amplifié. Sur la Fig. 2.6 on a représenté la quantité c définie par :

$$E \frac{dn}{d^3p} = c A. \quad (2.54)$$

en fonction de A , pour un ensemble d'évènements tels que $A > 20$, dans le cas $T = 200$ MeV et $R_0 = \lambda_T$. Le nombre c fluctue relativement peu d'un évènement à l'autre pour $A \gtrsim 30$. On observe la même chose pour $T = 400$ MeV. On a $c \simeq 5$ GeV⁻² dans les deux cas.

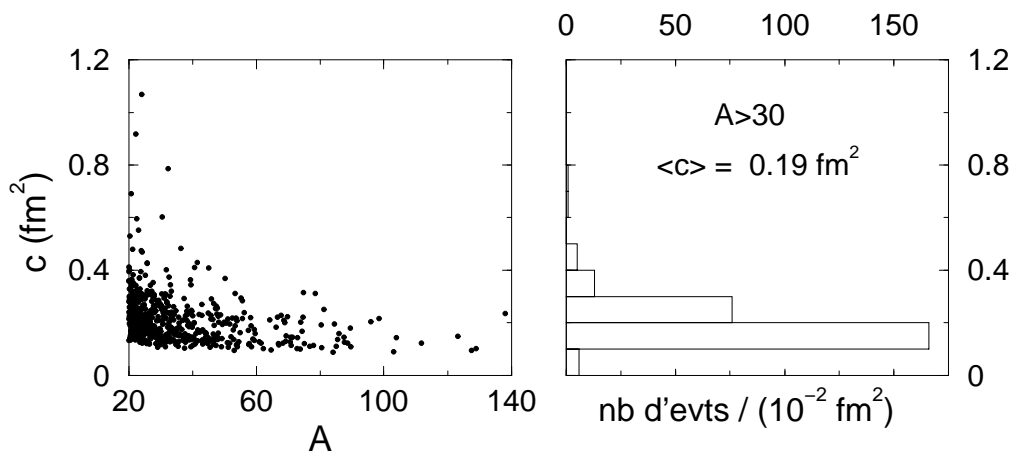


FIG. 2.6: La constante c (Eq. (2.54)) en fm² pour quelques (268) évènements dans le scénario $T = 200$ MeV, $R_0 = \lambda_T$. A gauche, on a représenté c en fonction de l'amplification A pour $A > 20$, à droite, l'histogramme correspondant, restreint aux évènements tels que $A > 30$. Pour ces derniers on observe $\langle c \rangle = 0.19$ fm², avec $\Delta c = (\langle c^2 \rangle - \langle c \rangle^2)^{1/2} = 8 \times 10^{-2}$ fm². On obtient un résultat similaire dans le cas $T = 400$ MeV.

Cette estimation est à comparer avec la densité de pions mous produits par unité d'espace des phases lors d'une collision d'ions lourds. Il est instructif de considérer l'exemple simple suivant : dans une collision typique, le spectre de pions émis est relativement plat dans la région centrale de rapidité $y \simeq 0$, où $y = (1/2) \ln[(E + p_z)/(E - p_z)]$ est la rapidité longitudinale (z est l'axe de la collision). Dénotons par h la hauteur de ce plateau. Dans

la région centrale, on peut paramétriser le spectre inclusif par

$$E \frac{dn}{d^3p} \Big|_{incl} = \frac{dn}{dy d^2p_t} \Big|_{incl} = \frac{h}{\pi \langle p_t^2 \rangle} \exp \left(-\frac{p_t^2}{\langle p_t^2 \rangle} \right).$$

Dans les collisions centrales Pb-Pb au SPS du CERN, on observe [66] un nombre de l'ordre de 200 π^- par unité de rapidité, c'est à dire, pour tous les pions, $h = dn/dy \approx 600$. Donc, la densité de pions de très faible impulsion transverse $p_t \simeq 0$, vaut approximativement 1900 GeV^{-2} , où on a pris $\langle p_t^2 \rangle = 0.1 \text{ GeV}^2$. Les fluctuations de cette densité sont $\sim \sqrt{h}/\pi \langle p_t^2 \rangle \approx 75 \text{ GeV}^{-2}$. Pour que notre signal soit observable, il doit se détacher de ces fluctuations statistiques. D'après l'estimation (2.54), on voit que le signal est supérieur à trois fois la fluctuation si $A \gtrsim 45$. Dans le cas $R_0 = \lambda_T$, la probabilité correspondante est approximativement

$$\text{Proba}(A > 45) \approx 4 \times 10^{-3}, \quad (2.55)$$

aussi bien pour $T = 200 \text{ MeV}$ que pour $T = 400 \text{ MeV}$. Cette estimation nous donne l'ordre de grandeur de la limite supérieure de la probabilité d'avoir une amplification observable. Il s'agit, bien sûr, d'une probabilité conditionnelle, puisque notre calcul repose sur l'hypothèse selon laquelle notre bulle est initialement dans un état d'équilibre thermique local (ou, ce qui a un sens plus faible, que les fluctuations initiales sont correctement décrites par un ensemble thermique local).

2.4 Conclusion et commentaire

Résumons-nous : dans le cadre le plus couramment utilisé dans la littérature sur les DCC (modèle σ -linéaire, approximation de champ moyen, équilibre local à l'instant initial), nous avons construit une méthode originale d'échantillonnage des valeurs initiales du paramètre d'ordre et de sa dérivée temporelle, qui spécifient complètement l'état initial du système. Nous plaçant dans le cadre le plus favorable possible pour générer une forte amplification des modes de grande longueur d'onde (expansion sphérique, taille initiale de la bulle aussi petite que possible), et combinant le formalisme des Réfs. [33, 34, 60] avec notre méthode, nous avons calculé la distribution des valeurs possibles du facteur d'amplification (Eq. (2.37)) du mode le plus amplifié. Une analyse phénoménologique simple nous permet alors d'estimer la probabilité d'avoir une amplification donnant lieu à un signal détectable (Eq. (2.55)). Celle-ci s'avère assez faible, grossièrement de l'ordre de 10^{-3} pour une collision centrale Pb-Pb au SPS du CERN. Ce résultat doit encore être multiplié par la probabilité pour que nos hypothèses soient vérifiées dans une collision réelle. Le calcul de cette dernière nécessite une description de l'ensemble de la collision, ce qui va bien au-delà de l'étude présentée ici.

Il est raisonnable de penser que notre estimation, même si elle est très approximative, donne l'ordre de grandeur auquel il faut s'attendre et doit donc être prise en compte aussi bien par les expérimentateurs chasseurs de DCC que par les théoriciens. En particulier, il ressort de notre étude que la probabilité pour que plusieurs bulles subissant une forte amplification soient formées lors d'une collision est faible²¹. De plus, du point de vue expérimental, les analyses globales sont à proscrire, au bénéfice d'analyses "événement-par-événement".

²¹Si plusieurs DCC sont formés durant une collision, leurs orientations respectives étant indépendantes, la distribution en charge du nombre total de pions émis (cf. Eq. (1.3)) devient de plus en plus piquée autour de la valeur moyenne 1/3 à mesure que le nombre d'émetteurs augmente [67].

Nous terminerons ce chapitre par un commentaire concernant l'attitude générale que nous avons adopté quant à sa présentation : nous avons calculé la probabilité d'avoir une amplification donnée, ayant en tête le fait que ce phénomène correspond à la formation d'un DCC [16]. Cependant, une étude réalisée ultérieurement (cf. Chap. 3) indique que la situation n'est pas aussi claire. En effet, nous verrons que si le mécanisme du trempage est responsable de la formation d'un champ classique de pion - ce qui est une caractéristique essentielle de la configuration DCC - il ne suffit pas à générer la structure d'isospin du DCC. Le calcul présenté dans ce chapitre, initialement conçu comme un calcul de la probabilité de formation d'un DCC [48], correspond donc plutôt au calcul de la probabilité de formation d'un champ de pion classique. Ceci n'affecte cependant en rien la pertinence de notre résultat.

Chapitre 3

Description microscopique de la formation d'un DCC

Nous avons vu dans les chapitres précédents que le scénario du trempage prévoit la formation d'un champ de pion classique lors du passage rapide de la transition de phase chirale dans une collision d'ions lourds ultra-relativistes. Ce scénario, initialement proposé par Rajagopal et Wilczek en 1993 [16], a été largement admis comme une description microscopique de la formation d'un condensat chirale désorienté, un état hypothétique du champ de pion proposé au début des années 1990 [8, 9, 13]. La correspondance entre la configuration du champ issue du trempage d'un état thermique et celle proposée au début des années 1990 n'est cependant pas claire. Par exemple, les fortes fluctuations de la fraction de pions neutres prévues dans l'hypothèse du DCC n'ont jamais été observées dans le scénario du trempage [25, 30, 68].

La configuration DCC est caractérisée par trois points essentiels [14, 35, 69] :

1. c'est une excitation cohérente du champ, une configuration essentiellement classique,
2. chaque composante de Fourier du champ oscille dans une direction bien déterminée de l'espace d'isospin,
3. les orientations des différents modes sont alignées dans une seule et même direction.

L'objet de ce chapitre est l'analyse statistique détaillée de la configuration du champ de pion produit par trempage, le but étant de déterminer si la structure décrite ci-dessus est réalisée de façon générique dans ce scénario.

Pour ce faire, nous reprenons le modèle original de [16] dans lequel le système, initialement dans un état symétrique évolue selon les équations du mouvement du modèle σ -linéaire classique. Les motivations de ce choix sont multiples. D'abord, les effets quantiques ne sont pas de première importance, le système étant essentiellement classique [35]. De plus, nous ne savons traiter ceux-ci de façon simple que dans l'approximation de champ moyen où les différents modes sont indépendants les uns des autres. Ce traitement n'est donc pas adapté à l'étude des corrélations entre les modes. Nous avons vu dans le chapitre précédent que dans un scénario plus réaliste, où le trempage est dû à l'expansion rapide, le système n'entre que très rarement dans la région d'instabilité, ce qui nous oblige à avoir une statistique importante pour l'étude des configurations intéressantes. Dans le modèle statique de [16] où le trempage est réalisé de manière artificielle, le système démarre dans la région spinodale et tous les événements sont amplifiés. Enfin, l'étude que nous nous proposons de réaliser remet en question une idée largement admise. Il est donc préférable de raisonner dans le cadre le plus simple de façon à ne pas obscurcir notre argumentation.

Nous commençons par rappeler en détails le modèle de Rajagopal et Wilczek, puis nous

construisons les outils nous permettant d'étudier la structure d'isospin du champ. Nous présentons ensuite les résultats de l'analyse statistique de l'état final, que nous comparons à des travaux antérieurs. Enfin nous discutons les implications de notre étude tant du point de vue phénoménologique qu'en ce qui concerne la compréhension microscopique de la formation d'un DCC. Ce travail a été publié dans la revue Phys. Rev. D [70].

3.1 Le formalisme

3.1.1 Le modèle de Rajagopal et Wilczek

Nous avons déjà introduit ce modèle dans le Chap. 1. Nous le décrivons ici en détail. Le paramètre d'ordre de la symétrie chirale est représenté par un champ vectoriel à quatre composantes : $\phi = (\boldsymbol{\pi}, \sigma)$, et son évolution temporelle est gouvernée par les équations du mouvement du modèle σ -linéaire classique (cf. Eq. (1.4))

$$(\partial^2 - \lambda v^2 + \lambda \phi^2(\vec{x}, t)) \phi(\vec{x}, t) = H \mathbf{n}_\sigma, \quad (3.1)$$

où les paramètres v , λ et H sont déterminés à partir des quantités physiques¹ $m_\pi = 135$ MeV, $f_\pi = 92.5$ MeV et $m_\sigma = 600$ MeV à travers les relations

$$\begin{aligned} H &= f_\pi m_\pi^2, \\ m_\pi^2 &= \lambda (f_\pi^2 - v^2), \\ m_\sigma^2 &= \lambda (3f_\pi^2 - v^2). \end{aligned}$$

Nous résolvons numériquement ces équations sur un réseau cubique de maille a et de volume $V = L^3$, où $L = Na$. Pour ce faire, nous devons spécifier les conditions aux bords, ainsi que l'ensemble des valeurs du champ ϕ et de sa dérivée temporelle $\partial_t \phi \equiv \dot{\phi}$ en chacun des nœuds du réseau à l'instant initial.

Suivant [16], la configuration initiale est échantillonnée à partir d'une distribution symétrique reflétant un état thermique à une température $T > T_c$: les valeurs de ϕ et $\dot{\phi}$ aux différents nœuds du réseau sont des variables aléatoires gaussiennes indépendantes de moyennes $\phi = \dot{\phi} = \mathbf{0}$ et de variances respectives² $\langle \phi_j^2 \rangle = v^2/16$ et $\langle \dot{\phi}_j^2 \rangle = v^2/4$ ($j = 1, 2, 3, 4$), en unités du pas du réseau. L'indépendance statistique des valeurs du champ et de sa dérivée en différents nœuds du réseau signifie que le pas a a un sens physique : c'est la longueur de corrélation du champ (dégénérée en $\boldsymbol{\pi}$ et σ) à la température T . Nous prendrons, avec Rajagopal et Wilczek, $a = (200 \text{ MeV})^{-1} = 1$ fm. Nous avons déjà mentionné, dans le Chap. 1, le fait que bien que les valeurs des variances du champ et de sa dérivée soient choisies arbitrairement dans [16], ce choix a reçu une justification avec les travaux ultérieurs de Randrup [29] : la valeur donnée ci-dessus est approximativement égale à la valeur typique du carré des fluctuations, après que l'expansion ait emmené le système au cœur de la région d'instabilité spinodale (cf. Fig. 1.3). Ce trempage artificiel permet de nous limiter aux configurations qui subissent une forte amplification, les seules qui nous intéressent ici.

Nous dénotons par $\varphi(\vec{k}, t)$ et $\dot{\varphi}(\vec{k}, t)$ les composantes de Fourier du champ et de sa dérivée temporelle à l'instant t et choisissons des conditions aux bords de Neumann, de sorte que ces composantes soient réelles. Ce n'est pas là un point essentiel, mais ce choix s'avère plus judicieux³ que des conditions périodiques pour ce qui est de discuter le problème

¹Nous suivons ici le choix de [16] pour les valeurs des quantités physiques, de façon à tester nos résultats en les comparant aux leurs.

²Dans [16], les variances sont données pour les longueurs des vecteurs ϕ et $\dot{\phi}$, par exemple $\langle \phi^2 \rangle = \sum_{j=1}^4 \langle \phi_j^2 \rangle = v^2/4$.

³Avec des conditions aux bords périodiques, les composantes de Fourier sont des nombres complexes dont les parties réelle et imaginaire jouent le rôle de deux degrés de liberté distincts. C'est un artefact des conditions périodiques que ces deux degrés de liberté soient réunis pour décrire un seul et même mode de Fourier (à ce propos, voir l'Annexe E). Pour discuter les questions des trajectoires des ondes \vec{k} dans l'espace d'isospin, ainsi que des corrélations entre celles-ci, il est préférable que les composantes de Fourier soient des nombres réels.

de la polarisation⁴ des ondes $\varphi(\vec{k}, t)$ dans l'espace d'isospin. On a (cf. Annexe D)

$$\varphi(\vec{k}, t) = \left(\frac{2}{L}\right)^{3/2} \int_V d^3x \cos(k_x x) \cos(k_y y) \cos(k_z z) \phi(\vec{x}, t), \quad (3.2)$$

$$\dot{\varphi}(\vec{k}, t) = \left(\frac{2}{L}\right)^{3/2} \int_V d^3x \cos(k_x x) \cos(k_y y) \cos(k_z z) \dot{\phi}(\vec{x}, t). \quad (3.3)$$

L'espace de Fourier est un réseau discret de pas $\Delta k = \pi/Na$ et, les fonctions modes étant périodiques et paires dans chacune des directions, on se limite au cube $0 \leq k_i \leq \pi/a$.

L'évolution hors d'équilibre du système génère une amplification importante de l'amplitude des oscillations des ondes $\varphi(\vec{k}, t)$ correspondant au modes de grande longueur d'onde (cf. Fig. 3.1), et ce dans chacune des directions d'isospin. Ce phénomène explique la formation possible d'un champ de pion fort (classique), c'est la première condition pour avoir une configuration DCC. Pour que les deux autres conditions énumérées dans l'introduction soient satisfaites, les amplifications de différentes composantes d'isospin d'un même mode doivent être telles que les ondes $\varphi(\vec{k}, t)$ soient linéairement polarisées dans l'espace d'isospin (c'est à dire que le vecteur φ oscille le long d'un axe dans cet espace), et les amplifications de différents modes doivent être corrélées entre elles, de façon à ce que les modes oscillent tous le long du même axe. Nous reviendrons sur ces aspects de manière plus précise dans la suite de notre exposé, le point important ici est le fait que, dans une configuration DCC, ou plus exactement, dans un ensemble statistique dont une configuration générique est de type DCC, les différents modes sont fortement corrélés.

Le point de départ de notre étude est la remarque suivante : les valeurs de ϕ et $\dot{\phi}$ en différents nœuds du réseau sont supposées être des nombres aléatoires gaussiens indépendants. Il est facile de voir (cf. Annexe D) que cela implique que les valeurs des composantes de Fourier φ et $\dot{\varphi}$ sur les nœuds du réseau réciproque sont aussi des nombres gaussiens *indépendants*. En d'autres termes, il n'existe pas de corrélations entre les modes dans l'état initial. Pour créer une configuration DCC, le mécanisme du trempage doit, non seulement être efficace en ce qui concerne l'amplification des modes (et il l'est), mais il doit aussi être capable de *générer des corrélations* entre les modes amplifiés, ce qui est loin d'être une évidence (cf. Eq. (3.1)).

3.1.2 Observables

Notre but est de tester si la configuration générique issue du scénario du trempage est de type DCC. En d'autres termes, nous voulons analyser certains détails de l'ensemble statistique décrivant l'état final, en particulier les polarisations des modes et leurs corrélations. Pour ce faire, nous allons construire certains outils permettant de formaliser et de quantifier les notions dont nous avons besoin, en particulier la polarisation des ondes φ . Nous prenons le parti de construire le modèle le plus simple possible, de façon à ne pas obscurcir notre argument.

Dans ce modèle simple, bien que la taille de la boîte soit fixée, nous avons en tête un système en expansion rapide (l'hypothèse du trempage est une idéalisation de l'effet de l'expansion). Dans cette image, après un certain temps, le système est si dilué que les modes de Fourier découplent les uns des autres et évoluent librement. La modélisation la plus simple⁵ de cet effet consiste à arrêter "à la main" l'évolution couplée (régie par les

⁴Dans la suite, nous appellerons (iso-)polarisation de l'onde \vec{k} , la trajectoire dans l'espace d'isospin décrite au cours du temps par le vecteur $\varphi(\vec{k}, t)$.

⁵Nous négligeons la durée finie de la période de découplage, pour laquelle une modélisation plus précise

équations du mouvement (3.1)) à un temps de découplage t_f (freeze-out). La configuration du champ à l'instant t_f joue le rôle d'une source classique rayonnant des pions, on peut la voir comme la condition initiale de l'évolution ultérieure libre, les fonctions $\varphi_j(\vec{k}, t > t_f)$ représentant les ondes associées à la propagation des pions rayonnés par cette source. Les propriétés de ceux-ci sont donc entièrement déterminées par la configuration du champ à l'instant de découplage t_f .

Donnons un aspect plus formel à cette image. Les quanta émis par une source classique sont dans un état cohérent [71] (dans la suite, nous nous limitons au secteur des pions)

$$|\alpha, t_f\rangle = \exp\left(\int d^3k \alpha(\vec{k}, t_f) \cdot \mathbf{a}^\dagger(\vec{k})\right) |0\rangle, \quad (3.4)$$

avec

$$\alpha \cdot \mathbf{a}^\dagger = \sum_{j=1}^3 \alpha_j a_j^\dagger,$$

où $a_j^\dagger(\vec{k})$ est l'opérateur de création d'un pion libre, de composante d'isospin j et d'impulsion \vec{k} , et $\alpha_j(\vec{k}, t_f)$ est la valeur propre de l'opérateur d'annihilation correspondant (t_f est un paramètre), correspondant à l'état propre (3.4). C'est aussi la composante de Fourier de la source classique qui rayonne les pions [35], elle est déterminée par la configuration du champ classique à l'instant t_f à travers la relation⁶

$$\alpha(\vec{k}, t_f) = \frac{i\dot{\varphi}(\vec{k}, t_f) + \omega_k \varphi(\vec{k}, t_f)}{\sqrt{2\omega_k}}, \quad (3.5)$$

où $\omega_k = \sqrt{k^2 + m_\pi^2}$. Nous avons déjà mentionné le fait que l'état (3.4)-(3.5) doit être vu comme la condition initiale pour l'évolution ultérieure ($t > t_f$), supposée libre et, de ce fait, contient toute l'information utile. En fait, l'idée de l'évolution ultérieure libre n'est pas nécessaire, l'état du système à l'instant t_f étant tout ce qui nous intéresse. Il est cependant instructif d'introduire cette idée qui nous permettra de nous faire une image physique claire et simple des quantités pertinentes à mesurer. Pour alléger les notations, nous omettrons dorénavant d'indiquer explicitement la dépendance en t_f . Nous écrirons par exemple, $\alpha(\vec{k})$ pour $\alpha(\vec{k}, t_f)$, et $\alpha(\vec{k}, t)$ pour $\alpha(\vec{k}, t > t_f)$. De plus, tant que nous focaliserons notre attention sur un mode \vec{k} donné, nous omettrons l'indice \vec{k} , lequel sera réintroduit quand ce sera nécessaire. L'évolution ultérieure s'écrit donc

$$\alpha(t) = \alpha e^{-i\omega(t-t_f)}. \quad (3.6)$$

Le nombre moyen de quanta d'isospin j associé à cette onde est indépendant du temps et vaut

$$\bar{n}_j = \langle \alpha | a_j^\dagger a_j | \alpha \rangle = |\alpha_j(t)|^2 = |\alpha_j|^2. \quad (3.7)$$

Enfin, la fraction f de pions neutres dans un mode \vec{k} donné est ($0 \leq f \leq 1$)

$$f = \frac{\bar{n}_3}{\bar{n}_1 + \bar{n}_2 + \bar{n}_3}. \quad (3.8)$$

du phénomène est nécessaire. Nous supposons que tous les modes découpent au même instant t_f , qui peut être vu comme la fin d'une période commune de découplage, laquelle est implicitement supposée être très courte devant l'échelle de temps caractéristique ~ 1 fm.

⁶On peut voir la configuration classique du champ à l'instant t_f comme la valeur moyenne du champ quantique correspondant dans l'état cohérent (3.4).

Pour caractériser la structure d'isospin de la configuration du champ à l'instant t_f , nous introduisons le concept de polarisation des ondes sortantes dans l'espace d'isospin : c'est la trajectoire décrite par l'extrémité du vecteur $\varphi^{out}(t) \equiv \varphi(t > t_f)$ dans l'espace d'isospin. On a

$$\varphi^{out}(t) = \sqrt{\frac{2}{\omega}} \operatorname{Re} \alpha(t) \quad (3.9)$$

$$\dot{\varphi}^{out}(t) = \sqrt{2\omega} \operatorname{Im} \alpha(t). \quad (3.10)$$

Tout d'abord, il est facile de voir que ce mouvement est planaire : en effet, le vecteur $\mathbf{I} = \varphi^{out} \times \dot{\varphi}^{out}$, qui est l'analogie du moment angulaire en mécanique du point⁷, est indépendant du temps. La trajectoire de φ^{out} est donc une ellipse⁸ dans le plan perpendiculaire à \mathbf{I} . Appellons \mathbf{u} et L (\mathbf{v} et l) la direction et la longueur du grand (petit) demi-axe de cette ellipse, comme indiqué sur le schéma de la Fig 3.1 ($\mathbf{u}^2 = \mathbf{v}^2 = 1$, $\mathbf{u} \cdot \mathbf{v} = 0$, $\mathbf{I} = \omega L l \mathbf{u} \times \mathbf{v}$). On a alors

$$\alpha(t) = \sqrt{\frac{\omega}{2}} (L \mathbf{u} + il \mathbf{v}) e^{-i(\omega(t-t_f)+\eta)}, \quad (3.11)$$

où η est un facteur de phase à déterminer à partir de l'Eq. (3.6), ainsi d'ailleurs que les longueurs L et l , et les directions \mathbf{u} et \mathbf{v} . Avec cette paramétrisation, il vient, pour le

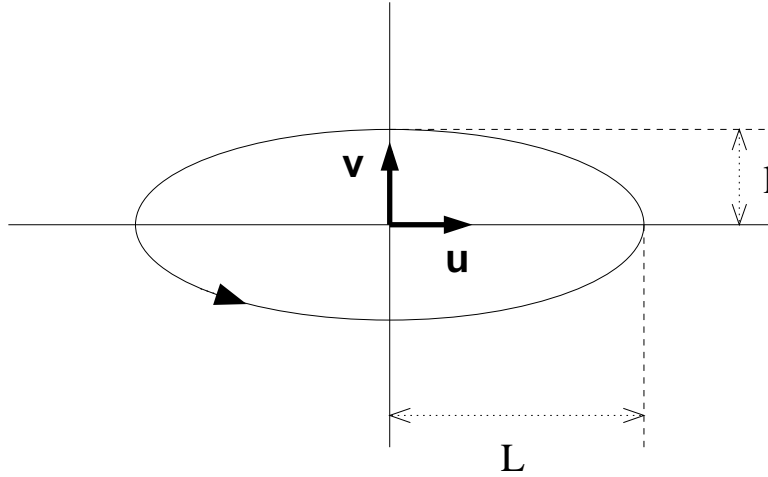


FIG. 3.1: Trajectoire elliptique du vecteur φ^{out} dans le plan perpendiculaire à $\mathbf{I} = \varphi^{out} \times \dot{\varphi}^{out}$.

nombre d'occupation moyen (3.7)

$$\bar{n}_j = \frac{\omega}{2} (L^2 u_j^2 + l^2 v_j^2),$$

et la fraction de pions neutres (3.8)

$$f = \frac{L^2 u_3^2 + l^2 v_3^2}{L^2 + l^2}. \quad (3.12)$$

⁷ $\mathbf{I}_{\vec{k}}$ est la composante \vec{k} du générateur des rotations dans l'espace d'isospin $\int d^3x \phi(\vec{x}, t) \times \dot{\phi}(\vec{x}, t) \propto \int d^3k \varphi(\vec{k}, t) \times \dot{\varphi}(\vec{k}, t)$, lequel est conservé. Pour $t > t_f$ les modes sont découplés et chaque composante $\mathbf{I}_{\vec{k}}$ est conservée.

⁸C'est la trajectoire périodique caractérisée par une échelle de temps unique (ici $1/\omega$) la plus générale

Une mesure directe de la polarisation de l'onde sortante $\boldsymbol{\varphi}^{out}$ est donnée par l'excentricité⁹ de l'ellipse (3.11), définie comme le rapport des longueurs des petit et grand demi-axes : $e = l/L$ ($0 \leq e \leq 1$). Le calcul de cette quantité à partir de la configuration à l'instant t_f est simple. Le nombre total de pions dans le mode \vec{k} , $\bar{n} = \sum_{j=1}^3 \bar{n}_j$, est égal à l'énergie dans le mode \vec{k} divisée par l'énergie d'un pion :

$$\bar{n} = \frac{\dot{\varphi}^2(t_f) + \omega^2 \varphi^2(t_f)}{2\omega},$$

où l'on a noté $\phi^2 = \boldsymbol{\phi} \cdot \boldsymbol{\phi}$ et de même pour $\dot{\varphi}^2$. En utilisant la paramétrisation (3.11) à $t = t_f$, on obtient les relations

$$l^2 + L^2 = \frac{2}{\omega} \bar{n}, \quad lL = \frac{I}{\omega},$$

où I est la longueur du vecteur d'isospin $\mathbf{I} = \boldsymbol{\varphi}(t_f) \times \dot{\boldsymbol{\varphi}}(t_f)$ défini plus haut. On en déduit les longueurs

$$l^2 = \frac{\bar{n} - \sqrt{\bar{n}^2 - I^2}}{\omega}, \quad L^2 = \frac{\bar{n} + \sqrt{\bar{n}^2 - I^2}}{\omega},$$

et l'excentricité

$$e^2 = \frac{\bar{n} - \sqrt{\bar{n}^2 - I^2}}{\bar{n} + \sqrt{\bar{n}^2 - I^2}}. \quad (3.13)$$

Avec ces définitions en main, considérons le cas de la polarisation rectiligne (ou linéaire). L'onde \vec{k} est polarisée linéairement si le vecteur $\boldsymbol{\varphi}_{\vec{k}}^{out}$ oscille le long d'un axe donné : $\boldsymbol{\varphi}_{\vec{k}}^{out}$ et $\dot{\boldsymbol{\varphi}}_{\vec{k}}^{out}$ sont collinéaires. La polarisation rectiligne est donc caractérisée par le fait que $\mathbf{I}_{\vec{k}} = \mathbf{0}$, ou encore : $l_{\vec{k}} = 0$, $e_{\vec{k}} = 0$. On a donc

$$\begin{aligned} \alpha_{linaire}(\vec{k}, t) &= \alpha(\vec{k}) e^{-i\omega_k(t-t_f)} \mathbf{u}_{\vec{k}}, \\ f_{linaire}(\vec{k}) &= \cos^2 \theta_{\vec{k}}, \end{aligned} \quad (3.14)$$

où $\theta_{\vec{k}}$ est l'angle entre la direction d'oscillation $\mathbf{u}_{\vec{k}}$ et l'axe π_3 de l'espace d'isospin. Aussi bien la dynamique (Eq. 3.1) que l'ensemble statistique décrivant l'état initial sont invariants sous le groupe $O(3)$ des rotations dans l'espace d'isospin : il n'existe aucune direction privilégiée. Donc, si une telle onde, polarisée linéairement, est produite de façon générique dans l'état final, la distribution des valeurs de la fraction neutre $f(\vec{k})$ sera donnée¹⁰ par la loi en $1/\sqrt{f}$ (cf. Eq. (1.3)). Ceci reste approximativement vrai dans le cas, plus réaliste, où les ondes sortantes ont une polarisation quasi-rectiligne ($l_{\vec{k}} \ll L_{\vec{k}}$). Il est important de remarquer que, s'il est toujours possible d'écrire la fraction neutre $f(\vec{k})$ (Eq. (3.8)) comme le carré du

⁹Pour se faire une image du sens physique de l'excentricité, il suffit de penser à une expérience de polarisation d'ondes lumineuses (dispositif de type polariseur-analyseur). Dans le cas des "ondes de pions", on décompose la polarisation sur la base des états de polarisation linéaire $|\pi_-\rangle$, $|\pi_0\rangle$ et $|\pi_+\rangle$, les rôles des analyseurs étant joués par des détecteurs sensibles à ces états de charges respectifs.

¹⁰Dans un espace à trois dimensions, la direction aléatoire \mathbf{u} est repérée par les deux angles (θ, φ) . Si toutes les directions sont équiprobables, la probabilité pour que la direction \mathbf{u} soit dans l'angle solide $d^2\Omega = \sin\theta d\theta d\varphi$ centré autour de la direction (θ, φ) est $d^2\Omega/4\pi$. La probabilité pour que $\cos^2\theta$ soit compris entre f et $f + df$ s'écrit $P(f)df$, avec

$$P(f) = \int_0^\pi \sin\theta d\theta \delta(f - \cos^2\theta) = \int_0^1 dx \delta(f - x^2) = \frac{1}{2\sqrt{f}}.$$

cosinus d'un certain angle $\chi_{\vec{k}}$, celui-ci n'a pas, en général, la signification d'une orientation aléatoire uniforme dans l'espace d'isospin. La loi en $1/\sqrt{f}$ n'est valable que dans le cas de la *polarisation linéaire* (voir par exemple l'Annexe E).

Considérons maintenant la configuration DCC "idéale", telle qu'elle a été proposée au début des années 1990 : tous les $\varphi_{\vec{k}}^{out}$ sont linéairement polarisés, et oscillent *dans la même direction*¹¹ \mathbf{u} :

$$\alpha_{DCC}(\vec{k}, t) = \alpha(\vec{k}) e^{-i\omega_k (t-t_f)} \mathbf{u}.$$

Définissant la fraction du nombre total de pions neutres

$$f^{tot} = \frac{N_3}{N_1 + N_2 + N_3}, \quad (3.15)$$

avec $N_j = \int d^3k \bar{n}_j(\vec{k})$, on a

$$f_{DCC}^{tot} = \cos^2 \theta,$$

où θ est l'angle entre la direction \mathbf{u} et l'axe π_3 . Pour un DCC idéal, la fraction neutre *totale* est distribuée selon la loi en $1/\sqrt{f}$. Dans une situation plus réaliste, on s'attend à ce que seuls les modes amplifiés contribuent à la structure du DCC. Il faudrait donc ne considérer que les modes de grande longueur d'onde dans (3.15). De plus, il est peu probable que les ondes $\varphi_{\vec{k}}^{out}$ aient une polarisation strictement rectiligne, ni même qu'elles soient strictement alignées les unes avec les autres, et on s'attend à des déviations à la loi idéale. Le point clef de la configuration DCC est le fort degré de corrélation entre les modes. Introduisons la fonction de corrélation

$$C_{\mathcal{O}}(\vec{k}, \vec{k}') = \frac{\langle \mathcal{O}(\vec{k}) \mathcal{O}(\vec{k}') \rangle_c}{\sqrt{\langle \mathcal{O}^2(\vec{k}) \rangle_c \langle \mathcal{O}^2(\vec{k}') \rangle_c}}, \quad (3.16)$$

où $\langle AB \rangle_c = \langle AB \rangle - \langle A \rangle \langle B \rangle$, $\langle \dots \rangle$ désigne la moyenne statistique, et \mathcal{O} représente une observable quelconque. Les observables pertinentes pour l'étude des corrélations entre polarisations, sont la fraction neutre f (Eq. (3.8)) et l'excentricité e (Eq. (3.13)).

3.2 Les résultats

Nous travaillons avec un réseau cubique de taille $N = 64$. Les équations du mouvement (3.1) sont résolues numériquement à l'aide de l'algorithme dit "straggled leap-frog" [64] avec un incrément de temps $\Delta t = 0.04a$. Les composantes de Fourier (3.2)-(3.3) sont calculées numériquement par une méthode de type "Fast Fourier Transform", adaptée aux conditions aux bords utilisées ici [64] (voir Annexe D). Avec une configuration initiale donnée, on peut suivre l'évolution temporelle des $\varphi(\vec{k}, t)$. Nous reproduisons complètement le résultat de la Réf. [16], que nous rappelons brièvement ici (voir aussi le Chap. 1). Nous calculons à chaque instant la moyenne de $\varphi_j^2(\vec{k}, t)$ sur le volume de l'espace des phases délimité par les sphères de rayons $k \pm \delta k/2$, où $k = ||\vec{k}||$, avec $\delta k = 0.057a^{-1}$. L'évolution temporelle de cette quantité est tracée, pour différentes valeurs de k , sur la Fig. 1.1 dans le Chap. 1¹². Dans les directions d'isospin ($j = 1, 2, 3$), les modes de basse

¹¹Le DCC est un état d'isospin total nul : $\int d^3k \mathbf{I}_{\vec{k}} = \mathbf{0}$. Ceci est clairement spécifié dans la réf. [35], et est une hypothèse, plus ou moins explicite, dans tous les articles originaux, où l'idée du DCC a été proposée.

¹²Les Figs. 1.1 et 1.2 ont été obtenues avec des conditions aux bords périodiques, pour des raisons techniques : le processus de moyennage de la Réf. [16], décrit dans le texte, est alors plus facile à implémenter. La quantité à moyennner est alors $|\varphi_j|^2$. De plus, la normalisation des coefficients de Fourier a été choisie identique à celle de [16] pour faciliter la comparaison.

fréquence sont fortement amplifiés et oscillent en phase avec une période $\pi/\omega_k \simeq \pi/m_\pi$. Ni amplification, ni oscillations collectives ne sont observées dans la direction σ ($j = 4$). Ce comportement moyen s'explique, de manière qualitative, à l'aide des arguments de champ moyen [16] exposés dans le Chap. 1. En résumé : pour les temps courts ($t \lesssim 10a$), la courbure du potentiel effectif, c'est à dire la masse effective au carré, est négative (cf. Fig. 1.2), et les modes de grande longueur d'onde, dont la fréquence est imaginaire pure, sont amplifiés. C'est l'instabilité spinodale, que nous avons eu maintes fois l'occasion de discuter. L'amplification ultérieure ($10a \lesssim t \lesssim 50a$) est due aux oscillations régulières de la valeur moyenne du champ autour de sa valeur asymptotique f_π . C'est la résonance paramétrique [21, 22, 23]. Le phénomène d'amplification est évidemment transitoire et, pour des temps suffisamment longs ($t \gtrsim 100a$), l'énergie initiale est équi-répartie entre tous les modes, le système est dans un état d'équilibre stationnaire.

Ici, notre but est l'analyse statistique détaillée de la structure d'isospin de l'état final, où le champ a été fortement amplifié, la question étant de savoir si des corrélations entre les polarisations des différents modes ont été générées avec l'amplification. Au vu de la discussion précédente, il est intéressant de discerner entre les différents mécanismes responsables de l'amplification. Dans la suite, nous présentons donc des résultats pour deux valeurs du temps de découplage : $t_f = 10a$ (avec une statistique de 21×10^3 événements), qui correspond à la fin de la période d'instabilité spinodale, et $t_f = 56a$ (10.9×10^3 événements), temps auquel l'amplification moyenne (cf. Eq. (3.17) plus bas) est maximale. Par souci de clarté, nous ne considérerons que les modes¹³ $\vec{k} = (k = n\Delta k, 0, 0)$, où $\Delta k = \pi/Na \approx 10$ MeV. De plus, le modèle σ -linéaire étant une théorie effective aux échelles $\lesssim 100$ MeV, nous ne considérons que la fenêtre $0 \leq n \leq 15$.

Définissons le facteur d'amplification du mode k à l'instant t_f :

$$\mathcal{A}(k, t_f) = \frac{P(k, t_f)}{P(k, 0)}, \quad (3.17)$$

où

$$P(k, t) = \omega_k \sum_{j=1}^3 \bar{n}_j(k, t)$$

est la densité moyenne d'énergie dans le mode k à l'instant t . Les nombres d'occupation moyens $\bar{n}_j(k, t)$ correspondant sont calculés à partir de la configuration du champ à l'instant t , au moyen des Eqs. (3.5) et (3.7). La dépendance avec k de la moyenne statistique du facteur d'amplification $\langle \mathcal{A}(k, t_f) \rangle$ est présentée Fig. 3.2. Le comportement observé est bien celui attendu : les amplitudes des modes de grande longueur d'onde sont amplifiés par rapport aux autres. Pour $t_f = 10a$ on note un accord semi-quantitatif avec les arguments de champ moyen (voir le Chap. 1, Eqs. (1.6)-(1.7)) qui prévoient une amplification monotone des modes tels que $k \lesssim f_\pi$, amplification d'autant plus importante que k est petit. La fenêtre des modes amplifiés est considérablement diminuée et l'amplification moyenne augmentée dans le cas $t_f = 56a$.

Le comportement qualitatif de l'amplification moyenne en tant que fonction de l'impulsion k , en particulier la décroissance monotone, est donc assez bien décrit par l'approximation de champ moyen. Il est intéressant d'aller plus loin et de caractériser plus précisément la distribution des valeurs du facteur d'amplification. Les histogrammes de cette distribution pour le mode zéro, le plus amplifié en moyenne, sont représentés Fig. 3.3, aux instants

¹³En pratique nous calculons les modes $(n, 0, 0)$, $(0, n, 0)$ et $(0, 0, n)$ et prenons la moyenne des trois contributions, exploitant l'invariance du problème sous les rotations spatiales et augmentant ainsi la statistique. Le raisonnement ne s'appliquant pas pour $n = 0$, la statistique pour ce mode est trois fois moindre que pour les autres.

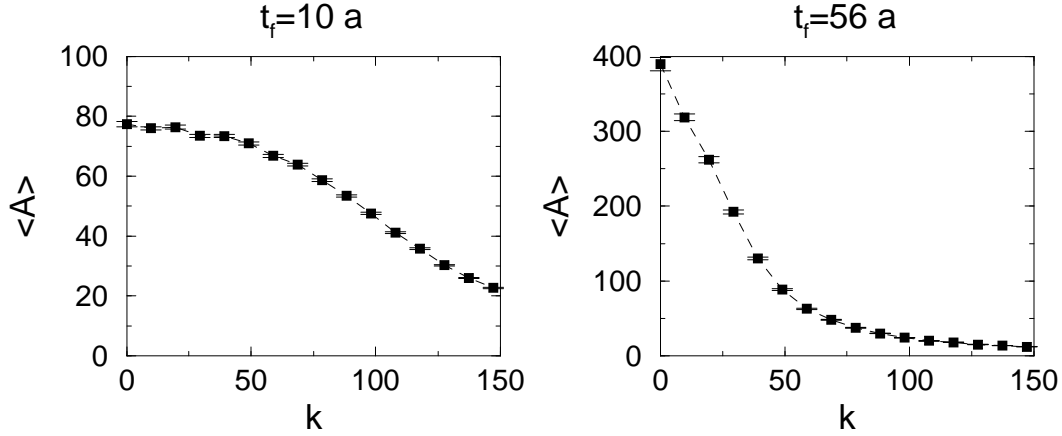


FIG. 3.2: Le facteur d'amplification moyen $\langle \mathcal{A}(k, t_f) \rangle$ en fonction de l'impulsion k (en MeV) pour $t_f = 10a$ (à gauche) et $t_f = 56a$ (à droite). Les barres d'erreur représentent l'incertitude statistique et les lignes en traits tirés servent de guides pour l'œil. L'amplification moyenne est une fonction monotone décroissante de l'impulsion, comme le prévoit l'approximation de champ moyen.

$t_f = 10a$ et $t_f = 56a$. Dans les deux cas on observe de très fortes fluctuations du facteur d'amplification autour de sa valeur moyenne. Supposons que, pour un événement donné, l'amplification $\mathcal{A}(k)$ dans le mode k soit supérieure à sa valeur moyenne $\langle \mathcal{A}(k) \rangle$. L'amplification $\mathcal{A}(k + \delta k)$ dans un mode voisin est-elle aussi supérieure à sa valeur moyenne ? Autrement dit, le facteur d'amplification est-il, événement par événement, une fonction décroissante de l'impulsion ? La réponse est non, comme le montre la Fig. 3.4 qui représente la fonction de corrélation $\mathcal{C}_{\mathcal{A}}$ définie par l'Eq. (3.16) avec $\mathcal{O} \equiv \mathcal{A}$. La décroissance monotone du facteur d'amplification avec l'impulsion n'est qu'une propriété moyenne. Cette absence de corrélations entre les amplifications dans différents modes¹⁴ n'a pas de conséquences très importantes du point de vue phénoménologique. En effet, en pratique on mesure le nombre total (chargés et neutres) de pions moyenné sur des bins dans l'espace des phases. Les amplitudes totale des modes étant indépendantes, ce moyennage sur des bins est équivalent à la moyenne sur l'ensemble statistique pour des bins suffisamment grands. La quantité pertinente, du point de vue de l'amplitude totale, est donc l'amplification moyenne. On retrouve le fait (Fig. 3.2) que le scénario du trempage remplit très efficacement le premier point du cahier des charges, décrit dans l'introduction de ce chapitre, concernant la formation d'un champ de pion fort (classique).

Venons-en maintenant à notre étude proprement dite, c'est à dire à l'analyse de la structure d'isospin des configurations dans l'état final et commençons par le second point de notre cahier des charges : l'état de polarisation des modes individuels. Les distributions des valeurs de la fraction neutre $f(k)$ sont représentées pour différentes valeurs de k sur les Figs. 3.5 et 3.6, correspondant respectivement à $t_f = 10a$ et $t_f = 56a$. Bien que toutes présentent de fortes fluctuations autour de la valeur moyenne $\langle f \rangle = 1/3$, on remarque un changement de profil lorsqu'on passe des modes amplifiés à ceux qui ne le sont pas. En fait pour tous les modes en dehors de la fenêtre d'amplification ($n \leq 15$ pour $t_f = 10a$, $n \leq 4$ pour $t_f = 56a$), les distributions des valeurs de f présentent le même profil linéaire. Il est intéressant de remarquer que cette loi linéaire est précisément celle que l'on obtient dans le cas d'un ensemble thermique de pions (voir l'Eq. (E.22)) de l'Annexe E). Cette observation conforte l'idée selon laquelle ces modes sont déjà thermalisés [16, 19]. En ce

¹⁴La longueur de corrélation est inférieure à la coupure infrarouge Δk .

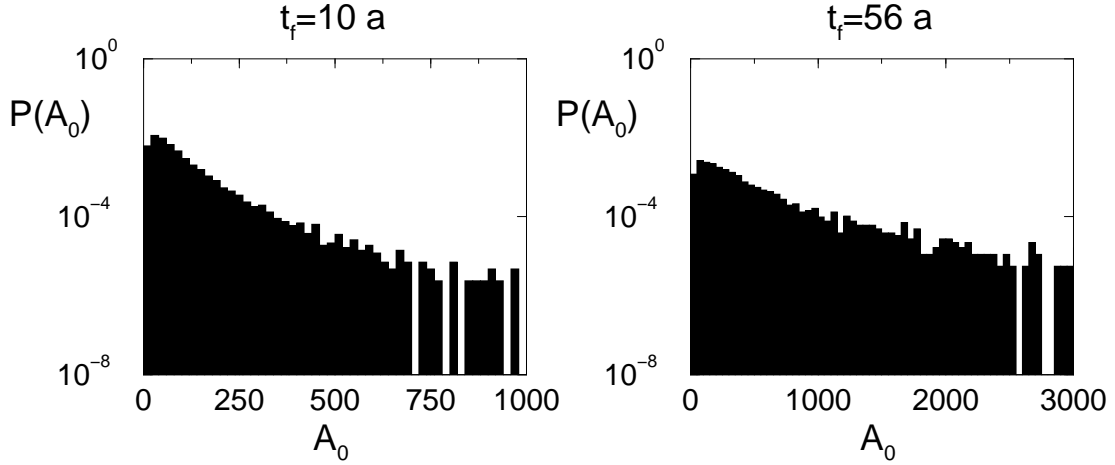


FIG. 3.3: Histogrammes des valeurs de l'amplification dans le mode $k = 0$, dont l'amplification moyenne est la plus grande, pour $t_f = 10a$ (à gauche) et $t_f = 56a$ (à droite). Les fluctuations de l'amplification autour de sa valeur moyenne sont très grandes pour les modes les plus amplifiés en moyenne. Ces histogrammes sont les analogues de ceux de la Fig. 2.4 du Chap. 2. Dans le cas présent cependant, on sélectionne les événements intéressant (amplifiés) en trempant artificiellement le système.

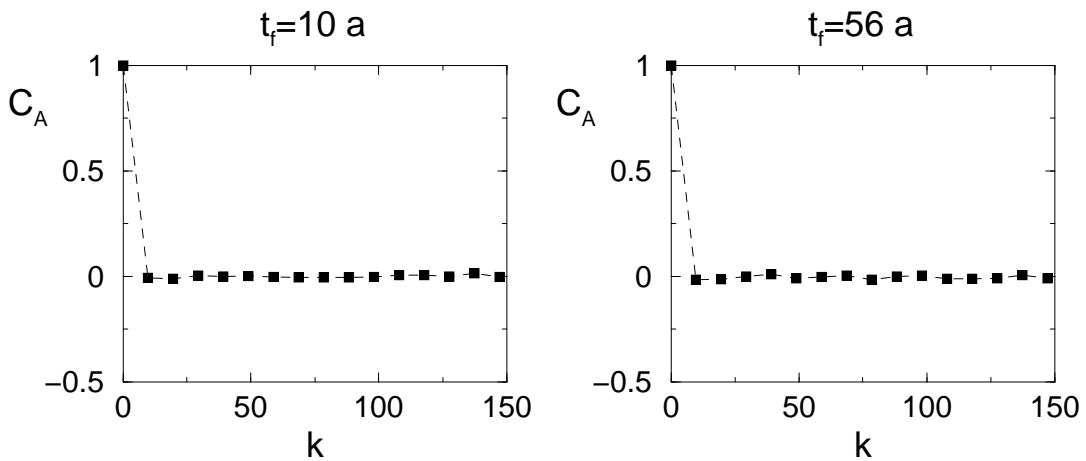


FIG. 3.4: La fonction de corrélation réduite $C_A(0, k)$ (Eq. (3.16)) en fonction de k (en MeV) pour $t_f = 10a$ (à gauche) et $t_f = 56a$ (à droite). Les fonctions de corrélation du type $C_A(k_0, k)$ et $C_A(k_0, p)$, où k_0 et k sont des impulsions dans la direction \hat{k}_x tandis que p est une impulsion dans une direction différente, montrent des profils similaires : les amplifications des différents modes sont statistiquement indépendantes.

qui concerne les modes amplifiés, qui sont ceux qui nous intéressent, la distribution en f est sensiblement la même que dans l'état initial (cf. Eq. (E.23) de l'Annexe E).

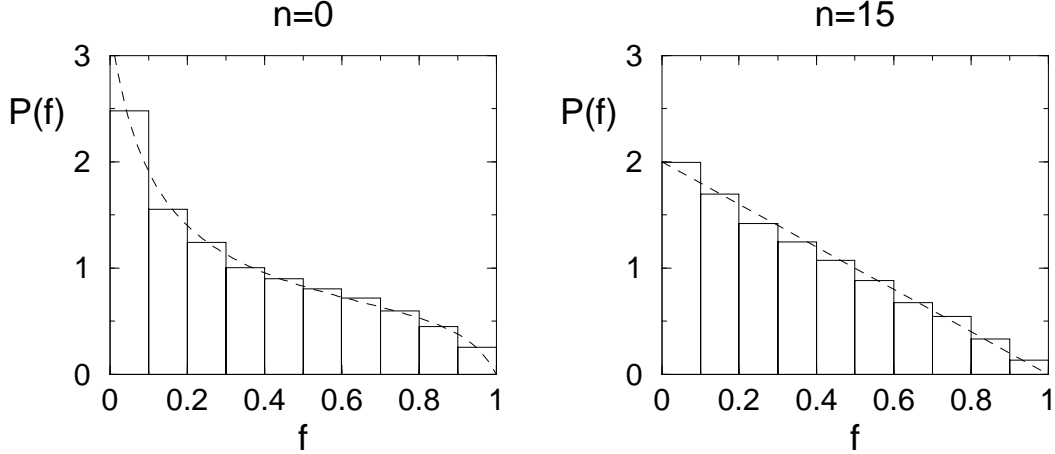


FIG. 3.5: Histogrammes des valeurs des fractions neutres dans les modes $k = n\Delta k$ ($\Delta k \approx 10$ MeV) pour $n = 0$ (à droite) et $n = 15$ (à gauche), à l'instant $t_f = 10a$. Les histogrammes correspondant aux modes $n \leq 14$ sont tous compatibles avec la distribution correspondante dans l'état initial (indiquée en traits tirés pour $n = 0$), tandis que pour $n \geq 15$ on observe une distribution linéaire, à comparer avec la loi $2(1 - f)$ (indiquée en traits tirés) obtenue dans le cas d'un ensemble thermique (cf. Eq. (E.22) de l'Annexe E).

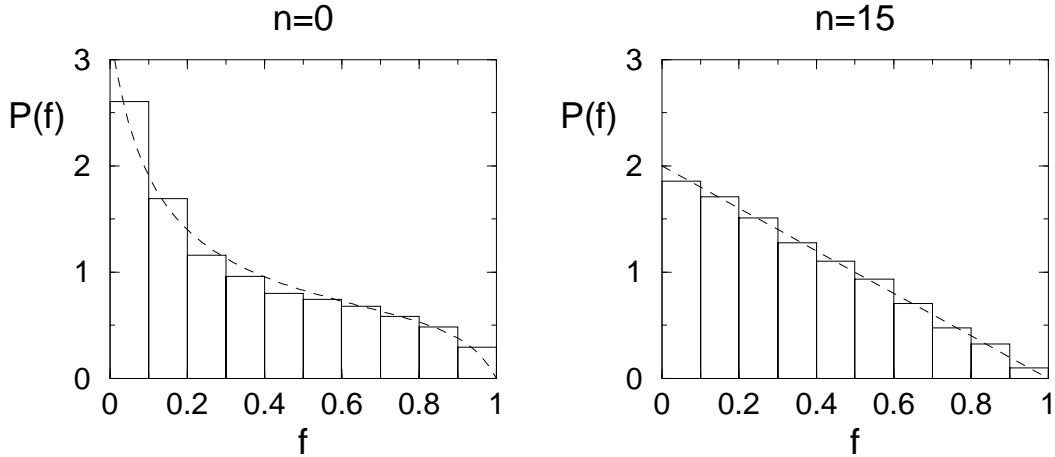


FIG. 3.6: Même chose que sur la Fig. 3.5 pour $t_f = 56a$. Les histogrammes correspondant aux modes $n \leq 3$ sont compatibles avec la distribution initiale. Tous les modes $n \geq 4$ présentent une distribution linéaire.

L'analyse des excentricités des polarisations elliptiques permet d'étudier plus précisément ce dernier point. La Fig. 3.7 représente l'excentricité moyenne $\langle e(k, t_f) \rangle$ en fonction de k à différents instants. Dans les deux cas $t_f = 10a$ et $t_f = 56a$, les modes pour lesquels l'amplification moyenne est importante ont une excentricité moyenne très proche, bien que légèrement inférieure, de la valeur correspondante dans l'état initial. Dans le cas $t_f = 56a$, on voit que l'excentricité moyenne des modes qui ne font pas, ou plus, partie de la fenêtre des modes amplifiés ($k \gtrsim 50$ MeV) est indépendante de k et très supérieure à la valeur initiale correspondante. Cette observation s'avère vraie, non seulement en moyenne, mais évène-

ment par évènement, au niveau des distributions des excentricités des différents modes, représentées aux instants initial et final, $t_f = 10a$ et $t_f = 56a$, sur les Figs. 3.8, 3.9 et 3.10 respectivement. Pour les modes amplifiés, les distributions finales sont légèrement décallées vers les petites valeurs de e , à l'inverse, les modes thermalisés ont une polarisation plus circulaire (grandes valeurs de l'excentricité) que dans l'état initial. Pour ces derniers, la distribution est indépendante de k . Bien que les modes de grande longueur d'onde aient une polarisation de plus en plus linéaire à mesure qu'ils sont amplifiés, il s'agit d'un effet très faible. On voit par exemple sur les Figs. 3.8, 3.9 et 3.10, que la proportion d'évènements pour lesquels l'excentricité du mode zéro est inférieure à 0.1 est de : 13% dans l'état initial, 16% à $t_f = 10a$, et 18% à $t_f = 56a$.

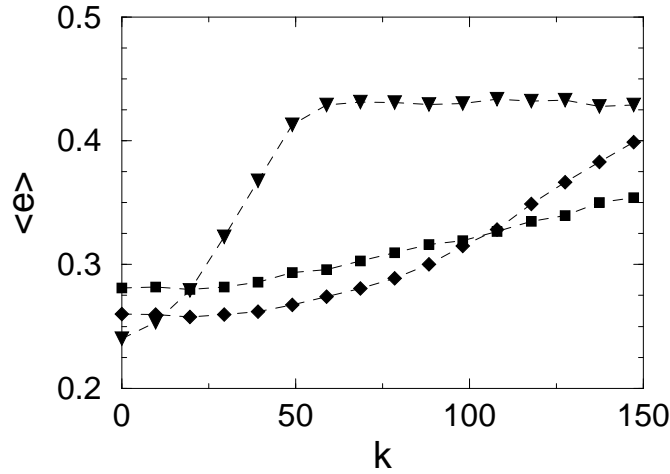


FIG. 3.7: L'excentricité moyenne $\langle e(k, t_f) \rangle$ en fonction de k (en MeV) dans l'état initial (carrés), ainsi que pour $t_f = 10a$ (losanges) et $t_f = 56a$ (triangles). Les lignes sont des guides pour l'œil.

Les modes qui, à un instant donné, sont dans la fenêtre d'amplification ne voient pas leur polarisation notablement modifiée, tandis que ceux qui ne ressentent plus l'amplification et thermalisent, se retrouvent avec une polarisation "thermique", d'autant plus différente de leur polarisation initiale que leur fréquence est grande. Le mécanisme responsable de l'amplification ne modifie donc pas l'état de polarisation des modes amplifiés, la distribution de la fraction de pions neutres dans ces modes est essentiellement donnée par la distribution correspondante dans l'état initial (cf. Figs. 3.5 et 3.6).

Il est cependant intéressant de noter que, bien que les modes soient loin d'être polarisés strictement linéairement, cela n'entraîne que de petits écarts à la loi en $1/\sqrt{f}$. En effet ici, de même que dans le cas idéal, la fraction de pions neutres dans un mode k donné fluctue très fortement d'un évènement à l'autre, si bien que du point de vue d'un expérimentateur la différence n'est pas très importante.

Le dernier point de notre étude concerne la question de l'alignement entre les directions d'oscillations des différents modes dans l'espace d'isospin. La Fig. 3.11 représente la fonction de corrélation $C_f(0, k)$ (Eq. (3.16)) en fonction de k . Pour les deux valeurs de t_f étudiées, les fractions neutres des différents modes sont complètement indépendantes les unes des autres dans l'état final. Il en va de même pour les excentricités. Bien qu'en moyenne les amplitudes $\varphi_j(\vec{k}, t)$ des modes amplifiés oscillent en phase dans chacune des directions d'isospin, les vecteurs $\varphi(\vec{k}, t)$ oscillent dans des directions complètement indépendantes : dans un certain sens, les différents modes sont comme autant de DCC indépendants. La conséquence phénoménologique immédiate est l'atténuation, voire la disparition des fluc-

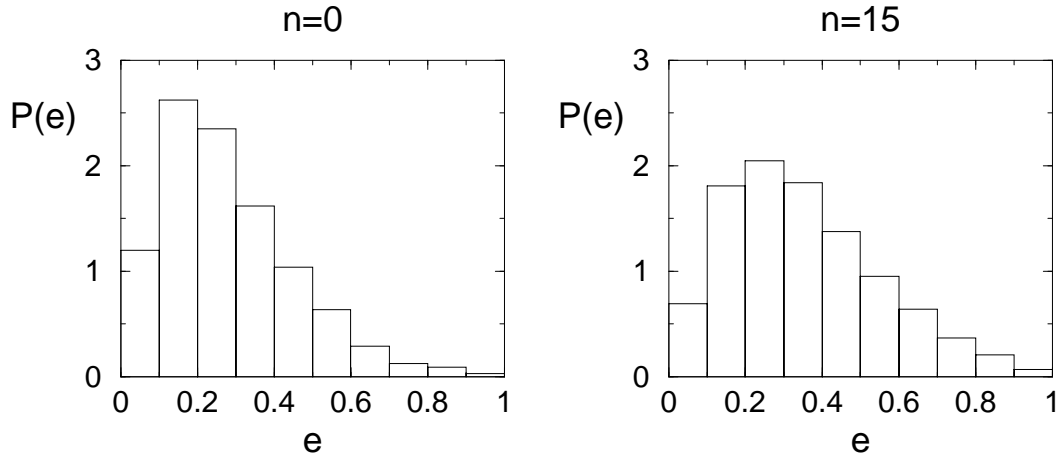


FIG. 3.8: Histogrammes des valeurs de l'excentricité (Eq. (3.13)) dans l'état initial, pour les modes $n = 0$ (à droite) et $n = 15$ (à gauche).

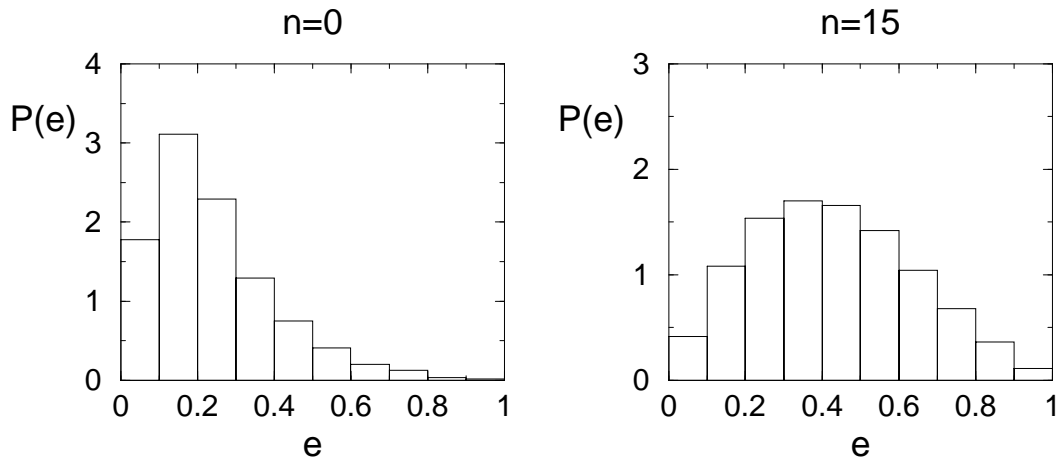


FIG. 3.9: Même chose que sur la Fig. 3.8, cette fois dans l'état final à $t_f = 10a$. Les distributions correspondant aux modes tels que $n < 11$ sont déplacées vers les petites valeurs de e par rapport à l'état initial. Ce décalage est le plus accentué pour $n = 0$, et s'estompe à mesure que n augmente pour s'inverser à partir de $n = 11$: au delà les distributions sont décalées vers les grandes valeurs de e .

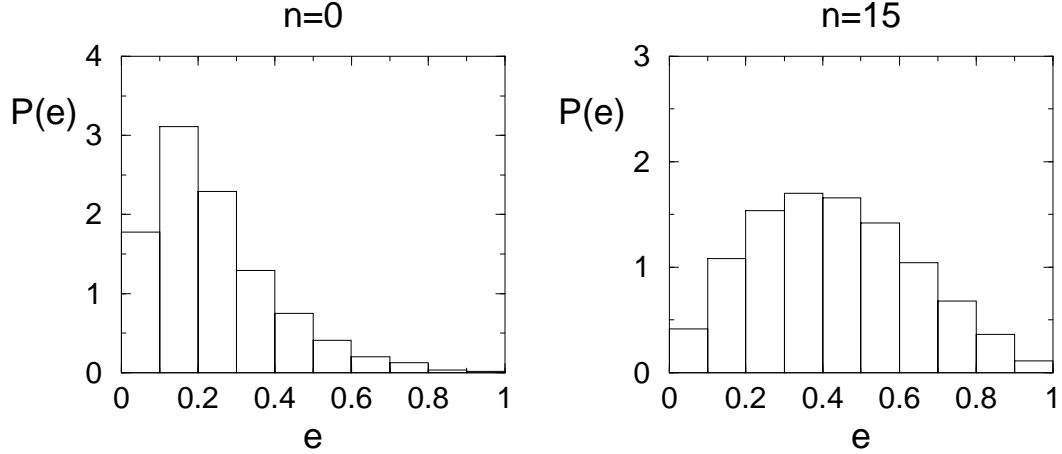


FIG. 3.10: Même chose que sur la Fig. 3.9, pour $t_f = 56a$. Le même phénomène de décalage de la distribution est observé : décalage vers la gauche pour $n \leq 2$, et vers la droite au delà. Ce décalage vers les grande valeurs de e pour les modes de grande fréquence se stabilise cependant : les distributions correspondant aux modes $n \geq 7$ sont toutes identiques (voir la distribution de $n = 15$ ci-dessus).

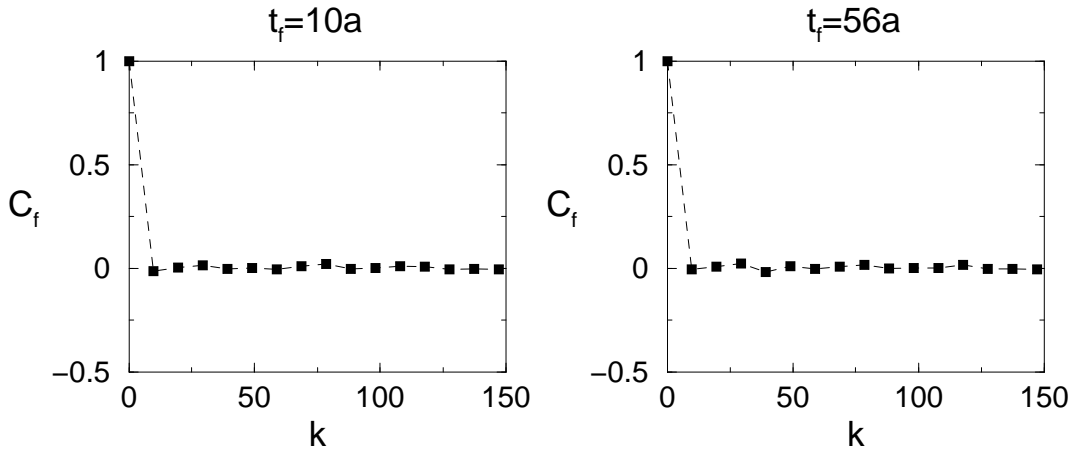


FIG. 3.11: La fonction de corrélation réduite $C_f(0, k)$ (Eq. (3.16)) en fonction de k (en MeV) pour $t_f = 10a$ (à gauche) et $t_f = 56a$ (à droite). De même que pour l'amplification (Fig. 3.4), on a calculé les fonctions de corrélation entre différents modes, pour la fraction neutre ainsi que pour l'excentricité. Il en ressort que les polarisations des différents modes sont statistiquement indépendantes.

tuations de la fraction neutre du nombre total de pions dans un bin d'espace des phases. Ceci est illustré sur la Fig. 3.12 qui représente la distribution de la fraction neutre lorsque les contribution de seulement quelques modes équivalents (c'est à dire ayant la même distribution individuelle) sont pris en compte¹⁵.

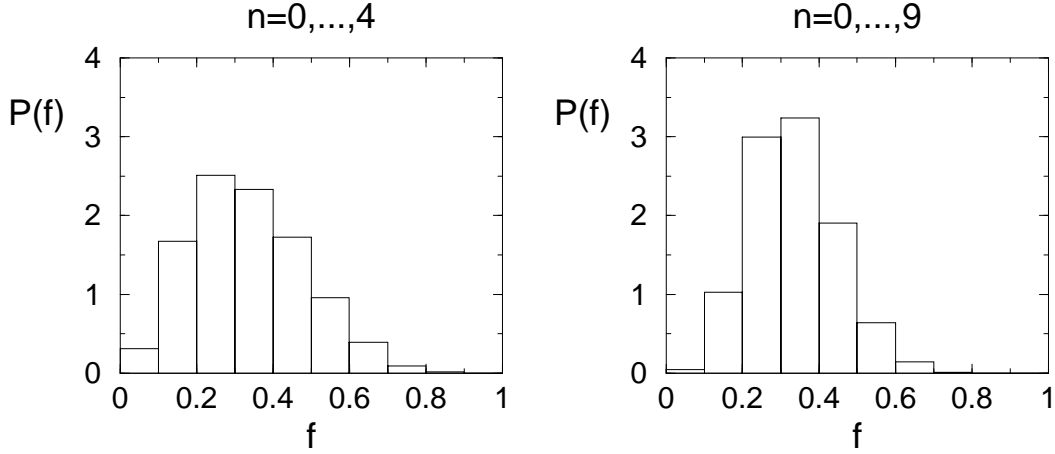


FIG. 3.12: Histogrammes des valeurs des fractions neutres provenant de la somme des contributions des modes $n = 0, \dots, 4$ (à droite) et $n = 0, \dots, 9$ (à gauche), à l'instant $t_f = 10a$. Dans ce cas tous les modes considérés ont des distributions individuelles de f essentiellement identiques. On voit que le signal est rapidement détruit par l'interférence entre les contributions statistiquement indépendantes.

3.3 Discussion et conclusion

3.3.1 Résumé

Partant d'un ensemble symétrique pour le champ chiral $\phi = (\pi, \sigma)$, nous résolvons numériquement les équations du mouvement du modèle σ -linéaire, qui peut être vu comme une théorie effective décrivant la dynamique des excitations bosoniques de basse énergie de QCD. Le trempage des fluctuations de l'état initial est un mécanisme très efficace pour générer des oscillations cohérentes de grande longueur d'onde et de grande amplitude [16].

L'analyse statistique détaillée de l'état final montre que la structure d'isospin du champ de pion y est sensiblement la même que dans l'état initial. Bien que différentes de la loi en $1/\sqrt{f}$, propre à une polarisation rectiligne, les distributions de la fraction neutre dans les modes individuels sont très larges, ce qui est le point important pour la phénoménologie. Cependant, les polarisations des différents modes sont complètement indépendantes les unes des autres. La conséquence phénoménologique importante est la suppression des grandes fluctuations de la fraction de pions neutres lorsque les contributions de plusieurs modes sont prises en compte, par exemple dans un bin de l'espace des impulsions.

Le point clef est de réaliser que l'hypothèse d'un état initial spatialement désordonné implique que les modes de Fourier du champ sont initialement indépendants les uns des autres. Notre résultat peut donc être énoncé comme suit : les non-linéarités de la dynamique *ne génèrent pas* de corrélations entre les modes. Le chaos que l'on a postulé à l'instant initial se retrouve dans l'état final. Cela contredit l'idée largement répandue, selon laquelle

¹⁵Il s'agit du rapport $\frac{N_3}{N_1 + N_2 + N_3}$, où $N_j = \sum_{k \in \text{bin}} \bar{n}_j(k)$.

la configuration générée dans le modèle le plus simple utilisé jusqu'à présent, est un DCC, tel qu'il a été proposé à l'origine. Ce modèle permet d'expliquer l'aspect classique du DCC, pas sa polarisation hypothétique.

3.3.2 Comparaison avec des travaux antécédents

De nombreuses études concernant les implications phénoménologiques du scénario du trempage ont été réalisées depuis [16]. Parmi les auteurs de ces travaux, certains [25, 30, 68], s'intéressant à la distribution de la fraction de pions neutres dans l'état final, ont obtenus des résultats analogues à celui de la Fig. 3.12.

Etudiant l'état final du modèle de Rajagopal et Wilczek en termes de domaines d'orientation donnée (par analogie avec les domaines d'aimantation formés lors du trempage d'un ferromagnétique), S. Gavin, A. Gocksch et R. D. Pisarski [25] arrivent à la conclusion suivante : le système est formé d'un grand nombre de petits domaines orientés aléatoirement et dont la taille est de l'ordre de la longueur de corrélation, ce qui se traduit par une distribution binomiale de la fraction neutre du nombre *total* de pions¹⁶. Par la suite, K. Rajagopal a souligné le fait que le système en question, étant hors d'équilibre, ne peut être caractérisé par une échelle de longueur unique [30], de sorte que l'image de la Réf. [25] n'est pas appropriée. Dans ce chapitre, nous avons montré que les différents *modes* du champ se comportent comme des DCC indépendants : ils sont amplifiés (ce qui justifie l'approximation classique), ont une orientation différente de celle du vide physique, mais leurs polarisations dans l'espace d'isospin sont statistiquement indépendantes. Bien sûr, en prenant la transformée de Fourier inverse, on arrive à la même conclusion dans l'espace des configurations : les orientations du champ ϕ sont indépendantes d'un site à l'autre. Il n'est cependant pas correct de dire que l'on a produit une pléthore de petits DCC (domaines), chacun de la taille du pas du réseau. En effet, les modes de grande longueur d'onde, qui ont été fortement amplifiés et qui sont, par conséquent les degrés de liberté intéressants, occupent *tout* le volume de la collision où le champ a été trempé. De plus, la représentation dans l'espace des impulsions donne une image plus proche de ce que les expérimentateurs voient. Quoi qu'il en soit, les "domaines" sont éphémères, les détecteurs enregistrent finalement les impulsions des particules produites.

Dans la Réf. [30], Rajagopal étudie les implications phénoménologiques de son modèle, notamment quant à la distribution de la fraction de pions neutres de basse énergie, en découpant l'espace des phases comme dans une expérience réelle. Il calcule, pour un événement donné, la distribution sur l'ensemble des bins, de la fraction neutre des pions dont l'impulsion $||\vec{k}|| \lesssim 300$ MeV. Il obtient une distribution relativement piquée autour de $f = 1/3$, ce qu'il interprète comme : "an admixture of a $1/\sqrt{f}$ distribution." Il a en tête l'image d'un condensat chiral désorienté, formé par la superposition cohérente des modes de grande longueur d'onde, plongé dans le bain thermique incohérent formé par les autres modes. Cette image dans la représentation en impulsion, est plus satisfaisante. De plus, l'observation du fait que des modes de différente nature (amplifiés ou thermalisés) contribuent de façon incohérente, supprimant ainsi le signal, est parfaitement en accord avec notre résultat. Cependant, nous avons mis en évidence le fait que les modes de basse fréquence n'agissent pas de concert pour former un condensat cohérent, c'est le fait d'avoir moyenné les contributions d'un grand nombre de modes dans chaque bin qui est responsable de la suppression des fluctuations de la fraction neutre.

¹⁶Les auteurs en question étudient différents régimes de couplage. La conclusion décrite ici est celle obtenue dans le régime de couplage fort, pertinent à la physique des collisions d'ions lourds qui nous intéresse ici.

Finalement, J. Randrup [68] calcule la distribution de la fraction neutre de pions dont les impulsions sont inférieures à différentes coupures. Il n'observe une loi large (en $1/\sqrt{f}$) que dans le cas où le seul mode zéro contribue. L'accord entre les résultats du calcul classique exact et de l'approximation de champ moyen le conduit à dire : "each \vec{k} contributes pions having an independent orientation in isospin space." C'est précisément ce que nous avons obtenu ici. Cependant Randrup travaille dans un modèle avec expansion, c'est à dire qu'il modélise l'ensemble de la collision. Par conséquent, la plupart des événements qu'il considère n'ont pas été significativement amplifiés (cf. Chap. 2). Dans ce sens, son analyse est incomplète et ne permet pas de conclure quant à la question que nous nous sommes posé ici.

Certains indices concernant la structure d'isospin générée dans le scénario du trempage ont été relevés dans la littérature, en particulier l'absence de fluctuations significatives de la fraction de pions neutres. Cependant, l'analyse détaillée de la configuration du champ issu du trempage n'avait encore jamais été réalisée, en fait la question de la correspondance entre cette configuration et le DCC n'avait jamais été soulevée. Le travail présenté dans ce chapitre permet de clarifier la situation.

3.3.3 Spéculations

Le scénario du trempage sous sa forme la plus simple ne permet pas de générer une configuration de type DCC. L'inclusion d'effets quantiques dans l'approximation de champ moyen, ou encore de l'expansion, n'altèrent probablement pas cet état de faits, les premiers par construction, et la dernière n'étant qu'une façon sophistiquée de modéliser le trempage lui-même ainsi que le découplage entre les modes. Notre étude indique que c'est l'absence de corrélations dans l'état initial qui est à l'origine du problème.

En fait, si le phénomène du trempage des fluctuations initiales semble assez naturel dans le contexte des collisions d'ions lourds à haute énergie, l'hypothèse selon laquelle le système est complètement thermalisé à l'instant initial est loin d'être justifiée à l'heure actuelle. En particulier, dans ces systèmes de petite taille, les modes de grande longueur d'onde peuvent ne pas avoir eu suffisamment de temps pour thermaliser, avant que le phénomène d'instabilité spinodale ne se produise. On peut imaginer que des corrélations, présentes dans l'état initial, soient amplifiées lors de l'évolution hors d'équilibre ultérieure. En effet, on s'attend, d'après les arguments de champ moyen, à ce que le phénomène d'amplification par instabilité spinodale se produise pour une grande classe de conditions initiales¹⁷. Dans ce cas, le problème se ramène à celui, hautement non-trivial, de la construction d'un état initial réaliste, ce qui nécessite la description des premiers instants de la collision¹⁸.

A l'inverse, si des corrélations étaient présentes dans l'état initial, elles pourraient ne pas survivre à la dynamique non-linéaire. A nouveau, l'état final serait constitué d'une superposition incohérente de modes désorientés. Dans cette situation, pour mesurer de grandes fluctuations¹⁹ de la fraction de pions neutres dans un bin donné, il est nécessaire d'isoler aussi proprement que possible les modes individuels. Le volume du système doit alors être suffisamment grand pour que l'on ait une statistique satisfaisante, et suffisamment petit pour que deux modes voisins soient bien séparés, la coupure infrarouge étant inversement proportionnelle à la taille du système.

¹⁷La principale restriction étant que les fluctuations initiales ne soient pas trop importantes, de façon à ce que le système puisse entrer dans la région d'instabilité.

¹⁸Le modèle de la Réf. [72] est une possibilité intéressante.

¹⁹Ces fluctuations sont le signal d'un état semi-classique.

3.3.4 Conclusion

Nous avons montré que l'idée selon laquelle le mécanisme du trempage permet d'expliquer la formation d'un condensat chiral désorienté lors d'une collision d'ions lourds, idée très largement répandue, est incorrecte. L'hypothétique structure d'isospin du DCC tel qu'il a été proposée à l'origine, n'est pas générée par la dynamique. Il n'existe à ce jour aucun modèle microscopique capable de décrire la formation d'un DCC. C'est là le résultat essentiel de ce chapitre.

D'un autre côté, il est possible que l'image originale du DCC soit par trop idéalisée. Son extrême opposé est celle d'une superposition incohérente des modes du champ de pion classique. Nous avons vu que la manifestation la plus frappante de ces "ondes classiques d'isospin" reste la largeur inhabituelle de la distribution de leurs fractions neutres individuelles.

Pour aller plus loin, des développements sont nécessaires, notamment en ce qui concerne la description de l'état initial, à moins que des données expérimentales ne viennent trancher la situation.

Annexe A

Création de particules dans une géométrie en expansion

Dans un espace de géométrie (riemannienne) quelconque, certaines difficultés apparaissent, comme par exemple le problème de la définition d'une énergie conservée, qui empêchent la généralisation de concepts usuels en théorie quantique des champs. Dans le problème qui nous concerne au Chap. 2, nous travaillons dans l'espace plat de Minkowski et le problème de l'énergie est simplement une conséquence triviale du fait que nous avons choisi un système de coordonnées curviligne : l'énergie dans un co-volume décroît du fait de l'expansion (provoquant le trempage des fluctuations). Bien entendu, l'énergie totale du système est conservée. Cependant tout n'est pas aussi facile. En particulier, nous allons voir qu'il n'est point besoin de courbure de l'espace pour que le concept de particule devienne ambigu (ce qui est embêtant car nous cherchons précisément à calculer le nombre de particules). Ce problème a une interprétation physique très simple : nous sommes dans un référentiel accéléré. D'après le principe d'équivalence d'Einstein, cela revient à dire que nous sommes dans un certain champ de gravitation, lequel est couplé au champ de matière (par exemple par l'intermédiaire du terme de masse $\sqrt{-g}\phi^2$) et agit à la manière d'une source classique en créant des quanta de ce dernier. Définir le concept de particule revient à définir le concept de vide. Choisissons une définition du vide à un instant τ_0 , ce "vide" est rempli de "particules" à un instant ultérieur τ . Nous allons discuter ce problème sur l'exemple d'un champ scalaire massif libre. L'action classique s'écrit

$$\mathcal{S} = \frac{1}{2} \int d^4x \sqrt{-g} (g_{\mu\nu} \partial^\mu \phi \partial^\nu \phi + m^2 \phi^2) .$$

Le tenseur d'énergie impulsion est [73, 58]

$$\begin{aligned} T_{\mu\nu} &= -\frac{2}{\sqrt{-g}} \frac{\delta \mathcal{S}}{\delta g_{\mu\nu}} \\ &= \nabla_\mu \phi \nabla_\nu \phi - g_{\mu\nu} \left(\frac{1}{2} \nabla_\alpha \phi \nabla^\alpha \phi - \frac{1}{2} m^2 \phi^2 \right) , \end{aligned}$$

et satisfait à l'équation

$$\nabla^\mu T_{\mu\nu} = 0 .$$

En utilisant la propriété $\nabla^\alpha g_{\mu\nu} = 0$, on en déduit l'équation du mouvement pour le champ

$$(\nabla_\mu \nabla^\mu + m^2) \phi = 0 .$$

On remarque que la trace $T_\mu^\mu \neq 0$ dans la limite $m \rightarrow 0$. Cette forme du tenseur énergie-impulsion n'est pas invariante sous les dilatations d'échelle dans la limite où la théorie l'est. Pour remédier à ce problème, on utilise le fait que le tenseur énergie-impulsion est défini à un terme de divergence nulle près. On remplace donc $T_{\mu\nu} \rightarrow T_{\mu\nu} + \delta T_{\mu\nu}$, avec¹

$$\delta T_{\mu\nu} = \frac{1}{6} (g_{\mu\nu} \nabla_\alpha \nabla^\alpha - \nabla_\mu \nabla_\nu) \phi^2.$$

En utilisant la propriété $\nabla^\alpha g_{\mu\nu} = 0$, on obtient

$$\delta T_{\mu\nu} = \frac{1}{6} \nabla^\alpha (g_{\mu\nu} \nabla_\alpha - g_{\alpha\mu} \nabla_\nu) \phi^2.$$

Le terme entre parenthèses est antisymétrique en α, ν , tandis que, dans le cas d'un espace plat où les dérivées covariantes commutent², $\nabla^\mu \nabla^\alpha$ est symétrique. On a donc bien $\nabla^\mu \delta T_{\mu\nu} = 0$. En utilisant l'équation du mouvement, on obtient $T_\mu^\mu = m^2 \phi^2$, qui s'annule bien dans la limite conforme.

Le Hamiltonien du système s'écrit $H(\tau) = \tau^3 \int d^3x \sqrt{h} T_{\tau\tau}$, où $\tau^3 \sqrt{h}$ est le déterminant de la métrique décrivant la pseudo-sphère de rayon τ

$$H(\tau) = \tau^3 \int d^3x \sqrt{h} \left(\frac{1}{2} (\partial_\tau \hat{\phi})^2 - \frac{1}{2\tau^2} \phi \Delta^{(3)} \phi + \frac{m^2}{2} \phi^2 + \frac{1}{2\tau} (\phi \partial_\tau \phi + \partial_\tau \phi \phi) \right). \quad (\text{A.1})$$

Quantification

Le moment conjugué du champ ϕ est

$$\Pi = \frac{\delta \mathcal{L}}{\delta \partial_\tau \phi} = \sqrt{-g} \partial_\tau \phi,$$

et les relations de commutation canoniques s'écrivent

$$[\phi(\tau, \vec{x}); \Pi(\tau, \vec{x}')] = i \delta^{(3)}(\vec{x} - \vec{x}'), \quad (\text{A.2})$$

les autres commutateurs à temps propres égaux étant nuls. Dans le système de coordonnées de Minkowski, la théorie libre s'exprime comme un ensemble d'oscillateurs harmoniques indépendants. Dans notre système de coordonnées curvilignes (et, plus généralement dans une géométrie courbe), le champ "libre", c'est à dire sans auto-interaction, est couplé à un champ classique externe : la métrique. Nous allons voir cependant que le problème peut être ramené à un ensemble d'oscillateurs indépendants dont les fréquences dépendent du temps. Introduisons tout d'abord la variable de temps adimensionnée $u = \ln(m\tau)$ (u est

¹Ceci revient à remplacer $m^2 \rightarrow m^2 + \xi R$ dans l'action, où R est le scalaire de Ricci (voir [58]). On obtient alors directement le tenseur $T_{\mu\nu} + \delta T_{\mu\nu}$ en utilisant les formules suivantes :

$$\begin{aligned} \delta g^{\mu\nu} &= -g^{\mu\rho} g^{\nu\sigma} \delta g_{\rho\sigma} \\ \delta \sqrt{-g} &= \frac{1}{2} \sqrt{-g} g^{\mu\nu} \delta g_{\mu\nu}, \\ \delta R &= R^{\mu\nu} \delta g_{\mu\nu} + g^{\rho\sigma} g^{\mu\nu} (\nabla_\mu \nabla_\nu \delta g_{\rho\sigma} + \nabla_\sigma \nabla_\nu \delta g_{\rho\mu}). \end{aligned}$$

Dans notre cas $R^{\mu\nu} = 0$ et $R = 0$, les équations du mouvement ne sont donc pas modifiées. On peut voir que, dans le cas d'une géométrie de courbure non-nulle, le terme $\xi R \phi^2$ assure l'invariance d'une théorie de masse nulle sous les transformations conformes de l'espace, la valeur du coefficient ξ dépend de la dimension de l'espace, ici $d = 4$ et $\xi = 1/6$ [58].

²Le tenseur de courbure $R^{\mu\nu}$ est proportionnel au commutateur $[\nabla^\mu; \nabla^\nu]$.

aussi appelé le “temps conforme”), dans la suite toutes les fonctions exprimées comme fonction de u portent un tilde : $f(\tau) \equiv \tilde{f}(u)$. Définissons les quantités adimensionnées

$$\tilde{\varphi}(u, \vec{x}) = \tau \phi(\tau, \vec{x}) , \quad \tilde{\pi}(u, \vec{x}) = \tau \partial_\tau \varphi(\tau, \vec{x}) = \partial_u \tilde{\varphi}(u, \vec{x}) , \quad \tilde{H}(u) = \tau H(\tau) ,$$

ainsi que les projections sur les fonctions propres du laplacien tri-dimensionnel $\Delta^{(3)}$ (cf. Eq. (2.7) du Chap. 2)

$$\tilde{\varphi}_{\vec{s}}(u) = \int d^3x \sqrt{h} \mathcal{Y}_{\vec{s}}^*(\vec{x}) \tilde{\varphi}(u, \vec{x}) , \quad (\text{A.3})$$

$$\tilde{\pi}_{\vec{s}}(u) = \int d^3x \sqrt{h} \mathcal{Y}_{\vec{s}}^*(\vec{x}) \tilde{\pi}(u, \vec{x}) , \quad (\text{A.4})$$

qui sont telles que $\tilde{\varphi}_{\vec{s}}^\dagger = (-1)^m \tilde{\varphi}_{-\vec{s}}$ et $\tilde{\pi}_{\vec{s}}^\dagger = (-1)^m \tilde{\pi}_{-\vec{s}}$. En termes de ces quantités, les modes \vec{s} et $-\vec{s}$ apparaissent couplés. Pour rendre manifeste le découplage des modes, introduisons les variables normales [74], définies ci-dessous pour $m > 0$

$$\begin{aligned} \tilde{q}_{\vec{s}} &= \frac{1}{\sqrt{2}} \left(\tilde{\varphi}_{\vec{s}} + \tilde{\varphi}_{\vec{s}}^\dagger \right) , & \tilde{p}_{\vec{s}} &= \frac{1}{\sqrt{2}} \left(\tilde{\pi}_{\vec{s}} + \tilde{\pi}_{\vec{s}}^\dagger \right) , \\ \tilde{q}_{-\vec{s}} &= \frac{i}{\sqrt{2}} \left(\tilde{\varphi}_{\vec{s}} - \tilde{\varphi}_{\vec{s}}^\dagger \right) , & \tilde{p}_{-\vec{s}} &= \frac{-i}{\sqrt{2}} \left(\tilde{\pi}_{\vec{s}} - \tilde{\pi}_{\vec{s}}^\dagger \right) . \end{aligned}$$

En utilisant les Eqs. (2.6), (2.8), (2.9), et (A.2)), on obtient

$$\left[\tilde{q}_{\vec{s}}(u) ; \tilde{p}_{\vec{s}'}^\dagger(u) \right] = i \delta^{(3)}(\vec{s} - \vec{s}') ,$$

les autres commutateurs étant nuls. Le hamiltonien s'écrit

$$\tilde{H}(u) = \int d^3s \left(\frac{1}{2} \tilde{p}_{\vec{s}}^2 + \frac{\tilde{\omega}_{\vec{s}}^2(u)}{2} \tilde{q}_{\vec{s}}^2 \right) ,$$

où $\tilde{\omega}_{\vec{s}}^2(u) = s^2 + \tau^2 m^2$. On a donc, comme annoncé, une superposition d'oscillateurs indépendants dont les fréquences dépendent du temps³. Les équations de Heisenberg s'écrivent

$$\begin{aligned} \tilde{q}'(u) &= -i \left[\tilde{H}(u) ; \tilde{q}(u) \right] = \tilde{p}(u) , \\ \tilde{p}'(u) &= -i \left[\tilde{H}(u) ; \tilde{p}(u) \right] = -\tilde{\omega}(u) \tilde{q}(u) , \end{aligned}$$

où l'on a noté $\tilde{f}'(u) = d\tilde{f}/du$. La fréquence physique de nos oscillateurs est

$$\omega_s(\tau) = \frac{\tilde{\omega}_s(u)}{\tau} = \sqrt{\frac{s^2}{\tau^2} + m^2} . \quad (\text{A.5})$$

L'effet du (pseudo) champ gravitationnel, c'est à dire de l'expansion, est de décaler les fréquences vers le rouge au fur et à mesure que le temps avance. On voit apparaître le problème de la définition de la notion de particule. Nous allons maintenant préciser ce point.

³Dans le Chap. 2, la dépendance temporelle des fréquences a deux origines : la géométrie, qui donne lieu au terme s/τ dans l'expression (A.5) des fréquences physiques, et l'auto-interaction du champ, qui donne lieu à la dépendance temporelle de la masse effective des quasi-particules dans l'approximation de champ moyen.

Création de particules, approximation adiabatique

Introduisons les opérateurs de création et d'annihilation $\tilde{a}_{\vec{s}}^\dagger$ et $\tilde{a}_{\vec{s}}$

$$\tilde{\varphi}_{\vec{s}}(u) = \tilde{\psi}_s(u) \tilde{a}_{\vec{s}} + \tilde{\psi}_s^*(u) (-1)^m \tilde{a}_{-\vec{s}}^\dagger, \quad (\text{A.6})$$

$$\tilde{\pi}_{\vec{s}}(u) = \tilde{\psi}'_s(u) \tilde{a}_{\vec{s}} + \tilde{\psi}'_s{}^*(u) (-1)^m \tilde{a}_{-\vec{s}}^\dagger, \quad (\text{A.7})$$

qui satisfont les relations de commutation

$$[\tilde{a}_{\vec{s}}; \tilde{a}_{\vec{s}'}^\dagger] = \delta^{(3)}(\vec{s} - \vec{s}'), \quad (\text{A.8})$$

les autres commutateurs étant nuls. La fonction complexe $\tilde{\psi}_s$ est solution de l'équation

$$f'' + \tilde{\omega}_s(u) f = 0. \quad (\text{A.9})$$

Les relations (A.2) et (A.8) sont équivalentes pourvu que⁴

$$\tilde{W}_s = \tilde{\psi}_s(u) \tilde{\psi}'_s{}^*(u) - \tilde{\psi}_s^*(u) \tilde{\psi}'_s(u) = i. \quad (\text{A.10})$$

Soit u_0 (ou τ_0), l'instant de référence, auquel les représentations de Heisenberg et de Schrödinger coïncident, on a

$$\begin{aligned} \tilde{\varphi}_{\vec{s}} &= \tilde{\psi}_s(u_0) \tilde{a}_{\vec{s}} + \tilde{\psi}_s^*(u_0) (-1)^m \tilde{a}_{-\vec{s}}^\dagger, \\ \tilde{\pi}_{\vec{s}} &= \tilde{\psi}'_s(u_0) \tilde{a}_{\vec{s}} + \tilde{\psi}'_s{}^*(u_0) (-1)^m \tilde{a}_{-\vec{s}}^\dagger, \end{aligned}$$

et dénotons par $\tilde{U}(u, u_0)$ l'opérateur unitaire qui connecte ces deux représentations⁵

$$\begin{aligned} \tilde{\varphi}_{\vec{s}}(u) &= \tilde{U}(u, u_0) \tilde{\varphi}_{\vec{s}} \tilde{U}^{-1}(u, u_0) \\ &= \tilde{\psi}_s(u_0) \tilde{a}_{\vec{s}}(u) + \tilde{\psi}_s^*(u_0) (-1)^m \tilde{a}_{-\vec{s}}^\dagger(u), \end{aligned} \quad (\text{A.11})$$

$$\begin{aligned} \tilde{\pi}_{\vec{s}}(u) &= \tilde{U}(u, u_0) \tilde{\pi}_{\vec{s}} \tilde{U}^{-1}(u, u_0) \\ &= \tilde{\psi}'_s(u_0) \tilde{a}_{\vec{s}}(u) + \tilde{\psi}'_s{}^*(u_0) (-1)^m \tilde{a}_{-\vec{s}}^\dagger(u), \end{aligned} \quad (\text{A.12})$$

où $\tilde{a}_{\vec{s}}(u) = \tilde{U}(u, u_0) \tilde{a}_{\vec{s}} \tilde{U}^{-1}(u, u_0)$. D'après (A.7)-(A.7) et (A.11)-(A.12), et en utilisant (A.10)

$$\tilde{a}_{\vec{s}}(u) = \tilde{\mu}_s(u) \tilde{a}_{\vec{s}} + \tilde{\nu}_s(u) (-1)^m \tilde{a}_{-\vec{s}}^\dagger, \quad (\text{A.13})$$

avec

$$i \tilde{\mu}_s^*(u) = \tilde{\psi}_s(u_0) \tilde{\psi}'_s{}^*(u) - \tilde{\psi}'_s(u_0) \tilde{\psi}_s^*(u), \quad (\text{A.14})$$

$$i \tilde{\nu}_s^*(u) = \tilde{\psi}'_s(u_0) \tilde{\psi}'_s{}^*(u) - \tilde{\psi}'_s{}^*(u_0) \tilde{\psi}_s(u). \quad (\text{A.15})$$

La transformation de Bogoliubov (A.13) est unitaire :

$$|\tilde{\mu}_s(u)|^2 - |\tilde{\nu}_s(u)|^2 = 1.$$

Supposons que le système soit initialement (à l'instant u_0) dans l'état $|0, u_0\rangle$ défini par la relation $a_{\vec{s}}|0, u_0\rangle = 0, \forall \vec{s}$. Le nombre de particules initial dans le mode \vec{s} est donc

⁴Le Wronskien \tilde{W}_s est conservé : $\tilde{W}' = 0$.

⁵Cet opérateur peut être construit explicitement [62].

$\langle 0, u_0 | a_{\vec{s}}^\dagger a_{\vec{s}} | 0, u_0 \rangle = 0$. Le nombre de particules dans le mode \vec{s} à l'instant u est facilement obtenu à l'aide de (A.13), (A.14) et (A.15) :

$$\tilde{n}_s(u) = \langle 0, u_0 | \tilde{a}_{\vec{s}}^\dagger(u) \tilde{a}_{\vec{s}}(u) | 0, u_0 \rangle = |\tilde{\nu}_s(u)|^2 .$$

On voit explicitement le problème mentionné au début de cette partie : différents choix de la fonction $\tilde{\psi}_s$ correspondent à différents opérateurs $a_{\vec{s}}$ et donc différents vides $|0, u_0\rangle$. De façon générale, aucun choix de $a_{\vec{s}}$ ne correspond à l'opérateur d'annihilation de particules physiques, le nombre de particules n'étant pas constant dans une métrique dépendant du temps. Le problème de la dépendance en temps du vide est assez sérieux : par exemple, il est habituel, en théorie quantique des champs, de soustraire au Hamiltonien sa valeur moyenne dans le vide, infinie, les seules quantités physiquement observables étant les différences d'énergie entre états. Si la définition du vide dépend du temps, cette procédure n'a plus de sens car on doit alors soustraire des quantités différentes à des instants différents, on ne peut pas comparer deux mesures faites à des instants différents.

Notons de plus que la dépendance temporelle du nombre moyen de particules rend la mesure de cette quantité tout à fait incertaine, autrement dit, le nombre moyen de particules n'a pas une signification physique bien définie [63]. En effet, supposons que notre observateur en co-mouvement cherche à faire une mesure de cette quantité, mesure nécessitant une durée $\Delta\tau$. Le résultat de la mesure est entâché de l'incertitude

$$\Delta N \gtrsim (m\Delta\tau)^{-1} + |A|\Delta\tau ,$$

où le premier terme vient du principe d'incertitude de Heisenberg et où A est le taux moyen de production de particule par unité de temps dans le co-volume considéré. L'incertitude minimale possible est $\Delta N_{min} = 2(|A|/m)^{1/2}$, avec $\Delta\tau = (m|A|)^{-1/2}$. Il n'existe pas de valeur de $\Delta\tau$ pour laquelle ΔN_{min} s'annule.

L. Parker a étudié ce problème vers la fin des années 1960 [63] et a proposé de définir les particules physiques, ou, de manière équivalente, les fonctions modes $\tilde{\psi}_s(u)$, comme étant celles qui minimisent ΔN_{min} , c'est à dire qui minimisent le taux de production A . Cela revient à faire un développement dans le taux d'expansion, c'est à dire dans un paramètre décrivant la "vitesse" à laquelle la métrique change avec le temps. Intuitivement, il est clair que plus l'expansion est lente, plus on est proche du cas statique (Minkowski), et plus le taux de production de particules est faible : c'est le développement adiabatique. Considérons, avec L. Parker et S. A. Fulling [60], les solutions "de fréquence positive" généralisées des Eqs. (A.9) et (A.10) :

$$\tilde{g}_s(u) = \frac{1}{\sqrt{2\tilde{\Omega}_s(u)}} \exp\left(-i \int_{u_0}^u dv \tilde{\Omega}_s(v)\right) , \quad (\text{A.16})$$

où $\tilde{\Omega}_s(u)$ est une fonction réelle satisfaisant l'équation (cf. (A.9))

$$\tilde{\Omega}_s^2(u) = \tilde{\omega}_s^2(u) - \frac{1}{2} \frac{\tilde{\Omega}_s''(u)}{\tilde{\Omega}_s} + \frac{3}{4} \left(\frac{\tilde{\Omega}_s'(u)}{\tilde{\Omega}_s} \right)^2 .$$

L'approximation adiabatique d'ordre 0 est obtenue en identifiant, à un instant de référence u_0 ,

$$\tilde{\psi}_s(u_0) = \tilde{g}_s^{(0)}(u_0) , \quad \tilde{\psi}_s'(u_0) = \tilde{g}_s^{(0)'}(u_0) ,$$

où $\tilde{g}_s^{(0)}$ est donnée par l'Eq. (A.16) en remplaçant $\tilde{\Omega}_s \rightarrow \tilde{\Omega}_s^{(0)} = \tilde{\omega}_s$:

$$\begin{aligned}\tilde{g}_s^{(0)}(u_0) &= \frac{1}{\sqrt{2\tilde{\omega}_s(u_0)}}, \\ \tilde{g}_s^{(0)'}(u_0) &= -\left[\frac{\tilde{\omega}'_s(u_0)}{2\tilde{\omega}_s(u_0)} + i\tilde{\omega}_s(u_0)\right] \tilde{g}_s^{(0)}(u_0).\end{aligned}$$

Les approximations successives, $\tilde{g}_s^{(p)}$, sont obtenues par récurrence

$$\left(\tilde{\Omega}_s^{(p+1)}(u)\right)^2 = \tilde{\omega}_s^2(u) - \frac{1}{2} \frac{\tilde{\Omega}_s^{(p)''}}{\tilde{\Omega}_s^{(p)}} + \frac{3}{4} \left(\frac{\tilde{\Omega}_s^{(p)'}}{\tilde{\Omega}_s^{(p)}}\right)^2.$$

Mentionnons enfin le fait que cette procédure de quantification permet de renormaliser la théorie de façon non-ambigüe, c'est à dire de manière indépendante du temps [34, 60, 58]. On voit en effet que l'approximation adiabatique est d'autant meilleure que s est grand : dans la limite $s \rightarrow +\infty$ on a $\tilde{\Omega}_s \simeq s$, qui ne dépend pas du temps. On comprend donc qu'il soit possible de traiter les divergences ultraviolettes les plus sévères une fois pour toutes à l'instant de référence u_0 . En fait on peut montrer [60, 58] qu'en identifiant les fonctions modes $\tilde{\psi}_s$ avec $\tilde{g}_s^{(p)}$ à l'instant u_0 , le taux de création de particules dans le mode \vec{s} à un instant ultérieur u décroît comme $1/s^{p+1}$.

Annexe B

Equilibre thermique et équilibre thermique local

Dans cette Annexe, nous présentons le modèle σ -linéaire dans l'approximation grand N , dans le cas où le système est à l'équilibre thermodynamique à la température T . Nous calculons ensuite les variances des distributions gaussiennes utilisées pour échantillonner les conditions initiales au Chap. 2. Nous utilisons des notations conventionnelles : $\vec{x} = (x, y, z)$ désigne le vecteur position dans le système de coordonnées carthésiennes et $d^3x = dx dy dz$ l'élément de volume infinitésimal.

B.1 Equilibre thermodynamique

Considérons un volume infini où le champ chirale est à l'équilibre thermodynamique, la matrice densité du système s'écrit

$$\rho = \frac{1}{\mathcal{Z}} e^{-H/T}, \quad (\text{B.1})$$

où H est le Hamiltonien et $\mathcal{Z} = Tr[\rho]$ est la fonction de partition. Dans cet état, le paramètre d'ordre est uniforme et constant

$$\langle \Phi_a(t, \vec{x}) \rangle_T = \phi_T^a, \quad (\text{B.2})$$

$$\langle \dot{\Phi}_a(t, \vec{x}) \rangle_T = 0, \quad (\text{B.3})$$

avec la notation $\langle \mathcal{O} \rangle_T = Tr[\rho \mathcal{O}]$. On définit le champ de fluctuation autour de cette valeur moyenne¹

$$\delta\phi_a(t, \vec{x}) = \Phi_a(t, \vec{x}) - \phi_T^a, \quad (\text{B.4})$$

$$\delta\dot{\phi}_a(t, \vec{x}) = \dot{\Phi}_a(t, \vec{x}). \quad (\text{B.5})$$

Dans l'approximation de champ moyen grand N , le système de particules en interaction est remplacé par un ensemble de “quasi-particules” indépendantes de masse effective $\sqrt{\chi_T}$. En d'autres termes, le hamiltonien est diagonal dans la base “nombre” associée à ces quasi-particules. En dénotant respectivement par $a_{a,\vec{k}}^\dagger$ et $a_{a,\vec{k}}$ les opérateurs de création et d'annihilation d'une quasi-particule “thermique” d'impulsion \vec{k} et de composante chirale a ,

¹La fluctuation $\delta\phi$ définie ici, est différente de celle définie au Chap. 2

on a, dans la représentation de Heisenberg,

$$\delta\phi_a(t, \vec{x}) = \int \frac{d^3k}{(2\pi)^3} \frac{1}{\sqrt{2E_k(\chi_T)}} \left[a_{a, \vec{k}} e^{-ikx} + a_{a, \vec{k}}^\dagger e^{ikx} \right], \quad (\text{B.6})$$

$$\dot{\delta}\phi_a(t, \vec{x}) = -i \int \frac{d^3k}{(2\pi)^3} \sqrt{\frac{E_k(\chi_T)}{2}} \left[a_{a, \vec{k}} e^{-ikx} - a_{a, \vec{k}}^\dagger e^{ikx} \right], \quad (\text{B.7})$$

où $E_k(\chi_T) = \sqrt{k^2 + \chi_T}$ et $kx = E_k(\chi_T)t - \vec{k} \cdot \vec{x}$. Avec notre choix de normalisation, les relations de commutation sont

$$\left[a_{a, \vec{k}}; a_{b, \vec{k}'}^\dagger \right] = (2\pi)^3 \delta_{ab} \delta^{(3)}(\vec{k} - \vec{k}'). \quad (\text{B.8})$$

Le hamiltonien décrivant les fluctuations autour du paramètre d'ordre s'écrit

$$H = \int \frac{d^3k}{(2\pi)^3} E_k(\chi_T) \sum_{a=1}^N \left(a_{a, \vec{k}}^\dagger a_{a, \vec{k}} + \frac{1}{2} \right), \quad (\text{B.9})$$

On obtient aisément

$$\langle a_{a, \vec{k}}^\dagger a_{b, \vec{k}'} \rangle_T = (2\pi)^3 \delta_{ab} \delta^{(3)}(\vec{k} - \vec{k}') N_k(\chi_T), \quad \langle a_{a, \vec{k}} a_{b, \vec{k}'} \rangle_T = 0, \quad (\text{B.10})$$

où $N_k(\chi_T)$ est la distribution de Bose-Einstein pour les quasi-particules :

$$N_k(\chi_T) = \frac{1}{e^{E_k(\chi_T)/T} - 1}. \quad (\text{B.11})$$

La masse effective $\sqrt{\chi_T}$ des quasi-particules satisfait la relation d'auto-cohérence (équation de gap, cf. (2.13))

$$\frac{\chi_T}{\lambda} = \phi_T^2 - v^2 + N \int_0^\Lambda \frac{k^2 dk}{2\pi^2} \frac{2N_k(\chi_T) + 1}{2E_k(\chi_T)}, \quad (\text{B.12})$$

où $\phi_T^2 = \phi_T \cdot \phi_T$. La valeur du paramètre d'ordre ϕ_T est telle que le potentiel effectif est minimum (cf. Eq. (2.11)) et dépend elle-même de χ_T

$$\chi_T \phi_T = H \mathbf{n}_\sigma. \quad (\text{B.13})$$

Les divergences apparaissant dans l'Eq. (B.12) sont absorbées dans les paramètres nus v et λ de la façon exposée au Chap. 2. Dans la limite chirale $H = 0$, on voit, d'après l'eq. (B.13), que dans la phase brisée² ($T < T_c$), où $\phi_T \neq 0$, la masse effective des pions est nulle, tandis que dans la phase symétrique où $\phi_T = 0$, celle-ci est *a priori* non-nulle. Dans la cas où $H \neq 0$, cette transition de phase disparaît, mais la discussion précédente reste approximativement valable : on parle d'une "phase" de haute température, où $\phi_T \ll f_\pi$, et d'une "phase" de basse température, où $\phi_T \sim f_\pi$. La variation de χ_T avec la température est montrée sur la Fig. 60 pour différentes valeurs de la coupure Λ . Comme attendu, à mesure que la valeur de la température se rapproche de celle de la coupure, la présence de celle-ci se fait de plus en plus ressentir³. L'étude présentée au Chap. 2 concerne la valeur $T = 200$ MeV, où la coupure n'a que peu d'influence, le point de comparaison $T = 400$ MeV est à la limite de validité du modèle (voir la discussion au Chap. 2).

²Dans l'approximation grand N , la transition de phase chirale est du second ordre et la température critique est donnée par [34, 55] $T_c = \sqrt{(12/N)}f_\pi \simeq 160$ MeV pour $N = 4$.

³Notre modèle n'a de sens physique que pour $T \ll \Lambda$.

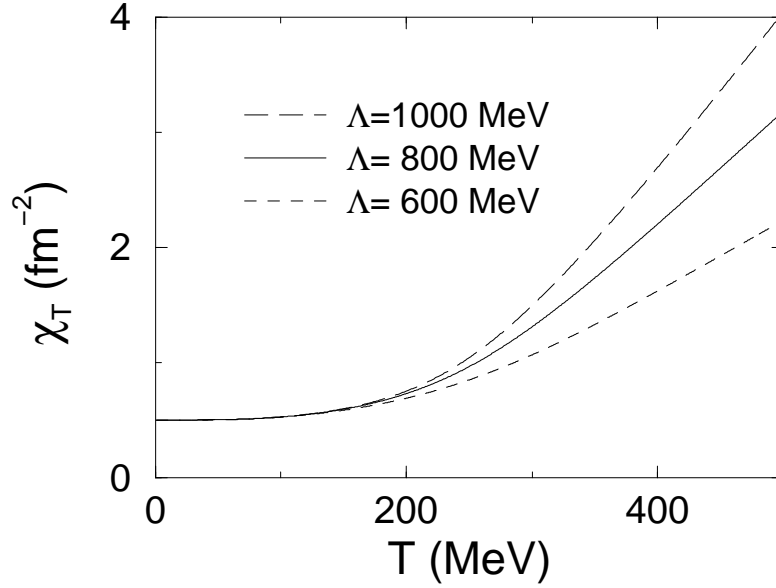


FIG. B.1: La masse effective au carré χ_T en fonction de T , pour différentes valeurs de la coupure ultra-violette Λ .

B.2 Equilibre thermique local

Considérons un tout autre système : un petit volume V_0 , sphérique, où le champ est à l'équilibre thermique local à la température T . Cette notion signifie que les fluctuations statistiques dans le volume V_0 sont les mêmes que si celui-ci était une sous-partie du système considéré dans la partie précédente (à la même température). Il est bien évident que ceci n'a de sens que si ce qui se passe à l'intérieur du volume V_0 ne dépend pas, ou peu, de ce qui se passe à l'extérieur, ce qui veut dire que la taille de notre système doit être de l'ordre de grandeur de la longueur de corrélation au moins. Dans ce qui suit, nous nous intéressons à la distribution de probabilité des valeurs possibles des moyennes spatiales du champ et de sa dérivée sur le volume V_0 . Ces quantités s'interprètent, pour un observateur vivant à l'intérieur de V_0 , comme les valeurs du paramètre d'ordre et de sa dérivée temporelle. Utilisant la définition de l'équilibre local, nous délimitons une petite boule V_0 dans le système en équilibre thermodynamique décrit plus haut, et calculons la distribution des fluctuations statistiques dans ce sous-volume. Pour éviter d'écrire inutilement la variable de temps, nous travaillons dans la représentation de Schrödinger.

On cherche donc la distribution de probabilité des résultats possibles $\bar{\phi}$ et $\bar{\dot{\phi}}$ de la mesure des observables associées aux opérateurs

$$\bar{\Phi} = \frac{1}{V_0} \int_{V_0} d^3x \Phi(\vec{x}), \quad (\text{B.14})$$

$$\bar{\dot{\Phi}} = \frac{1}{V_0} \int_{V_0} d^3x \dot{\Phi}(\vec{x}). \quad (\text{B.15})$$

Celle-ci est déterminée par la fonction caractéristique

$$Z(\mathbf{p}, \mathbf{q}) = \langle \exp i \{ \mathbf{p} \cdot \bar{\Phi} + \mathbf{q} \cdot \bar{\dot{\Phi}} \} \rangle_T. \quad (\text{B.16})$$

Le Hamiltonien étant quadratique, la distribution cherchée, qui est en fait l'exact analogue de la distribution de Wigner, bien connue en mécanique quantique, est gaussienne. Les

moments du logarithme de $Z(\mathbf{p}, \mathbf{q})$, ou cumulants, d'ordre supérieur à 2 sont nuls. Les valeurs moyennes, ou cumulants d'ordre 1, sont aisément obtenues à l'aide des Eq. (B.2), (B.3) et (B.13) :

$$\mathrm{E} [\bar{\phi}_a] = \langle \bar{\Phi}_a \rangle_T = \frac{H}{\chi_T} \delta_{a0}, \quad (\text{B.17})$$

$$\mathrm{E} [\dot{\phi}_a] = \langle \dot{\bar{\Phi}}_a \rangle_T = 0. \quad (\text{B.18})$$

Les variances et covariances (cumulants d'ordre 2) s'écrivent (cf. (B.4) et (B.5))

$$\mathrm{Var} [\bar{\phi}_a] = \frac{1}{V_0^2} \int_{V_0} d^3x d^3y \langle \delta\phi_a(\vec{x}) \delta\phi_a(\vec{y}) \rangle_T, \quad (\text{B.19})$$

$$\mathrm{Var} [\dot{\phi}_a] = \frac{1}{V_0^2} \int_{V_0} d^3x d^3y \langle \dot{\delta}\phi_a(\vec{x}) \dot{\delta}\phi_a(\vec{y}) \rangle_T, \quad (\text{B.20})$$

$$\mathrm{Cov} [\bar{\phi}_a, \dot{\phi}_a] = \frac{1}{2V_0^2} \int_{V_0} d^3x d^3y \langle \delta\phi_a(\vec{x}) \dot{\delta}\phi_a(\vec{y}) + \dot{\delta}\phi_a(\vec{y}) \delta\phi_a(\vec{x}) \rangle_T, \quad (\text{B.21})$$

les termes non-diagonaux dans les indices chiraux sont nuls. Le hamiltonien étant quadratique dans le champ $\delta\phi$ et sa dérivée $\dot{\delta}\phi$ et ne contenant pas de termes croisés du type $\delta\phi \dot{\delta}\phi$, il est clair que la fonction de corrélation apparaissant dans l'Eq. (B.21) est nulle. Calculons la variance de la moyenne spatiale du champ, Eq. (B.19). La fonction de corrélation apparaissant dans cette formule est

$$\langle \delta\phi_a(\vec{x}) \delta\phi_a(\vec{y}) \rangle_T = \int \frac{d^3k}{(2\pi)^3} \frac{2N_k(\chi_T) + 1}{2E_k(\chi_T)} e^{i\vec{k}\cdot(\vec{x}-\vec{y})}. \quad (\text{B.22})$$

Introduisons les coordonnées sphériques $\vec{x} = (x, \theta_x, \varphi_x)$ et $\vec{y} = (y, \theta_y, \varphi_y)$, où les angles azimutaux θ_x et θ_y sont repérés par rapport à la direction du vecteur \vec{k} . Les intégrations sur les orientations possibles des vecteurs \vec{k} , \vec{x} et \vec{y} sont triviales. Après les changements d'échelle $x \rightarrow x/R$ et $y \rightarrow y/R$, il vient ($k = |\vec{k}|$)

$$V_0^2 \sigma_1^2 = 4 R_0^4 \int_0^{+\infty} \frac{dk}{E_k} \coth\left(\frac{E_k}{2T}\right) \mathcal{F}(kR_0), \quad (\text{B.23})$$

avec

$$\mathcal{F}(q) = \int_0^1 dx \int_0^1 dy xy \sin(qx) \sin(qy) = \frac{(\sin q - q \cos q)^2}{q^4}. \quad (\text{B.24})$$

Ci-dessus on a dénoté σ_1^2 la variance cherchée (Eq. (B.19)). On obtient de la même façon la variance (B.20), que l'on dénote par σ_2^2 :

$$V_0^2 \sigma_2^2 = 4 R_0^4 \int_0^{+\infty} dk E_k \coth\left(\frac{E_k}{2T}\right) \mathcal{F}(kR_0). \quad (\text{B.25})$$

Réécrivons les formules (B.23) et (B.25) sous la forme générique ($\mathcal{F}(q) = \mathcal{F}(-q)$)

$$V_0^2 \sigma^2 = 2 R_0^3 \int_{-\infty}^{+\infty} dy g\left(\frac{y}{R_0}\right) \mathcal{F}(y), \quad (\text{B.26})$$

où $g(k)$ est une fonction de $E_k = \sqrt{k^2 + \chi_T}$. Dans la limite où $R_0\sqrt{\chi_T} \gg 1$, on obtient le premier terme du développement asymptotique de l'expression ci-dessus :

$$V_0^2 \sigma^2 \sim 2 R_0^3 g(0) \int_{-\infty}^{+\infty} dy \mathcal{F}(y). \quad (\text{B.27})$$

En utilisant

$$\int_{-\infty}^{+\infty} dy \mathcal{F}(y) = \frac{\pi}{3}, \quad (\text{B.28})$$

on obtient (cf. (2.51) et (2.52)) :

$$\sigma^2 \sim \frac{1}{2V_0} g(0), \quad (\text{B.29})$$

Cette formule est valable quand le rayon R_0 de la bulle est suffisamment grand devant la longueur de corrélation $\lambda_T = 1/\sqrt{\chi_T}$, la dépendance en $1/V_0$ traduisant le fait que les fluctuations à l'intérieur du volume V_0 ne dépendent pas de son environnement : diverses cellules de taille $R_0 \gg \lambda_T$ sont statistiquement indépendantes.

Dans le Chap. 2, nous sommes intéressés à des valeurs de R_0 aussi petites qu'il est permis physiquement, c'est à dire $R_0 \gtrsim \lambda_T$. A strictement parler, notre modèle est défini en présence d'une coupure ultraviolette Λ , et les intégrales (B.23) et (B.25) doivent être calculées avec cette coupure (notons que la coupure intervient aussi dans le calcul de χ_T). Cela n'influe que très peu sur la valeur de la dispersion σ_1 (Eq. (B.23)), tant que $\Lambda R_0 \gg 1$. En effet, la moyenne spatiale (B.14) supprime les contributions des modes de petite longueur d'onde, seuls les modes tels que $kR_0 \lesssim 1$ survivent. La Fig. B.2 montre la variation de σ_1 en fonction du rapport $R_0/\lambda_T = R_0\sqrt{\chi_T}$ pour $T = 200$ MeV et pour diverses valeurs de la coupure. La présence de celle-ci se fait plus ressentir dans le calcul de la dispersion σ_2 qui, à cause du facteur E_k au numérateur dans l'intégrand de (B.25), diverge logarithmiquement dans l'ultra-violet. Cependant, pour des valeurs physiques de la coupure ($\Lambda \sim 1$ GeV), cette dépendance logarithmique n'a que peu d'influence sur la valeur de σ_2 . La Fig. B.3 est l'analogue de la Fig. B.2, pour la dispersion σ_2 des fluctuations de la dérivée temporelle du paramètre d'ordre. Dans les deux cas, les courbes en pointillés sont obtenues à partir de la formule asymptotique (B.29). Les valeurs des dispersions σ_1 et σ_2 utilisées dans le calcul du Chap. 2 sont résumées dans le tableau B.1.

T (MeV)	χ_T (fm ⁻²)	R_0/λ_T	σ_1 (fm ⁻¹)	σ_2 (fm ⁻²)
200	0.73	1	0.21	0.40
200	0.73	2	0.11	0.14
400	2.2	1	0.37	1.07
400	2.2	2	0.19	0.42

TAB. B.1: Les différentes valeurs des dispersions utilisées dans le calcul présenté au Chap. 2 ($\Lambda = 800$ MeV).

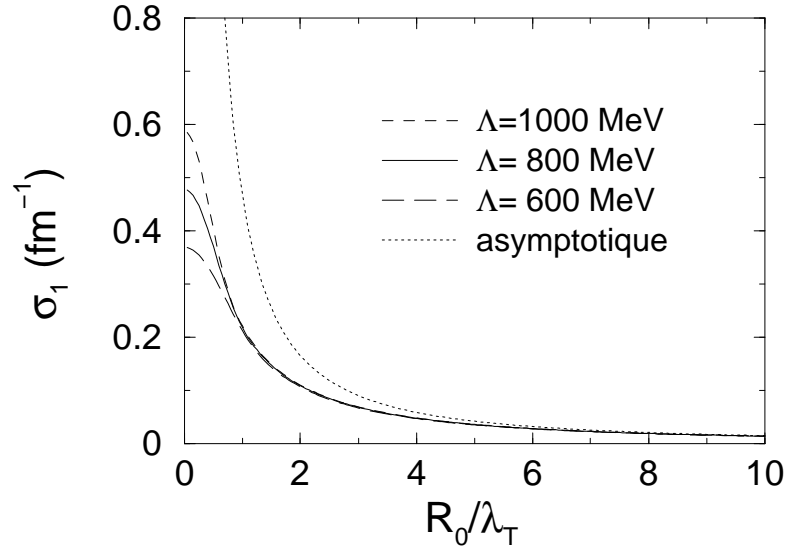


FIG. B.2: La dispersion σ_1 (en fm^{-1}) en fonction du rapport R_0/λ_T pour $T = 200$ MeV, et pour différentes valeurs de la coupure Λ . La courbe en pointillé représente la formule asymptotique (B.29).

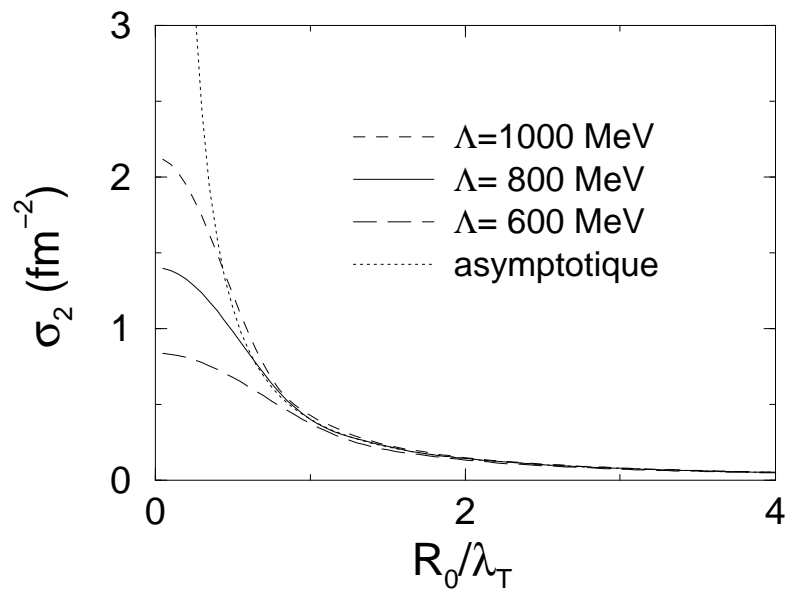


FIG. B.3: L'analogie de la Fig. B.2, pour la dispersion σ_2 .

Annexe C

Calcul d'intégrales

Dans cet annexe, nous calculons les intégrales utilisées pour renormaliser l'équation de gap au Chap. 2 (cf. Réf. [34]).

Définissons les fonctions

$$I_n(\Lambda, \mu) = \int_0^\Lambda \frac{k^2 dk}{(k^2 + \mu^2)^{n/2}}. \quad (\text{C.1})$$

Il est facile de voir que

$$\frac{1}{\mu} \frac{\partial I_n(\Lambda, \mu)}{\partial \mu} = -n I_{n+2}(\Lambda, \mu). \quad (\text{C.2})$$

Commençons par le calcul de I_1 , nécessaire dans la renormalisation de la masse. En écrivant

$$\frac{k^2}{\sqrt{k^2 + \mu^2}} = k \frac{d}{dk} \sqrt{k^2 + \mu^2},$$

et en intégrant par parties, on obtient

$$I_1(\Lambda, \mu) = \Lambda \sqrt{\Lambda^2 + \mu^2} - \int_0^\Lambda dk \sqrt{k^2 + \mu^2}.$$

En écrivant

$$\sqrt{k^2 + \mu^2} = \frac{k^2 + \mu^2}{\sqrt{k^2 + \mu^2}},$$

on obtient aisément

$$2I_1(\Lambda, \mu) = \Lambda^2 \sqrt{1 + x^2} - \mu^2 \sinh^{-1} \left(\frac{1}{x} \right),$$

où $x = \mu/\Lambda$. En écrivant

$$\ln(\sinh a + \cosh a) = \ln e^a = a = \sinh^{-1}(\sinh a),$$

d'où l'on tire

$$\sinh^{-1} a = \ln(a + \sqrt{1 + a^2}),$$

on réécrit l'expression précédente sous la forme

$$I_1(\Lambda, \mu) = \frac{\Lambda^2}{2} \sqrt{1 + x^2} - \frac{\mu^2}{2} \ln \left(\frac{1 + \sqrt{1 + x^2}}{x} \right). \quad (\text{C.3})$$

Dans la limite où $x \ll 1$, on a

$$I_1(\Lambda, \mu) \simeq \frac{1}{2} \left(\Lambda^2 - \mu^2 \ln \frac{\Lambda}{\mu} \right) + \dots, \quad (\text{C.4})$$

où ... désigne la partie non-divergente dans la limite $\Lambda \rightarrow +\infty$. Les résultats précédents ont été obtenus en supposant $\mu^2 > 0$. Dans le Chap. 2 on a aussi besoin, pour isoler les divergences à chaque instant, du comportement asymptotique de I_1 dans la limite $x \ll 1$ pour $\mu^2 = \chi < 0$. Dans ce cas, on écrit $\mu = i|\mu|$ et, en séparant ($\Lambda > \mu$)

$$\int_0^\Lambda \equiv \int_0^{|\mu|} + \int_{|\mu|}^\Lambda,$$

il est facile de vérifier que la formule (C.3) est toujours valable avec la prescription $\ln z = \ln |z| + i\pi/2$. Le comportement (C.4) est toujours valable en remplaçant $\mu \rightarrow |\mu|$.

Pour la renormalisation de la constante de couplage, nous avons besoin de l'intégrale I_3 . En utilisant (C.2) on obtient immédiatement

$$I_3(\Lambda, \mu) = \frac{-1}{\sqrt{1+x^2}} + \ln \left(\frac{1 + \sqrt{1+x^2}}{x} \right). \quad (\text{C.5})$$

Dans la limite où $x \ll 1$

$$I_3(\Lambda, \mu) \simeq \ln \frac{\Lambda}{\mu} + \dots. \quad (\text{C.6})$$

Annexe D

Scénario du trempage : l'état initial

Dans cette annexe, nous détaillons la discrétisation de la transformée de Fourier avec les conditions au bords de Neumann, puis nous calculons la distribution de probabilité des valeurs des composantes de Fourier discrètes dans l'état initial du modèle de Rajagopal et Wilczek [16] (cf. Chap. 3).

Conditions de Neumann

Considérons, pour simplifier les notations, le cas à une dimension. Nous donnerons plus loin la généralisation (triviale) à trois dimensions. Soit $H(x)$ une fonction de la variable x sur le segment $[0, L]$, avec des conditions aux bords de Neumann : $H'(x=0) = H'(x=L) = 0$, où le prime désigne la dérivation par rapport à x . Il est clair que, de la décomposition de cette fonction en onde plane $\exp(ikx)$, ne subsistent que les $\cos(kx)$ qui, contrairement aux $\sin(kx)$, sont compatibles avec ces conditions aux bords.

Pour implémenter ces conditions aux bords et la décomposition de Fourier correspondante, définissons la fonction $G(x)$, vivant sur l'axe réel $-\infty < x < +\infty$, périodique de période $2L$, paire, et telle que $G(x) = H(x)$ sur le segment $[0, L]$. Les composantes de Fourier de $G(x)$ sont

$$g_n = \frac{1}{\sqrt{2L}} \int_{-L}^{+L} dx G(x) \exp\left(2i\pi n \frac{x}{2L}\right) = \sqrt{\frac{2}{L}} \int_0^{+L} dx H(x) \cos(kx) \equiv h(k),$$

où $k = n\pi/L$. Les fonctions *réelles* $h(k)$ sont les composantes de Fourier de $H(x)$, elles sont paires ($h(-k) = h(k)$).

Discrétisation

La discrétisation du problème ci-dessus peut être faite de plusieurs façons, la plus simple consistant à échantillonner les valeurs de nos fonctions G et H à intervalles réguliers $x = ja$ où a est le pas du réseau de taille $L = Na$ (N est le nombre de sites). Cependant, nous aimerions répéter la construction précédente pour les composantes de Fourier de H . Pour cela, il est judicieux d'échantillonner les valeurs des fonctions aux points $x = a/2 + ja$: $H_j = H(x = (j + 1/2)a)$. L'intervalle $-L \leq x \leq +L$ correspond alors à $-N \leq j \leq N - 1$, la périodicité de la fonction H s'écrit $G_{N+j} = G_{j-N}$, tandis que la propriété de parité prend la forme $G_j = G_{-(j+1)}$. On a, pour les composantes de Fourier,

$$g_n = \sqrt{\frac{a}{2N}} \sum_{j=-N}^{N-1} G_j \exp\left[\frac{2i\pi}{2N} n(j + \frac{1}{2})\right] = \sqrt{\frac{2a}{N}} \sum_{j=0}^{N-1} H_j \cos\left(\frac{\pi n(j + 1/2)}{N}\right) = h_n.$$

Les composantes h_n satisfont à la relation “d’anti-périodicité” $h_{n-N} = -h_{n+N}$, ce qui limite l’espace de Fourier (ou espace réciproque) utile à la première zone de Brillouin¹ : $-(N-1) \leq n \leq N-1$. La relation de parité $h_{-n} = h_n$ ramène le nombre de degrés de liberté indépendants à N : $0 \leq n \leq N-1$, comme il se doit (dans l’espace direct, on a N nombres réels ϕ_j indépendants). La dernière égalité ci-dessus peut être réécrite sous la forme matricielle (dans la suite nous prendrons $a = 1$)

$$h_n = \sum_{j=0}^{N-1} \mathcal{W}_{nj} H_j \Leftrightarrow h = \mathcal{W} \cdot H, \quad (\text{D.1})$$

avec

$$\mathcal{W}_{nj} = \sqrt{\frac{2}{N}} \cos\left(\frac{\pi n(j+1/2)}{N}\right). \quad (\text{D.2})$$

Certaines propriétés de la transformation (D.1) nous seront utiles pour le calcul de la distribution des valeurs f_n dans un modèle gaussien.

Transformation inverse

On définit la matrice \mathcal{W}^\dagger , transposée de la matrice \mathcal{W} par la relation habituelle

$$\mathcal{W}_{jn}^\dagger = \mathcal{W}_{nj}.$$

Calculons les éléments de la matrice $\mathcal{W}\mathcal{W}^\dagger$. Les éléments non-diagonaux sont nuls :

$$(\mathcal{W}\mathcal{W}^\dagger)_{nm} = \frac{2}{N} \sum_{j=0}^{N-1} \mathcal{W}_{nj} \mathcal{W}_{mj} = \frac{1}{2N} (\mathcal{A}_{n+m} + \mathcal{A}_{-(n+m)} + \mathcal{A}_{n-m} + \mathcal{A}_{-(n+m)}) = 0,$$

où

$$\mathcal{A}_p = \sum_{j=0}^{N-1} \exp\left(i \frac{\pi p(j+1/2)}{N}\right) = \frac{1}{2i} \frac{(-1)^p - 1}{\sin\left(\frac{\pi p}{2N}\right)} = \mathcal{A}_{-p}$$

($0 < p = n \pm m < 2N \Rightarrow \sin(\pi p/2N) \neq 0$). Dans le calcul des éléments diagonaux, il faut distinguer les cas $n = m = 0$ et $n = m \neq 0$. Ceci est relié au fait que la relation de symétrie $f_n = f_{-n}$ est triviale pour $n = 0$. Au final on obtient

$$(\mathcal{W}\mathcal{W}^\dagger)_{nm} = \delta_{nm} (1 + \delta_{n0}). \quad (\text{D.3})$$

En utilisant les identités $2 \cos(a) \cos(b) = \cos(a+b) + \cos(a-b)$, et

$$\sum_{n=0}^{N-1} \cos\left(\frac{\pi n p}{N}\right) = \frac{1}{2} (1 - (-1)^p),$$

on obtient

$$(\mathcal{W}^\dagger \mathcal{W})_{jk} = \delta_{jk} + \frac{1}{N}. \quad (\text{D.4})$$

¹La première zone de Brillouin s’étend de $-N$ à N , autrement dit : $-\pi/a \leq k \leq \pi/a$. Dans le cas présent, on a $h_N = 0$.

A partir de cette relation on déduit

$$(h \cdot \mathcal{W})_j = \sum_{n=0}^{N-1} h_n \mathcal{W}_{nj} = (\mathcal{W}^\dagger \cdot h)_j = \sum_{k=0}^{N-1} (\mathcal{W}^\dagger \mathcal{W})_{jk} H_k = H_j + \frac{1}{N} \sum_{j=0}^{N-1} H_j.$$

En écrivant la somme dans le membre de gauche sous la forme (cf. Eqs. (D.1)-(D.2))

$$\frac{1}{N} \sum_{j=0}^{N-1} H_j = \frac{1}{2} h_0 \mathcal{W}_{0j},$$

on obtient la formule d'inversion [64]

$$H_j = (\mathcal{W}^{-1} \cdot h)_j = \left(\sum_{n=0}^{N-1} h_n \mathcal{W}_{nj} \right)', \quad (\text{D.5})$$

où le prime signifie que le terme $n = 0$ ne contribue à la somme que par la moitié de sa valeur. En utilisant l'une des relations précédentes, il est facile de voir que

$$H \cdot H = \sum_{j=0}^{N-1} H_j^2 = \left(\sum_{n=0}^{N-1} h_n^2 \right)'. \quad (\text{D.6})$$

Enfin, on a $(\text{Det}[\mathcal{W}^\dagger] = \text{Det}[\mathcal{W}])$

$$\text{Det}[\mathcal{W} \mathcal{W}^\dagger] = (\text{Det}[\mathcal{W}])^2 = 2. \quad (\text{D.7})$$

Distribution gaussienne

Dans le modèle du Chap. 3, l'état initial est caractérisé par un ensemble statistique gaussien : les valeurs de chacune des composantes chirales du champ en chaque nœud du réseau direct sont des nombres aléatoires gaussiens indépendants. Il en est de même pour les valeurs des composantes de la dérivée temporelle du champ. Imaginons que la fonction $H(x)$ représente une des composantes chirales du champ ou de sa dérivée. Les H_j , $j = 0, \dots, N - 1$ sont donc des nombres gaussiens indépendants de variance $\langle H^2 \rangle$. Qu'en est-il des composantes de Fourier h_n ?

La relation (D.3) implique que les composantes h_n sont des variables aléatoires gaussiennes indépendantes. En effet, on a $(\langle H_i H_j \rangle = \delta_{ij} \langle H^2 \rangle)$

$$\langle h_n h_m \rangle = \langle H^2 \rangle (\mathcal{W} \mathcal{W}^\dagger)_{nm} \propto \delta_{nm}, \quad (\text{D.8})$$

ainsi que

$$\begin{aligned} \langle h_n h_m h_p h_q \rangle &= \sum_{ijkl} \mathcal{W}_{ni} \mathcal{W}_{mj} \mathcal{W}_{pk} \mathcal{W}_{ql} \langle H_i H_j H_k H_l \rangle \\ &= \langle H^2 \rangle^2 \left[(\mathcal{W} \mathcal{W}^\dagger)_{nm} (\mathcal{W} \mathcal{W}^\dagger)_{pq} + (\mathcal{W} \mathcal{W}^\dagger)_{np} (\mathcal{W} \mathcal{W}^\dagger)_{mq} + (\mathcal{W} \mathcal{W}^\dagger)_{nq} (\mathcal{W} \mathcal{W}^\dagger)_{mp} \right] \\ &= \langle h_n h_m \rangle \langle h_p h_q \rangle + \langle h_n h_p \rangle \langle h_m h_q \rangle + \langle h_n h_q \rangle \langle h_m h_p \rangle, \end{aligned}$$

et ainsi de suite.

De façon plus précise, et plus concise, on écrit la probabilité

$$P_H(H) \prod_{j=0}^{N-1} dH_j = P_h(h) \prod_{n=0}^{N-1} dh_n,$$

d'où l'on tire la densité de probabilité (cf. Eq. (D.7))

$$P_h(h) = \frac{1}{\sqrt{2}} P_H(\mathcal{W}^{-1} \cdot h). \quad (\text{D.9})$$

Le facteur $1/\sqrt{2}$ est dû au fait que le mode zéro a une variance égale au double de celle des autres modes. Comme on l'a remarqué plus haut, cela vient de ce que la relation de parité $h_n = h_{-n}$ est trivialement satisfaite pour le mode zéro : ce degré de liberté est en quelque sorte moins contraint et fluctue plus. Dans le cas qui nous intéresse, on a

$$P_H(H) = \frac{1}{(2\pi\langle H^2 \rangle)^{N/2}} \exp\left(-\frac{H \cdot H}{2\langle H^2 \rangle}\right),$$

et donc

$$P_h(h) = \prod_{n=0}^{N-1} \frac{1}{\sqrt{2\pi\sigma_n^2}} \exp\left(-\frac{h_n^2}{2\sigma_n^2}\right),$$

avec $\sigma_n^2 = \langle H^2 \rangle (1 + \delta_{n0})$.

Le cas tri-dimensionnel

La généralisation des considérations précédentes à trois dimensions est immédiate. La fonction $H(\vec{x})$, sur le cube $0 \leq x, y, z \leq L = Na$ de volume $V = L^3$, est échantillonnée aux points $\vec{x} = a(1/2 + i, 1/2 + j, 1/2 + k)$, où sa valeur est notée $H_{\vec{j}} \equiv H_{i,j,k}$. On implémente les conditions aux bords de Neumann en introduisant une fonction $G(\vec{x})$ ayant les mêmes propriétés de périodicité et parité que dans le cas uni-dimensionnel, par rapport à chacune des trois variables x, y, z . Considérant le cas d'une des composantes chirales du champ, les composantes de Fourier s'écrivent ($a = 1$)

$$h_{\vec{n}} \equiv h_{l,m,n} = \sum_{i=0}^{N-1} \sum_{j=0}^{N-1} \sum_{k=0}^{N-1} \mathcal{W}_{li} \mathcal{W}_{mj} \mathcal{W}_{nk} H_{i,j,k}, \quad (\text{D.10})$$

où \mathcal{W} est donnée par (D.2). Comme précédemment, les degrés de libertés indépendants, au nombre de N^3 sont : $0 \leq l, m, n \leq N - 1$. Les relations de parité sont

$$h_{l,m,n} = h_{l,m,-n} = h_{l,-m,n} = h_{-l,m,n} = h_{-l,-m,n} = h_{-l,m,-n} = h_{l,-m,-n} = h_{-l,-m,-n}.$$

On voit que la quantité d'information non-triviale contenue dans ces relations varie selon qu'aucun, un, deux ou trois des indices l, m, n sont nuls. Comme dans le cas uni-dimensionnel, on s'attend à ce que cela se répercute sur les largeurs des gaussiennes correspondantes. En effet, on voit que (cf. Eq. (D.8))

$$\begin{aligned} \langle h_{\vec{n}} h_{\vec{n}'} \rangle &= \langle H^2 \rangle (\mathcal{W} \mathcal{W}^\dagger)_{ll'} (\mathcal{W} \mathcal{W}^\dagger)_{mm'} (\mathcal{W} \mathcal{W}^\dagger)_{nn'} \\ &= \langle H^2 \rangle \delta_{\vec{n}\vec{n}'} (1 + \delta_{l0}) (1 + \delta_{m0}) (1 + \delta_{n0}). \end{aligned}$$

On vérifie aisément² que la généralisation de l'Eq. (D.6) est

$$H \cdot H = \sum_{i,j,k=0}^{N-1} H_{i,j,k}^2 = \left(\sum_{l,m,n=0}^{N-1} h_{l,m,n}^2 \right)' . \quad (\text{D.11})$$

où le prime signifie que, dans la somme, les termes dont un des trois indices l, m, n est nul sont comptés avec un facteur $1/2$ supplémentaire, ceux dont deux des trois indices sont nuls avec un facteur $1/4$ et celui dont les trois indices sont nuls, avec un facteur $1/8$. Il est alors facile de voir que la distribution des $h_{\vec{n}}$ est, dans le cas gaussien,

$$P_h(h) = \prod_{l,m,n=0}^{N-1} \frac{1}{\sqrt{2\pi\sigma_{\vec{n}}^2}} \exp\left(-\frac{h_{\vec{n}}^2}{2\sigma_{\vec{n}}^2}\right) ,$$

avec $\sigma_{\vec{n}}^2 = \sigma_{l,m,n}^2 = \langle H^2 \rangle (1 + \delta_{l0})(1 + \delta_{m0})(1 + \delta_{n0})$.

Calcul numérique des coefficient $h_{\vec{n}}$

Dans le Chap. 3, nous devons calculer les coefficients de Fourier $\varphi_{\vec{n}}$ et $\dot{\varphi}_{\vec{n}}$ (Eq. (D.10)) des composantes d'isospin du champ ϕ et de sa dérivée temporelle $\dot{\phi}$, à différent instants. En pratique, nous nous limitons aux composantes $(n, 0, 0)$, $(0, n, 0)$ et $(0, 0, n)$, qui se calculent comme des transformées de Fourier uni-dimensionnelles (cf. Eq. (D.1)). Par exemple

$$\varphi_n \equiv \varphi_{n,0,0} = \frac{2}{N} \sum_{i=0}^{N-1} \mathcal{W}_{ni} \tilde{\phi}_i ,$$

où

$$\tilde{\phi}_i = \sum_{j,k=0}^{N-1} \phi_{i,j,k} .$$

Le calcul de la transformée de Fourier uni-dimensionnelle ci-dessus se fait aisément à l'aide d'un programme de type "Fast Fourier Transform" [64].

²Faisons le calcul dans le cas bi-dimensionnel : on écrit

$$\begin{aligned} \sum_{m,n=0}^{N-1} h_{m,n}^2 &= \sum_{i,j=0}^{N-1} \sum_{k,l=0}^{N-1} (\mathcal{W}^\dagger \mathcal{W})_{ik} (\mathcal{W}^\dagger \mathcal{W})_{jl} H_{i,j} H_{k,l} \\ &= \sum_{i,j} H_{i,j}^2 + \frac{1}{N} \sum_{i,j} \sum_k H_{i,j} H_{k,j} + \frac{1}{N} \sum_{i,j} \sum_l H_{i,j} H_{i,l} + \frac{1}{N^2} \sum_{i,j} \sum_{k,l} H_{i,j} H_{k,l} . \end{aligned}$$

On a, de même, $\sum_{m=0}^{N-1} h_{m,0}^2 = \frac{2}{N} \sum_{i,j} \sum_l H_{i,j} H_{i,l} + \frac{2}{N^2} \sum_{i,j} \sum_{k,l} H_{i,j} H_{k,l}$, et $\frac{1}{N^2} \sum_{i,j} \sum_{k,l} H_{i,j} H_{k,l} = \frac{1}{4} h_{0,0}^2$, d'où l'on tire

$$\frac{1}{N} \sum_{i,j} \sum_l H_{i,j} H_{i,l} = \frac{1}{2} \sum_{m=0}^{N-1} h_{m,0}^2 - \frac{1}{4} h_{0,0}^2 = \frac{1}{2} \sum_{m=1}^{N-1} h_{m,0}^2 + \frac{1}{4} h_{0,0}^2 .$$

De la même façon on obtient $\frac{1}{N} \sum_{i,j} \sum_k H_{i,j} H_{k,j} = \frac{1}{2} \sum_{n=1}^{N-1} h_{0,n}^2 + \frac{1}{4} h_{0,0}^2$. En combinant le tout

$$\sum_{i,j} H_{i,j}^2 = \sum_{m,n=1}^{N-1} h_{m,n}^2 + \frac{1}{2} \sum_{m=1}^{N-1} h_{m,0}^2 + \frac{1}{2} \sum_{n=1}^{N-1} h_{0,n}^2 + \frac{1}{4} h_{0,0}^2$$

Annexe E

Modèle gaussien

Il est instructif de calculer la distribution de la fraction f de pions neutres dans le cas où les $\varphi_{\vec{k}} \equiv \varphi(\vec{k}, t_f)$ et $\dot{\varphi}_{\vec{k}} \equiv \dot{\varphi}(\vec{k}, t_f)$ sont des variables aléatoires gaussiennes, indépendantes, de moyennes nulles et de dispersions respectives σ_1 et σ_2 (celles-ci sont les mêmes pour toutes les direction d'isospin $j = 1, 2, 3$ et pour tous les modes \vec{k}). On écrit alors la probabilité ($c \equiv j, \vec{k}$)

$$\text{Proba}(\{\varphi_{\vec{k}}\}, \{\dot{\varphi}_{\vec{k}}\}) = \prod_c P_\varphi(\varphi_c) P_{\dot{\varphi}}(\dot{\varphi}_c) d\varphi_c d\dot{\varphi}_c, \quad (\text{E.1})$$

$$\begin{aligned} P_\varphi(x) &= \frac{1}{\sqrt{2\pi\sigma_1^2}} \exp\left(-\frac{x^2}{2\sigma_1^2}\right), \\ P_{\dot{\varphi}}(x) &= \frac{1}{\sqrt{2\pi\sigma_2^2}} \exp\left(-\frac{x^2}{2\sigma_2^2}\right), \end{aligned} \quad (\text{E.2})$$

Les modes étant indépendants les uns des autres, nous focalisons notre attention sur l'un d'entre eux et omettons l'indice \vec{k} correspondant. D'après l'Eq. (3.5) du Chap. 2, on a, pour chaque composante d'isospin,

$$\begin{aligned} \varphi_j &= \sqrt{\frac{2}{\omega}} \text{Re } \alpha_j = A_j \cos \gamma_j, \\ \dot{\varphi}_j &= \sqrt{2\omega} \text{Im } \alpha_j = \omega A_j \sin \gamma_j, \end{aligned} \quad (\text{E.3})$$

où γ_j est défini par la relation $\alpha_j = \sqrt{\bar{n}_j} e^{i\gamma_j}$ et $A_j = \sqrt{2\bar{n}_j/\omega}$. Les différentes directions d'isospin étant indépendantes, la distribution de probabilité pour les amplitudes A_j et les phases γ_j est le produit des distributions individuelles $P_{A,\gamma}(A_j, \gamma_j)$, où

$$P_{A,\gamma}(A, \gamma) = \omega A P_\varphi(A \cos \gamma) P_{\dot{\varphi}}(\omega A \sin \gamma). \quad (\text{E.4})$$

On en déduit la distribution de probabilité pour les valeurs de l'amplitude dans une direction j donnée :

$$\begin{aligned} P_A(A) &= \int_0^{2\pi} d\gamma P_{A,\gamma}(A, \gamma) \\ &= \frac{\omega}{2\pi\sigma_1\sigma_2} A e^{-A^2\Delta_+} \int_0^{2\pi} d\gamma e^{-A^2\Delta_- \cos(2\gamma)} \\ &= \frac{\omega}{\sigma_1\sigma_2} A e^{-A^2\Delta_+} I_0(A^2\Delta_-) \end{aligned} \quad (\text{E.5})$$

où $I_\nu(x)$ est la fonction de Bessel modifiée de première espèce, et

$$\Delta_{\pm} = \frac{1}{4} \left| \frac{1}{\sigma_1^2} \pm \frac{\omega^2}{\sigma_2^2} \right|. \quad (\text{E.6})$$

Calcul de la distribution de la fraction de pions neutres

La distribution de probabilité de la fraction neutre $f = A_3^2/(A_1^2 + A_2^2 + A_3^2)$ est donnée par

$$P_f(f) = \int_0^{+\infty} dx dy dz P_A(x) P_A(y) P_A(z) \delta \left(f - \frac{z^2}{x^2 + y^2 + z^2} \right) \quad (\text{E.7})$$

En introduisant les coordonnées sphériques (r, θ, ϕ) , où $0 \leq r < +\infty$, $0 \leq \theta \leq \pi/2$, et $0 \leq \phi \leq \pi/2$, et en posant $u = \cos \theta$, on peut intégrer la fonction delta ($\delta(f - u^2) \equiv \delta(u - \sqrt{f})/2\sqrt{f}$ pour $0 \leq u \leq 1$). On obtient

$$P_f(f) = \frac{1}{2} \left(\frac{\omega}{\sigma_1 \sigma_2} \right)^3 (1-f) \int_0^{+\infty} dr r^5 I_0(r^2 f \Delta_-) e^{-r^2 \Delta_+} \Phi(r^2(1-f)\Delta_-), \quad (\text{E.8})$$

avec

$$\begin{aligned} \Phi(z) &= \int_0^{\pi/2} d\phi \sin \phi \cos \phi I_0(z \cos^2 \phi) I_0(z \sin^2 \phi) \\ &= \frac{1}{2z} \int_0^z dx I_0(z-x) I_0(x). \end{aligned}$$

Cette dernière intégrale est un produit de convolution au sens de la transformée de Laplace. En utilisant le théorème de convolution¹, et la transformée de Laplace de la fonction de Bessel I_0

$$\mathcal{L}\{I_0(t)\}(s) = \int_0^{+\infty} dt e^{-st} I_0(t) = \frac{1}{\sqrt{s^2 - 1}}, \quad s > 1, \quad (\text{E.9})$$

on obtient

$$\Phi(z) = \frac{1}{2z} \mathcal{L}^{-1} \left\{ \frac{1}{s^2 - 1} \right\} (z) = \frac{\sinh z}{2z}.$$

On écrit alors la distribution de probabilité cherchée sous la forme

$$P_f(f) = F_1(\Delta_+, f\Delta_-, (1-f)\Delta_-), \quad (\text{E.10})$$

où l'on a défini les fonctions ($x = r^2$)

$$F_p(a, b, c) = \int_0^{+\infty} dx x^p e^{-ax} I_0(bx) \sinh(cx).$$

qui satisfont de manière évidente à la relation de récurrence

$$F_p(a, b, c) = -\frac{\partial}{\partial a} F_{p-1}(a, b, c).$$

¹La transformée de Laplace du produit de convolution de deux fonctions F et G est égal au produit des transformées de Laplace de ces deux fonctions :

$$\mathcal{L} \left\{ \int_0^t dz F(t-z) G(z) \right\} (s) = \mathcal{L}\{F(t)\}(s) \mathcal{L}\{G(t)\}(s),$$

Le calcul de $F_0(a, b, c)$ est aisé : en explicitant la fonction $\sinh(x)$ sous l'intégrale, on voit que

$$F_0(a, b, c) = \frac{1}{2} \mathcal{L}\{I_0(bx)\}(a - c) - \frac{1}{2} \mathcal{L}\{I_0(bx)\}(a + c),$$

d'où on déduit, en utilisant (E.9)

$$F_0(a, b, c) = \frac{1}{2} \left(\frac{1}{\sqrt{(a - c)^2 - b^2}} - \frac{1}{\sqrt{(a + c)^2 - b^2}} \right), \quad a \pm c > b. \quad (\text{E.11})$$

Il vient

$$F_1(a, b, c) = \frac{1}{2} \left(\frac{a - c}{[(a - c)^2 - b^2]^{3/2}} - \frac{a + c}{[(a + c)^2 - b^2]^{3/2}} \right), \quad a \pm c > b, \quad (\text{E.12})$$

Finalement (cf. Eq. (E.10), notez que pour $a = \Delta_+$, $b = f\Delta_-$ et $c = (1 - f)\Delta_-$ on a bien $a \pm c > b$),

$$P_f(f) = \frac{1}{2} (F_\Omega(f) + F_{-\Omega}(f)) \quad (\text{E.13})$$

avec

$$F_\Omega(f) = (\Omega - (1 - f)) \left(\frac{\Omega + 1}{\Omega - (1 - 2f)} \right)^{3/2} \quad (\text{E.14})$$

et

$$\Omega = \frac{\Delta_+}{\Delta_-} = \left| \frac{\sigma_2^2 + \omega^2 \sigma_1^2}{\sigma_2^2 - \omega^2 \sigma_1^2} \right|. \quad (\text{E.15})$$

Calcul de la distribution du nombre total de pions

De la même façon, on calcule la distribution du nombre total de pions dans le mode \vec{k} : $\bar{n} = \omega A^2/2$, où $A^2 = \sum_{j=1}^3 A_j^2$

$$P_n(\bar{n}) = \frac{2}{\omega} P_{A^2} \left(\frac{2}{\omega} \bar{n} \right) \quad (\text{E.16})$$

avec

$$P_{A^2}(A^2) = \int_0^{+\infty} dx dy dz P_A(x) P_A(y) P_A(z) \delta(A^2 - x^2 + y^2 + z^2) \quad (\text{E.17})$$

Comme précédemment, on intègre la fonction delta en passant en coordonnées sphériques. En utilisant (E.5) il vient ($u = \cos \theta = x^2$)

$$P_{A^2}(A^2) = \frac{1}{8\Delta_-} \left(\frac{\omega}{\sigma_1 \sigma_2} \right)^3 A^2 e^{-A^2 \Delta_+} \Psi(A^2 \Delta_-), \quad (\text{E.18})$$

où

$$\begin{aligned} \Psi(z) &= \int_0^1 dx I_0(zx) \sinh(z(1-x)) \\ &= \frac{1}{z} \int_0^z dy I_0(y) \sinh(z-y). \end{aligned}$$

En utilisant le théorème de convolution de la transformée de Laplace, ainsi que les transformées de Laplace de I_0 (Eq. (E.9)) et

$$\mathcal{L}\{\sinh t\}(s) = \frac{1}{s^2 - 1},$$

on obtient

$$\Psi(z) = \frac{1}{z} \mathcal{L}^{-1} \left\{ \frac{1}{(s^2 - 1)^{3/2}} \right\} (z) = I_1(z).$$

Finalement, la distribution du nombre total de pions dans le mode \vec{k} est donnée par l'Eq. (E.16), avec

$$P_{A^2}(A^2) = \frac{1}{8\Delta_-} \left(\frac{\omega}{\sigma_1\sigma_2} \right)^3 A^2 e^{-A^2\Delta_+} I_1(A^2\Delta_-). \quad (\text{E.19})$$

Cas particuliers

Il est instructif d'étudier la formule (E.13) pour quelques exemples particuliers de la classe d'ensemble statistiques gaussiens (E.1)-(E.2), et en particulier les deux cas limites $\Omega \rightarrow 1$ et $\Omega \rightarrow +\infty$.

Le cas $\Omega = 1$, ou encore $\Delta_+ = \Delta_-$, correspond aux deux situations $\sigma_1 = 0$ ou bien $\sigma_2 = 0$. Cela signifie qu'un des deux vecteurs, φ ou $\dot{\varphi}$, est fixé, et donc nul. Le vecteur α est alors proportionnel à un vecteur orienté aléatoirement dans l'espace d'isospin et on doit retrouver la loi en $1/\sqrt{f}$ pour la distribution de la fraction neutre f . En effet, considérons par exemple la limite $\sigma_2 \rightarrow 0$, c'est à dire $\dot{\varphi} = \mathbf{0}$. Alors $\alpha \propto \varphi$ et la distribution de la fraction neutre tend vers² ($\Omega \rightarrow 1$)

$$P_f(f) = \frac{1}{2\sqrt{f}}. \quad (\text{E.20})$$

Un deuxième cas intéressant est la sous-classe d'ensembles tels que $\sigma_2 = \omega\sigma_1$ ($\Omega \rightarrow +\infty$). En termes de la distribution de probabilité $P_\alpha(\alpha_j)$ pour les nombres complexes α_j (cf. Eq. (3.5) du Chap. 3)

$$P_\alpha(\alpha) d^2\alpha = P_{A,\gamma}(A, \gamma) dA d\gamma,$$

on a, d'après les Eqs. (E.3)-(E.4) (voir aussi (E.5))

$$P_\alpha(\alpha) = \frac{1}{\pi\sigma^2} e^{-|\alpha|^2/\sigma^2}, \quad (\text{E.21})$$

où

$$\sigma^2 = \sigma_1\sigma_2 = \langle \bar{n} \rangle = \int d^2\alpha P_\alpha(\alpha) |\alpha|^2$$

²Dans cette limite, $\Delta_+ \sim \Delta_- \sim \omega^2/4\sigma_2^2 \rightarrow +\infty$, mais $\Delta_+ - \Delta_- = 1/2\sigma_1^2$. La distribution (E.5) tend, comme il se doit, vers la distribution (E.2) :

$$P_A(A) \rightarrow \frac{2}{\sqrt{2\pi\sigma_1^2}} \exp\left(-\frac{A^2}{2\sigma_1^2}\right) = 2P_\varphi(A),$$

où l'on a utilisé le développement asymptotique $I_\nu(z) \sim \frac{e^z}{\sqrt{2\pi z}}$. Ci-dessus, le facteur 2 supplémentaire vient du fait que $A = |\varphi|$.

($|\alpha|^2 = \bar{n}$ est le nombre moyen de quanta dans l'état cohérent $|\alpha\rangle$ et $\langle \bar{n} \rangle$ est la moyenne statistique de ce nombre dans l'ensemble (E.21)). La fonction $P_\alpha(\alpha)$ est appelée la représentation de Glauber [2] de la matrice densité³. Pour la classe d'ensembles (E.21) la distribution de la fraction neutre f est

$$P_f(f) = 2(1 - f). \quad (\text{E.22})$$

Cette distribution ne dépend pas de la largeur σ . Un exemple particulièrement intéressant de la distribution (E.21) est celui d'un ensemble de quanta de fréquences ω en équilibre thermique [2]⁴.

Enfin, un troisième cas particulier intéressant est celui de l'ensemble initial du le modèle de Rajagopal et Wilzcek [16], utilisé au Chap. 3. Les variables $\phi_j(\vec{x})$ et $\dot{\phi}_j(\vec{x})$ sont des nombres gaussiens de variances respectives $\langle \phi_j^2 \rangle$ et $\langle \dot{\phi}_j^2 \rangle$, distribués indépendamment sur les nœuds du réseau. Cela implique (cf. Annexe D) que les composantes de Fourier $\varphi_j(\vec{k})$ et $\dot{\varphi}_j(\vec{k})$ sont des nombres gaussiens indépendants de variances respectives (en unités du pas du réseau a)

$$\sigma_1 = \mathcal{N} \langle \phi_j^2 \rangle = \mathcal{N} \frac{v^2}{16}, \quad \sigma_2 = \mathcal{N} \langle \dot{\phi}_j^2 \rangle = \mathcal{N} \frac{v^2}{4},$$

où \mathcal{N} est une constante de normalisation dépendant de \vec{k} . La distribution de la fraction neutre dans chacun des modes \vec{k} est alors donnée par les Eqs. (E.13)-(E.15) avec

$$\Omega_k = \left| \frac{4 + \omega_k}{4 - \omega_k} \right|. \quad (\text{E.23})$$

La Fig. E.1 représente la distribution de la fraction neutre f_k dans les modes $\vec{k} = (k = n\Delta k, 0, 0)$, dans l'ensemble initial du scénario du trempage, pour les deux valeurs extrêmes de la fenêtre d'impulsion étudiée au Chap. 3 : $0 \leq k \lesssim 150$ MeV ($0 \leq n \leq 15$).

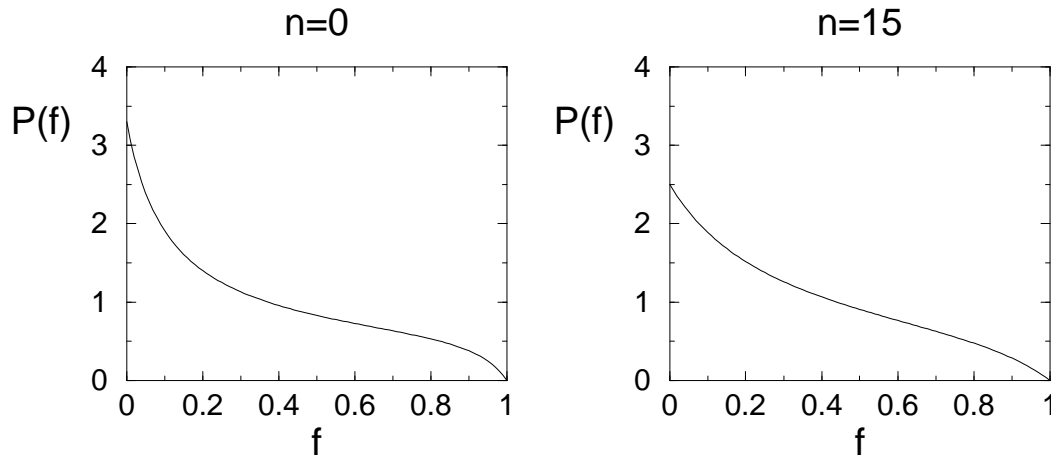


FIG. E.1: Distribution de la fraction f_k de pions neutres dans le mode $\vec{k} = (k = n\Delta k, 0, 0)$ ($\Delta k = \pi/Na \approx 10$ MeV), pour $n = 0$ (à droite) et $n = 15$ (à gauche), dans l'état initial (Eqs. (E.1)-(E.2)).

³On peut toujours représenter la matrice densité sur la base des états cohérents. Une très grande classe d'opérateur densité peuvent s'écrire $\rho = \int d^2\alpha P_\alpha(\alpha)|\alpha\rangle\langle\alpha|$.

⁴On a alors $\sigma^2 = (\exp(\omega/T) - 1)^{-1} \simeq T/\omega$, la dernière égalité étant valable pour les modes de basse fréquence ($\omega \ll T$) pour lesquels l'approximation de champ classique est justifiée.

Remarque à propos des conditions aux bords périodiques

Nous reprenons ici la remarque du bas de la page 45, concernant l'inconvénient des conditions aux bords périodiques, et en donnons une illustration.

Avec des conditions périodiques, les φ sont des vecteurs d'isospin complexes : $\varphi = \mathbf{a} + i\mathbf{b}$. Il est facile de montrer que dans l'état initial, les composantes a_j et b_j des parties réelle et imaginaire sont des variables aléatoires gaussiennes indépendantes et de même variance⁵. En d'autres termes, la distribution de probabilité du vecteur φ est une loi du type (E.21). Ceci implique que la probabilité pour que le carré du cosinus de l'angle θ entre le vecteur réel $|\varphi|$ et l'axe π_3 soit compris entre $\cos^2 \theta = f$ et $f + df$ est égale⁶ à $2(1 - f)df$ (cf. Eq. (E.22)). Ceci est un artefact des conditions aux bords périodiques : les parties réelles et imaginaires sont deux degrés de liberté indépendants décrivant le même mode \vec{k} . Dans le cas où les orientations dans l'espace d'isospin sont toutes équiprobables, on attend la distribution caractéristique en $1/\sqrt{f}$. Les conditions de Neumann sont donc mieux adaptées à l'étude de l'orientation dans l'espace d'isospin.

⁵Excepté bien sûr, pour le mode zéro qui, lui, est réel : $\varphi_{\vec{k}}^* = \varphi_{-\vec{k}}$.

⁶La loi en $1/\sqrt{f}$, obtenue avec des conditions périodiques par l'auteur de la Réf. [68], n'est valable que pour le mode zéro, réel. Attention, le f dont il est question ici ne représente pas la fraction de pions neutres, mais l'orientation du vecteur $|\varphi|$.

Deuxième partie

**VERS LA FORMATION D'UN
PLASMA DE MATIÈRE
DÉCONFINÉE**

Chapitre 4

Equilibration thermique des gluons

Un des enjeux principaux de l'étude des collisions nucléaires à haute énergie est la possibilité de former un plasma de matière hadronique déconfinée, c'est à dire un système de quarks et de gluons en équilibre thermodynamique (local). Les données accumulées durant les dix dernières années à l'AGS (BNL) et au SPS (CERN) fournissent diverses indications [1] en faveur de cette hypothèse, mais il est encore difficile de parler de preuves. L'avènement des collisions à très haute énergie, actuellement réalisées à RHIC (BNL), et, à partir de 2005, au LHC (CERN), ouvre une nouvelle ère dans ce domaine de recherche. En particulier les collaborations PHENIX à RHIC et ALICE à LHC, prévoient d'étudier les photons et les paires de leptons de grande énergie transverse (jusqu'à $p_t \sim 10$ GeV), qui sont des signatures directes de la matière déconfinée [75, 76].

Dans la région centrale d'une collision d'ions lourds à suffisamment haute énergie, on s'attend à ce que la majeure partie de l'énergie transverse soit produite sous forme d'un grand nombre de partons de relativement grande impulsion transverse ($p_t \sim 1 - 2$ GeV). Cependant qu'il est rapidement dilué par la forte expansion longitudinale, le système ainsi produit tend à s'équilibrer localement du fait des interactions mutuelles entre ses constituants. Lorsque l'intervalle de temps moyen entre deux collisions successives devient supérieur au temps typique de formation d'un hadron, le système de quarks et de gluons cesse d'exister en tant que tel et laisse place à un gaz de hadrons en interaction. C'est une question d'importance considérable pour l'interprétation prochaine des données que de savoir si le système de partons initialement produits a le temps d'atteindre un état d'équilibre local avant la phase hadronique. En effet, jusqu'à présent les calculs théoriques concernant les signatures de la matière déconfinée reposent sur l'hypothèse selon laquelle celle-ci est en équilibre thermique local.

Vers l'équilibre local

Une première étude du processus d'équilibration thermique dans les premiers instants de la collision a été faite par G. Baym en 1984 [77]. Dans cet article, l'auteur suppose que l'évolution du système de partons est gouvernée par une équation de Boltzmann qu'il modélise par une approximation de temps de relaxation où le temps de relaxation θ est constant. Baym montre alors de façon analytique que malgré l'effet de l'expansion, le système atteint effectivement le régime hydrodynamique de Bjorken [10], sur une échelle de temps donnée par θ . Plus tard, différents travaux consacrés à l'étude des propriétés de transport d'un plasma de quarks et de gluons (voir par exemple [78, 79], voir aussi [57]), ont permis d'estimer l'échelle de temps caractérisant la relaxation cinétique d'un tel système. Le résultat obtenu est typiquement de l'ordre de 1 fm, ce qui donne à penser que l'équilibre

thermique est rapidement atteint.

Avec cette idée en tête, différents auteurs (voir en particulier [80], et plus récemment [81]) étudient alors le processus d'équilibration chimique dans les collisions d'ions lourds. Le système, en expansion longitudinale rapide est supposé localement isotrope à chaque instant (équilibre thermique local), et des équations de transport sont dérivées, qui décrivent l'évolution temporelle des variables macroscopiques comme les densités moyennes d'énergie et de particules (gluons, quarks et antiquarks) par unité de volume. Ces équations sont résolues numériquement avec des conditions initiales directement tirées de codes Monte Carlo simulant la production de partons (minijets, voir plus loin) dans les tout premiers instants de la collision. Les conclusions de ces études sont que le système n'atteint pas l'équilibre chimique, les densités de quarks et de gluons sont inférieures à leurs valeurs à l'équilibre. Ceci a des implications importantes pour la phénoménologie, ainsi que pour la théorie : d'une part il faut tenir compte de l'aspect "hors d'équilibre chimique" dans les calculs d'observables [82, 83], d'autre part il est nécessaire de bien décrire l'évolution du système pour faire des prédictions viables, ce qui implique une bonne connaissance des processus d'équilibration (ici chimique), ainsi qu'une bonne description de l'état initial.

Au milieu des années 1990, certains auteurs réexaminent le problème de la thermalisation dans le même cadre que l'étude de Baym, mais en faisant l'hypothèse plus réaliste d'un temps de relaxation dépendant du temps [84, 85, 86]. En effet, du fait de la forte expansion, le système est rapidement dilué, et les collisions sont de plus en plus rares, il est donc naturel que l'échelle caractérisant la relaxation vers l'équilibre croisse avec le temps¹. Dans ces conditions, il n'est pas clair que l'équilibre puisse être atteint, le point clef réside dans la compétition entre les effets respectifs de l'expansion et des collisions. Par exemple, dans un modèle où $\theta \propto t^p$, le système n'atteint jamais le régime hydrodynamique si $p > 1$ [85]. Dans un modèle plus réaliste, le temps de relaxation à l'instant t dépend de l'état du système à l'instant t qui dépend lui-même de la valeur du temps de relaxation à l'instant antécédent, et ainsi de suite. Contrairement au cas étudié par Baym, où le temps d'équilibration est essentiellement donné par le temps de relaxation (constant), lui-même déterminé par la nature intrinsèque du système étudié, dans le cas où le temps de relaxation dépend de l'histoire du système, le temps *effectif* d'équilibration dépend en plus d'un aspect extrinsèque : la condition initiale. Pour estimer la durée du régime transitoire il est donc nécessaire de suivre l'évolution du système à partir d'une condition initiale donnée. Dans le cas des collisions d'ions lourds, qui nous intéresse ici, cela signifie que l'on doit avoir une description réaliste de l'état initial du système de partons ainsi que des processus qui gouvernent son évolution ultérieure.

Production de gluons dans les premiers instants de la collision : le problème de la condition initiale.

Le problème de la caractérisation de l'état initial du système de gluons produits lors d'une collision d'ions lourds ultra-relativistes est très délicat et constitue un domaine de recherche en soi. Deux scénarios ont été proposés dans la littérature : le scénario des minijets et le scénario de saturation. Dans ce qui suit nous les décrivons de manière très schématique, notre but étant de donner une image intuitive de ces scénarios.

Plaçons-nous dans le référentiel du centre de masse de la collision. Avant l'impact,

¹Par exemple, au voisinage de l'équilibre local, la seule quantité dimensionnée est la température locale T , et le temps de relaxation est donc inversement proportionnel à T . Cependant, pour un système en expansion longitudinale dans le régime hydrodynamique, $T \propto t^{-1/3}$ [10], et donc $\theta \propto t^{1/3}$.

chacun des noyaux incidents peut être vu comme un disque très aplati dans la direction de son mouvement, à l'intérieur duquel sont confinés les quarks de valence des nucléons, et avec lequel se déplace un “nuage” de partons virtuels : les quarks de la mer et les gluons, les plus nombreux étant ceux dont l'impulsion longitudinale est très faible comparée à celle des noyaux incidents (la fraction x d'impulsion longitudinale emportée par le parton est $\ll 1$). Au moment de la collision, les deux noyaux se traversent l'un l'autre, et les partons de leurs nuages partoniques respectifs interagissent les uns avec les autres. Du fait de ces interactions, certains de ces partons virtuels (mais quasi-réels) sont “projetés” sur leur couche de masse, on dit qu'ils sont “libérés” lors de la collision : ils ne font plus partie intégrante des noyaux qui les “transportaient” initialement. Un grand nombre de partons réels d'impulsion transverse p_t sont ainsi produits pendant un intervalle de temps $\sim 1/p_t$, qui est aussi l'échelle de temps typique pour que les partons d'impulsions longitudinales différentes se séparent physiquement les uns des autres [87, 88].

Le scénario des minijets

Si l'impulsion typique du parton produit est suffisamment grande devant l'échelle typique des interactions fortes ($p_t \gg \Lambda_{QCD} \sim 200$ MeV), le processus de production relève du régime perturbatif ($\alpha_S(p_t) \ll 1$), où le taux de production peut être calculé de façon contrôlée (voir Fig. 4.1). La section efficace de production décroissant comme $1/p_t^4$ (voir par exemple [89]), la contribution dominante à l'énergie transverse initialement produite vient des gluons d'énergie intermédiaire (suffisamment faible pour que la probabilité de production soit considérable, et suffisamment grande pour que le calcul perturbatif ait un sens), $p_t \sim 1 - 2$ GeV : les minijets [90, 87, 89].

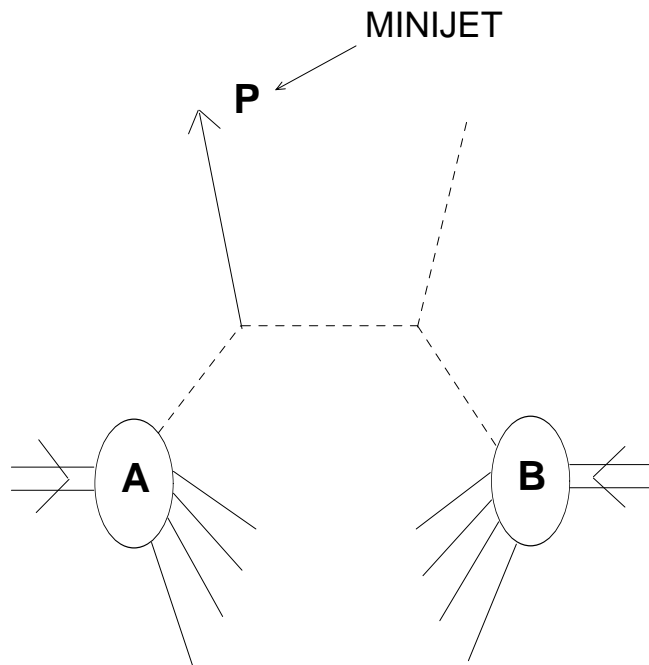


FIG. 4.1: Diffusion élastique entre deux partons des noyaux incidents lors d'une collision nucléaire à haute énergie. Le taux de production perturbatif est dominé par les partons d'impulsion $p_t \sim 1 - 2$ GeV, les minijets.

Le scénario de saturation

Le scénario de saturation propose une origine différente pour la production initiale d'énergie transverse. Dans les noyaux incidents, la densité de gluons de petit x par unité d'espace des phases transverse $\frac{dN}{d^2b d^2p_t}$, où \vec{b} mesure la position dans le plan transverse, augmente quand p_t diminue, et atteint un maximum pour des impulsions transverses $p_t \lesssim Q_s$, où Q_s est l'impulsion de saturation [91, 92, 93]. Les gluons de faible impulsion transverse étant donc en très grand nombre, on s'attend à ce que leur contribution à la production d'énergie transverse soit non-négligeable. Cependant, le calcul perturbatif n'a pas de sens dans ce cas, et il n'existe à ce jour aucun calcul solide du taux de production de ces gluons. On peut cependant se faire un image du processus de production : les gluons considérés ici étant très nombreux, on peut les voir comme formant un champ classique² généré par les quarks de valence des nucléons, en mouvement rapide dans le référentiel considéré : c'est l'équivalent non-abélien du champ de Weizsäcker-Williams [94]. Dans cette image, la collision nucléaire est vue comme une "collision" entre les champs associés à chacun des noyaux incidents. Sur la Fig. 4.2, on a représenté très schématiquement cette collision : un gluon virtuel d'un des noyaux est libéré (projeté sur couche de masse) par interaction avec le champ classique de l'autre noyau. En pratique, on peut décrire cette collision en résolvant (numériquement) les équation de champ classique [95, 96]. On peut se convaincre avec A. H. Mueller [88], que la majorité des gluons libérés sont ceux dont l'impulsion $p_t \sim Q_s$, et ce durant un intervalle de temps $\sim 1/Q_s$. La valeur de l'impulsion de saturation Q_s dépend de la fraction x d'impulsion longitudinale des gluons considérés, et donc de l'énergie de la collision. Aux énergies de RHIC ($\sqrt{s} = 200$ AGeV), $Q_s \approx 1$ GeV, et à LHC ($\sqrt{s} = 5.5$ ATeV), $Q_s \approx 2 - 3$ GeV.

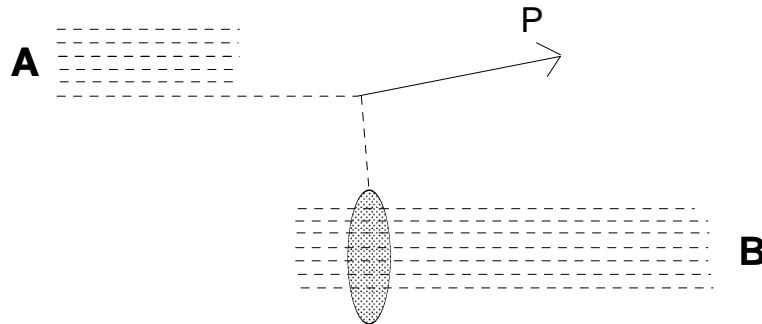


FIG. 4.2: Dans le scénario de saturation, les gluons virtuels de petite impulsion transverse des noyaux incidents peuvent être vus comme un champ classique de couleur associé aux quarks de valence en mouvement rapide. Dans la représentation schématique de la collision, ci-dessus, on suit un gluon du champ du noyau provenant de la gauche. Celui-ci est libéré lors de la collision, en interagissant avec l'ensemble des gluons de l'autre noyau, c'est à dire avec le champ classique associé.

²Exactement comme nous l'avons fait pour le champ de pions dans le chapitre précédent.

Dans ces deux scénarios la contribution dominante à la production initiale d'énergie transverse provient des partons dont l'impulsion transverse est de l'ordre de $1 - 2$ GeV. Cependant, l'origine de ces partons est très différente dans les deux cas, ce qui conduit à des prédictions très différentes pour l'état initial du système. La Fig. 4.3, où on a représenté schématiquement la densité de gluons produits par unité d'espace des phases transverse, résume ces deux scénarios.

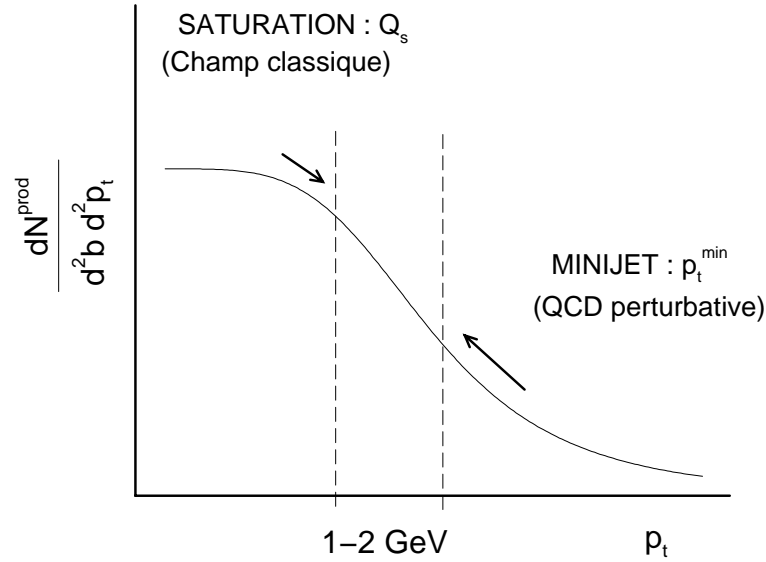


FIG. 4.3: Les densités de gluons produits par unité d'espace des phases transverse dans les scénarios de saturation et des mini-jets. Dans les deux cas la région qui domine la production d'énergie transverse est la même : ce sont les gluons d'impulsion transverse $p_t \sim 1 - 2$ GeV. L'origine de ces gluons est cependant très différente dans les deux cas, ce qui conduit à des prédictions différentes pour l'état initial du système.

Récemment, les auteurs des Réfs. [88, 97, 98] d'une part et [99] d'autre part ont étudié, indépendamment et dans des approches différentes, la question de la thermalisation du gaz de gluons respectivement dans les scénarios de saturation et des mini-jets. Dans [88, 97], A. H. Mueller considère l'effet des collisions élastiques dans l'approximation des petites déviations. En supposant une forme idéalisée pour la distribution initiale des gluons, il est capable de suivre analytiquement l'évolution du système durant les premiers instants de la collision. Bien que ses approximations ne lui permettent pas de suivre le gaz de gluons jusqu'à l'équilibre, il semble que le processus d'équilibration commence très tôt. Dans la Réf. [98], J. Bjorker et R. Venugopalan reprennent ce modèle et résolvent numériquement l'équation de Boltzmann proposée par Mueller. Il apparaît clairement que le système tend vers l'équilibre malgré l'expansion. En comparant la dépendance en temps de différentes quantités macroscopiques (température et densité d'entropie par unité de volume) avec celle attendue dans le régime hydrodynamique, ces auteurs mesurent des temps d'équilibration de l'ordre de $3 - 4$ fm à RHIC et $2 - 3$ fm à LHC. Parallèlement, G. C. Nayak, A. Dumitru, L. Mc Lerran et W. Greiner [99] étudient la thermalisation du gaz de mini-jets dans une approximation de temps de relaxation et concluent à l'équilibration avec des temps caractéristiques de l'ordre de $4 - 5$ fm aussi bien aux énergies de RHIC que de LHC.

Les approches utilisées dans [98] d'une part et dans [99] d'autre part sont cependant très différentes, et il est difficile de comparer ces résultats les uns avec les autres. En particulier les auteurs de [99] identifient le temps de relaxation avec le libre parcours moyen, et il n'est pas clair que la dynamique qui résulte de cette hypothèse arbitraire soit directement

reliée à l'équation de Boltzmann résolue dans [98]. Dans ce chapitre, nous reprenons l'étude de la thermalisation du gaz de gluons et comparons les scénarios de saturation et des minijets dans une seule et même approche. Suivant Mueller [97], nous considérons l'effet des collisions élastiques dans la limite des petites déviations (voir l'Annexe F). Nous traitons le terme de collision de l'équation de Boltzmann correspondante dans l'approximation du temps de relaxation et calculons le temps de relaxation de façon auto-cohérente en faisant directement intervenir la dynamique de l'équation de Boltzmann sous-jacente (voir aussi [84, 85, 86]). Dans le cas de l'intégrale de collision de Landau-Mueller, nous sommes capables de calculer analytiquement toutes les intégrales sur l'espace des impulsions, ce qui diminue considérablement l'effort numérique à fournir. En comparant nos résultats avec la solution exacte de [98], on peut tester notre approche, qui s'avère être remarquablement bonne compte tenu de son degré de simplicité.

Nous arguons que le critère utilisé dans [98] pour caractériser l'équilibre n'est pas satisfaisant et proposons plutôt de tester le degré d'isotropie de différentes observables, critère plus intuitif d'une part et plus directement relié à la phénoménologie d'autre part. En conséquence, nos conclusions sont qualitativement différentes de celles de [98], en particulier nous montrons qu'aux énergies de RHIC les collisions élastiques ne sont pas suffisantes pour permettre au système d'atteindre l'équilibre thermique avant la phase hadronique. En ce qui concerne le scénario des minijets, nous arguons que les résultats de [99] ne sont pas crédibles, les auteurs n'ayant pas correctement implémenté les lois de conservation. Ici encore, nous montrons que l'équilibre n'est pas atteint à RHIC.

De même que dans les chapitres précédents, nous tenterons de mettre en avant les idées physiques, les détails techniques étant relégués en Annexe. Le travail présenté dans ce chapitre a été réalisé en collaboration avec Dominique Schiff [100].

4.1 Le modèle

Considérons une collision entre deux noyaux lourds à très haute énergie. Pour fixer les idées, choisissons deux noyaux identiques, sphériques de rayon R . Dans le référentiel du centre de masse, du fait de la contraction de Lorentz, chacun de ces noyaux a l'aspect d'une galette de rayon R et d'épaisseur $l = R\sqrt{1-\beta^2}$ dans la direction z de l'axe de la collision, où $\beta \leq 1$ est la vitesse du noyau en unité de la vitesse de la lumière. Dans une collision à très haute énergie, on peut modéliser les deux noyaux incidents par deux disques infiniment plats ($\beta \simeq 1$, $l \simeq 0$) et de rayon infini³. Après la collision, la matière baryonique étant très peu ralentie [17], les deux disques, qui s'éloignent maintenant l'un de l'autre avec des vitesses proches de celle de la lumière, laissent derrière eux une région de matière non-baryonique hautement excitée. Nous adopterons l'idéalisation de Bjorken [6, 10], où les deux disques s'éloignent à la vitesse de la lumière. Le problème est alors invariant sous les transformations de Lorentz suivant l'axe de la collision.

Nous considérerons ici des collisions à très haute énergie (RHIC,LHC), et nous supposerons que la constante de couplage des interactions fortes $\alpha_S \ll 1$. Durant les tous premiers instants après l'impact, un grand nombre de partons, essentiellement des gluons, sont produits. L'expansion dilue très rapidement le système, et les nombres d'occupation (les densités de partons par unité d'espace des phases : $f \propto d^6 N/d^3 p d^3 x$) deviennent rapidement inférieurs à l'unité⁴. On peut alors traiter le système comme un gaz de particules classiques⁵, et décrire le taux de variation par unité de temps de la distribution f par une équation de Boltzmann :

$$\frac{df}{dt} = \mathcal{C}[f],$$

où le membre de gauche désigne la variation due au mouvement libre des particules du gaz : en l'absence de champ externe, $\frac{df}{dt} = \partial_t f(\vec{p}, \vec{x}, t) + \vec{v} \cdot \vec{\nabla}_x f(\vec{p}, \vec{x}, t)$, avec $\vec{v} = \vec{p}/p$. Le membre de droite décrit l'effet des collisions entre les particules du gaz.

La distribution $f(\vec{p}, \vec{x}, t)$ décrit la densité de gluons *réels* (sur couche de masse : $P^2 = 0$) par unité d'espace des phases à l'instant t , et dépend en général de l'état de couleur des gluons considérés. Ici, nous cherchons à décrire la relaxation vers l'équilibre cinétique (local), c'est à dire de relaxation vers une distribution (localement) isotrope. L'échelle de temps caractéristique de ce processus étant grande devant celle du processus de relaxation de couleur⁶, on peut négliger ce dernier sur les échelles de temps qui nous intéressent. Bien que la dérivation du terme de collision que nous allons utiliser repose sur l'hypothèse d'une distribution individuelle *indépendante* de la couleur, l'équation de Boltzmann obtenue doit être vue comme une équation effective pour les échelles de temps caractéristiques de la relaxation cinétique. Dans cette logique la distribution f s'interprète comme une distribution *moyennée* sur les états de couleur (et de polarisation).

³A l'instant de l'impact ($t = 0$), toute l'énergie de la collision est localisée dans une région de taille longitudinale nulle. Cette énergie étant finie, la région en question doit avoir une extension transverse infinie [9]. Cette idéalisation est raisonnable dans la région centrale de la collision ($z \simeq 0$, $\|\vec{x}_t\| \ll R$, où \vec{x}_t repère la position dans le plan transverse à l'axe de la collision) et pour des temps au moins inférieurs à la taille transverse du système : $t \lesssim R$.

⁴On peut se convaincre que la description en termes d'une équation de Boltzmann est valable dès que $f \lesssim 1/\alpha_S$. Quand $f \lesssim 1$, on peut négliger les effets de statistique quantique.

⁵Par opposition à l'approximation de *champ classique*, valide quand les nombres d'occupation sont grands devant l'unité.

⁶Au voisinage de l'équilibre, les échelles de temps caractéristiques des processus de relaxation de couleur et de relaxation cinétique sont bien séparées : $\tau_{couleur}^{-1} \sim \tau_{cinétique}^{-1}/\alpha_S$, la première, étant beaucoup plus sensible à la physique de grande longueur d'onde (voir par exemple [101]).

Mentionnons de plus que la description en terme d'une équation de Boltzmann "standard" n'a de sens que si le temps moyen entre deux collisions (le libre parcours moyen \bar{l}) successives est suffisamment grand devant la longueur d'onde des particules considérées $\ell \sim 1/p$. L'échelle typique d'impulsion des gluons décrits ici⁷ est donc $p \gtrsim \bar{l}^{-1}$.

Du fait de la géométrie du problème, la physique est invariante sous les transformations de Lorentz le long de l'axe z de la collision [77]⁸

$$f(\vec{p}_t, p_z, z, t) \equiv f(\vec{p}_t, \tilde{p}_z, \tau),$$

où $\tau = \sqrt{t^2 - z^2}$ et $\tilde{p}_z = \gamma(p_z - up)$, avec $p^2 = p_t^2 + p_z^2$, $u = z/t$ et $\gamma = (1 - u^2)^{-1/2} = t/\tau$. Il suffit donc de se limiter à la tranche $z = 0$. Il est facile de voir que

$$\left. \frac{df}{dt} \right|_{z=0} = \partial_t f(\vec{p}, t) - \frac{p_z}{t} \partial_{p_z} f(\vec{p}, t) = \partial_t f(\vec{p}, t)|_{p_z t = cte}.$$

En ce qui concerne le terme de collision de l'équation de Boltzmann, nous nous limiterons, comme nous l'avons mentionné dans l'introduction, aux collisions élastiques entre gluons. La section efficace différentielle de diffusion $gg \rightarrow gg$ est fortement piquée vers l'avant, et diverge pour les diffusion à très petit angle de déviation, exactement comme dans le cas de la diffusion entre particules chargées : c'est la divergence de Rutherford due à la portée infinie de l'interaction (l'échange d'un quantum de masse nulle). Les collisions à petite déviation étant les plus fréquentes, elles dominent la dynamique et nous ne retiendrons que leur contribution à l'intégrale de collision. En développant l'intégrand autour des petites valeurs de l'angle de déviation [97, 102] (voir aussi l'Annexe F), la première contribution non nulle est égale à la divergence du flux de particules dans l'espace des impulsions : l'effet des collisions élastiques à petite déviation est équivalent à un processus diffusif dans l'espace des impulsions. En explicitant ce terme, on obtient, dans la région centrale ($z = 0$) et dans l'approximation de particules classiques ($f \ll 1$) (cf. Eq. (F.14)),

$$\partial_t f|_{p_z t} = \mathcal{B} N_0 \nabla_p^2 f + 2\mathcal{B} N_{-1} \vec{\nabla}_p (\vec{v} f), \quad (4.1)$$

où l'on a défini les moments⁹ ($\int_{\vec{p}} \equiv 2(N_c^2 - 1) \int d^3p / (2\pi)^3$)

$$N_s(t) = \langle p^s \rangle = \int_{\vec{p}} p^s f(\vec{p}, t) \quad (4.2)$$

($N_0 = n$ est la densité moyenne de particules par unité de volume, $N_1 = \epsilon$ est la densité moyenne d'énergie par unité de volume). La divergence de Rutherford de la section efficace

⁷Les excitations de grande longueur d'onde ($\ell \gg 1/\bar{\epsilon}$, où $\bar{\epsilon}$ est l'énergie moyenne par particule) sont des modes collectifs (ils "contiennent" un grand nombre d'excitations dures ($\ell \sim 1/\bar{\epsilon}$)) et agissent comme un champ externe classique (qui n'est autre que le champ moyen créé par le mouvement des particules dures) sur la dynamique des modes durs (voir par exemple [101]). Dans ce chapitre, nous négligeons ce champ externe.

⁸L'échelle caractérisant les inhomogénéités spatiales dans la direction transverse est $\sim R$. Dans la région centrale on peut donc négliger la dépendance en \vec{x}_t de la distribution f . De plus, par symétrie, f ne dépend que de $p_t = \|\vec{p}_t\|$ et est paire en p_z .

⁹Nous introduisons ici une notation différente de celle habituellement utilisée dans la littérature : $\langle m \rangle = \int d^3p m(\vec{p}) f(\vec{p}, t)$ désigne la moyenne par unité de volume et $\overline{\langle m \rangle} = \langle m \rangle / n$ la moyenne par particule ($n = \langle 1 \rangle$ est la densité moyenne de particules par unité de volume).

de diffusion gluon-gluon se manifeste¹⁰ par la présence du “grand logarithme” $L = 2 \int d\theta/\theta$:

$$\mathcal{B} = \pi\alpha_S^2 \frac{N_c^2}{N_c^2 - 1} L,$$

Cette divergence logarithmique est régularisée par le phénomène d’écrantage de Debye :

$$L = \ln \left(\frac{p^2}{m_D^2} \right), \quad (4.3)$$

où m_D est la masse d’écran de Debye, et où \underline{p} désigne l’ordre de grandeur de l’impulsion typique des particules du milieu ($m_D^2 \ll p$) (voir les Eqs.(F.9) et (F.10) de l’Annexe F).

4.1.1 Lois de conservation

Dans la région centrale, le tenseur énergie-impulsion s’écrit

$$T^{\mu\nu} = \left\langle \frac{p^\mu p^\nu}{p} \right\rangle = \int_{\vec{p}} \frac{p^\mu p^\nu}{p} f(\vec{p}, t) \equiv \text{diag}(\epsilon, P_T, P_T, P_L),$$

et est diagonal, du fait de la symétrie du problème ($f(\vec{p}, z = 0, t) = f(-\vec{p}, z = 0, t)$). Ses composantes représentent respectivement les densités moyennes d’énergie et de pression (transverse et longitudinale) dans la région centrale à l’instant t :

$$\epsilon(t) = \langle p \rangle = N_1(t), \quad P_{T,L}(t) = \langle p_{\perp,z}^2/p \rangle,$$

où $p_\perp^2 = p_t^2/2 = (p_x^2 + p_y^2)/2$. Les particules du milieu étant de masse nulle ($T^\mu{}_\mu = 0$), on a $\epsilon = P_L + 2P_T$.

Les lois de conservation de l’impulsion et du moment angulaire sont trivialement satisfaites par symétrie. L’énergie étant conservée dans les collisions individuelles, le taux de variation par unité de temps de la densité d’énergie induit par les collisions est nul :

$$\int_{\vec{p}} p \mathcal{C}[f](\vec{p}, t) = 0.$$

On en déduit l’équation d’évolution de la densité d’énergie ($\dot{\epsilon} = \partial_t \epsilon$) :

$$\dot{\epsilon} + \frac{\epsilon + P_L}{t} = 0. \quad (4.4)$$

De plus, il est clair que les collisions élastiques conservent le nombre total de particules, ce qui implique que le taux de variation collisionnel de la densité moyenne de particules est nul. On a donc l’équation ($n(t) = \langle 1 \rangle = N_0(t)$)

$$\dot{n} + \frac{n}{t} = \int_{\vec{p}} \mathcal{C}[f](\vec{p}, t) = 0,$$

dont la solution est

$$n(t) = n(t_0) \frac{t_0}{t}. \quad (4.5)$$

Remarquons que ces deux équations, ne faisant pas intervenir le terme de collision, gardent la même forme quelles que soient les approximations faites sur ce dernier.

¹⁰Les tout premiers termes du développement dans l’angle de déviation θ donnent, en principe, des contributions plus singulières. Cependant, ces termes sont nuls dans le cas d’une distribution indépendante des degrés de liberté de couleur. C’est là l’origine de la hiérarchie des échelles de temps caractérisant les processus de relaxation de couleur et cinétique. Cette dernière est en fait sensible à la physique de l’écrantage (chromo-) électrique, c’est à dire aux échelles de distance de l’ordre de la longueur de Debye (voir Eq. (4.3)).

4.1.2 Expansion .vs. Collisions

Partant d'une condition initiale donnée, c'est à dire d'une distribution initiale $f_0(\vec{p})$, l'évolution du système est gouvernée par la compétition entre deux phénomènes : d'un coté (à gauche dans l'Eq. (4.1)) l'expansion, de l'autre les collisions.

L'expansion longitudinale rapide du système tend à rendre la distribution fortement anisotrope : à impulsion (\vec{p}_t, p_z) donnée, le nombre moyen de particules qui quittent la région centrale librement (c'est à dire par leur mouvement propre, sans l'aide des collisions) est supérieur au nombre de particules qui y pénètrent de la même manière, et ceci d'autant plus que l'impulsion longitudinale considérée est grande. L'expansion a donc tendance à "vider" la région centrale de son impulsion longitudinale.

L'effet des collisions est, schématiquement, de créer des particules d'impulsions diverses, d'orientations aléatoires et tend donc, à l'inverse de l'expansion, à rendre la distribution isotrope (dans la région centrale). Dans l'approximation des petites déviations, il s'agit d'un processus diffusif dans l'espace des impulsions [102] (voir la discussion plus haut, ainsi que l'Annexe F) : de la même manière qu'un gaz tend, par diffusion, à remplir l'espace (des configurations) de manière isotrope par diffusion, on a ici un gaz qui se diffuse dans l'espace des impulsions, et tend à occuper celui-ci de manière isotrope.

Il est clair que les influences respectives de chacun de ces effets sur l'évolution du système dépend de l'état initial de celui-ci. L'objet de ce chapitre est précisément l'étude de cette compétition pour différentes conditions initiales. A cette fin, il est instructif de caractériser les deux régimes limites correspondant chacun à la victoire d'un effet sur l'autre.

Le cas libre

Dans le cas où l'influence des collisions est complètement insignifiante devant celle de l'expansion, on peut négliger le membre de droite de l'équation de Boltzmann, ce qui est formellement équivalent au cas où les particules du gaz sont libres ($\alpha_S = 0$) :

$$\partial_t f_{\text{libre}}(\vec{p}, t)|_{p_z t} = 0.$$

ou encore

$$f_{\text{libre}}(\vec{p}, t) = f_0(\vec{p}_t, p_z \frac{t}{t_0}). \quad (4.6)$$

La distribution devient rapidement $\sim \delta(p_z)$, on voit par exemple que $\langle p_z^2 \rangle / \langle p_t^2 \rangle \sim 1/t^2$.

Le régime hydrodynamique

La situation à l'extrême opposé est celle où l'effet des collisions est suffisamment fort pour maintenir l'isotropie à chaque instant. Dans ce cas, c'est le terme de gauche de l'Eq. (4.1) qui est négligeable et la forme de la distribution est déterminée par l'équation

$$\mathcal{C}[f_{eq}] = 0. \quad (4.7)$$

La solution isotrope la plus générale est de la forme

$$f_{eq}(\vec{p}, t) = \lambda(t) e^{-p/T(t)}, \quad (4.8)$$

où les fonctions du temps $\lambda(t)$ et $T(t)$ (fugacité et température locales) sont déterminées par les équations de conservation qui, ne faisant pas intervenir le terme de collision, gardent leurs formes respectives (4.4) et (4.5) dans la limite (4.7). On a ($P_L = P_T = \epsilon/3$)

$$\epsilon \sim \lambda T^4 \sim t^{-4/3}, \quad n \sim \lambda T^3 \sim t^{-1},$$

d'où on déduit, pour la fugacité et la température dans le régime hydrodynamique,

$$\lambda_{hydro} \sim \text{cte} , \quad T_{hydro} \sim t^{-1/3} . \quad (4.9)$$

Sur une échelle de temps $\Delta t \ll \theta_{relax}$, où θ_{relax} est l'échelle de temps caractérisant le processus de relaxation vers l'équilibre local, la dynamique est celle du régime libre. À l'inverse, sur des échelles de temps $\Delta t \gg \theta_{relax}$, la dynamique est décrite par le régime hydrodynamique. Enfin, pour des échelles de temps intermédiaires $\Delta t \sim \theta_{relax}$, le système est dans un régime transitoire, la dynamique est décrite par l'Eq. (4.1). Dans la suite, l'échelle de temps à laquelle on s'intéresse est donnée par la durée de vie du système de partons, lequel cesse d'exister en tant que tel quand la densité d'énergie moyenne par unité de volume devient inférieure à la densité critique $\epsilon_c \sim 1 \text{ GeV}/\text{fm}^3$. La question est de savoir si le système atteint le régime hydrodynamique avant la fin du temps qui lui est imparti. Autrement dit, nous voulons savoir comment se compare la durée du régime transitoire avec la durée de vie.

Dans une situation statique, l'ordre de grandeur de la durée du régime transitoire est simplement donné par θ_{relax} . Dans le cas présent cependant, la question posée est moins triviale qu'elle n'en a l'air. En effet, du fait de l'expansion, le nombre de particules par unité de volume diminue et les collisions sont donc de moins en moins fréquentes. Autrement dit, l'échelle de temps θ_{relax} augmente avec le temps : le système approche de l'équilibre local de plus en plus lentement à mesure que le temps passe. La durée du régime transitoire "effectif" dépend donc de l'histoire du système (et donc aussi de son état initial) et ne peut être obtenue qu'en suivant son évolution au cours du temps, c'est à dire en résolvant l'équation de Boltzmann (4.1).

4.2 L'approximation du temps de relaxation

La résolution numérique de l'Eq. (4.1) [98] s'avère relativement lourde en regard de la question posée, essentiellement qualitative (le modèle très simple, décrit précédemment, ne peut être crédible au niveau quantitatif). Pour cette raison, nous allons encore simplifier la dynamique en remplaçant le terme de collision par un terme linéaire dans la différence $f - f_{eq}$. Autrement dit, nous modélisons l'effet des collisions sur le taux de variation de la distribution f par unité de temps par un terme de relaxation exponentielle sur une échelle de temps θ : le temps de relaxation (voir par exemple [77]) :

$$\partial_t f(\vec{p}, t)|_{p_z t} = -\frac{f(\vec{p}, t) - f_{eq}(\vec{p}, t)}{\theta(t)} , \quad (4.10)$$

où (cf. Eq. (4.8))

$$f_{eq}(\vec{p}, t) = \lambda(t) e^{-p/T(t)} ,$$

les fonctions du temps λ et T devant être déterminées à l'aide des lois de conservation¹¹ (4.4)-(4.5).

L'approximation de temps de relaxation consiste à paramétriser la distribution f , solution de l'équation de Boltzmann, à l'aide des trois quantités $\lambda(t)$, $T(t)$ et $\theta(t)$, et ce à chaque instant t . On ne doit pas s'attendre à ce que la distribution soit bien décrite par cette paramétrisation. Par exemple, dans cet ansatz on voit que toutes les impulsions relaxent vers l'équilibre avec le même taux, ce qui n'a *a priori* aucune raison d'être le cas. En

¹¹Comme nous l'avons vu plus haut, dans le cas où seules les collisions élastiques sont prises en compte, le nombre de particules est conservé. Il est alors nécessaire d'introduire le paramètre λ pour prendre en compte cette loi de conservation, ce qui a été omis par les auteurs de la Réf. [99].

ce sens, l'approximation de relaxation est une sorte d'approximation de champ moyen : les différentes impulsions sont effectivement découplées les unes des autres et relaxent toutes avec un même taux moyen que nous déterminerons dans la suite de façon auto-cohérente.

4.2.1 La méthode des moments

On peut calculer θ en identifiant le taux de variation collisionnel de certains moments de la distribution f avec son analogue dans l'ansatz (4.10) (voir par exemple [85, 86]). Le temps de relaxation ainsi obtenu contient l'information concernant l'effet des collisions sur la dynamique. Nous appliquons ici cette méthode de manière systématique pour différents moments caractérisant différentes échelles d'impulsion. Le choix du moment le plus adéquat dépend de la physique à laquelle on s'intéresse. Dans le cas du terme de collision de l'Eq. (4.1), nous pourrions calculer analytiquement toutes les intégrales sur l'espace des impulsions, ce qui simplifie considérablement la résolution numérique.

Prise au pied de la lettre, l'approximation du temps de relaxation consiste à identifier le terme de collision de l'équation de Boltzmann avec le membre de gauche de l'Eq (4.10) :

$$-\frac{f - f_{eq}}{\theta} \equiv \mathcal{C}[f].$$

Cette équation, prise au sens fort, c'est à dire telle qu'elle est écrite ci-dessus, pour tout \vec{p} , est trop contraignante et n'a pas de solution. On doit en fait la prendre dans un sens plus faible, en en prenant la valeur moyenne sur les impulsions avec un certain poids :

$$-\frac{\langle m \rangle - \langle m \rangle_{eq}}{\theta_m} = \int_{\vec{p}} m(\vec{p}) \mathcal{C}[f](\vec{p}, t), \quad (4.11)$$

où

$$\langle m \rangle_{(eq)}(t) = \int_{\vec{p}} m(\vec{p}) f_{(eq)}(\vec{p}, t) \quad (4.12)$$

la fonction $m(\vec{p})$ étant *a priori* quelconque, et où θ_m est le temps de relaxation correspondant. Nous voyons encore une fois que l'approximation du temps de relaxation (4.10) n'est pas, à strictement parler, une approximation pour la dynamique microscopique, mais plutôt une modélisation de la relaxation du système dans sa globalité.

Les équations de conservation conduisent aux relations¹²

$$n(t) = n_{eq}(t) = 2 \frac{N_c^2 - 1}{\pi^2} \lambda(t) T^3(t), \quad (4.13)$$

$$\epsilon(t) = \epsilon_{eq}(t) = 6 \frac{N_c^2 - 1}{\pi^2} \lambda(t) T^4(t). \quad (4.14)$$

A ce point, il est important de faire la remarque suivante : les paramètres λ et T n'ont pas, en général, les significations physiques de la fugacité¹³ et de la température du système, au sens thermodynamique (ou plutôt hydrodynamique dans notre cas) de ces termes. En effet, les notions de fugacité et de température (locales) ne sont bien définies que pour un système à l'équilibre (local), auquel cas elles s'identifient avec les paramètres λ et T : $\lambda = \lambda_{hydro}$ et $T = T_{hydro}$.

¹² $N_s^{eq}(t) = \int_{\vec{p}} p^s f_{eq}(\vec{p}, t) = (s+2)! \frac{N_c^2 - 1}{\pi^2} \lambda(t) T^{s+3}(t)$.

¹³ On peut écrire $\lambda = \exp(-\mu/T)$. A l'équilibre (local), $\mu = \mu_{hydro}$ est le potentiel chimique (local).

4.2.2 Procédure de résolution

Les paramètres inconnus θ , λ et T sont obtenus, à chaque instant, à partir des Eqs. (4.11), (4.13) et (4.14). Illustrons la procédure de résolution sur un exemple simple :

$$m(\vec{p}) = p_z^2 - p_\perp^2,$$

où $p_\perp^2 = p_t^2/2$. On a donc $\langle m \rangle_{eq} = 0$, et, après quelques intégrations par parties, on obtient, pour l'Eq. (4.11),

$$\frac{\langle p_z^2 - p_\perp^2 \rangle}{\theta} = 4\mathcal{B} N_{-1} (P_L - P_T). \quad (4.15)$$

Il nous faut donc calculer les quantités (nous laissons de côté le calcul de \mathcal{B} pour le moment) $\langle p_z^2 - p_\perp^2/2 \rangle$, N_{-1} , $P_L - P_T$, et ϵ à chaque instant t . Pour ce faire, nous écrivons la solution formelle de l'Eq. (4.10) [77, 84]

$$f(\vec{p}, t) = f_0(\vec{p}_t, p_z \frac{t}{t_0}) e^{-x(t)} + \int_{t_0}^t dt' \frac{e^{x(t')-x(t)}}{\theta(t')} f_{eq}(\vec{p}_t, p_z \frac{t}{t'}, t'), \quad (4.16)$$

avec

$$x(t) = \int_{t_0}^t \frac{dt'}{\theta(t')}.$$

Pour une distribution initiale donnée, on en déduit, pour chacune des quantités pré-citées, une équation du type

$$M(t) = M(t_0) \mathcal{F}_M^{(0)}(t_0/t) e^{-x} + \int_{t_0}^t dt' \frac{e^{x'-x}}{\theta'} \mathcal{F}_M^{(eq)}(t'/t) M_{eq}(t'), \quad (4.17)$$

où $x \equiv x(t)$, $x' \equiv x(t')$, $\theta' \equiv \theta(t')$ et $M \equiv \langle p_z^2 \rangle$, $\langle p_\perp^2 \rangle$, N_{-1} , P_L , P_T , ou ϵ , selon le cas. Les fonctions $\mathcal{F}_M^{(0,eq)}$ ne dépendent que de la géométrie des distributions f_0 et f_{eq} dans l'espace des impulsions, elles sont données dans l'Annexe G pour les différents M dont nous aurons besoin dans ce chapitre. Les moments M_{eq} , calculés avec la distribution f_{eq} , ne dépendent que de λ et T .

On résoud numériquement le système d'équations (4.13), (4.14), (4.15), (4.17) par itérations successives, selon la méthode proposée dans la Réf. [99]. Dans le cas présent, toutes les intégrales sur les impulsions peuvent être calculées analytiquement. Les intégrales temporelles (cf. Eq. (4.17)) sont calculées par la méthode de Simpson (corrigée par un trapèze dans les cas où le nombre de points sous l'intégrale discrète est pair) [64]. A chaque pas de temps, la procédure d'itération (décrite dans [99]) est initialisée par une première estimation des quantités M , obtenue en calculant les intégrales temporelles par la méthode des rectangles, pour laquelle il n'est pas nécessaire de connaître la valeur de l'intégrand pour la borne supérieure de l'intégrale. Cette procédure d'initialisation n'est pas strictement nécessaire, mais améliore la convergence de la procédure d'itération. On vérifie la bonne précision de la méthode en résolvant, en parallèle avec notre système d'équations, l'Eq. (4.17) dans des cas solubles analytiquement, par exemple en calculant $n(t)$, non pas à l'aide de l'Eq. (4.5), mais à partir de l'Eq. (4.17) avec $\mathcal{F}_n(a) = a$.

4.2.3 Le choix du moment

Comme nous l'avons remarqué plus haut, dans l'approximation du temps de relaxation la distribution f relaxe vers la distribution f_{eq} d'une manière indépendante de \vec{p} : toutes

les échelles d'impulsions relaxent avec le même taux moyen θ (cf Eq. (4.10)). D'un autre coté, nous avons vu que le calcul de ce temps de relaxation nécessite de choisir un moment particulier de la distribution, c'est à dire une fonction $m(\vec{p})$ (cf. Eq. (4.11)). Il est clair que les différents moments $\langle m \rangle$ sont sensibles à différentes parties de la distribution f , c'est à dire à différentes échelles d'impulsion, et il en est par conséquent de même pour les temps de relaxation θ_m correspondant. Ceci est illustré sur la Fig. 4.4, où on a représenté l'évolution temporelle du rapport P_L/P_T des pressions longitudinale et transverse pour différents choix de m , pour une condition initiale donnée.

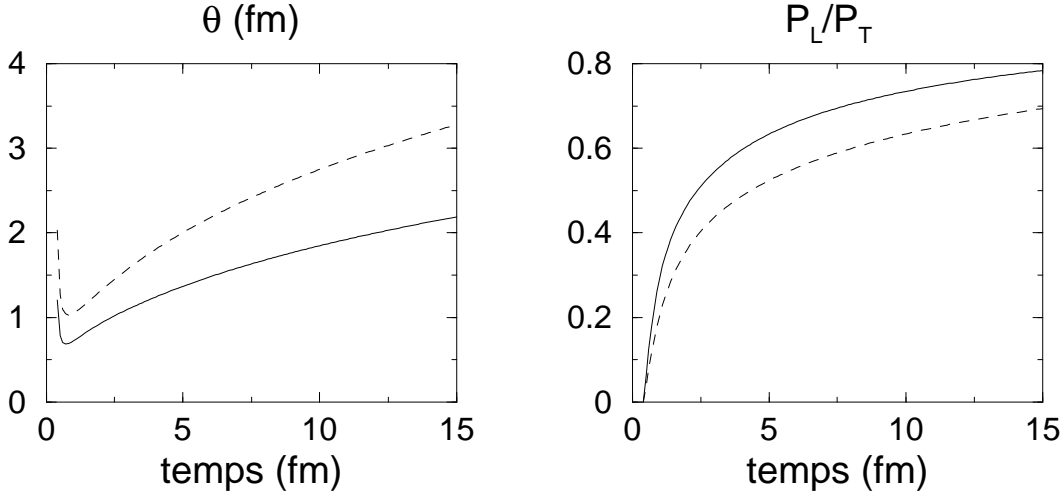


FIG. 4.4: Le rapport des pressions longitudinale et transverse (à droite), ainsi que le temps de relaxation en fm (à gauche) en fonction du temps (en fm), pour différents choix du moment $\langle m \rangle$: $\langle m_1 \rangle = P_L - P_T$ (courbes en trait-plein) et $\langle m_2 \rangle = \langle p_z^2 - p_\perp^2 \rangle$ (courbes en trait-tiret). Le premier, étant sensible à une échelle d'impulsion plus faible que le second, correspond à une relaxation plus rapide vers le régime hydrodynamique. Ceci est dû au fait que les impulsions les plus grandes sont les plus sensibles à l'expansion (voir la discussion page 100). Ces courbes ont été obtenues dans le scénario de saturation à RHIC (voir la section Résultats).

On peut donc préciser la signification de l'approximation du temps de relaxation : on remplace la dynamique microscopique par une relaxation globale vers l'équilibre, avec un taux *caractéristique d'une certaine échelle d'impulsion*. Pour un problème donné, il est donc judicieux de choisir le moment m selon l'échelle typique d'impulsion qui caractérise la physique à laquelle on s'intéresse. En ce qui concerne la question de la relaxation vers le régime hydrodynamique, l'échelle d'impulsion typique qui nous intéresse est celle qui caractérise les variables macroscopiques telles que la pression ou la densité d'énergie. Le choix $\langle m \rangle = \epsilon$ (c'est à dire $m(\vec{p}) = p$) correspondant déjà à l'équation de conservation de l'énergie, nous opterons pour¹⁴ $\langle m \rangle = P_L - P_T$, c'est à dire

$$m(\vec{p}) = \frac{p_z^2 - p_\perp^2}{p}.$$

Après quelques intégrations par parties, on obtient, à partir de l'Eq. (4.11),

$$\frac{P_L - P_T}{\theta} = 4 \mathcal{B} N_0 \left\langle \frac{p_z^2 - p_\perp^2}{p^3} \right\rangle + 2 \mathcal{B} N_{-1} \left\langle \frac{p_z^2 - p_\perp^2}{p^2} \right\rangle. \quad (4.18)$$

¹⁴On obtient des résultats identiques à ceux présentés dans la suite en choisissant $\langle m \rangle = P_L$ ou $\langle m \rangle = P_T$. La différence des pressions n'est autre que la viscosité de cisaillement ζ [103] : $P_L - P_T = 2\zeta/3t$.

4.3 Conditions initiales et résultats

Comme nous l'avons expliqué dans l'introduction, notre but est ici d'étudier de façon systématique le processus de relaxation vers l'équilibre local (le régime hydrodynamique) pour différentes conditions initiales proposées dans la littérature pour décrire l'état du système immédiatement après l'impact dans les collisions d'ions lourds à RHIC et LHC : le scénario de saturation et le scénario des minijets. Bien que chacun de ces deux cas ait été étudié récemment [88, 97, 98, 99], ils n'ont jamais été comparés l'un à l'autre dans une seule et même approche. En comparant nos résultats avec ceux de la Réf. [98], où l'Eq. (4.1) est résolue numériquement dans le scénario de saturation, nous pouvons tester notre approche, qui s'avère être remarquablement bonne, compte tenu de son caractère très qualitatif. Nous verrons que le critère utilisé dans [98] pour caractériser l'écart à l'équilibre n'est pas satisfaisant. Dans cette étude, nous proposons de mesurer le degré d'isotropie de différentes observables, en conséquence de quoi nos conclusions sont qualitativement différentes de celles de [98]. Nous étudions ensuite le scénario des minijets, récemment étudié dans la Réf. [99], mais où les auteurs n'ont pas implémenté correctement les lois de conservation. Enfin, nous examinons la robustesse des résultats par rapport aux détails du calcul, en particulier en ce qui concerne les approximations de couplage faible et logarithmique.

4.3.1 “Temps de vie”

Dans ce qui suit, nous examinons la vitesse avec laquelle différentes configurations initiales relaxent vers le régime hydrodynamique. Du fait de l'expansion, le système est rapidement dilué et, après un certain temps, la description en termes des degrés de liberté partoniques n'a plus de sens. Le point important est donc de comparer le temps caractéristique d'approche de l'équilibre local avec le temps de vie du système. Autrement dit, nous voulons estimer le degré d'isotropie de la distribution f à l'instant t_{max} où le système de partons cesse d'exister en tant que tel. Nous donnons ci-dessous des arguments très qualitatifs¹⁵ qui n'ont de sens qu'*a fortiori*, les ordres de grandeur obtenus étant en accord avec les résultats des calculs sur réseaux (voir par exemple [105]).

Une description en termes des degrés de liberté partoniques n'a de sens que si la distance typique entre les excitations du système est inférieure à la taille typique d'un hadron ~ 1 fm, autrement dit, si la densité moyenne n d'excitations par unité de volume est supérieure à la densité critique $n_c \sim 1/\text{fm}^3$. Dans le cas où le système de gluons est à l'équilibre thermodynamique¹⁶, la densité de particules est reliée à la température T_{eq} par la relation $n_{eq} \simeq 2T_{eq}^3$. On en déduit la température critique $T_c \sim 1 \text{ fm}^{-1} \sim 200 \text{ MeV}$, et la densité d'énergie correspondante $\epsilon_c \simeq 6T_c^4 \sim 1 \text{ GeV}/\text{fm}^3$.

Plus la densité de particules est élevée initialement, plus il faudra de temps pour la diluer et donc plus la durée de vie sera longue. Dans le cas présent, où le nombre total de particules est conservé, on peut déduire l'ordre de grandeur du temps de vie du système à

¹⁵En particulier, les estimations ci-dessous reposent sur l'hypothèse que le plasma de gluons peut être vu en première approximation comme une collection de particules de masse nulle, ce qui n'est pas le cas (voir par exemple [104]).

¹⁶Pour un ensemble de gluons à l'équilibre thermodynamique à la température T_{eq} , la distribution est donnée par la distribution de Bose-Einstein, pour laquelle on a : $n_{eq} = 2(N_c^2 - 1) \zeta(3) T_{eq}^3/\pi^2$, $\epsilon_{eq} = 6(N_c^2 - 1) \zeta(4) T_{eq}^4/\pi^2$ où $\zeta(3) \simeq 1.202$ et $\zeta(4) = \pi^4/90 \simeq 1.1$. Pour $N_c = 3$, on a $(N_c^2 - 1)/\pi^2 \simeq 1$. Attention, les relations précédentes sont obtenues avec une distribution de Bose-Einstein et ne doivent pas être confondues avec les Eqs. (4.13) et (4.14). Cependant, on note que la confusion n'aurait rien changé à nos estimations.

partir des seules conditions initiales : en utilisant l'Eq. (4.5), il vient

$$\frac{t_{max}}{t_0} = \frac{n(t_0)}{n_c}, \quad (4.19)$$

où on a défini t_{max} par la relation $n(t_{max}) = n_c$.

Dans chacun des deux scénarios considérés dans la suite, l'estimation de cette durée de vie à partir du critère $\epsilon \gtrsim \epsilon_c$ donne grossièrement le même ordre de grandeur que celui obtenu à partir du critère ci-dessus. En revanche, le critère qui consiste à comparer le paramètre T (Eq. (4.8)) avec la température critique T_c n'a de sens que si le système est à l'équilibre. En effet, en général, le paramètre T mesure l'énergie moyenne par particule ($T \propto \epsilon/n$) et n'a la signification physique d'une température, au sens thermodynamique (hydrodynamique) du terme, que si le système est à l'équilibre (local).

Il est clair que ces considérations très qualitatives ne servent qu'à donner un ordre d'idée. Cependant les critères $n \gtrsim n_c$ et $\epsilon \gtrsim \epsilon_c$ délimitent le domaine de cohérence physique de notre description.

4.3.2 Le scénario de saturation

Nous suivons ici les auteurs de la Réf. [98] pour caractériser l'état initial des gluons produits dans le scénario de saturation. La distribution initiale idéalisée (4.20) ci-dessous a été proposée par A. H. Mueller [88, 97] : les gluons de la fonction d'onde du noyau incident dont l'impulsion transverse est $\sim Q_s$ sont simplement libérés dans la collision. En résolvant numériquement les équations de champ classique pour l'interaction entre les champs de Weizsäcker-Williams non-abélien des noyau incidents, A. Krasnitz et R. Venugopalan [95] calculent le temps de production des gluons réels. Ils obtiennent $t_i \approx 0.3$ fm à RHIC ($Q_s = 1$ GeV) et $t_i \approx 0.13$ fm à LHC ($Q_s = 2 - 3$ GeV).

On voit que le temps de formation est typiquement $\sim 1/Q_s$. Cet ordre de grandeur correspond aussi au temps nécessaire pour que les gluons de différentes impulsions longitudinales (plus précisément dans différentes unités de rapidité) se séparent physiquement les uns des autres [87, 88]. De même, au bout d'un temps $\sim 1/Q_s$, les gluons de grande impulsion longitudinale ont quitté la région centrale, les gluons restant ont une impulsion longitudinale $p_z \ll Q_s$. De plus, du fait du phénomène de saturation, la densité de gluons libérés par unité d'espace des phases est $\sim 1/\alpha_S N_c$. Le nombre d'occupation dans la région centrale à l'instant t_i peut s'écrire

$$f_{sat}(\vec{p}, t_i) = \frac{c}{\alpha_S N_c} \delta(p_z t_i) \Theta(Q_s^2 - p_t^2),$$

où c est une constante estimée ~ 1 par Mueller [88], et calculée numériquement pour un groupe de jauge $SU(2)$ dans la Réf. [96] : $c = 1.3$. La fonction delta modélise une distribution très étroite dans la direction longitudinale : $p_z/Q_s \sim p_z t_i \ll 1$. On choisit l'instant initial t_0 comme dans la Réf. [98] : on laisse le système évoluer librement jusqu'à ce que le nombre d'occupation, initialement $\sim 1/\alpha_S N_c$, devienne ~ 1 :

$$t_0 = \frac{c}{\alpha_S N_c} t_i.$$

L'instant t_0 est le temps à partir duquel l'approximation de particules classiques commence à être raisonnable, c'est l'instant initial pour notre étude. On a alors [98]

$$f_0(\vec{p}) = f_{sat}(\vec{p}, t_0) = \delta(p_z t_i) \Theta(Q_s^2 - p_t^2), \quad (4.20)$$

Ici nous prendrons $\alpha_S = 0.3$, $N_c = 3$. Les valeurs des différents paramètres correspondant aux énergies de RHIC et LHC sont résumées dans le tableau 4.1.

On peut estimer le temps au bout duquel la densité de particules par unité de volume devient $\sim n_c \sim 1 \text{ fm}^{-3}$ directement à partir des conditions initiales à l'aide de l'Eq. (4.19). On obtient $t_{max} \simeq 7 \text{ fm}$ à RHIC et $t_{max} \simeq 30 \text{ fm}$ à LHC. Cette dernière valeur dépasse la limite au delà de laquelle l'hypothèse d'expansion longitudinale n'est plus raisonnable¹⁷. En suivant l'évolution du système au cours du temps (voir ci-dessous), on voit que le critère $\epsilon \gtrsim \epsilon_c$ donne des estimations du même ordre de grandeur ($\simeq 4 \text{ fm}$ à RHIC, et $\simeq 15 \text{ fm}$ à LHC). Dans la suite, nous prendrons ces valeurs comme limites supérieures (voir le tableau 4.1).

SATURATION	Q_s (GeV)	t_0 (fm)	$n(t_0)$ (fm^{-3})	$\epsilon(t_0)$ (GeV/fm^3)	t_{max} (fm)
RHIC	1.	0.4	18.1	12.0	~ 10
LHC	2.	0.18	163.4	217.9	~ 30

TAB. 4.1: Valeurs des paramètres correspondant aux énergie de RHIC et LHC dans le scénario de saturation (voir la Réf. [98]). Le temps t_{max} , est la limite au delà de laquelle notre description n'a certainement plus aucun sens.

Pour aller plus loin, nous devons préciser la forme du logarithme L (Eq. (4.3)). Dans les premiers instant après t_0 , les particules de la région centrale ont des impulsions essentiellement transverses et interagissent entre elles en échangeant des gluons d'impulsion transverse. Dans ce cas, la masse de Debye (cf. Eq. (4.3)) se réduit à la masse d'écran transverse [98] (voir l'Annexe F) :

$$m_T^2(t) = \frac{\alpha_S N_c}{\pi^2} \int \frac{d^3 p}{p} f(\vec{p}, t) = \frac{4\pi\alpha_S N_c}{N_c^2 - 1} N_{-1}(t), \quad (4.21)$$

et la quantité \underline{p} dans l'Eq. (4.3) est l'échelle d'impulsion transverse typique. Dans la suite, nous prendrons

$$L = \ln \left(\frac{\overline{\langle p_t^2 \rangle}}{m_T^2} \right), \quad (4.22)$$

où $\overline{\langle \dots \rangle} = \langle \dots \rangle / n$ désigne la moyenne par particule. Bien que ce choix soit motivé par la forme de la distribution initiale (4.20), hautement anisotrope, on peut voir qu'il reste raisonnable dans le cas d'une distribution isotrope, où il est plus approprié de choisir $L_{iso} = \ln(\overline{\langle p^2 \rangle} / m_D^2)$. En effet, pour une distribution isotrope $m_D^2 = 2m_T^2$ (voir Annexe F), $\overline{\langle p_t^2 \rangle} = 2\langle p^2 \rangle / 3$, et on a $L - L_{iso} = \ln 4/3 \simeq 0.3$.

Il est important de remarquer que la validité de l'approximation logarithmique est rendue très marginale par le fait que la valeur $\alpha_S = 0.3$ est à la limite du régime de couplage faible. En effet, de façon générale, si \underline{p} est l'échelle typique d'énergie du problème (ici $\underline{p} \sim Q_s$), on aura $m_T^2 \sim \alpha_S \underline{p}^2$, et $L \sim \ln(\underline{p}/\alpha_S)$, où $c \sim 1$. Ici, α_S n'est pas réellement petite devant l'unité (en particulier $\alpha_S N_c \approx 1$) et $L \ll 1$ ¹⁸. C'est la valeur de la constante c qui contrôle la valeur de L . Autrement dit, la valeur de L dépend des détails du problème,

¹⁷Cette hypothèse est certainement valable pour $t \lesssim R$, où R est le rayon des noyaux incidents (pour un noyau de Plomb ($A = 208$), on estime $R \sim 1.2 A^{1/3} \text{ fm} \sim 6 \text{ fm}$). Pour notre propos, à caractère essentiellement qualitatif, la limite supérieure $t \lesssim 15 - 20 \text{ fm}$ est optimiste mais pas déraisonnable.

¹⁸Certains choix pour L peuvent même être tels que $L < 0$ à l'instant initial. C'est le cas par exemple de l'Eq. (27) de la Réf. [98], pour les valeurs des paramètres correspondant aux énergies de LHC.

ce qui traduit le fait qu'à strictement parler, l'approximation logarithmique ne s'applique pas. Avec notre choix (4.22), il est facile de voir qu'à l'instant initial, pour la distribution (4.20)

$$L(t_0) = \ln \left(\frac{\pi}{4\alpha_S N_c} Q_s t_i \right),$$

où t_i est le temps de formation des partons de l'état initial ($Q_s t_i \sim 1$), le facteur $\pi/4\alpha_S N_c \approx 0.8 < 1$ est donné par la *géométrie* de la distribution initiale dans l'espace des impulsions. On voit que la valeur précise de $Q_s t_i$ est cruciale pour que $L > 0$.

Pour la distribution (4.20), $L \ll 1$ à l'instant initial, quelque soit le choix que l'on fait pour l'échelle \underline{p} et la masse d'écran. Bien que la situation s'améliore par la suite, comme le montre la Fig. 4.5, on reste constamment à la limite du domaine de validité de l'approximation logarithmique.

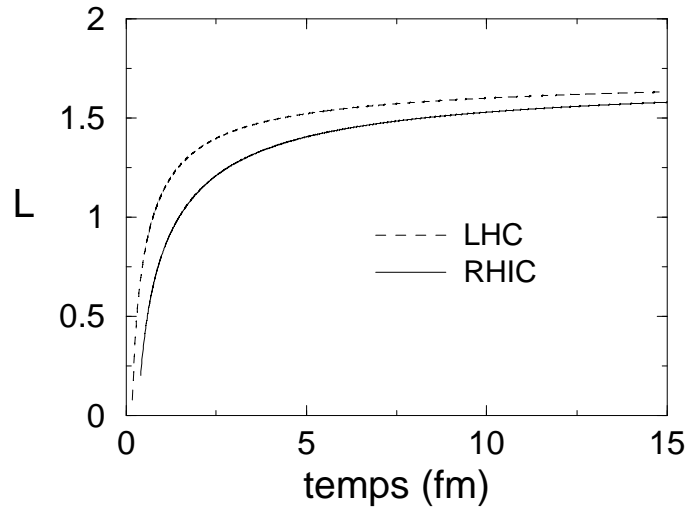


FIG. 4.5: Le "grand" logarithme (4.22) en fonction du temps (en fm), pour les valeurs des paramètres correspondant aux énergies de RHIC et LHC dans le scénario de saturation.

Pour tester notre approche, nous comparons nos résultats avec la solution exacte de la Réf. [98]. Le premier graphique de la Fig. 4.6 représente l'évolution des quantités ϵ , $3P_L$ et $3P_T$ pour les valeurs des paramètres correspondant aux énergies de RHIC (voir tableau 4.1), les deux suivant représentent les moyennes par particule des carrés des impulsions longitudinale et transverse, $\langle p_z^2 \rangle(t)$ et $\langle p_\perp^2 \rangle(t)$, pour RHIC et LHC respectivement. Ces courbes sont les analogues de celles des Figs. 7 et 9 de la Réf.[98], on a choisi les échelles et les unités de manière à faciliter la comparaison : non seulement l'approche à l'équilibre est correctement reproduite, mais on voit que dans l'ensemble, nos résultats sont en accord semi-quantitatif avec la solution exacte, ce qui est remarquable compte tenu du degré de simplicité de notre approche.

Venons-en maintenant aux résultats de notre étude du scénario de saturation. Pour caractériser l'écart à l'équilibre cinétique local, c'est à dire le degré d'anisotropie de la distribution, nous mesurons les rapports

$$R_k = \frac{\langle p_z^2/p^k \rangle}{\langle p_\perp^2/p^k \rangle}, \quad (4.23)$$

en fonction du temps. Pour une distribution complètement isotrope, $R_k^{iso} = 1, \forall k$. Les moments du type $\langle p_{z,\perp}^2/p^k \rangle$ sont sensibles à des échelles d'impulsion de plus en plus faible

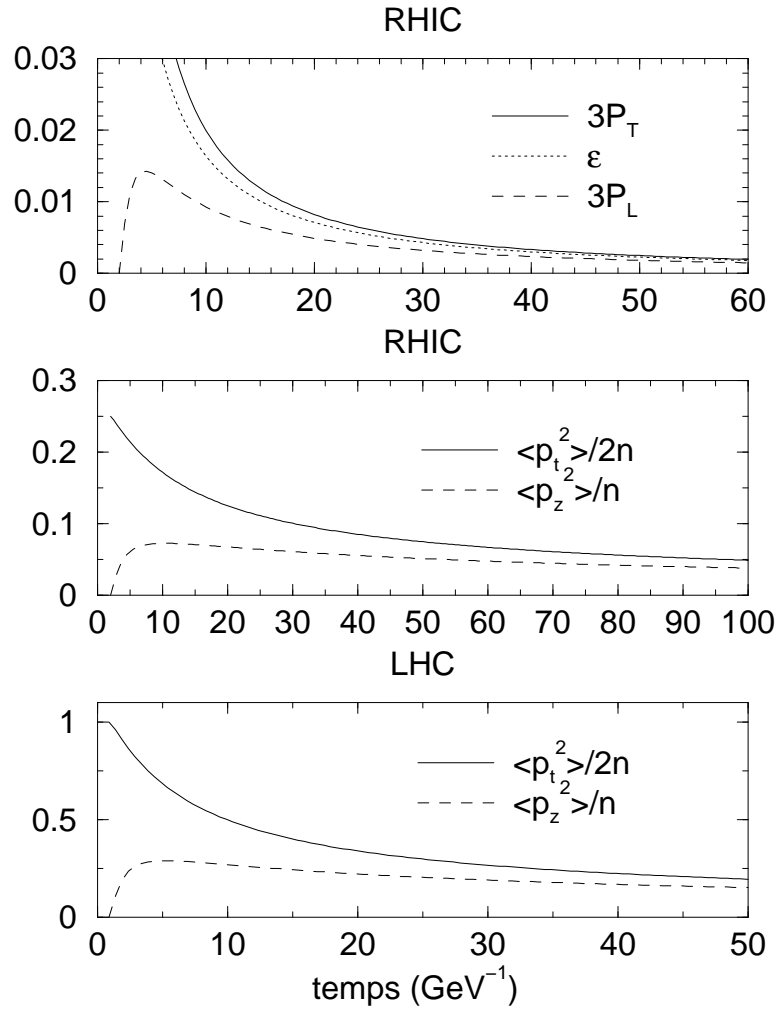


FIG. 4.6: Reproduction de différentes courbes de la Réf. [98]. Les différentes quantités présentées ici sont obtenues dans l'approximation du temps de relaxation. Les échelles et les unités ont été choisies de manière à faciliter la comparaison. En se reportant à [98] on trouve un accord semi-quantitatif.

à mesure que k augmente, les rapports R_k (plus précisément l'écart $1 - R_k$) mesurent donc le degré d'anisotropie des différentes parties de la distribution, c'est à dire des différentes échelles d'impulsions. La Fig. 4.7 représente l'évolution temporelle des rapports $R_k(t)$ pour $k = 0, \dots, 3$, à RHIC et LHC. On observe le comportement qualitatif attendu : les moments sensibles aux échelles d'impulsions les plus grandes sont ceux qui relaxent le moins vite vers l'équilibre. Cette hiérarchie de vitesses de relaxation, déjà observée dans [98], est un simple effet de la géométrie du système¹⁹, laquelle est prise en compte exactement dans l'Eq. (4.10).

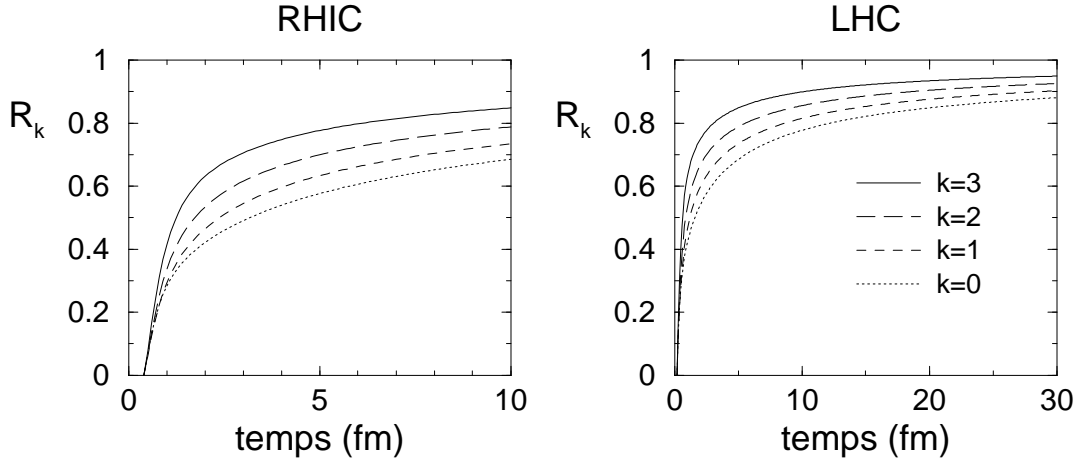


FIG. 4.7: Evolution temporelle des rapports R_k définis par l'Eq. (4.23) pour le scénario de saturation à RHIC (à gauche) et LHC (à droite). Les écarts $1 - R_k$ mesurent le degré d'anisotropie de la distribution microscopique $f(\vec{p}, t)$, pour différentes échelles d'impulsions.

Le processus de relaxation est bien plus rapide à LHC et, la durée de vie y étant plus grande, le degré d'isotropie atteint est bien meilleur. On voit clairement que pour $t \sim t_{max}$, le système est encore très anisotrope à RHIC, tandis qu'à LHC le degré d'isotropie est très bon. Dans ce dernier cas, le degré d'isotropie est déjà satisfaisant pour $t \gtrsim 15$ fm où $R_{k=0, \dots, 3} \gtrsim 0.8$.

Ces résultats semblent en complète contradiction avec ceux de la Réf. [98], où les auteurs mesurent les “temps d'équilibration” $t_{eq} = 3.24$ fm et $t_{eq} = 2.36$ fm pour les valeurs des paramètres correspondant à RHIC ($\alpha_S = 0.3$, $Q_s = 1$ GeV) et LHC ($\alpha_S = 0.3$, $Q_s = 2$ GeV) respectivement. Cette contradiction apparente est due à ce que les critères utilisés pour caractériser l'écart à l'équilibre ne sont pas équivalents : dans [98], t_{eq} est défini comme le temps auquel les quantités $T t^{1/3}$, et s/n , l'entropie moyenne par particule, atteignent 90% de leurs valeurs respectives à l'équilibre (ces deux quantités sont constantes dans le régime hydrodynamique). Par ailleurs, on peut voir sur les Figs. 7 et 9 de [98] (voir aussi notre Fig. 4.6), que les valeurs des rapports $R_1 = P_L/P_T$ et $R_0 = \langle p_z^2 \rangle / \langle p_\perp^2 \rangle = \overline{\langle p_z^2 \rangle} / \overline{\langle p_\perp^2 \rangle}$ au cours du temps sont en accord avec celles de notre Fig. 4.7. En particulier, pour $t = t_{eq} = 3.24$ fm, on a $P_L/P_T \simeq 1/2$. Le critère que nous avons utilisé pour définir l'équilibre cinétique, c'est à dire l'isotropie²⁰, est d'une part plus intuitif et d'autre part plus précis. En effet les

¹⁹Les particules de grande impulsion longitudinale désertent rapidement la région centrale du fait de la seule expansion. Il s'ensuit que les particules “dures” (de grande énergie) de cette région ont une impulsion essentiellement transverse. Il faut donc plusieurs collisions à petite déviation pour créer une particule de grande impulsion longitudinale, cela prend beaucoup de temps, plus qu'il n'en faut à cette dernière pour quitter la région centrale.

²⁰Il est facile de montrer que l'Eq. (4.1) ne peut avoir de solution isotrope que dans le cas où le membre

valeurs asymptotiques des rapports R_k sont bien connues : $R_k^{hydro} = 1$, tandis que celles des quantités utilisées dans [98] dépendent de l'histoire du système. De plus le degré d'isotropie du système est l'observable importante du point de vue phénoménologique.

4.3.3 Le scénario des minijets

Nous suivons ici le choix des auteurs de la Réf. [99] pour caractériser la distribution initiale dans le scénario des minijets. Dans la région centrale, celle-ci est prise de la forme (4.8) :

$$f_0(\vec{p}) = f_{jet}(\vec{p}, t_0 = 1/p_0) = \lambda_{jet} e^{-p/T_{jet}}, \quad (4.24)$$

où les paramètres $\lambda_{jet} = \lambda(t_0)$ et $T_{jet} = T(t_0)$ sont déterminés à partir les densités de particules $n_{jet} = n(t_0) = n_{eq}(t_0)$ et d'énergie $\epsilon_{jet} = \epsilon(t_0) = \epsilon_{eq}(t_0)$ du système de partons initialement produit, à l'aide des Eqs. (4.13) et (4.14). La contribution dominante vient des partons d'énergie p_0 , dont le temps de formation est $t_0 = 1/p_0$. Les valeurs des paramètres de ce scénario pour des collisions frontales Au-Au à RHIC et Pb-Pb à LHC, sont données dans le tableau 4.2. Dans les deux cas, les limites supérieures t_{max} pour les temps auxquels $n \sim n_c$ et $\epsilon \sim \epsilon_c$ sont du même ordre de grandeur que celles obtenues dans le scénario de saturation.

MINIJET	t_0 (fm)	n_{jet} (fm ⁻³)	ϵ_{jet} (GeV/fm ³)	λ_{jet}	T_{jet} (GeV)	t_{max} (fm)
RHIC	0.18	34.3	56.0	1.0	0.535	~ 10
LHC	0.09	321.6	1110.0	1.0	1.13	~ 30

TAB. 4.2: Valeurs des paramètres correspondant aux énergie de RHIC et LHC dans le scénario des minijets (voir la Réf. [99]).

De même que dans l'étude du scénario de saturation, nous prendrons $\alpha_S = 0.3$ et ferons le choix (4.22) pour le logarithme L . En ce qui concerne la validité de l'approximation logarithmique, bien que toujours à la limite, la situation est plus confortable ici que dans le cas du scénario de saturation : dans l'intervalle de temps étudié on a $1.5 \lesssim L \lesssim 5$. En particulier, il est facile de voir qu'à l'instant initial

$$L(t_0) = \ln \left(\frac{7\pi}{4\alpha_S N_c} \frac{1}{\lambda_{jet}} \right).$$

Encore une fois le profil de la distribution joue un rôle important (c'est lui qui détermine le facteur $7\pi/4\alpha_S N_c$).

On voit sur la Fig. 4.8 que l'isotropie initiale est rapidement détruite dans les premiers instants de l'évolution. C'est la phase initiale de régime libre dont nous avons parlé plus haut : à l'instant initial, le temps de relaxation est non-nul²¹ et il faut attendre un temps $\Delta t = t - t_0 \lesssim \theta(t_0) \sim 1$ fm) avant que l'effet des collisions ne se fasse sentir, l'isotropie est alors lentement reconstruite.

Après que l'isotropie initiale ait été détruite par l'expansion, la distribution est très piquée autour de $p_z = 0$, et l'évolution ultérieure est très semblable à celle du scénario de saturation. On voit cependant que le processus de relaxation est plus lent dans le cas

de gauche est négligeable, ce qui correspond, par définition, au régime hydrodynamique (cf. Eq. (4.7))

²¹Mentionnons à ce propos un détail technique concernant le calcul du temps de relaxation à l'instant initial dans le scénario des minijets : pour la distribution (4.24), l'Eq. (4.11) est triviale ($0 = 0$) et ne permet donc pas de calculer le temps de relaxation $\theta(t_0)$. On contourne la difficulté en exploitant le fait que le système est initialement dans un régime libre (voir l'Annexe H).

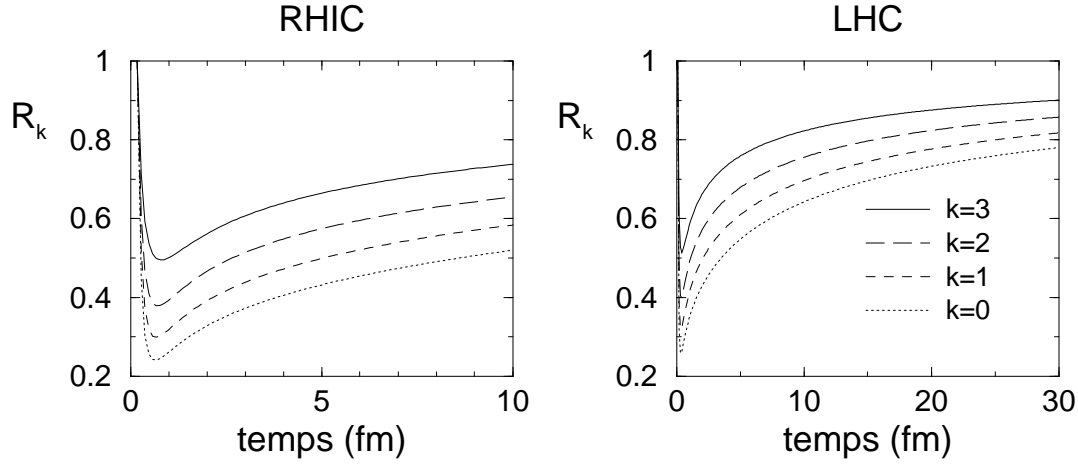


FIG. 4.8: Evolution temporelle des rapports R_k (Eq. (4.23)) pour le scénario des minijets à RHIC et LHC.

présent et les degrés d'isotropie atteints sont par conséquent nettement inférieurs, aussi bien à RHIC qu'à LHC (les temps de vie sont du même ordre de grandeur dans les deux scénarios (voir Tabs. (4.1) et (4.2)). Dans ce dernier cas, bien que le degré d'isotropie finisse par être relativement bon, il faut attendre $t \sim 30$ fm pour avoir $R_{k=0,\dots,3} \gtrsim 0.8$, soit deux fois plus longtemps que dans le scénario de saturation. Sur la base de ce critère, les temps d'équilibration obtenus dans le scénario des minijets sont $\gg t_{max}$ à RHIC, $\sim t_{max}$ à LHC.

Ces conclusions sont en désaccord qualitatif avec celles des auteurs de la Réf. [99], qui mesurent des temps d'équilibration similaires $\sim 4 - 5$ fm à RHIC et LHC. Cependant l'approche utilisée dans cet article n'est pas satisfaisante, en particulier à cause du fait que bien que seuls les processus élastiques y soient considérés, le nombre total de particules n'est pas conservé. En fait il augmente avec le temps (la densité moyenne par unité de volume n décroît moins vite que $1/t$), ce qui diminue les temps d'équilibration (les collisions étant plus fréquentes). Le fait que ceux-ci soient du même ordre de grandeur à RHIC et à LHC vient de ce que dans [99], la constante de couplage n'est pas constante, mais augmente avec le temps, sa valeur étant calculée à chaque instant en fonction de l'échelle typique d'impulsion des particules du milieu. Celle-ci étant plus petite à RHIC qu'à LHC, l'intensité de l'interaction, et donc la fréquence des collisions y est augmentée. Dans la partie suivante, où nous considérons le cas d'une constante de couplage variable, nous verrons cependant que cet effet ne modifie pas nos conclusions présentes.

4.3.4 Robustesse des résultats

Pour obtenir une information la plus fiable possible dans l'approche utilisée ici, il est important de tester la sensibilité des résultats précédent par rapport aux détails de la description, comme par exemple la valeur de α_S , ou encore le choix de l'échelle d'impulsion \underline{p} sous le logarithme L (cf. Eqs. (4.3)). En effet, étant à la limite du domaine de validité de l'approximation logarithmique, on s'attend à ce que de petits changements sous le logarithme aient des effets non-négligeables.

Constante de couplage variable

Il est intéressant de considérer le cas où la valeur de la constante de couplage α_S augmente avec le temps, à mesure que décroît l'énergie typique des particules du milieu.

Comme nous l'avons mentionné plus haut, on s'attend alors à ce que les particules interagissent plus fortement à RHIC qu'à LHC, l'énergie moyenne par particule y étant plus faible.

On calcule la constante de couplage à chaque instant en fonction de l'énergie moyenne par particule : $\alpha_S(t) \equiv \alpha_S(\mu = \bar{\epsilon} = 3T)$, avec la paramétrisation

$$\alpha_S(\mu) = \alpha_S(M_Z) \frac{\ln(M_Z/\Lambda_{QCD})}{\ln(\mu/\Lambda_{QCD})}, \quad (4.25)$$

où $M_Z \simeq 90$ GeV est la masse du boson Z , $\alpha_S(M_Z) = 0.1$, et où on a pris $\Lambda_{QCD} \simeq 200$ MeV.

Dans le scénario des minijets, à LHC, on a $0.2 < \alpha_S(t) < 0.4$ sur l'intervalle de temps considéré et on obtient un résultat très similaire à celui de la partie 4.3.3, obtenu avec $\alpha_S = 0.3$. Bien que, par rapport au cas où α_S est constante, la situation s'améliore à RHIC, où $0.3 < \alpha_S(t) < 0.5$, l'équilibre n'est pas atteint. Les courbes représentant l'évolution de R_1 sont présentées dans la partie suivante.

Dans le scénario de saturation, l'énergie moyenne par particule est plus faible et la constante de couplage devient rapidement $\gtrsim 0.5$. Les résultats obtenus n'ont pas de sens physique. Ceci doit être pris comme une manifestation de la fragilité du calcul perturbatif.

Estimation des incertitudes

Pour nous faire une idée plus générale de l'ordre de grandeur des incertitudes dues aux détails de notre approche, nous remplaçons simplement $L \rightarrow 2L$, puis $L \rightarrow L/2$, dans le terme de collision²² (on travaille ici avec $\alpha_S = \text{cte} = 0.3$). Les courbes des parties précédentes deviennent des "bandes" dont la largeur représente le degré de confiance avec lequel interpréter nos résultats. Les bandes correspondant à l'observable $R_1 = P_L/P_T$ (cf. Eq. (4.23)) pour les scénarios de saturation et des minijets sont représentées sur les Fig. 4.9 et 4.10 respectivement. Sur la Fig. 4.10, on a aussi représenté les courbes correspondant au cas où la constante de couplage dépend du temps (voir la partie précédente), on voit que celles-ci sont à l'intérieur du "domaine d'incertitude" décrit ci-dessus. Les observations qualitatives des parties précédentes restent valables. Cependant, à cause des incertitudes liées à notre description, on ne peut pas dire si l'équilibre est atteint à LHC dans le scénario des minijets. Dans le scénario de saturation, où l'équilibre est certainement atteint, il est impossible d'estimer précisément la durée du régime transitoire.

4.3.5 Conclusions et perspectives

En résumé, nous avons étudié l'évolution du système de gluons, produit dans les tout premiers instant d'une collision nucléaire à très haute énergie, et en particulier la contribution des collisions élastiques de petite déviation au processus d'équilibration cinétique. Nous avons étudié et comparé deux scénarios différents pour l'état initial du système, en résolvant les équations cinétiques dans une approximation de temps de relaxation "auto-cohérente", laquelle donne des résultats en bon accord avec la solution exacte obtenue dans [98] pour le scénario de saturation. Nos conclusions sont résumées dans le tableau 4.3. Dans les deux scénarios étudiés, les processus élastiques ne sont pas suffisamment efficaces pour rendre la distribution isotrope avant la phase hadronique aux énergies de RHIC ($t_{eq} \gg t_{max}$). Dans le scénario de saturation, pour LHC, le régime hydrodynamique est atteint. La détermination exacte du temps d'équilibration n'est cependant pas possible étant données les

²²Le changement $L \rightarrow aL$ revient à remplacer le temps de relaxation θ par θ/a dans l'Eq. (4.16). Quand $a = 2$ ($a = 1/2$), le système relaxe plus rapidement (lentement).

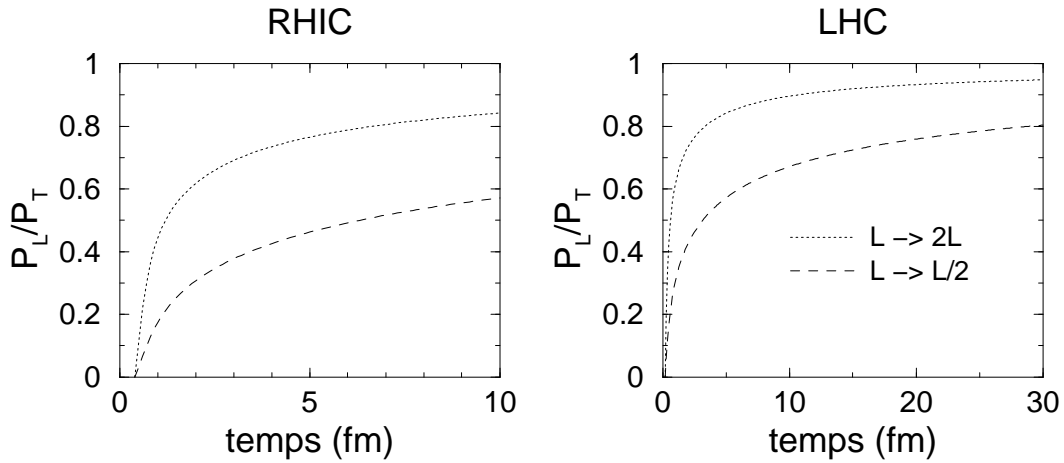


FIG. 4.9: Dépendance des résultats par rapport aux détails de la description pour le scénario de saturation. Les courbes délimitent la marge de variation de l'évolution temporelle du rapport $R_1 = P_L/P_T$ quand on change $L \rightarrow 2L$ (pointillés) et $L \rightarrow L/2$ (tirets).

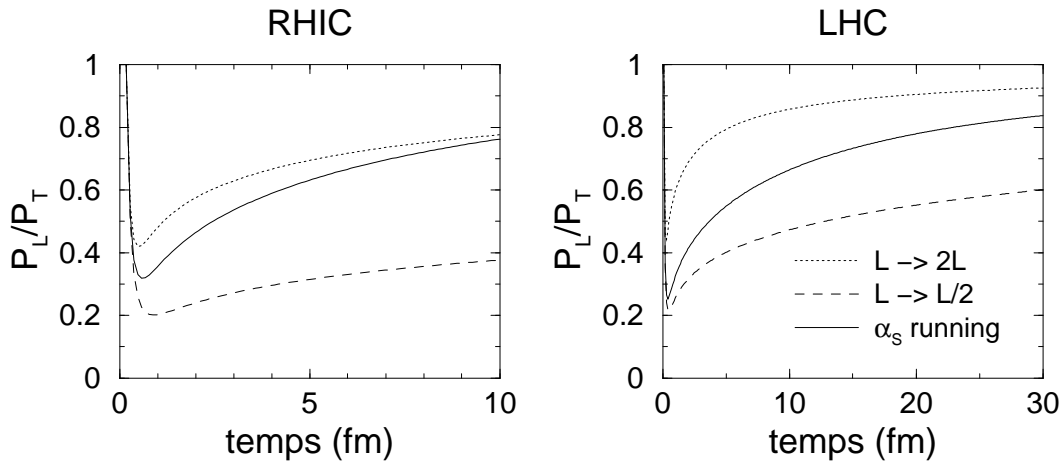


FIG. 4.10: Dépendance des résultats par rapport aux détails de la description pour le scénario des minijets. Les courbes représentent la marge de variation de l'évolution temporelle du rapport $R_1 = P_L/P_T$ quand on change $L \rightarrow 2L$ (pointillés) et $L \rightarrow L/2$ (tirets). Les courbes en trait continu sont obtenues avec une constante de couplage variable, dépendant de l'énergie moyenne $\bar{\epsilon} = 3T$ des particules du milieu (voir Eq. (4.25)).

incertitudes de la description utilisée. Dans le scénario minijet, il apparait même difficile de dire si l'équilibre local est atteint.

	SATURATION		MINIJET	
	RHIC	LHC	RHIC	LHC
$t_{max} (fm)$	~ 10	~ 30	~ 10	~ 30
R_1	$\lesssim 0.8$	$\gtrsim 0.8$	$\lesssim 0.8$	$\gtrsim 0.6$
Régime hydrodynamique ?	non	oui	non	?

TAB. 4.3: Le système a-t-il atteint le régime hydrodynamique ?

Les auteurs de la Réf. [106] ont récemment argué que les processus inélastiques de branchement (g +milieu \leftrightarrow gg +milieu), contribuant au même ordre que les processus élastiques dans l'approximation logarithmique, jouent un rôle important dans le processus d'équilibration cinétique, et accélèrent considérablement celui-ci. Il est fort probable que ces processus inélastiques permettent de rendre le temps d'équilibration négligeable à LHC (quel que soit le scénario le plus adapté). La situation est moins claire à RHIC. Il est très important, pour l'interprétation des données expérimentales actuellement accumulées à RHIC, de savoir si le régime transitoire peut être négligé, ou si l'aspect hors équilibre du système doit être pris en compte dans les calculs concernant les signatures directes du plasma.

Annexe F

L'intégrale de collision de Landau

Dans le Chap. 4 nous nous intéressons à la matière produite immédiatement après l'impact, dans la région centrale d'une collision d'ions lourds ultrarelativistes. Nous supposons que la densité d'énergie est suffisamment élevée pour que cette matière puisse être décrite par un ensemble de partons (essentiellement des gluons) interagissant faiblement les uns avec les autres. Autrement dit, nous supposons que la constante de couplage forte est très petite : $\alpha_S \ll 1$. Nous supposons de plus qu'après quelques instants, le système est suffisamment dilué pour pouvoir être décrit par une équation de Boltzmann pour la densité de gluons par unité d'espace des phases, que nous supposons *indépendante* de l'état de polarisation et de couleur des gluons¹

$$f(\vec{p}, \vec{x}, t) = \frac{(2\pi)^3}{2(N_c^2 - 1)} \frac{d^6 N}{d^3 p d^3 x},$$

Construisant le terme de collision de l'équation de Boltzmann correspondante, nous nous limiterons à la contribution des collisions élastiques $gg \rightarrow gg$, à l'ordre dominant en α_S . Nous devons considérer tous les processus du type ($\epsilon = +, -$ désigne la polarisation et $a = 1, \dots, N_c^2 - 1$ la couleur) :

$$(\vec{p}, \epsilon, a) + (\vec{p}', \epsilon', a') \rightarrow (\vec{p}_1, \epsilon_1, a_1) + (\vec{p}_1', \epsilon_1', a_1'),$$

ainsi que le processus inverse. Dans les deux cas il nous faut sommer sur tous les états d'impulsion, de polarisation et de couleur des gluons autres que celui auquel on s'intéresse (le premier ci-dessus), et moyenner sur les états de polarisation et de couleur de ce dernier, schématiquement :

$$\frac{1}{2(N_c^2 - 1)} \sum_{\epsilon, a} \left[\sum_{\epsilon', a'} \sum_{\epsilon_1, a_1} \sum_{\epsilon_1', a_1'} \right].$$

Il est commode de rétablir une certaine symétrie entre les deux gluons (\vec{p}, ϵ, a) et $(\vec{p}', \epsilon', a')$ en exprimant la probabilité de transition apparaissant sous l'intégrale de collision en termes du carré de l'amplitude de diffusion $|\mathcal{M}_{gg \rightarrow gg}|^2$, sommé sur les états de polarisation et de

¹A strictement parler, la construction du terme de collision qui suit n'est valable que dans le cas d'une distribution indépendante de la couleur et de la polarisation. Cependant, on peut voir l'équation de Boltzmann obtenue comme décrivant l'évolution du système sur des échelles de temps grandes devant l'échelle caractérisant la relaxation de couleur. En effet, cette dernière est beaucoup plus rapide que l'échelle de relaxation vers l'équilibre cinétique à laquelle on s'intéresse ici. La distribution f doit être vue comme une moyenne sur les états de polarisation et de couleur.

couleur de l'état final et moyenné sur ceux des *deux gluons* de l'état initial. Ceci revient à multiplier et diviser par $2(N_c^2 - 1)$:

$$2(N_c^2 - 1) \left\{ \frac{1}{2(N_c^2 - 1)} \sum_{\epsilon, a} \frac{1}{2(N_c^2 - 1)} \sum_{\epsilon', a'} \left[\sum_{\epsilon_1, a_1} \sum_{\epsilon'_1, a'_1} \right] \right\}.$$

L'intégrale de collision s'écrit alors

$$C[f](\vec{p}) = \frac{2(N_c^2 - 1)}{2} \int \frac{d^3 p'}{(2\pi)^3} \frac{d^3 p_1}{(2\pi)^3} \frac{d^3 p'_1}{(2\pi)^3} w(\vec{p} \vec{p}' \rightarrow \vec{p}_1 \vec{p}'_1) [f_1 f'_1 (1 + f) (1 + f') - f f' (1 + f_1) (1 + f'_1)], \quad (\text{F.1})$$

où $f \equiv f(\vec{p})$, $f' \equiv f(\vec{p}')$, $f_1 \equiv f(\vec{p}_1)$ et $f'_1 \equiv f(\vec{p}'_1)$ (toutes les fonctions apparaissant dans le terme de collision sont prises au même point d'espace-temps, nous avons donc omis d'indiquer la dépendance en \vec{x} et t) et où

$$w(\vec{p} \vec{p}' \rightarrow \vec{p}_1 \vec{p}'_1) = w(\vec{p}_1 \vec{p}'_1 \rightarrow \vec{p} \vec{p}') = (2\pi)^4 \delta^{(4)}(P + P' - P_1 - P'_1) \frac{|\mathcal{M}_{gg \rightarrow gg}|^2}{16 p p' p_1 p'_1}.$$

Le fait que les gluons sont des bosons indiscernables est pris en compte dans le calcul de l'amplitude de transition $|\mathcal{M}_{gg \rightarrow gg}|^2$ (terme d'échange), et résulte dans le fait que la probabilité de transition w est symétrique dans l'échange $\vec{p}_1 \leftrightarrow \vec{p}'_1$ (voir la symétrie sous l'échange $u \leftrightarrow t$ dans l'expression (F.3)). Après avoir intégré sur toutes les valeurs possibles de \vec{p}_1 et \vec{p}'_1 , on a donc compté deux fois l'ensemble des configurations possibles, d'où le facteur $1/2$ devant l'intégrale.

Dans le cas qui nous intéresse ici, il est possible de calculer la contribution dominante à cette intégrale en exploitant le fait que l'amplitude de diffusion diverge fortement dans la limite des diffusions à petit angle de déviation [102].

La section efficace de diffusion $gg \rightarrow gg$

La section efficace différentielle de diffusion s'écrit

$$d\sigma = (2\pi)^4 \delta^{(4)}(P + P' - P_1 - P'_1) \frac{|\mathcal{M}_{gg \rightarrow gg}|^2}{4 P \cdot P'} \frac{d^3 p_1}{(2\pi)^3 2p_1} \frac{d^3 p'_1}{(2\pi)^3 2p'_1}, \quad (\text{F.2})$$

où $|\mathcal{M}_{gg \rightarrow gg}|^2$ est le carré de l'amplitude de diffusion $gg \rightarrow gg$ sommé sur les états de polarisation et de couleur des gluons de l'état final, et moyenné sur ceux de l'état initial. En termes des variables de Mandelstam

$$s = (P + P')^2, \quad t = (P - P_1)^2, \quad u = (P - P'_1)^2 = -s - t,$$

on a (voir par exemple [88])

$$|\mathcal{M}_{gg \rightarrow gg}|^2 = 4g^4 \frac{N_c^2}{N_c^2 - 1} \left(3 - \frac{ut}{s^2} - \frac{us}{t^2} - \frac{st}{u^2} \right), \quad (\text{F.3})$$

avec $g^2 = 4\pi \alpha_S$. Dans le référentiel du centre de masse de la collision $gg \rightarrow gg$:

$$\begin{aligned} P^\mu &= p(1, 0, 0, 1), & P_1^\mu &= p(1, 0, \sin \theta, \cos \theta), \\ (P')^\mu &= p(1, 0, 0, -1), & (P'_1)^\mu &= p(1, 0, -\sin \theta, -\cos \theta), \end{aligned}$$

on a

$$s = 4p^2 \quad , \quad t = -2p^2(1 - \cos \theta) \quad , \quad u = -2p^2(1 + \cos \theta) \quad .$$

La section efficace (F.2) diverge fortement pour les petites valeurs de t ($\theta \approx 0$) et, par symétrie, pour les petites valeurs de u ($\theta \approx \pi$). Ces deux régions de l'espace des phases dominant donc l'intégrale de collision, et leurs contributions respectives sont identiques par symétrie. Il suffit donc d'en calculer une et de multiplier le résultat par un facteur 2, qui vient se simplifier avec le facteur de symétrie 1/2 devant l'intégrale (Eq. (F.1)). Tout se passe alors comme si les gluons étaient des particules discernables. Dans la suite nous omettrons dès le départ les facteurs de symétrie et calculerons la contribution de la région $\theta \approx 0$ (diffusion à petit angle de déviation), où l'on a

$$d\sigma \simeq 4\pi\alpha_S^2 \frac{N_c^2}{N_c^2 - 1} \frac{d\theta^2}{p^2\theta^4} \frac{d\varphi}{2\pi} \quad . \quad (\text{F.4})$$

L'intégrale de collision dans la limite des petits angles

Du fait de la conservation de l'impulsion, l'intégrale sur \vec{p}_1' est triviale, et la probabilité de transition w ne dépend que de trois vecteurs. Il est utile de l'exprimer comme une fonction des demi-sommes des impulsions initiales et finales des deux particules : $(\vec{p} + \vec{p}_1)/2$ et $(\vec{p}' + \vec{p}_1')/2$. Remplaçant l'intégrale sur \vec{p}_1 par une intégrale sur l'impulsion échangée $\vec{q} = \vec{p}_1 - \vec{p}$, on écrira

$$w(\vec{p}\vec{p}' \rightarrow \vec{p}_1\vec{p}_1') \equiv w(\vec{p} + \frac{\vec{q}}{2}, \vec{p}' - \frac{\vec{q}}{2}; \vec{q}) \simeq w + \frac{q^i}{2} (\partial_i w - \partial'_i w) \quad ,$$

où $w = w(\vec{p}, \vec{p}'; \vec{q} \approx \vec{0})$, et $\partial_i \equiv \partial/\partial p^i$, le prime désignant la dérivation par rapport aux composantes de \vec{p}' . On développe de même les poids statistiques :

$$\begin{aligned} f_1 &\simeq f + q^i \partial_i f + \frac{q^i q^j}{2} \partial_{ij} f \\ f'_1 &\simeq f' - q^i \partial'_i f' + \frac{q^i q^j}{2} \partial'_{ij} f' \quad , \end{aligned}$$

où $\partial_{ij} \equiv \partial^2/\partial p^i \partial p^j$. Dans le développement de la combinaison des poids statistiques apparaissant sous l'intégrale de collision, le premier terme non-nul est $q^i (F' \partial_i f - F \partial'_i f') w$, où $F = f(1 + f)$. La probabilité de transition $w(\vec{p}\vec{p}' \rightarrow \vec{p}_1\vec{p}_1')$ étant symétrique dans l'échange des états initial et final (autrement dit, c'est une fonction paire de \vec{q}), ce terme ne survit pas à l'intégration sur d^3q . La première contribution non-nulle à l'intégrale de collision vient du terme du second ordre dans le développement de l'intégrand

$$\begin{aligned} \mathcal{C} &\simeq \int_{\vec{p}'} [(\partial_i \mathcal{B}^{ij}) - (\partial'_i \mathcal{B}^{ij})] [F' (\partial_j f) - F (\partial'_j f')] \\ &+ \int_{\vec{p}'} \{F' (\partial_{ij} f) + F (\partial'_{ij} f') - [1 + f + f'] [(\partial_i f) (\partial'_j f') + (\partial_j f) (\partial'_i f')]\} \mathcal{B}^{ij} \quad , \end{aligned}$$

où

$$\mathcal{B}^{ij} = \frac{1}{2} \int \frac{d^3q}{(2\pi)^3} q^i q^j w(\vec{p}, \vec{p}'; \vec{q}) \quad , \quad (\text{F.5})$$

et où l'on a noté

$$\int_{\vec{p}'} \equiv 2(N_c^2 - 1) \int \frac{d^3p'}{(2\pi)^3} \quad .$$

En utilisant la relation $B^{ij} = B^{ji}$, on réécrit le dernier terme sous la seconde intégrale :

$$[1 + f + f'] [(\partial_i f) (\partial'_j f') + (\partial_j f) (\partial'_i f')] \mathcal{B}^{ij} = \mathcal{B}^{ij} [(\partial_i F) (\partial'_j f') + (\partial_j f) (\partial'_i F')] ,$$

et, en réorganisant les différents termes, on obtient (les dérivées agissent sur tout les termes entre accolades)

$$\mathcal{C} \simeq - \int_{\vec{p}'} (\partial_i - \partial'_i) \{ \mathcal{B}^{ij} [F (\partial'_j f') - F' (\partial_j f)] \} .$$

Le second terme est l'intégrale d'une divergence totale et est donc nul. On obtient alors (voir [102])

$$\mathcal{C} \simeq -\partial_i s^i , \quad (\text{F.6})$$

où

$$s^i = \int_{\vec{p}'} \mathcal{B}^{ij} [F (\partial'_j f') - F' (\partial_j f)] . \quad (\text{F.7})$$

Il n'est pas surprenant que le terme de collision s'exprime comme une divergence dans la limite des petits angle : dans l'espace des impulsions, la particule est repérée par le vecteur \vec{p} . Après une collision typique, elle se retrouve à la "position" voisine repérée par le vecteur $\vec{p} + \vec{\delta p}$. On voit donc que les particules se déplacent le long de "trajectoires" continues dans l'espace des impulsions. Il s'agit d'un processus diffusif dans cet espace et, par conséquent, le terme de collision correspondant doit s'exprimer comme la divergence du flux de particule dans l'espace des impulsions. On peut construire explicitement ce flux [102], le résultat obtenu coincide² avec l'Eq. (F.7).

Il nous reste à calculer les composantes du tenseur \mathcal{B}^{ij} . Par définition de la section efficace (Eq. (F.2)), on a

$$w(\vec{p}\vec{p}' \rightarrow \vec{p}_1 \vec{p}'_1) \frac{d^3 p_1}{(2\pi)^3} \frac{d^3 p'_1}{(2\pi)^3} = v_{rel} d\sigma ,$$

avec

$$v_{rel} = \frac{P \cdot P'}{pp'} = \sqrt{(\vec{v} - \vec{v}')^2 - (\vec{v} \times \vec{v}')^2} .$$

On a donc ($q_i = -q^i$)

$$\mathcal{B}^{ij} = \mathcal{B}_{ij} = \frac{1}{2} \int q_i q_j v_{rel} d\sigma .$$

En suivant la discussion de la Réf. [102], il est facile de déduire la structure générale de ce tenseur. Pour des particules de masse nulle, on obtient, en utilisant l'Eq. (F.4),

$$\mathcal{B}_{ij} = \pi \alpha_S^2 \frac{N_c^2}{N_c^2 - 1} L [(1 - \vec{v} \cdot \vec{v}') \delta_{ij} + v_i v'_j + v_j v'_i] , \quad (\text{F.8})$$

où

$$L = \int \frac{d\theta^2}{\theta^2} .$$

Cette intégrale sur les angles diverge logarithmiquement. La divergence correspondant aux petites valeurs de θ a pour origine physique la portée infinie de l'interaction entre les deux partons (gluons), dans la limite de couplage faible (échange d'un gluon de masse nulle).

²Ceci est fait explicitement dans la Réf. [102] pour le cas d'un gaz de particules classiques. Il est facile de répéter la discussion en prenant en compte la statistique quantique.

En réalité la portée de cette interaction est écrantée par la présence des autres partons du milieu, c'est le phénomène d'écrantage de Debye : le gluon échangé, de type électrique, a une masse effective (il est habillé par les interactions avec le milieu) m_D , la masse de Debye. L'intégrale doit donc être limitée à la valeur minimale θ_{min} , correspondant à la valeur minimale de la quadri-impulsion échangée, égale à la masse de Debye :

$$-t_{min} = m_D^2 \sim \underline{p}^2 \theta_{min}^2, \quad (\text{F.9})$$

où \underline{p} désigne l'ordre de grandeur de l'impulsion typique des partons du milieu. La divergence de l'intégrale L pour les grandes valeurs de θ est non-physique et reflète le fait que les formules précédentes ont été obtenues dans l'approximation des petits angles, qui cesse d'être valable quand $\theta \sim 1$. On a donc, à l'approximation logarithmique (les termes négligés dans le développement doivent être petit devant le logarithme L),

$$L = \ln \left(\frac{1}{\theta_{min}^2} \right). \quad (\text{F.10})$$

Calcul du terme de collision

En développant des formules (F.6)-(F.7) il vient, après quelques intégrations par parties,

$$\begin{aligned} \mathcal{C} = & (\partial_{ij} f) \int_{\vec{p}'} \mathcal{B}^{ij} F' + \partial_i F \int_{\vec{p}'} f' (\partial_j' \mathcal{B}^{ij}) \\ & + F \int_{\vec{p}'} f' (\partial_j' \partial_i \mathcal{B}^{ij}) + (\partial_j f) \int_{\vec{p}'} F' (\partial_i \mathcal{B}^{ij}), \end{aligned}$$

avec $\partial_i \mathcal{B}^{ij} = 2\mathcal{B} v'^j / p$ et $\partial_j' \partial_i \mathcal{B}^{ij} = 4\mathcal{B} / pp'$ (on a noté $\mathcal{B} = \pi \alpha_S^2 \frac{N_c^2}{N_c^2 - 1} L$). Dans la région centrale de la collision (voir le Chap. 4) la symétrie du problème est telle que la distribution $f(\vec{p})$ est une fonction paire de \vec{p} . Les intégrales du type $\int d^3p f v^i$ sont donc nulles et l'expression ci-dessus se simplifie considérablement. En remarquant que $\partial_i v^i = \vec{\nabla} \cdot \vec{v} = 2/p$, on obtient finalement

$$\mathcal{C}[f]|_{z=0} = \mathcal{B} M_0 \nabla^2 f + 2\mathcal{B} N_{-1} \vec{\nabla} [\vec{v} f(1 + f)], \quad (\text{F.11})$$

où l'on a défini les moments

$$M_s = 2(N_c^2 - 1) \int \frac{d^3p}{(2\pi)^3} p^s f(1 + f), \quad (\text{F.12})$$

$$N_s = 2(N_c^2 - 1) \int \frac{d^3p}{(2\pi)^3} p^s f. \quad (\text{F.13})$$

L'Eq. (F.11) ci-dessus se simplifie encore dans le cas d'un gaz non-dégénéré, c'est à dire d'un gaz classique ($f \ll 1$), où on a

$$\mathcal{C}[f]|_{z=0} = \mathcal{B} N_0 \nabla^2 f + 2\mathcal{B} N_{-1} \vec{\nabla} (\vec{v} f). \quad (\text{F.14})$$

Nous utilisons cette dernière forme du terme de collision dans l'étude présentée au Chap. 4. Cette approximation est motivée par le fait que le système est rapidement dilué à cause de l'expansion. Les partons peuvent alors être considérés comme des *particules* classiques (par opposition à l'approximation de *champ* classique du Chap. 3, valable quand $f \gg 1$).

Masse de Debye et masse d'écran transverse

On peut comprendre simplement l'origine physique du phénomène d'écrantage de Debye de la façon suivante : supposons que deux particules, plongées dans un milieu, tentent d'interagir l'une avec l'autre en échangeant un quanta virtuel. Celui-ci est émis par la particule 1 et se propage "en direction" de la particule 2. Il est clair que plus la distance à parcourir est grande, plus la probabilité pour que celui-ci soit absorbé par une particule du milieu avant d'arriver à destination augmente : la portée de l'interaction, infinie dans le vide, est limitée du fait de la présence du milieu. Ceci se traduit par le fait que le quanta échangé correspond à un champ effectivement massif, "habillé" par ses interactions avec les particules du milieu. La masse correspondant à l'écrantage de la partie électrique du champ correspondant (la seule qui joue un rôle dans notre cas) est appelée masse de Debye. Dans le cas d'un système de gluon, les auteurs de [107] obtiennent l'expression³ :

$$m_D^2 = -\frac{\alpha_S N_c}{\pi^2} \lim_{q \rightarrow 0} \int d^3p \frac{\vec{q} \cdot \vec{\nabla}_p f(\vec{p}, t)}{\vec{q} \cdot \vec{v}}, \quad (\text{F.15})$$

où $\vec{v} = \vec{p}/p$ et $q = \|\vec{q}\|$, \vec{q} étant l'impulsion du gluon échangé. On voit que, de façon générale, la masse d'écran dépend de la direction de cette dernière. Dans le cas d'un gluon d'impulsion transverse $\vec{q} \equiv (\vec{q}_t, q_z = 0)$ et pour une distribution indépendante de la direction dans la direction transverse $f(\vec{p}, t) \equiv f(p_t, p_z, t)$, on obtient, après intégration par parties,

$$m_D^2|_{trans} = \frac{\alpha_S N_c}{\pi^2} \int \frac{d^3p}{p} f(\vec{p}, t) + \frac{2\alpha_S N_c}{\pi} \int_{-\infty}^{+\infty} dp_z |p_z| f(p_t = 0, p_z, t). \quad (\text{F.16})$$

Dans le Chap. 4, nous aurons à considérer le cas où la largeur de la distribution dans la direction longitudinale est négligeable : $f(\vec{p}, t) \propto \delta(p_z)$. On obtient alors l'expression de la masse d'écran transverse

$$m_T^2 = \frac{\alpha_S N_c}{\pi^2} \int \frac{d^3p}{p} f(\vec{p}, t). \quad (\text{F.17})$$

Nous aurons aussi besoin du cas où la distribution f est isotrope. On a alors $\vec{\nabla}_p f(p, t) = \vec{v} f'(p, t)$, où $f' \equiv \partial f / \partial p$, et la masse d'écran (F.15) est indépendante de la direction du gluon échangé, comme il se doit (il est facile de voir que l'expression (F.16), obtenue pour une distribution générale, se réduit à la formule ci-dessous dans le cas d'une distribution isotrope). On obtient, après intégration par partie,

$$m_D^2 = \frac{2\alpha_S N_c}{\pi^2} \int \frac{d^3p}{p} f(p, t). \quad (\text{F.18})$$

Bien que l'expression (F.17) de la masse d'écran transverse ait été obtenue pour le cas d'une distribution $\propto \delta(p_z)$, il nous sera pratique de l'extrapoler au cas où la distribution est isotrope. On a alors $m_T^2 = m_D^2/2$.

³La dérivation de cette formule n'est pas présentée dans la référence citée. On peut obtenir une formule identique, au facteur de couleur près, dans le cas d'un plasma QED, dans la théorie de la réponse linéaire. Nous pensons que la formule (F.15) est obtenue avec le même type d'approximations pour un système de gluons

Annexe G

Le calcul des moments

Dans cette annexe, nous dérivons les formules utilisées au Chap. 4 pour calculer le temps de relaxation dans la méthode des moments. Dans le cas du terme de collision de Landau (voir Annexe F), il est possible de calculer explicitement toutes les intégrales sur l'espace des impulsions pour tous les moments dont nous avons besoin au Chap. 4.

La solution formelle de l'équation du temps de relaxation s'écrit (cf. Eq. (4.16))

$$f(\vec{p}, t) = f_0(\vec{p}_t, p_z \frac{t}{t_0}) e^{-x(t)} + \int_{t_0}^t dt' \frac{e^{x(t')-x(t)}}{\theta(t')} f_{eq}(\vec{p}_t, p_z \frac{t}{t'}, t'), \quad (\text{G.1})$$

où

$$x(t) = \int_{t_0}^t \frac{dt'}{\theta(t')},$$

et où $f_0(\vec{p})$ est la distribution initiale et $f_{eq}(\vec{p}, t) = \lambda(t) e^{-p/T(t)}$.

De façon générale, nous voulons calculer les intégrales du type

$$M(t) = \langle m \rangle = \int_{\vec{p}} m(\vec{p}) f(\vec{p}, t),$$

avec $\int_{\vec{p}} \equiv 2(N_c^2 - 1) \int d^3p / (2\pi)^3$. Considérons par exemple le cas $M = N_s = \langle p^s \rangle$ (cf. Eq. (4.2)), et concentrons nous d'abord sur le second terme du membre de droite de l'Eq. (G.1). On doit calculer l'intégrale

$$I_s^{eq}(t, t') = \int_{\vec{p}} p^s f_{eq}(\vec{p}_t, p_z \frac{t}{t'}, t').$$

En faisant le changement de variable $p_z t / t' \rightarrow p_z$ et en utilisant un système de coordonnées sphériques pour \vec{p} , on obtient aisément

$$I_{eq}(t, t') = \frac{t'}{t} N_s^{eq}(t') h_s \left(\frac{t'}{t} \right),$$

avec

$$N_s^{eq}(t) = \int_{\vec{p}} p^s f_{eq}(\vec{p}, t) = (s+2)! \frac{N_c^2 - 1}{\pi^2} \lambda(t) T^{s+3}(t),$$

et où la fonction

$$h_s(a) = \int_0^1 dx [1 - (1 - a^2)x^2]^{s/2}. \quad (\text{G.2})$$

Pour calculer la contribution du premier terme du membre de droite de l'Eq. (G.1), on doit spécifier la condition initiale. Dans le Chap. 4, on considère deux type de conditions initiales : le scénario des minijets, où $f_0(\vec{p}) = f_{eq}(\vec{p}, t)$, et le scénario de saturation, où $f_0(\vec{p}) = \delta(p_z)g(p_\perp)$. Dans la suite, nous définissons la notation

$$\{A||B\} = \begin{cases} A & \text{si } f_0(\vec{p}) = f_{eq}(\vec{p}, t_0) \\ B & \text{si } f_0(\vec{p}) = \delta(p_z)g(p_\perp) \end{cases}$$

On obtient finalement

$$t e^x N_s(t) = t_0 N_s(t_0) \{h_s(t_0/t)||1\} + \int_{t_0}^t \frac{dt'}{\theta'} t' e^{x'} N_s^{eq}(t') h_s(t'/t), \quad (\text{G.3})$$

où $x = x(t)$, $x' = x(t')$, $\theta' = \theta(t')$.

On calcule de manière analogue les moments "longitudinaux" $N_s^z = \langle p_z^2 p^{s-2} \rangle$ (par exemple, la pression longitudinale $P_L = \langle p_z^2/p \rangle = N_1^z$) :

$$t^3 e^x N_s^z(t) = t_0^3 N_s(t_0) \{h_s^z(t_0/t)||0\} + \int_{t_0}^t \frac{dt'}{\theta'} (t')^3 e^{x'} N_s^{eq}(t') h_s^z(t'/t), \quad (\text{G.4})$$

avec

$$h_s^z(a) = \int_0^1 dx x^2 [1 - (1 - a^2)x^2]^{s/2-1}. \quad (\text{G.5})$$

Enfin, les moments "transverse" $N_s^\perp = \langle p_\perp^2 p^{s-2} \rangle$ sont aisément obtenus à partir des précédents :

$$N_s = N_s^z + 2 N_s^\perp.$$

Nous donnons ci-dessous les expressions des fonctions h_s et h_s^z pour $s = -2, \dots, 2$. Les intégrales (G.2) et (G.5) se calculent aisément. On peut aussi utiliser la relation suivante :

$$h_s^z(a) = \frac{2}{s} \frac{d}{da^2} h_s(a). \quad (\text{G.6})$$

En notant $A = \sqrt{1 - a^2}$,

$h_s(a) = \int_0^1 dx [1 - (1 - a^2)x^2]^{s/2}$	$h_s^z(a) = \int_0^1 dx x^2 [1 - (1 - a^2)x^2]^{s/2-1}$
$h_2(a) = \frac{2 + a^2}{3}$	$h_2^z(a) = \frac{1}{3}$
$h_1(a) = \frac{1}{2} \left(a + \frac{\arcsin A}{A} \right)$	$h_1^z(a) = \frac{1}{2A^2} \left(\frac{\arcsin A}{A} - a \right)$
$h_0(a) = 1$	$h_0^z(a) = \frac{1}{A^2} \left(\frac{\arctan A}{A} - 1 \right)$
$h_{-1}(a) = \frac{\arcsin A}{A}$	$h_{-1}^z(a) = \frac{1}{A^2} \left(\frac{1}{a} - \frac{\arcsin A}{A} \right)$
$h_{-2}(a) = \frac{\arctan A}{A}$	$h_{-2}^z(a) = \frac{1}{2A^2} \left(\frac{1}{a^2} - \frac{\arctan A}{A} \right)$

Dans le Chap. 4, nous avons résumé les Eqs. (G.3) et (G.4) ci-dessus sous la forme (cf. Eq. (4.17))

$$M(t) = M(t_0) \mathcal{F}_M^{(0)}(t_0/t) e^{-x} + \int_{t_0}^t dt' \frac{e^{x'-x}}{\theta'} \mathcal{F}_M^{(eq)}(t'/t) M_{eq}(t'),$$

où M désigne un moment quelconque. On a

$$\begin{aligned} \mathcal{F}_{N_s}^{(0)}(a) &= a \{h_s(a)||1\} \quad , \quad \mathcal{F}_{N_s}^{(eq)}(a) = a h_s(a) \\ \mathcal{F}_{N_s^z}^{(0)}(a) &= a^3 \{h_s^z(a)||1\} \quad , \quad \mathcal{F}_{N_s^z}^{(eq)}(a) = a^3 h_s^z(a). \end{aligned}$$

Annexe H

Calcul de $\theta(t_0)$ dans le scénario des minijets

La méthode des moments, exposée au Chap. 4, ne permet pas de calculer le temps de relaxation dans le cas où $f = f_{eq}$, comme c'est le cas dans le scénario des minijets, à l'instant initial. Pour calculer $\theta(t_0)$, il suffit cependant de s'écarter de f_{eq} de façon infinitésimale en exploitant le fait que dans les tout premiers instants, le système ne ressent pas encore l'effet des collisions et est dans un régime quasi-libre. Nous détaillons ce calcul dans cette annexe.

La distribution initiale est donnée par ($\lambda_0 = \lambda_{jet}$ et $T_0 = T_{jet}$)

$$f(\vec{p}, t_0) = \lambda_0 e^{-p/T_0}.$$

Le temps de relaxation étant non-nul à l'instant initial, il est clair que pour les temps t tels que $t - t_0 \ll \theta(t_0)$, le système est dans un régime essentiellement libre. L'évolution est alors donnée par l'Eq. (4.6), et on a

$$f(\vec{p}, t_0(1 + \varepsilon)) \simeq f(\vec{p}, t_0) \left(1 - \frac{\varepsilon}{T_{jet}} \frac{p_z^2}{p} \right).$$

On en déduit, pour les moments N_s , N_s^z et N_s^\perp , définis dans l'annexe G,

$$N_s(t_0 + \delta t) = N_s(t_0) - \frac{\varepsilon}{3T_0} N_{s+1}(t_0),$$

et

$$N_s^z(t_0 + \delta t) - N_s^\perp(t_0 + \delta t) = -\frac{\varepsilon}{15T_0} N_{s+1}(t_0),$$

où l'on a utilisé le fait que la distribution est isotrope à t_0 . Avec ces notations, l'Eq. (4.18) s'écrit :

$$\frac{N_1^z - N_1^\perp}{\theta} = 4\mathcal{B} N_0 \left(N_{-1}^z - N_{-1}^\perp \right) + 2\mathcal{B} N_{-1} \left(N_0^z - N_0^\perp \right),$$

où

$$\mathcal{B} = \pi \alpha_S^2 \frac{N_c^2}{N_c^2 - 1} L$$

et L est donné par les Eqs. (4.21)-(4.22). En se plaçant à l'instant $t = t_0(1 + \varepsilon)$, et en utilisant les expressions ci-dessus, il vient, au premier ordre non-trivial en ε (on écrit $\theta(t_0(1 + \varepsilon)) = \theta(t_0) + \varepsilon \dot{\theta}(t_0)$),

$$\frac{N_2}{\theta_0} = 4\mathcal{B} (N_0)^2 + 2\mathcal{B} N_{-1} N_1,$$

où toutes les quantités sont calculées à t_0 ($\theta_0 = \theta(t_0)$). En utilisant

$$N_s(t_0) = (s+2)! \frac{N_c^2 - 1}{\pi^2} \lambda_0 T_0^{s+3}.$$

On obtient finalement

$$\frac{1}{\theta_0} = \frac{7(\alpha_S N_c)^2}{6\pi} \ln \left(\frac{7\pi}{4\alpha_S N_c \lambda_0} \right) \lambda_0 T_0.$$

Avec les valeurs des paramètres $\alpha_S = 0.3$, $N_c = 3$ et $\lambda_0 = 1$, correspondant au scénario des minijets (voir le Chap. 4), on obtient

$$\theta_0 \simeq \frac{2}{T_0},$$

c'est à dire $\theta_0 \simeq 0.7$ fm à RHIC, et $\theta_0 \simeq 0.3$ fm à LHC.

Conclusion

Dans la première partie de cette thèse, nous avons étudié la possibilité qu'un condensat chirale désorienté soit formé lors du passage rapide de la transition de phase chirale dans une collision d'ions lourds. Nous avons proposé une méthode originale d'échantillonnage des conditions initiales pour le champ de pion en équilibre thermique local dans une petite bulle formée lors de la collision. Dans les travaux antérieurs, ces conditions initiales sont habituellement choisies arbitrairement. Nous avons ainsi pu calculer une toute première estimation de la probabilité de formation d'une configuration classique du champ. En fait nous en obtenons une limite supérieure, qui s'avère relativement faible, typiquement de l'ordre de 10^{-3} . Ce résultat a des conséquences importantes aussi bien expérimentales que théoriques. En particulier une stratégie de détection événement-par-événement est préférable.

Nous avons ensuite étudié la structure d'isospin de la configuration du champ produite par trempage des fluctuations initiales, et avons montré que, contrairement à ce qui a été cru jusqu'à maintenant, celle-ci n'est pas une configuration DCC : les directions d'oscillation des différents modes dans l'espace d'isospin sont statistiquement indépendantes les unes des autres. Le modèle le plus simple utilisé jusqu'à présent permet d'expliquer la nature classique du DCC, pas sa polarisation collective hypothétique. Nous avons montré que la dynamique ne génère pas les corrélations cherchées entre les modes, une description plus réaliste de l'état initial pour le champ de pion est nécessaire pour trancher la question de la possibilité de formation d'un DCC dans le scénario du trempage.

Dans la deuxième partie de la thèse, nous avons étudié la question de la thermalisation des gluons produits dans les tout premiers instants de la collision. Nous avons considéré les collisions élastiques de petite déviation et modélisé l'équation de Boltzmann correspondante par une approximation de temps de relaxation où le temps de relaxation est calculé de façon auto-cohérente. Nos résultats sont en accord semi-quantitatif avec la solution exacte récemment obtenue pour une condition initiale donnée. Nous avons comparé différents scénarios proposés dans la littérature pour décrire l'état initial. Nous arguons que les critères utilisés dans les travaux précédents pour caractériser l'écart à l'équilibre local n'est pas satisfaisant. En mesurant plutôt le degré d'anisotropie de différentes observables, nous arrivons à des conclusions qui contredisent celles précédemment obtenues. En particulier, nous montrons que les collisions élastiques ne sont pas suffisantes pour thermaliser le système aux énergies de RHIC. A LHC, l'équilibre est atteint dans le scénario de saturation, les incertitudes de l'approche, en particulier celles liées à la fragilité du calcul perturbatif, ne permettent pas de conclure dans le scénario des minijets.

Il est nécessaire d'aller plus loin et d'inclure les contributions des processus inélastiques de branchement. Cependant, notre étude indique qu'il faut d'ores et déjà s'attendre à ce que le régime transitoire ne soit pas complètement négligeable à RHIC. Nous prévoyons

d'inclure les quarks dans la description afin d'estimer l'influence de ces effets hors d'équilibre sur les spectres en énergie transverse des dileptons produits, qui seront étudiés par les collaborations PHENIX à RHIC et ALICE à LHC.

Références

- [1] *Quark Matter '99*. North-Holland, 1999.
- [2] R. J. Glauber. Coherent and incoherent states of the radiation field. *Phys. Rev.*, 131 :2766–2788, 1963.
- [3] D. Horn and R. Silver. Coherent production of pions. *Annals of Phys.*, 66 :509–541, 1971.
- [4] J.C. Botke, D.J. Scalapino, and R.L. Sugar. Coherent states and particle production. *Phys. Rev.*, D9 :813–823, 1974.
- [5] I.V. Andreev. Interpretation of “exotic” events of multiple production at very high energies. *JETP Lett.*, 33 :367–371, 1981.
- [6] W. Heisenberg. xxx. *Z. Phys.*, 133 :133, 1952.
- [7] A.A. Anselm. Classical states of the chiral field and nuclear collisions at very high energies. *Phys. Lett.*, B217 :169–172, 1989.
- [8] A.A. Anselm and M.G. Ryskin. Production of classical pion field in heavy ion high energy collisions. *Phys. Lett.*, B266 :482–484, 1991.
- [9] J.P. Blaizot and A. Krzywicki. Soft-pion emission in high-energy heavy-ion collisions. *Phys. Rev.*, D46 :246–251, 1992.
- [10] J.D. Bjorken. Highly relativistic nucleus-nucleus collisions : The central rapidity region. *Phys. Rev.*, D27 :140–151, 1983.
- [11] M.M. Enikova, V.I. Karloukovski, and C.I. Velchev. Exact finite energy solutions in non-linear $SU(2) \times SU(2)$ and $SU(2) \times SU(1,1)$ chiral theories. *Nucl. Phys.*, B151 :172–180, 1979.
- [12] J.D. Bjorken. How black is a constituent quark ?? *Acta Phys. Pol.*, B23 :637–654, 1992.
- [13] J.D. Bjorken. What lies ahead? SLAC-PUB-5673, Octobre 1991.
- [14] J.P. Blaizot and A. Krzywicki. Dynamics of a disoriented chiral condensate. *Phys. Rev.*, D50 :442–446, 1994.
- [15] C. M. G. Lattes, Y. Fujimoto, and S. Hasegawa. Hadronic interactions of high-energy cosmic ray observed by emulsion chambers. *Phys. Rep.*, 65 :151, 1980.
- [16] F. Wilczek and K. Rajagopal. Emergence of coherent long wavelength oscillations after a quench : application to QCD. *Nucl. Phys.*, B404 :577–589, 1993.
- [17] C.Y. Wong. *Introduction to High-Energy Heavy-Ion Collisions*. World Scientific, 1994.
- [18] M. Gell-Mann and M. Levy. The axial vector current in beta decay. *Nuovo Cim.*, 16 :705, 1960.

- [19] K. Rajagopal. The chiral phase transition in QCD : critical phenomena and long wavelength pion oscillations. In R. Hwa, editor, *Quark-Gluon Plasma 2*. World Scientific, 1995.
- [20] J.P. Blaizot and A. Krzywicki. DCC : attractive idea seeks serious confirmation. *Acta Phys. Pol.*, B27 :1687–1701, 1996.
- [21] S. Mrowczynski and B. Muller. Reheating after supercooling in the chiral phase transition. *Phys. Lett.*, B363 :1–4, 1995.
- [22] D. I. Kaiser. Larger domains from resonant decay of disordered chiral condensates. *Phys. Rev.*, D59 :117901, 1999.
- [23] A. Dumitru and O. Scavenius. Nonlinear evolution of the momentum dependent condensates in strong interaction : the 'pseudoscalar laser'. *Phys. Rev.*, D62 :076004, 2000.
- [24] A. Bialas, W. Czyz, and M. Gmyrek. Quench in expanding chiral condensate. *Phys. Rev.*, D51 :3739–3744, 1995.
- [25] S. Gavin, A. Gocksch, and R. D. Pisarski. How to make large domains of disoriented chiral condensate. *Phys. Rev. Lett.*, 72 :2143–2146, 1994.
- [26] Z. Huang and X. N. Wang. Cluster structure of disoriented chiral condensates in rapidity distribution. *Phys. Rev.*, D49 :4335–4338, 1994.
- [27] M. Asakawa, Z. Huang, and X. N. Wang. How disoriented chiral condensates form : quenching vs. annealing. *Phys. Rev. Lett.*, 74 :3126–3129, 1995.
- [28] J. Randrup. Statistical properties of the linear σ model used in dynamical simulations of DCC formation. *Phys. Rev.*, D55 :1188–1205, 1997.
- [29] J. Randrup. Amplification of pionic instabilities in high-energy collisions? *Phys. Rev. Lett.*, 77 :1226–1229, 1996.
- [30] K. Rajagopal. Disorienting the chiral condensate at the QCD phase transition. CALT-68-2104, Mars 1997.
- [31] D. Boyanovsky, H. J. de Vega, and R. Holman. Can disordered chiral condensates form? A dynamical perspective. *Phys. Rev.*, D51 :734–747, 1995.
- [32] F. Cooper, Y. Kluger, E. Mottola, and J. P. Paz. Quantum evolution of disoriented chiral condensates. *Phys. Rev.*, D51 :2377–2397, 1995.
- [33] M. A. Lampert, J. F. Dawson, and F. Cooper. Time evolution of the chiral phase transition during a spherical expansion. *Phys. Rev.*, D54 :2213–2221, 1996.
- [34] M. A. Lampert. *Time evolution of the chiral phase transition during a spherical expansion*. PhD thesis, University of New Hampshire, Décembre 1996. UMI-97-17854.
- [35] G. Amelino-Camelia, J. D. Bjorken, and S. E. Larsson. Pion production from baked alaska disoriented chiral condensate. *Phys. Rev.*, D56 :6942–6956, 1997.
- [36] H. P. Yuen. Two-photon coherent states of the radiation field. *Phys. Rev.*, A13 :2226–2243, 1976.
- [37] A. Krzywicki. Coherence and decoherence in radiation of colliding heavy ions. *Phys. Rev.*, D48 :5190–5195, 1993.
- [38] J. Schaffner-Bielich and J. Randrup. DCC dynamics with the $SU(3)$ linear sigma model. *Phys. Rev.*, C59 :3329–3342, 1999.
- [39] A. Abada and M. C. Birse. Disoriented chiral condensate formation from tubes of hot quark plasma. *Phys. Rev.*, D57 :292–298, 1998.

- [40] Z. Xu and C. Greiner. Stochastic treatment of disoriented chiral condensates within a langevin description. *Phys. Rev.*, D62 :036012, 2000.
- [41] P. F. Bedaque and A. Das. Out-of-equilibrium phase transitions and a toy model for disoriented chiral condensates. *Mod. Phys. Lett.*, A8 :3151–3164, 1993.
- [42] A. Barducci, L. Caiani, R. Casalbuoni, M. Modugno, G. Pettini, and R. Gatto. Disoriented chiral condensates in the $(2 + 1)$ -dimensional Gross-Neveu model : A dynamical simulation. *Phys. Lett.*, B369 :23–32, 1996.
- [43] MiniMax Collaboration. A Search for Disoriented Chiral Condensate at the Fermilab Tevatron. *Phys. Rev.*, D61 :032003, 2000.
- [44] The WA98 Collaboration. Search for Disoriented Chiral Condensates in 158 AGeV Pb+Pb collisions. *Phys. Lett.*, B420 :169–179, 1998.
- [45] Y. Kluger, V. Koch, J. Randrup, and X. N. Wang. Dileptons from disoriented chiral condensates. *Phys. Rev.*, C57 :280–290, 1998.
- [46] D. Boyanovsky, H. J. de Vega, R. Holman, and S. P. Kumar. Nonequilibrium production of photons via $\pi_0 \rightarrow 2\gamma$ in DCCs. *Phys. Rev.*, D56 :3929–3942, 1997.
- [47] J. I. Kapusta and S. M. H. Wong. Is anomalous production of omega and anti-omega evidence for disoriented chiral condensates? Décembre 2000. nucl-th/0012006.
- [48] A. Krzywicki and J. Serreau. The likelihood of DCC formation. *Phys. Lett.*, B448 :257–264, 1999.
- [49] J. Schwinger. Brownian motion of a quantum oscillator. *J. of Math. Phys.*, 2 :407–432, 1961.
- [50] P. M. Bakshi and K.T. Mahanthappa. Expectation value formalism in quantum field theory (I and II). *J. of Math. Phys.*, 4 :1–16, 1963.
- [51] L.V. Keldysh. Diagram technique for nonequilibrium processes. *JETP*, 20 :1018–1026, 1965.
- [52] S. Coleman, R. Jackiw, and H. D. Politzer. Spontaneous symmetry breaking in the $O(N)$ model for large N . *Phys. Rev.*, D10 :2491–2499, 1974.
- [53] F. Cooper, S. Habib, Y. Kluger, E. Mottola, J. P. Paz, and P. R. Andersson. Nonequilibrium quantum fields in the large- N expansion. *Phys. Rev.*, D50 :2848–2869, 1994.
- [54] R. Jackiw. Functionnal evaluation of the effective potential. *Phys. Rev.*, D9 :1686–1701, 1974.
- [55] L. Dolan and R. Jackiw. Symmetry behavior at finite temperature. *Phys. Rev.*, D9 :3320–3341, 1974.
- [56] J. M. Cornwall, R. Jackiw, and E. Tomboulis. Effective action for composite operators. *Phys. Rev.*, D10 :2428–2445, 1974.
- [57] M. Le Bellac. *Thermal Field Theory*. Cambridge University Press, 1996.
- [58] N.D. Birrell and P. C. W. Davies. *Quantum field in curved space*. Cambridge University Press, 1994.
- [59] S. Weinberg. *Gravitation and Cosmology*. John Wiley & Sons, Inc., 1972.
- [60] L. Parker and S. A. Fulling. Adiabatic regularization of the energy-momentum tensor of a quantized field in homogeneous spaces. *Phys. Rev.*, D9 :341–354, 1974.
- [61] M. Bander and C. Itzykson. Group theory and the Hydrogen atom (II). *Rev. Mod. Phys.*, 38 :346–358, 1966.

- [62] M. Combescure. The squeezed state approach of the semiclassical limit of the time-dependent Schrödinger equation. *J. Math. Phys.*, 33 :3870–3880, 1992.
- [63] L. Parker. Quantized fields and particle creation in expanding universe, I. *Phys. Rev.*, 183 :1057–1068, 1969.
- [64] *The Numerical Recipes in Fortran 77*. Cambridge University Press, 1992. <http://www.nr.com>.
- [65] F. Cooper and G. Frye. Single-particle distribution in the hydrodynamic and statistical thermodynamic models of multiparticle production. *Phys. Rev.*, D10 :186–189, 1974.
- [66] NA49 Collaboration. In *Quark Matter '97*, Décembre 1997.
- [67] R. D. Amado and Yang Lu. Domains of disoriented chiral condensate. *Phys. Rev.*, D54 :7075–7076, 1996.
- [68] J. Randrup. Mean-field treatment of the linear σ model in dynamical calculations of DCC observables. *Nucl. Phys.*, A616 :531–554, 1997.
- [69] J. D. Bjorken. A full acceptance detector for SSC physics at low and intermediate mass scales : An expression of interest to the SSC. *Int. J. Mod. Phys.*, A7 :4189–4258, 1992.
- [70] J. Serreau. Microscopic dynamics of disoriented chiral condensate formation. *Phys. Rev.*, D63 :54003, 2001.
- [71] C. Itzykson and J. B. Zuber. *Quantum Field Theory*. Mc Graw Hill New York, 1980.
- [72] M. Asakawa, H. Minakata, and B. Müller. Anomaly induced domain formation of disoriented chiral condensates. *Phys. Rev.*, D58 :094011, 1998.
- [73] L. Landau and E. M. Lifchitz. *Théorie des champs*. Mir, 1970.
- [74] P. A. M. Dirac. *The principles of quantum mechanics*. Clarendon Press, 1958.
- [75] Phenix Collaboration. PHENIX experiment at RHIC. *Nucl. Phys.*, A566 :287c–298c, 1994.
- [76] Alice Collaboration. The ALICE heavy ion experiment at the CERN LHC. *Nucl. Phys.*, A566 :311c–319c, 1994.
- [77] G. Baym. Thermal equilibration in ultra-relativistic heavy-ion collisions. *Phys. Lett.*, B138 :18–22, 1984.
- [78] G. Baym, H. Monien, C. J. Pethick, and D. G. Ravenhall. Transverse interactions and transport in relativistic quark-gluon and electromagnetic plasmas. *Phys. Rev. Lett.*, 64 :1867–1870, 1990.
- [79] H. Heiselberg and C. J. Pethick. Quark and gluon relaxation in quark-gluon plasmas. *Phys. Rev.*, D47 :R769–R771, 1993.
- [80] T. S. Biró, E. van Doorn, B. Müller, M. H. Thoma, and X. N. Wang. Parton equilibration in relativistic heavy ion collisions. *Phys. Rev.*, C48 :1275–1284, 1993.
- [81] D. M. Elliott and D. H. Rischke. Chemical equilibration of quarks and gluons at RHIC and LHC energies. *Nucl. Phys.*, A671 :583–608, 2000.
- [82] R. Baier, M. Dirks, K. Redlich, and D. Schiff. Thermal photon production rate from nonequilibrium quantum field theory. *Phys. Rev.*, D56 :2548–2554, 1997.
- [83] D. K. Srivastava, M. G. Mustafa, and B. Müller. Expanding quark-gluon plasmas : transverse flow, chemical equilibration and electromagnetic radiation. *Phys. Rev.*, C56 :1064–1074, 1997.

- [84] H. Heiselberg and X. N. Wang. Thermal equilibration in an expanding parton plasma. *Nucl. Phys.*, B462 :389–411, 1996.
- [85] H. Heiselberg and X. N. Wang. Expansion, thermalization, and entropy production in high-energy nuclear collisions. *Phys. Rev.*, C53 :1892–1902, 1996.
- [86] S.M.H. Wong. Thermal and chemical equilibration in a gluon plasma. *Nucl. Phys.*, A607 :442–456, 1996.
- [87] J. P. Blaizot and A. H. Mueller. The early stage of ultrarelativistic heavy ion collisions. *Nucl. Phys.*, B289 :847, 1987.
- [88] A. H. Mueller. Toward equilibration in the early stages after a high energy heavy ion collision. *Nucl. Phys.*, B572 :227–240, 2000.
- [89] K. J. Eskola, K. Kajantie, and J. Lindfors. Quark and gluon production in high energy nucleus-nucleus collisions. *Nucl. Phys.*, B323 :37–52, 1989.
- [90] K. Kajantie, P. V. Landshoff, and J. Lindfors. Minijet production in high energy nucleus-nucleus collisions. *Phys. Rev. Lett.*, 59 :2527, 1987.
- [91] A. H. Mueller. Parton saturation at small x and in large nuclei. *Nucl. Phys.*, B558 :285–303, 1999.
- [92] A. H. Mueller. Small- x physics, high parton densities and parton saturation in QCD. Novembre 1999. hep-ph/9911289.
- [93] L. McLerran. Three lectures on the physics of small x and high gluon density. Mars 1999. hep-ph/9903536.
- [94] L. McLerran and R. Venugopalan. Computing quark and gluon distribution functions for very large nuclei. *Phys. Rev.*, D49 :2233–2241, 1994.
- [95] A. Krasnitz and R. Venugopalan. The initial energy density of gluons produced in very high-energy nuclear collision. *Phys. Rev. Lett.*, 84 :4309–4312, 2000.
- [96] A. Krasnitz and R. Venugopalan. The initial gluon multiplicity in heavy ion collisions. Juillet 2000. hep-ph/0007108.
- [97] A. H. Mueller. The boltzmann equation for gluons at early times after a heavy ion collision. *Phys. Lett.*, B475 :220–224, 2000.
- [98] J. Bjorker and R. Venugopalan. From colored glass condensate to gluon plasma : equilibration in high-energy heavy ion collisions. Août 2000. hep-ph/0008294.
- [99] G.C. Nayak, A. Dumitru, L. Mc Lerran, and W. Greiner. Equilibration of the gluon-minijet plasma at RHIC and LHC. Juillet 2000. hep-ph/0001202, to be published.
- [100] D. Schiff and J. Serreau. Gluon gas thermalisation in heavy ion collisions. en préparation.
- [101] J. P. Blaizot and E. Iancu. The Quark-Gluon Plasma : Collective Dynamics and Hard Thermal Loops. Janvier 2001. hep-ph/0101103.
- [102] E. M. Lifshitz and L. P. Pitaevskii. *Physical kinetics*. Pergamon Press, 1981.
- [103] L. Landau and E. Lifchitz. *Mécanique des fluides*. Mir, 1971.
- [104] J. P. Blaizot, E. Iancu, and A. Rebhan. The entropy of the QCD plasma. *Phys. Rev. Lett.*, 83 :2906–2909, 1999.
- [105] G. Boyd, J. Engels, F. Karsch, E. Laermann, C. Legeland, M. Luetgemeier, and B. Petersson. Thermodynamics of $SU(3)$ Lattice Gauge Theory. *Nucl. Phys.*, B469 :419–444, 1996.

- [106] R. Baier, A. H. Mueller, D. Schiff, and D. T. Son. “bottom-up” thermalization in heavy ion collisions. Septembre 2000. hep-ph/0009237.
- [107] T. S. Biro, B. Müller, and X. N. Wang. Color screening in relativistic heavy ion collisions. *Phys. Lett.*, B283 :171–173, 1992.